

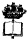
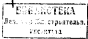
Л. М. Иогид

# ПРОЕКТИРОВАНИЕ МОРСКИХ СУДОВ

---

ВЫБОР ПОКАЗАТЕЛЕЙ ФОРМЫ  
И ОПРЕДЕЛЕНИЕ МОЩНОСТИ  
ЭНЕРГЕТИЧЕСКОЙ УСТАНОВКИ  
ПРОЕКТИРУЕМОГО СУДНА.

Учебн  
176



„СУДОСТРОЕНИЕ“  
Санкт-Петербург, 1976

Проектирование морских судов. Нагна Л. М., Л. «Судостроение», 1976, с. 208.

В книге рассматриваются вопросы выбора показателей формы судовой поверхности с учетом их влияния на ходовые качества изогнутого судна. Приведены практические данные по законам сопротивления движению воды движущего судна и мощность, потребляемая гребным винтом на такой воде и в эксплуатационных условиях с учетом влияния ветра, волнения и обратного ветра.

Книга рассчитана на инженеров-кораблестроителей, работающих в области проектирования судов. Она может быть использована также в качестве пособия студентами Кораблестроительных вузов в фасультете при изучении курса проектирования судов и дипломных проектов.

Из ИИ. Табл. 28. Литерат. 118 наим.

Научный редактор  
д-р техн. наук А. В. Бронников

## Глава первая

### ОБЩИЕ СВЕДЕНИЯ О СОПРОТИВЛЕНИИ ВОДЫ ДВИЖЕНИЮ СУДНА

#### § 1.1. Составляющие полного сопротивления движению судна

Как известно, сопротивление воды движению судна обусловлено вязкостью и вязкостью жидкости. В соответствии с этим его можно представить в виде функции от чисел Рейнольдса и Фруда

$$R = \frac{1}{g} \rho S u^2 / (Re \cdot Fr), \quad (1.1)$$

где  $\rho$  — плотность воды;  $S$  — смещенная поверхность;  $u$  — скорость судна, м/с.

Числа Рейнольдса  $Re$  и Фруда  $Fr$  выражаются формулами

$$Re = \frac{uL}{\nu}; \quad Fr = \frac{u}{\sqrt{gL}}, \quad (1.2)$$

где  $\nu$  — коэффициент kinematicкой вязкости жидкости;  $g$  — ускорение силы тяжести;  $L$  — характерный отрезок длины (в рассматриваемом случае длина судна).

Формула (1.1) не может служить основой при экспериментальном изучении рассматриваемого явления в опытах бассейнах, поскольку требования к размерам и скорости модели судна, вытекающие из критерии Рейнольдса и Фруда, практически незовмещимы. Однако, как показывает опыт, есть основания предположить, что составляющие сопротивления, связанные с этими критериями, не зависят друг от друга. При таком допущении формула (1.1) принимает вид

$$\xi = \frac{2R}{\rho S u^2} = f(Re) + f(Fr),$$

где  $\xi$  — безразмерный коэффициент полного сопротивления.

Составим изначально наслаждение движения тела, полностью погруженного в воду. При достаточно высокой высоте слоя воды над телом свойство вязкости воды перестает оказываться на сопротивлении. Поэтому в рассматриваемом случае мы имеем дело с вязкостным сопротивлением  $R_{vis}$ , зависящим исключительно от свойств вязкости жидкости.

Коэффициент вязкостного сопротивления выражается равенством

$$\xi_{vis} = \frac{2R_{vis}}{\rho S u^2} = f(Re).$$

Вязкостная составляющая полного сопротивления воды движению судна слагается из сопротивления трения  $R_f$  и сопротивления формы  $R_\phi$ . В соответствии с этим

$$R_{\text{vis}} = R_f + R_\phi.$$

Составляющие вязкостного сопротивления могут быть представлены в виде

$$R_f = \zeta_f \frac{\rho}{2} S u^2;$$

$$R_\phi = \zeta_\phi \frac{\rho}{2} S u^2,$$

где  $\zeta_f$  и  $\zeta_\phi$  — безразмерные коэффициенты сопротивления трения и формы.

При движении надводного судна (или подводного объекта поверхности воды) дополнительно к вязкостному сопротивлению появляется волновое сопротивление

$$R_w = \zeta_w \frac{\rho}{2} S u^2 = f(\text{Fr}),$$

обусловленное вязкостью жидкости.

Изменение давления под линией плавучести судна приводит к искривлению свободной поверхности воды и образованию носовой и кормовой систем корабельных волн. Мелкие амплитудные волны обращаются у концов шинидицкой петушки.

В ряде работ по гидромеханике, опубликованных в последние годы, авторы отмечают, что при движении относительно полных судов носовые корабельные волны частично разрушаются. Это явление приводит к рассеянию некоторого (неначильтового) количества энергии. В соответствии с этим волновое сопротивление делится на настоящее время на две составляющие.

Полное сопротивление воды движению судна определяется равенством

$$R = R_f + R_\phi + R_w,$$

в котором два последних слагаемых образуют так называемое остаточное сопротивление:

$$R_{\text{rest}} = R_\phi + R_w.$$

При экспериментальном изучении сопротивления для моделирования волнового сопротивления нужно создать условия, имитирующие из критерия Фруда. Последние определяются равенством  $\text{Fr} = \text{const}$ , которое приводят к соотношению

$$\frac{a}{n_0} = \lambda^{1/6}, \quad (1.3)$$

где  $\lambda = L/L_0$  — масштаб модели;  $n_0$  — скорость модели.

Если требование (1.3) выполнено, волновое сопротивление судна определяется равенством

$$R_w = r_s \lambda^2,$$

где  $r_s$  — волновое сопротивление модели.

Вильям Фруд предложил определять по этой стеме волновое сопротивление вместе с сопротивлением формы, исходя из условия, вытекающим из критерия Рейнольдса. Он исходит из допущения (которое оправдывается лишь приближенно), что  $\zeta_\phi = \text{const}$  и, следовательно, сопротивление формы пропорционально квадрату скорости. Как известно, в подобных случаях мы имеем дело с автомодельными явлениями, совместимыми с любыми критериями подобия механических систем, а значит, и с критерием Фруда.

При экспериментальном изучении сопротивления воды должно было бы объединить сопротивление формы с сопротивлением трения, поскольку и то, и другое зависит от сна вязкости и поэтому моделируется по одному и тому же закону. Однако несмотря на ряд исследований этого вопроса, до настоящего времени нет общепринятого способа определения сопротивления формы. Поэтому еще и теперь при экспериментальном изучении сопротивления обычно пользуются схемой, предложенной Фрудом.

Пересчеты сопротивления с моделей на натуральную вязкость базируются на предположении, что модель имеет технически гладкую поверхность и при одинаковых скоростях буксировки сопротивление трения модели равно сопротивлению трения эквивалентной пластины. Эквивалентная считается вязкостю с теми же  $L$  и  $S$ , что и у модели при одинаковом качестве поверхности. В некоторых опытных бассейнах дополнительно учитывают увеличение сопротивления трения, вызванное кривизной судовой поверхности.

Остаточное сопротивление модели  $r_{\text{rest}}$  и судна  $R_{\text{rest}}$  подсчитываются по формулам

$$r_{\text{rest}} = r - r_f,$$

$$R_{\text{rest}} = \lambda r_{\text{rest}},$$

при соответствующих скоростях, вытекающих из выражения (1.3).

Для получения полного сопротивления целого корпуса натурального судна необходимо добавить к  $R_{\text{rest}}$  сопротивление трения  $R_f$  и надбавку на широковатость судовой поверхности  $R_w$ . Таким образом, формула для определения сопротивления судна принимает вид

$$R = (r - r_f) \lambda^2 + R_f + R_w,$$

где  $R$  — сопротивление целого корпуса. Дополнительно учитывается сопротивление выступающих частей, т. е. руля, кронштейнов и выкруток трубных валов, сколовых книц, а также воздушное сопротивление.

Полное сопротивление корпуса с выступающими частями на тихой воде выражается формулой

$$R_t = R + R_{a.v} + R_d = R_{\text{вн}} + R_f + R_m + R_{\text{вн}} + R_d, \quad (1.4)$$

где  $R_{a.v}$  — сопротивление выступающих частей;  $R_d$  — воздушное сопротивление.

Выражая составляющие полного сопротивления через коэффициенты сопротивления, можно написать

$$R_t = (\zeta_{\text{тр}} + \zeta_l + \zeta_m + \zeta_{\text{вн}} + \zeta_d) \cdot \frac{\rho}{2} S u^2,$$

где  $\zeta_t$  — коэффициенты соответствующих составляющих полного сопротивления.

Последнюю формулу применяют в детальных расчетах сопротивления. В предварительных же процентных расчетах дополнительное сопротивление  $R_m + R_d$  учитывают большую частью по правовому множителю к сопротивлению голого корпуса. Расчетная формула принимает в этом случае вид

$$R_t = K(R_{\text{вн}} + R_d). \quad (1.5)$$

Коэффициент  $K$  назначают с необходимым запасом, учитываясь вероятные погрешности расчетов сопротивления воды движению судна и пропульсивного коэффициента.

### § 1.2. Сопротивление трения

На долю сопротивления трения приходится 45–85% от полного сопротивления воды движению судна. Верхний предел относится к тихоходным гражданским судам, эксплуатируемым при скоростях, соответствующих числам Фруда 0,15–0,16. С увеличением относительной скорости хода значение сопротивления трения уменьшается и при числах Фруда около 0,24 на его долю приходится 70–75% от полного сопротивления. Сопротивление трения пассажирских судов, эксплуатируемых при числах Фруда около 0,3, а также быстродвижущихся судов различного назначения, не превышает 45–50% от полного сопротивления.

Сопротивление трения с учетом шероховатости судовой поверхности определяется по формуле

$$R_t + R_m = (\zeta_l + \zeta_{\text{шв}}) \cdot \frac{\rho}{2} S u^2,$$

где  $\zeta_{\text{шв}}$  — бесразмерный коэффициент надбавки на шероховатость. При определении элементов проектируемого судна коэффициент  $\zeta_l$  рассматривается как постоянная величина. Коэффициент же  $\zeta_t$  является функцией относительной скорости.

В детальных расчетах сопротивления воды движению судна коэффициент трения определяется по стандартным формулам, приве-

денным в § 2.2, которые показывают, что коэффициент трения медленно уменьшается по мере возрастания числа Рейнольдса.

Для определения симметричной поверхности был предложен ряд формул и графиков, частично приведенных в § 2.1. Наиболее простой отличается формула Тейлора

$$|S - kV| \sqrt{VL} = k^{1/4} V^{3/4}, \quad (1.6)$$

где  $V$  — обычное водонизмещение судна;  $L$  — относительная длина.

Коэффициент  $k$  в формуле (1.6) относительно стабилен, если она применяется к симметричным судам. Для геометрически подобных судов числовые значения коэффициента  $k$  одинаковы.

В дальнейшем безразмерный коэффициент

$$k = \frac{S}{L^2 V^{5/4}}, \quad (1.7)$$

рассматривается как параметр, который характеризует относительную симметричную поверхность. Хотя его числовые значения колеблются в некоторых пределах в зависимости от коэффициента общей полноты  $k$  и отношения  $B/T$  и  $L/B$ , однако в первом приближении его можно рассматривать как постоянную величину.

Из общего выражения сопротивления трения и формулы (1.6) следует, что

$$R_t = \zeta_l \cdot \frac{\rho}{2} A l^{1/4} V^{3/4} u^2, \quad (1.8)$$

записав,

$$R_t = \frac{1}{2} \zeta_l k^{1/4} D P r^2, \quad (1.9)$$

так как  $\rho g = \mu$ .

Учитывая, что относительная длина судна выражается зависимостью

$$l = \left[ \frac{1}{6} \left( \frac{L}{B} \right)^2 \frac{B}{T} \right]^{1/4},$$

можно представить формулы (1.8) и (1.9) в виде

$$R_t = \zeta_l \cdot \frac{\rho}{2} k \left( \frac{1}{6} \frac{B}{T} \right)^{1/4} \left( \frac{L}{B} \right)^{3/4} V^3 u^2, \quad (1.10)$$

$$R_t = \frac{1}{2} \zeta_l k \left( \frac{1}{6} \frac{B}{T} \right)^{1/4} \frac{L}{B} D P r^2. \quad (1.11)$$

Из формулы (1.10) следует, что при постоянной скорости хода и постоянном водонизмещении изменение коэффициента  $k$  и отношения  $B/T$  в пределах, имеющих практическое значение, не оказывает существенного влияния на сопротивление трения. В несколько большей степени влияет изменение отношения  $L/B$ .

Сопротивление же элементы судна при одинаковом водоизмещении и одинаковом числе Фруда, приходим в соответствии с формулой (1.11) к выводу, что в этом случае изменение элементов судна оказывается на сопротивлении значительно сильнее. Практически, однако, при определении элементов проектируемого судна заданной величиной является скорость хода, а не число Фруда.

### § 1.3. Сопротивление формы

Как известно (парадокс Эйлера), сопротивление движению тела, вполне погруженного в бесграничный поток воображаемой идеальной жидкости, равно нулю. Объясняется это тем, что поле вынужденных скоростей переди и сзади изменяется по одинаковым законам.

При движении корабля обтекаемого тела в реальной жидкости наряду с сопротивлением трения возникает сопротивление формы. Последнее является следствием снижения давления в кормовой оконечности тела. Радиение в зонах давления хорошо обтекаемого тела потоками идеальной и реальной жидкости увеличивается по мере уменьшения отношения его длины к ширине и высоте. У плохо обтекаемых тел в кормовой оконечности наблюдается отрыв пограничного слоя, что сопровождается резким увеличением сопротивления.

Наличие вертикальных составляющих скорости воды в кормовой оконечности близки длины может в свою очередь привести к отрыву потока у склы, что также сопровождается увеличением сопротивления формы. Правильная в кормовой оконечности судна обводы, способствующие созданию горизонтального потока в районе низких ватерлиний, можно снизить эту составляющую сопротивления.

Сопротивление формы возрастает по мере увеличения коэффициента общей полноты и уменьшения отношения длины судна к его ширине и особенно изменение после отрыва пограничного слоя в кормовой оконечности судна. В связи с этим при изучении сопротивления формы возникают две задачи: первая — определение условий, при которых явление отрыва пограничного слоя практически не наблюдается; вторая — изучение влияния формы обводов на протяженность зоны отрыва и сопротивление формы.

Занимаясь первой задачей, Г. Баккер [49] пришел к выводу, что сопротивление формы в значительной мере зависит от длины кормового заострения. Для определения минимальной приемлемой длины кормового заострения  $L$ , Г. Баккер предложил эмпирическую формулу

$$(L)_{\min} = C \sqrt{\Omega}, \quad (1.12)$$

где  $\Omega$  — площадь модель-шпангоута;  $C$  — практический коэффициент, который мы будем называть коэффициентом кормового заострения; по Баккеру для транспортных судов  $C = 4,1$ .

Выразив площадь модель-шпангоута  $\Omega$  через ширину судна  $B$ , длину  $T$  и коэффициент полноты модель-шпангоута  $\beta$  и введя поправку об относительной длине кормового заострения

$$l_r = \frac{L_r}{L},$$

можно представить формулу (1.12) в виде соотношений

$$\left( \frac{L}{B} \right)_{\min} = C \sqrt{\beta \frac{T}{B}}; \\ (L)_{\min} = C \frac{B}{l_r} \sqrt{\beta \frac{T}{B}}. \quad (1.13)$$

В формулах (1.12) и (1.13) длину кормового заострения определяют по грузовой ватерлинии, считая от стапа-поста. Лишь на сравнительно острой судах можно отсчитывать отрезок  $L$ , от руля до постста. Длину кормового заострения ватерлиний, расположенных ниже грузовой, следует постепенно увеличивать вплоть до 1,15L, из первой ватерлинии снизу.

Судя по другим данным, желательно, чтобы угол между касательными к кормовым ватерлиниям и диаметральной плоскости не превосходил 19°—20°.

Формулу Баккера приводят к удовлетворительным результатам при коэффициентах общей полноты  $\delta = 0,8$  и отношении  $L/B = 6$ .

Зависимость сопротивления формы от элементов судна при одинаковом обтекании исследована в работе В. М. Штумпфа, А. Ф. Пустомитого и Ю. С. Бахилевского [104], посвященном проектированию обводов крупнотоннажных танкеров. Практические закономерности, отмеченные в работе, были установлены путем испытаний нескольких серий моделей с коэффициентами полноты  $\delta = 0,800 \pm 0,875$ , отношениями длины к ширине  $L/B = 5,8 \pm 8,3$  при центре всплытия, расположенным в зоне от модели на расстоянии  $x = 1,5 \pm 2,5\%$  от длины судна.

Как и следовало ожидать, область отрыва возрастала по мере увеличения коэффициента  $\delta$ , уменьшения отношения  $L/B$  и снижения центра всплытия в корму. Из моделей с V-образными, бульбобородавчатыми и сигарообразными кормовыми обводами две последние формы оказались наиболее неблагоприятными по сопротивлению.

Обтекание кормовой оконечности моделью происходило в оси-носом по ватерлиниям. В точке отрыва пограничного слоя угол наклона грузовой ватерлинии достигал величины  $\Phi_{\text{бр}} = 30 \pm 35^\circ$ .

На рис. 1.1, заменявшимся на рассматриваемой работе, показаны предельные кривые  $\xi_4 \cdot 10^4 = f(\delta)$ , ограничивающие возможные значения коэффициента сопротивления формы. В области I необходимо обеспечивать безотрывное обтекание. В области II, соответствующей отрывному обтеканию, коэффициент сопротивления формы может изменяться в широких пределах в зависимости

от формы обводов. В области III кривые  $C_b \cdot 10^3 = f(\delta)$  сближаются, и особенности формы судна мало сказываются на сопротивлении.

Относительная площадь попечного сечения зоны отрывающего обтекания  $\bar{\omega} = \omega/\Omega$ , измеренная в долях площади модель-плиты, зависит в основном от коэффициента продольной полноты кормовой половинки судна и отношения  $L/B$ . Для определения относительной площади  $\bar{\omega} = f(\varphi_c; L/B)$  можно воспользоваться

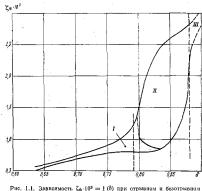


Рис. 1.1. Зависимость  $C_b \cdot 10^3 = f(\delta)$  при отрывом в безотрывном обтекании судна

рис. 1.2. После этого коэффициент сопротивления формы  $C_b \cdot 10^3 = f(\omega)$  определяется по диаграмме на рис. 1.3, который, как и рис. 1.2, заимствован из упомянутой работы.

В качестве примера ниже приведены значения коэффициента сопротивления формы, подсчитанные по кривым на рис. 1.2 и 1.3 для трех судов с коэффициентами общей полноты  $\delta = 0,800 + 0,850$ . Коэффициент продольной полноты кормовой половинки судна определяется по формуле Нормана:

$$\varphi_c = \varphi \approx 2,25x$$

в зависимости от выбранных значений относительной абсолютной величины  $x$ :

$\delta$	$\varphi$	$x = x_c/L$	$\varphi_c$	$\bar{\omega}$	$C_b \cdot 10^3$
0,800	0,900	0,808	0,018	0,790	0,20
0,825	0,950	0,833	0,020	0,388	0,30
0,850	0,990	0,858	0,025	0,802	0,33

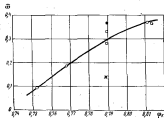


Рис. 1.2. Зависимость относительной площади попечного сечения области отрыва от коэффициента продольной полноты кормовой половинки судна

○ —  $L/B = 0,6$ ; ● —  $L/B = 0,7$ ; ■ —  $L/B = 0,8$

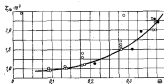


Рис. 1.3. Зависимость коэффициента сопротивления формы от относительной площади попечного сечения области отрыва

○ — эксперимент; ● — по расчету

При переходе от модели к натуре зона отрыва пограничного слоя, а следовательно, и сопротивление формы, могут значительно измениться вследствие масштабного эффекта, а также влияния ше-

раковатости наружной обшивки и работающего гребного винта. Влияние этих факторов еще мало изучено. По-видимому, в натуре создаются более благоприятные условия отбрасывания кормовой оконечности, чем в модельном эксперименте.

#### § 1.4. Волновое сопротивление

Как отмечалось, волновое сопротивление определяется в основном его полногоризонтальной составляющей, связанный с затратой энергии на образование корабельных волн. Рассечение энергии вследствие разрушения звуковой подводной волны скаживается в значительно меньшей степени.

Путем испытания моделей с утилизацией большой длиной цилиндрической вставки из поглощающего волнового сопротивления можно выделить волновое сопротивление носовой и кормовой частей судна. В интервале скоростей, представляющих интерес при проектировании подводомещающих судов, эта составляющая волнового сопротивления монотонно возрастает с увеличением скорости хода. Дополнительное влияние интерференции корабельных волн выражается крахвой часто волнового сопротивления и вызывает появление на них местных бургов и вспаш.

Испытания, во время которых изменилась форма носовой оконечности модели при одной и той же форме кормовой оконечности, а затем исследовалось влияние вариации формы кормовой оконечности при изменении носовой оконечности, показывают, что при относительных скоростях и параметрах формы, обычных в коммерческом судостроении, волновое сопротивление определяется главным образом формой носовой оконечности. К тому же заключению приводят интегрирование хронических давлений, распространенных по поверхности моделей. Модели в этом интервале скоростей дифференцируются на них, и наблюдается увеличение из средней осадки.

При более высоких скоростях ( $Fr > 0,3$ ) модели дифференцируются на корму и форма кормовой оконечности оказывает более значительное влияние на волновое сопротивление.

В работе автора 1967 г. (см. список на стр. 108) указаны соотношения элементов волны, вытекающие из гидродинамической теории волны с малой амплитудой. Напомним, что длина волны связана с ее фазовой скоростью с соотношением

$$\lambda = \frac{2\pi}{k} c^2.$$

Фазовая скорость корабельных волн равна скорости судна  $c$ , так как их положение по отношению к судку остается неизменными. Поэтому длина корабельных волн определяется равенством

$$\lambda = \frac{2\pi}{k} u^2. \quad (1.14)$$

Остановимся теперь на вопросе об интерференции носовой и кормовой систем корабельных волн. Изучая это явление при бу-

сиронке моделей, Г. Бакер и Дж. Кент [50] пришли к выводу, что впадина первой кормовой волны (см. точку  $A$  на рис. 1.4) занимает устойчивое положение по длине судна, почти не зависящее от его скорости. Устойчивое положение занимает также точка  $B$ , соответствующая середине между гребнем и впадиной первой носовой волны. Практически можно сказать, что при числах Фруда, меньших 0,32–0,33, расстояние  $AB$  не зависит от скорости судна и выражается через его длину и коэффициент продольной полноты соотношением

$$AB = qL.$$

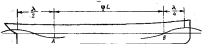


Рис. 1.4. Схема к вопросу об интерференции корабельных волн

Это позволяет выразить волнообразующую длину  $L_1$ , равную расстоянию между гребнем первой носовой и первой кормовой волнами, форагой

$$L_1 = qL + \frac{3}{4}\lambda \quad (1.15)$$

и, следовательно, число волн, расположенных на отрезке  $L_1$ ,

$$n = \frac{L_1}{\lambda} = \frac{qL}{\lambda} + \frac{3}{4},$$

или в соответствии с формулой (1.14)

$$n = \frac{q\pi L}{2\pi F^2} + \frac{3}{4} = \frac{\pi L}{2\pi F^2} + \frac{3}{4}. \quad (1.16)$$

Из формулы (1.16) следует, что положение буртов и впадин за краинами сопротивления можно приближенно определить, пользуясь зависимостью

$$Fr = 0,4 \sqrt{\frac{q}{n - \frac{3}{4}}}. \quad (1.17)$$

Затронутые вопросы рассмотрены теоретически в ряде работ и, в частности, в работе В. Виггса [118] и последующих его работах. В результате В. Виггса пришел к выводу, что приближенное решение Бакера — Кента приводит к удовлетворительным результатам при  $Fr = 0,30 \rightarrow 0,32$ , если оно применяется к судам, имеющим цилиндрическую вставку.

При низких соотношениях между коэффициентами продольной полноты и числами Фруда, как это следует из работы Г. Бакера и Дж. Кента и других практических данных, бугры на кривых сопротивления появляются приблизительно при следующих числах Фруда:  $Fr = 0,48 \rightarrow 0,50; 0,29 \rightarrow 0,30; 0,23$ .

Видимо, не соответствуют приблизительно числа Фруда  $Fr = 0,34 \rightarrow 0,35; 0,25; 0,21$ .

Дж. Лукас (1841), вычислив волновое сопротивление судна, рассчитанного его же на составляющие, обусловленные возникновением

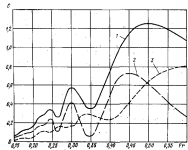


Рис. 1.5. Коэффициенты с полного волнового сопротивления движения судна (1) и его составляющие, обусловленные образованием кренерных (2) и расходящихся волн (3) по Лукасу

кренерных и расходящихся волн. Из диаграммы Лукаса, воспроизведенной на рис. 1.5, следует, что энергия, затрачиваемая на создание расходящихся волн, существенно увеличивает волновое сопротивление и при больших скоростях хода сдвигает бугор на кривой сопротивления в сторону возрастающих чисел Фруда.

### § 1.5. Области экономичности в области сопротивления движению тихоходных, среднескоростных и быстроходных судов

Экономичности, определяющие сопротивление воды движению судна, различны в различных диапазонах относительной скорости. В соответствии с этим удобно разбить суда в зависимости от чисел

Фруда, при которых они эксплуатируются, на три группы, охватывающие тихоходные, среднескоростные и быстроходные суда.

В дальнейшем будем относить к числу тихоходных суда, которые эксплуатируются при числах Фруда, меньших 0,25. Среднескоростные будем называть суда со скоростями, соответствующими числам Фруда в пределах 0,25–0,35. Третью группу составят суда, для которых характерны числа Фруда, превышающие 0,35.

Вопросы о сопротивлении воды движению глиссирующих и полиглиссирующих катеров, а также судов на подводных крыльях в настоящей книге не рассматриваются.

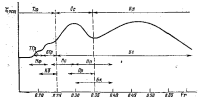


Рис. 1.6. Скоростные режимы и приблизительные пределы относительной скорости судов

$D_1$  — тихоходные;  $U_1$  — среднескоростные;  $B_1$  — быстроходные;  $D_2$  — тихоходные;  $U_2$  — быстроходные;  $B_2$  — быстроходные;  $D_3$  — тихоходные;  $U_3$  — быстроходные;  $B_3$  — быстроходные;  $D_4$  — тихоходные;  $U_4$  — быстроходные;  $B_4$  — быстроходные

На рис. 1.6 приведена в измененном масштабе условная кривая коэффициентов остаточного сопротивления и показаны интервалы чисел Фруда, соответствующие различным разбивкам судов. Среднескоростные суда охватывают участок кривой сопротивления между двумя впадинами, ограничивающими бугор при числе Фруда  $Fr = 0,3$ . Тихоходным и быстроходным судам соответствуют участки кривой сопротивления вне отмеченных впадин. Поскольку, как отмечалось в § 1.4, положение бугров и впадин на кривой сопротивления зависит от коэффициента продольной полноты, граничные значения чисел Фруда, указанные выше, лишь приближенно характеризуют пределы скользящих групп.

Группу тихоходных судов образуют сухогрузные и пассажирские суда различных типов. К среднескоростной группе относятся пассажирские, промысловые и наиболее быстроходные грузовые суда. Пассажирские паромы и буксиры попадают частично в группу среднескоростных, частично — в группу быстроходных судов.

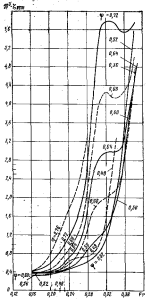


Рис. 1.7. Кривые  $10^4 \zeta_{rest}^{(2)} = f(Fr, \varphi)$  при относительной длине судна  $I = 6,29$  и отношении  $B/T = 2,25$

Грузовые суда, в свою очередь можно разбить на тихоходные, среднескоростные и быстроходные.

Абсолютные скорости судов ( $\text{уз}$ ) не выходят большей частью из следующих пределов:

Грузовые суда данного обозначения:	
тихоходные	19—14
среднескоростные	15—17
быстроходные	18—23
Малые грузовые пассажирские суда	9—12
Промысловые суда	8—18
Пассажирские суда	16—30
Пассажирские яхты	13—25

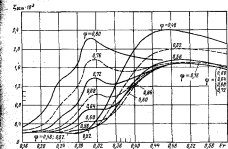


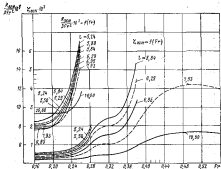
Рис. 1.8. Кривые  $10^4 \sqrt{\zeta_{rest}} = f(Fr, \varphi)$  при относительной длине судна  $I = 10$  и отношении  $B/T = 2,25$

На рис. 1.7 и 1.8 для судов с относительной длиной, равной соответственно  $I = 6,29$  и  $10$ , приведены кривые коэффициентов остаточного сопротивления  $\zeta_{rest} = f(Fr)$  при коэффициентах продольной полноты в качестве параметра. На рис. 1.9 аналогичные кривые построены для судов с коэффициентом  $\varphi = 0,6$  при относительной длине судна в качестве параметра. Диаграммы построены на основе графиков Герстера—Тайлера [65].

В интервале малых чисел Фруда на рис. 1.9 наряду с кривыми  $\zeta_{rest} = f(Fr)$  занесены кривые  $R_{rest}/DFr^3 = f(Fr)$ , которые, как показано в § 1.6, более показательны в тех случаях, когда рассмат-

ривается вопрос о зависимости сопротивления от относительной длины судна.

Анализ планового расположения кривых на рис. 1.7–1.9 приводит к выводу, что при числах Фруда, характерных для тихоходных судов, остаточное сопротивление в основном зависит от коэффициента продольной полноты. Кривые же удельного сопротивления, построенные для ряда относительных длин, при малых числах Фруда ложатся кучко и частично пересекают друг друга.



### § 1.8. Представление данных о сопротивлении воды движению судна и мощности энергетической установки

В очевидных работах сопротивление воды движению судна и составляющие полного сопротивления выражают зависимостями

$$\frac{R}{D} = \frac{2R_1}{\rho g L^3} = f(\text{Fr}), \quad (1.18)$$

применявшимися и в предыдущих параграфах. Такой способ представления данных о сопротивлении воды, принятый и в ряде других стран, можно обосновать тем, что размеры и положение корабельных колес, возникающих при движении данного судна, определяются числом Фруда.

Применяются и другие способы представления экспериментальных данных, рассчитанные на большую наглядность. Они анализируются в работах Х. Линкена [79] и Е. Тэйфера [106], а также в некоторых более ранних работах.

Рассматриваемый вопрос имеет большое практическое значение для специалистов, связанных с проектированием судов, так как параметры, используемые при обработке практических данных о сопротивлении воды движению судна, субъективно воспринимаются как критерии, характеризующие качество формы судна. Действительно, сопоставляя кривые коэффициентов сопротивления  $\xi = f(\text{Fr})$ , конечно, из первого взгляда, отдать предпочтение судну с минимальным коэффициентом  $\xi$ . Между тем при определении элементов проектируемого судна в ряде вариантов судно с минимальным коэффициентом  $\xi$ , как это показано ниже, может не отличаться минимальным сопротивлением.

Наглядным критерием, позволяющим обоснованно оценить составляемые варианты судна, спроектированные на одинаковую скорость хода, следует признать полное удельное сопротивление  $R/D$ . Этот показатель можно характеризовать как тягу шинтов, которую нужно приложить к единице массы судна для того, чтобы сообщить последнему заданную скорость хода.

В анимах появляются аналогичные обратным показателям, называемым аэродинамическим качеством самолета. При горизонтальном полете с данной скоростью он представляет собой массу самолета, приходящуюся на единицу тяги шинтов.

Удельные сопротивления выражают в зависимости от безразмерной относительной скорости соотношениями

$$\frac{R}{D} = f(\text{Fr}); \quad (1.19)$$

$$\frac{R}{D} = f(\text{Fr}_v); \quad (1.20)$$

$$\frac{R}{D} = f(P), \quad (1.21)$$

где  $\text{Fr}_v$  — число Фруда, отнесенное к объемному водонимещению;  $P$  — величинное число Банера. Эти показатели выражаются формулами

$$\text{Fr}_v = \frac{s}{g b \sqrt{u}} = I^{1/3} \text{Fr};$$

$$P = \frac{u}{\sqrt{g b L}} = \frac{\text{Fr}}{I^{1/3}},$$

где  $I = L^{1/3}$  — относительная длина судна.

Если в практических расчетах используются варианты судна, приведенные к одинаковой длине, следует пользоваться зависимостями, представленными формулой (1.19). В этом случае кривые  $R/D = f(v)$  и  $R/D = f(\text{Fr})$  будут отличаться лишь масштабами. Если же сравниваются варианты судна, имеющие одинаковое водонимещение, показательными являются кривые  $R/D = f(\text{Fr}_v) = f(v)$ , которые качественно не отличаются от кривых  $R/D = f(v)$ . То же самое можно сказать о зависимости (1.21) в тех случаях, когда сопоставляются варианты судна, имеющие одинаковую длину и одинаковый коэффициент продольной полноты.

Удельное сопротивление (быстро) возрастает по мере увеличения скорости судна, что затрудняет графическое отображение зависимостей (1.19) — (1.21). Поэтому при обработке практических данных целесообразно заменить их зависимостями

$$r = \frac{R}{D \text{Fr}^2} = f(\text{Fr}); \quad (1.22)$$

$$r_v = \frac{R}{D \text{Fr}_v^2} = \frac{R}{\rho V^2 u^2} = f(\text{Fr}_v); \quad (1.23)$$

$$r_B = \frac{R}{D P^2} = \frac{R_{\text{спр}} L}{D u^2} = \frac{R}{\rho u^2} = f(P), \quad (1.24)$$

где  $\Omega$  — площадь мидель-шпангоута.

Сказанное об условиях, при которых уместно пользоваться зависимостями (1.19) — (1.21), распространяется соответственно на зависимости (1.22) — (1.24).

Будут ли мидии на кривых  $r_B = f(P)$  располагаться особенно закономерно, что является преимуществом такого представления экспериментальных данных. Однако в расчетах, связанных с определением элементов проектируемого судна, когда коэффициент продольной полноты является искомой величиной, пользоваться зависимостью (1.24) незадобно.

Составленные формулы (1.22) и (1.23), следует отметить, что первая из них лучше отражает физическую сущность явления и потому более показательна для оценки качества формы судна в зависимости от относительной скорости хода. Необходимо все же

учесть, что в проектных расчетах часто приходится сопоставлять варианты судна при одинаковой абсолютной скорости хода. Поскольку объемное водонизмещение входит в параметр  $Fr_v$ , в степени одна шестая, а сопоставимые суда обычно мало отличаются по водонизмещению, условию  $\sigma = \text{idem}$  соответствует приблизительно условие  $Fr_v = \text{idem}$ . Поэтому в практических расчетах число Фруда  $Fr_v$  может оказаться более удобным параметром, чем число Фруда, отнесенное к длине судна.

Соглашаемся на примерах, иллюстрирующих склонение о зависимости, правильно и неправильно отображающие качество формы сопоставляемых вариантов судна.

На рис. 1.10 представлены кривые сопротивления  $10^3 (R/D; r; r_v) = f(\delta)$  судна длиной  $L = 122$  м при скорости хода 15 уз ( $Fr = 0,221$ ). Кривые построены поданным испытания серии моделей в шведском опытом бассейне [64].

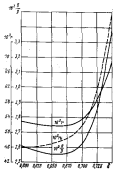
Рис. 1.10. Кривые удельного сопротивления  $10^3 (R/D; r; r_v) = f(\delta)$  судна длиной 122 м при скорости хода 15 уз

В зависимости от коэффициента общей полноты моделей их относительная длина  $I_s = L_s/V^{1/6}$ , вычисленная применительно к длине судна по материалам  $L_s$ , приобретала указанные ниже значения:

$I_s$	0,600	0,625	0,650	0,675	0,700	0,725	0,750
$I_s$	5,99	5,91	5,83	5,75	5,69	5,62	5,56

На диаграммы на рис. 1.10 видно, что кривые  $10^3 (R/D; r) = f(\delta)$  имеют минимум при  $\delta = 0,66$ . Кривая же  $10^3 r_v = f(\delta)$ , которая в настоящем случае не показательная, возрастает monotonно по мере увеличения коэффициента  $\delta$ .

Кривые  $10^3 (R/D; r; r_v) = f(I_s)$  на рис. 1.11 построены по данным, приведенным в работе [65]. Эти длины были получены путем испытания моделей с коэффициентом общей полноты  $\delta = 0,575$  и пересчитаны на судно с объемным водонизмещением  $V = 8310 \text{ m}^3$ .



Относительная длина моделей изменилась в пределах  $I_s = 5,77 \div 6,68$ . Диаграмма построена для скорости хода  $v = 17 \text{ уз}$ , что соответствует числу Фруда, отнесеному к объемному водонизмещению  $Fr_v = 0,621$ . Число Фруда, отнесенное к длине по прерывистике, уменьшилось во мере увеличения относительной длины в пределах  $Fr_v = 0,258 \div 0,240$ .

Ординаты кривых  $10^3 R/D = f(I_s) \times 10^3 r_v = f(\delta)$  на рассматриваемом рисунке уменьшаются, а ordinаты кривой  $10^3 r = f(\delta)$ , в настоящем случае не показательной, возрастают по мере увеличения относительной длины судна.

Из формулы (1.18) следует, что коэффициент  $\delta$  про-

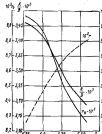


Рис. 1.11. Кривые удельного сопротивления  $10^3 (R/D; r; r_v) = f(\delta)$  судна длиной 8310 м при водонизмещении 8310 м<sup>3</sup> при скорости хода 17 уз

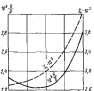


Рис. 1.12. Кривые  $10^3 (R/D; r) = f(I_s)$  при числе Фруда  $Fr = 0,208$  при скорости хода 17 уз

вилько характеризует сопротивление сопоставляемых вариантов судна в тех случаях, когда они имеют одинаковую форму в смоченную поверхность. Формула (1.7) показывает, что это условие приближено за соблюдается, если  $L = 50\text{m}$  и  $R^2V^{1/2} = \text{idem}$ .

В качестве примера на рис. 1.12 приведены кривые  $10^3 (R/D; \delta) = f(\delta)$ , соответствующие числу Фруда  $Fr = 0,208$ . Рисунок построен по данным испытания моделей с отношением  $B/T = 2,5$ , приведенным в серии [66] [111].

Коэффициентам общей полноты моделей, указанным в пределах  $\delta = 0,6 \div 0,8$ , соответствовали следующие значения относительной длины:

$\delta$	0,60	0,65	0,70	0,75	0,80
$I_s$	6,16	5,87	5,59	5,38	5,20

Так как в паспортном случае условие  $F^2 V^{0.5} = \text{Idem}$  не соблюдается, приравняем  $10^4 R/D = f(8)$  и  $10^4 \frac{S}{V} = f(8)$  на рис. 1.12 значительно отличаются по своему характеру друг от друга.

На практике часто пользуются разумерной модификацией адмиралтейского коэффициента

$$C = \frac{D_a^{0.5} \gamma^3}{W_u}, \quad (1.26)$$

где  $D_a$  — водоизмещение, метрические тонны;  $W_u$  — мощность бортовой энергетической установки.

Аналогичными формулами выражают мощность энергетической установки.

Приравняв правые части формул

$$W_u = \frac{R_a \cdot \gamma^3}{75} = \frac{0,634 R_a \cdot \gamma^3}{75};$$

$$W_u = \frac{D_a^{0.5} \gamma^3}{C}.$$

где  $R_a$  — сопротивление движению судна, ит. найден, рассматривая отношение  $R/D$  как безразмерную величину,

$$\begin{aligned} 10^4 \frac{R}{D} &= \frac{R_a}{D_a} = \frac{146}{C} \frac{\gamma^3}{D_a^{0.5}} = \\ &= \frac{146}{C} \frac{L}{D_a^{0.5}} \frac{\gamma^3}{L}. \end{aligned}$$

Учитывая, что  $\text{Fr} = 0,164 \sqrt{L}$ , можно также написать

$$10^4 \frac{R}{D} = \frac{1}{\text{Fr}^2} \frac{1530}{C} L \text{Fr}^2, \quad (1.26)$$

$$10^4 \frac{R}{D} = \frac{1}{\gamma^6} \frac{1530}{C} \text{Fr}_{\gamma}^2, \quad (1.27)$$

С другой стороны, удельное сопротивление связано с коэффициентом сопротивления соотношениями

$$10^4 \frac{R}{D} = 500 C \text{Fr}_{\gamma}^{1.5} \text{Fr}^2, \quad (1.28)$$

$$10^4 \frac{R}{D} = 500 C \text{Fr}_{\gamma}^{1.5} \text{Fr}_{\gamma}^2. \quad (1.29)$$

В формулах (1.28) и (1.29), так и в формулах (1.26) и (1.27), отношение  $R/D$  представляет собой безразмерную величину.

В практических расчетах пользуются также соотношением

$$k_a = \frac{N}{D_a},$$

выражающим отношение мощности энергетической установки к транспортной мощности судна  $D_a$ .

В последней формуле

$$\frac{N}{D_a} = \frac{D_a^{0.5} \gamma^3}{C_N D_a \gamma^6} = \frac{3.69}{C_N} / \text{Fr}^2,$$

где  $C_N$  — адмиралтейский коэффициент, отнесенный к мощности энергетической установки.

Удельное сопротивление можно выразить также зависимостями

$$10^4 \frac{R}{D} = \frac{R_a}{D_a} = \frac{75}{0.634};$$

$$\frac{R_a}{D_a} = 146 \eta_{\text{sp}}^2 k_a,$$

где  $\eta_{\text{sp}}^2$  — суммарный пропусканий коэффициент.

Приравняв правые части формул (1.26) и (1.28), приходим к следующей зависимости, связывающей коэффициент сопротивления и адмиралтейский коэффициент:

$$\frac{C}{\text{Fr}^2} = \frac{10.86}{\gamma^6 A^{1/2} / C}, \quad (1.30)$$

В дальнейшем изложения приняты дополнительные следующие обозначения:

$L_a$  — длина судна, футы (1-фут = 0,3048 м);

$S_a$  — сечальная поверхность, квадратные футы;

$V_a$  — объемное водоизмещение, кубические футы;

$D_a$  — водоизмещение, метрические тонны, при плотности воды  $\gamma = 1,024 \text{ t/m}^3$  (1 мил. тонн = 1,016 т);

$W_u$  — мощность, метрические лошадиные силы (1 англ. л. с. = 1,014 д. с.);

$v_a$  — скорость, английские узлы ( $v_a = 1,006 \approx \text{m/s}$ ).

В Великобритании, наряду с размерными параметрами, широко применяют безразмерные параметры, предложенные Р. Фруром в 1888 г. Параметры Фруда принято обозначать буквой  $F$  в кружках. Для упрощения набора кружка в приведенных ниже формулах заменили квадратными скобками

$$[M] = I = \frac{L}{V^{1/2}} = \frac{L_a}{V_a^{1/2}} = 0,3057 \frac{L_a}{D_a};$$

$$[S] = \frac{S}{V^{1/2}} = \frac{S_a}{V_a^{1/2}} = 0,0935 \frac{S_a}{D_a^{1/2}};$$

$$\begin{aligned} [K] &= \sqrt{\frac{g}{V^{1/2}}} = \sqrt{\frac{4 \pi a^3}{g V^{1/2}}} = 3,545 \text{ Fr}_{\gamma} = \\ &= 0,5834 \frac{v_a}{D_a^{1/2}}; \end{aligned}$$

$$[C] = 427,1 \frac{W_u}{D_a^{0.5} v_a^3} = \frac{455,2}{C}.$$

Отметим, кроме того, что

$$10^4 \frac{R}{D} = \frac{18.7}{\gamma^2} [C] / Fr^2;$$

$$Fr = 0.298 \frac{L_s}{\sqrt{L_s}} = 0.164 \frac{L_s}{V L};$$

$$Fr_s = 1.606 \frac{L_s}{D_s^2};$$

$$10^4 = \frac{10 R}{DF^2} = 5.2 \frac{R_s L_s}{D_s^2} = 5.2 r_s;$$

$$10^4 = \frac{25.4 [C]}{\gamma^2 R^2};$$

В этих формулах  $R_s$  — сопротивление воды движению судна в английских футах (1 фут = 0,4536 кг);  $r_s$  — размерная модификация параметра  $r$ .

### § 1.7. Некоторые аспекты понятий «мощность энергетической установки» и «скорость хода»

В эксплуатационных условиях, вследствие нестабильности гидрометеорологических условий и обраствия корпуса, сопротивление воды движению судна становится величиной переменной. Поэтому, кроме того, фактическая мощность главного двигателя, установленного на судне, обычно несколько отличается в большую сторону от минимальной мощности, найденной расчетом, возникает необходимость детализировать понятия «мощность энергетической установки» и «скорость хода».

Некоторые сведения по этому вопросу приведены ниже.

Под минимальной (名义альной длительной) мощностью двигателя понимают максимальную мощность, которую он может развивать неограниченное время при отведенных в спецификации условиях.

Эксплуатационной (нормальной) мощностью двигателя называют предельную мощность, рекомендуемую для использования в эксплуатационных условиях. Обычно резерв мощности при переходе от名义альной и эксплуатационной мощности составляет 5—10%. Он необходим для компенсации снижения мощности двигателя как в процессе нормального старения, так и вследствие случайных обстоятельств. Из числа последних можно назвать применение топлива с более низкой теплотворной способностью по сравнению с обычным, недостаточно квалифицированное обслуживание машинной установки и т. п.

Эксплуатационная мощность двигателя устанавливается заводом-поставщиком с учетом предполагаемых условий эксплуатации судна.

Под спецификационной мощностью энергетической установки (когда речь идет о судне) понимают мощность, которую согласно спецификации должна развивать главный двигатель при проверке заводских качеств судна во время слотовых испытаний. Обычно в качестве спецификационной мощности принимают комбинированную или нормальную мощность двигателя.

Под проектной мощностью энергетической установки понимают мощность, принятую в проекте при определении элементов и технико-экономических показателей судна. Она не может превышать нормальную мощность энергетической установки и большей частью применяется разной последней.

В дальнейшем будем оперировать лишь понятиями «номинальная» и «нормальная» мощность энергетической установки, полагая для определенности, что последняя совпадает со спецификационной и проектной мощностями.

Переходя к вопросу о классификации скоростей, отметим, что слотовой (спецификационной) скоростью хода называют минимальную гарантированную в спецификации скорость судна во время лодочных испытаний при отведенных в спецификации условиях.

Скорость, фактически установленную во время испытаний, называют скоростью на испытаниях.

Ходовые испытания проводят на глубокой воде при чистовой наружной обшивке, соответствующей определенным требованиям, и благоприятных гидрометеорологических условиях. Сила ветра во время испытаний не превосходит общего 2—3 баллов, в волнение — 2 баллов. Испытания проводят при садке, оговоренной в спецификации. Для танкеров, пассажирских судов и буксиров эта садка обычно принимается разной проектной. Судогрузные же суда часто проходят испытания при посадке, которую они получают после занятия шлюпки забортной волны и судовых заливов. В этом случае скорость судна в полном грузу на такой воде определяют пересчетом. Точность таких пересчетов не является стольной, если они базируются на данных испытаний самой ходовой модели судна при садках, соответствующих садке судна в полном грузу и балласте.

Установленная пересчетом скорость, которую судно в полном грузу способно развить при чистой наружной обшивке и благоприятных гидрометеорологических условиях, в дальнейшем называется «скоростью на чистой воде».

Под эксплуатационной скоростью понимают среднюю скорость судна во времени плавания. В тех случаях, когда речь идет об отчетном значении эксплуатационной скорости, ее устанавливают делением пути, проходимого судном в течение плавания, на суммарную продолжительность ходового времени. При этом отклонение от курса вследствие волнодыи не учитывается в проходном пути. Это приводит к некоторому увеличению средней скорости хода по сравнению с фактической.

Служебной скоростью хода называется скорость судна регулярного плавания, которое эксплуатируется по строгому расписанию.

При определении элементов проектируемого судна, выборе марки главных двигателей и проектировании гребных винтов естественно исходить из эксплуатационной и служебной скорости хода, поскольку они соответствуют наиболее показательным условиям эксплуатации.

Если эксплуатационная скорость не оговорена в заданиях на проектирование судна, ее можно определить приближенно, исходя из скорости хода за тихой воли, в практических данных о потерях скорости эксплуатационных условиях (см. главу четвертую).

В заключение отметим, что от требований, предъявляемых к чистоте наружной обшивки во время сдаточных испытаний, зависят затраты мощности энергетической установки, который следует учитывать в проектных расчетах. Поэтому остановимся подробнее на имеющихся по этому вопросу рекомендациях.

В районах, где наблюдается интенсивное обрастание судов (Каспийское и Черное моря, Дальневосточное побережье), И. В. Гирс, А. А. Русецкий и Ю. А. Непалета [12] рекомендуют проводить ходовые испытания не позже чем через 5—10 сут после выхода судна из дока. Авторы считают, что на севере (Балтийское и Баренцево моря) можно увеличить этот промежуток времени до 30—40 сут.

По мнению Дж. Аллана и Х. Кеккхена [47], основанному на аналогичных сдаточных испытаниях английских судов, для получения обоснованных результатов испытания должны проводиться не позднее чем через 20 сут после выхода судна из дока.

В статье «Определение пропульсивных качеств судна по данным модельных испытаний» [27] излагается стандартная методика подобных пересчетов, принятая Советом Британских опытных бассейнов. Методика исходит из нескольких соображений, характеризующих состояние корпуса и гидрометеорологические условия во время ходовых испытаний судна. Наряду с другими показателями состояния корпуса определяется промежутком времени от постановки судна в док до начала испытаний. Состояние корпуса считается удовлетворительным, если этот промежуток времени не превосходит одиннадцати суток. Если испытания производятся через 20 сут после выхода судна из дока, состояние корпуса предполагается «средним».

В реальных условиях постройки судна промежутки времени между выходом судна из дока и началом ходовых испытаний колеблются в широких пределах и передо значительной превосходят приведенные выше величины. Отсутствие единства в организации испытаний является причиной большого разброса экспериментальных точек при сопоставлении данных модельных и натуральных испытаний. Для накопления практических данных, позволяющих наилучшим образом предсказывать результаты, которые будут получены во время сдаточных испытаний, желательно сокращать по возможности промежуток времени между ложеванием судна и испытаниями.

## Глава вторая

### ПРЕДВАРИТЕЛЬНЫЕ РАСЧЕТЫ СОПРОТИВЛЕНИЯ ВОДЫ ДВИЖЕНИЮ СУДНА И МОЩНОСТИ ЭНЕРГЕТИЧЕСКОЙ УСТАНОВКИ

#### § 2.1. Смоченная поверхность

Формула Тайлора для определения смоченной поверхности

$$S = k_0 V BL \quad (2.1)$$

была представлена в предыдущей главе в виде коэффициента смоченной поверхности

$$k = \frac{S}{V^2 B^2}.$$

В зависимости от формы судна численные значения коэффициента изменяются в узких пределах. Для моделей, входящих в серию Тайлора, коэффициент  $k = 2,52 \div 2,60$  при  $B/L = 2,25 \div 3,00$ . Для основных моделей серии «60» Тогда этот коэффициент в среднем принимает значение, отмеченное в табл. 2.1, несколько отличаясь от них в зависимости от относительной длины судна. Коэффициент смоченной поверхности моделей промисловых судов серии Траудига изменяется в пределах  $k = 2,57 \div 2,70$  при возрастании коэффициента общей подводности  $\delta$  от 0,025 до 0,575.

Таблица 2.1  
Численные значения коэффициента смоченной поверхности  $k$

$\frac{B}{L}$	При коэффициенте $\delta$				
	0,05	0,15	0,30	0,50	0,80
2,5	2,61	2,61	2,63	2,64	2,66
3,0	2,60	2,60	2,64	2,65	2,70
3,5	2,63	2,63	2,67	2,70	2,74

Из других формул, предложенных для определения смоченной поверхности, отметим формулу Оленки [36]

$$S = LT \left[ 2,0 + 1,37 (\delta - 0,274) \frac{B}{L} \right], \quad (2.2)$$

а также формулы Фруда

$$S = V^2 (3,4 + 0,5\delta) \quad (2.3)$$

и Дени-Мумфорда

$$S = L(a_1 T + a_2 \delta B), \quad (2.4)$$

где  $a_1 = 1,7$ ;  $a_2 = 1,0$ . Для быстроходных судов С. П. Мураги предложил пользоваться формулой Дени-Мумфорда с коэффициентами  $a_1 = 1,36$ ;  $a_2 = 1,13$ .

Уместно отметить такую формулу Ольсена

$$S = L(1,22T + 0,46B)(\delta + 0,765), \quad (2.5)$$

предназначенную для определения смоченной поверхности небольших промысловых судов и буксиров.

Формула Фруда правится в виде

$$k = \frac{3.4}{f^2} + 0.5f^{1/4}.$$

Коэффициент  $k$  этой формулы в зависимости от относительной длины судна принимает следующие значения:

$\frac{L}{k}$	4	5	6	7	8
	2,70	2,64	2,61	2,61	2,61

Аналогично, представим формулу Дени-Мумфорда в виде

$$k = 1,7 \left( \frac{\delta}{T} \right)^{-1/2} + \left( \frac{\delta}{T} \right)^{1/4},$$

приходя к следующим соотношениям:

$\frac{\delta}{T}$	1,2	1,4	1,6	1,8	2,0	2,2	2,4
$k$	2,64	2,62	2,61	2,61	2,61	2,63	2,65

Формулу Ольсена можно представить в виде

$$k = \left[ 1,22 \left( \frac{\delta}{T} \right)^{-1/2} + 0,46 \left( \frac{\delta}{T} \right)^{1/4} \right] (\delta^2 + 0,765)^{1/4}.$$

По этой формуле  $k = 2,63 + 2,66$  в диапазоне значений отношения  $\delta/T = 2,5 - 3,5$  и коэффициента  $\delta = 0,55 + 0,65$ .

Суда по приведенным данным, коэффициент смоченной поверхности транспортных и промысловых судов не выходит за пределы  $k = 2,6 - 2,7$ . В основном он зависит от коэффициента общей гладкости и отношения  $\delta/T$ . Суда по другим данным, при переходе U-образных к V-образным шпангоутам коэффициент  $k$  слегка уменьшается.

### § 2.2. Коэффициенты трения и коррекция на гладкость

В проектных расчетах широко используются опубликованные данные испытаний моделей в опытных бассейнах. Поскольку при обработке первичных материалов бассейны не одинаково оценивают

коэффициенты трения и гладкость на гладкость, может оказаться необходимым пересчитать опубликованные данные применительно к методике определения сопротивления, принятой в Советском Союзе. Современная практика в этом вопросе освещена в настоящем параграфе.

В 1957 г. восьмая Международная конференция представителей опытных бассейнов предложила определять коэффициенты трения по формуле

$$\zeta_f = \frac{0.075}{(\lg Re)^{0.25}}, \quad (2.6)$$

которая в дальнейшем называется формулой ITTC.

Конференция рекомендовала пользоваться этой формулой при публикации работ по ходности судов и объеме научной информации; практический, однако, наряду с этой формулой применяют и иные аналогичные формулы.

В отечественной практике при определении сопротивления воды движению судна коэффициенты трения подсчитывают по формуле Прандтля—Шликкнера

$$\zeta_f = \frac{0.455}{(\lg Re)^{0.25}}, \quad (2.7)$$

исходя из условной температуры забортной воды  $t = 4^\circ\text{C}$ .

В США применяют формулу Шенцера

$$\frac{0.342}{\sqrt{\zeta_f}} = \lg (\zeta_f Re), \quad (2.8)$$

причем температура забортной воды принимается равной  $t = 15^\circ\text{C}$ .

В Англии сопротивление трения определяют по формуле Фруда, которая в метрической системе единиц имеет вид

$$R_f = f_T \frac{S}{1000} U^{1.89}, \quad (2.9)$$

Коэффициент трения в последней формуле принимается равным

$$f_T = f_0 - 0.1392 + \frac{0.258}{2.68 + \zeta_f}, \quad (2.10)$$

при температуре забортной воды  $t = 15^\circ\text{C}$ . При другой температуре воды

$$f_T = f_0 [1 + 0.0043 (15 - t)].$$

Формула Прандтля—Шликкнера дает более высокие значения коэффициента трения, чем формула Шенцера, однако расхождение между ними не превосходит  $1-2.5\%$ . Поэтому при переходе с модели на натурную оба экстраполатора приводят к близким результатам. При больших числах Рейнольдса то же самое относится к формуле ITTC, но при числах Рейнольдса, меньших  $Re = 10^7$ , критичность коэффициентов трения, подсчитанных в соответствии с рекоменда-

шами международной конференции, ложатся выше и идут круче кривых, соответствующих формулам Прандтля—Шлангинга и Шенкера.

Для натурных судов коэффициенты трения Фруда значительно превышают коэффициенты трения, подсчитанные по другим формулам.

При определении сопротивления судна по данным испытаний модели коэффициент трения находят с надбакой на шероховатость  $\zeta_m$ . Эта надбака учитывает косвенным образом такие и ряд других факторов. Поэтому ее рассматривают как корреляционный коэффициент, позволяющий, независимо от способа определения коэффициента трения, привести первичные данные в соответствии с результатами сдвоенных испытаний судна.

В отечественной практике для судов со спарной обшивкой применяются следующие значения надбаки на шероховатость:

- ✓ — транспортные суда  $(0,3\text{--}0,6) \cdot 10^{-3}$ ;
- быстроходные суда  $(0,3\text{--}0,5) \cdot 10^{-3}$ .

Большие значения  $\zeta_m$  принимают для судов, имеющих по размеру, а также в тех случаях, когда наружная обшивка судна отличается повышенной шероховатостью.

В США применяют стандартную надбаку на шероховатость  $\zeta_m = 0,4 \cdot 10^{-3}$ , установленную в 1947 г. на конференции американских симпозиумов бассейнов.

В Англии руководствуются стандартной системой перестета данных модельных испытаний. Согласно этой системе (см. журнал «Морозное судостроение и флот», 1965 г., № 5 и 6) корреляционный коэффициент  $(1+x)$  для океанских судов с длиной  $L > 114$  м является в расчет в виде множителя к сопротивлению движения судна, рассчитанному исходя из коэффициентов трения Фруда при температуре забортной воды  $t = 15^\circ\text{C}$ .

Значения корреляционного коэффициента указаны для судов со спарной обшивкой при наилучшем и среднем состоянии корпуса и двух условиях погоды (наилучших и средних).

Наилучшим считается состояние корпуса, при котором высота бугорков шероховатости не превышает  $76 \cdot 10^{-3}$  мм при длине базы 51 мм, а испытания проводятся не позже чем через сутки после выхода судна из дока.

Средним признается состояние корпуса, если высота бугорков шероховатости не превосходит  $178 \cdot 10^{-3}$  мм (по-видимому, в среднем по всей наружной обшивке), а испытания проводятся не позже чем через 20 сут после выхода судна из дока.

Наилучшие условия испытаний характеризуются отсутствием ветра и волнения, температурой забортной воды  $t = 15^\circ\text{C}$  и глубиной на морской милье, равной 137 м.

Средние условия испытаний характеризуются склоном ветра в 3—4 балла, слабым волнением, температурой воды  $t = 10^\circ\text{C}$  и глубиной воды 91 м.

Для океанских судов трех комбинаций состояния корпуса и условий испытаний соответствуют следующие значения корреляционного коэффициента:

— наилучшее состояние корпуса и наилучшие условия испытаний

$$(1+x) = 0,800 + 0,00185 \left( \frac{1000 - L_s}{100} \right)^{0.5};$$

— среднее состояние корпуса и наилучшие условия испытаний

$$(1+x) = 0,850 + 0,00185 \left( \frac{1000 - L_s}{100} \right)^{0.5};$$

— среднее состояние корпуса и средние условия испытаний

$$(1+x) = 0,890 + 0,00255 \left( \frac{1000 - L_s}{100} \right)^{0.5}.$$

Согласно этим формулам корреляционный коэффициент крупных судов меньше единицы, а малых судов — большие единицы.

Для двухвинтовых судов даются ориентировочные значения корреляционного коэффициента для двух случаев: 1) хорошее состояние корпуса и хорошие условия испытаний; 2) среднее состояние корпуса и хорошие условия испытаний.

Значения корреляционного коэффициента приведены в табл. 2.2.

Таблица 2.2  
Значения корреляционного коэффициента  $(1+x)$   
для двухвинтовых судов

$L_s$ , футы	$L_s$ , м	Случай первый	Случай второй
400	122	0,94	0,99
600	183	0,95	0,95
800	244	0,96	0,91
900	274	0,93	0,87

### § 2.3. Сопротивление выступающих частей, подводное сопротивление и коэффициент запаса

В проектных расчетах полное сопротивление  $R_p$  движению судна в условиях сдвоенных испытаний определяют обычно по формуле

$$R_p = kR - k_1 k_2 k_3 R,$$

где  $k_1$  — коэффициент, учитывающий дополнительное сопротивление выступающих частей и перекладок руля;  $k_2$  — коэффициент, учитывающий влияние гидрометеорологических условий во время испытаний;  $k_3$  — коэффициент запаса.

При выборе численного значения коэффициента  $k_2$  можно руководствоваться следующими практическими данными.

Скуловые киль установливается так, чтобы они не увеличивали габариты судна. Но мера уменьшения коэффициента поплыты мидель-шпангоута оказывается возможной установливать скользкие киль большей высоты. Скуловые киль устанавливаются на протяжении 25–30% и не более 40% от длины судна. На скользких и плавных судах плоскость сколовых киль в среднем лежит в пределах 1–2% от произведения  $L^2$ , а на пассажирских судах — в пределах 3–4% от этого же произведения.

Сопротивление сколовых киль, если они правильно расположены на корпусе, может быть учтено соответствующим увеличением сомкнутой поверхности при определении сопротивления трения. В среднем установка сколовых киль на транспортных судах приводит к увеличению сопротивления на 1–3%.

Для условий сдаточных испытаний дополнительное сопротивление, вызванное перекладками руля, можно учесть надбавкой в 1% к полному сопротивлению.

Дополнительное сопротивление обтекаемого руля на однокилевых судах составляет 1–2% от полного сопротивления. Обычно это обстоятельство не принимается во внимание, поскольку присутствие руля одновременно повышает эффективность работы гребного винта, что также не учитывается.

Таким образом, на однокилевых судах коэффициент, учитывающий влияние выступающих частей, может быть принят равным  $k_2 = 1,03 + 1,04$  при наличии сколовых киль и  $k_2 = 1,01$ , если сколовые киль отсутствуют.

Гребные винты на двухквинтовых судах поддерживаются либо одновинтовыми кронштейнами, заканчивающимися выхлопами гребных валов, либо двухпальмовыми изолированными кронштейнами. Во втором случае при длинных гребных валах устанавливают добавочные промежуточные кронштейны.

На транспортных двухквинтовых судах применяют большую частью выхлопы. По данным А. Лапи (1771), сопротивление двухквинтовых моделей транспортных судов возрастает на 5–8% при установке выхлопов и на 3–8% — при установке кронштейнов гребных валов. Для натурных условий приведенные цифры должны быть снижены в среднем до 4–6% для учета масштабного эффекта, который преявляется при испытаниях моделей с выступающими частями.

В работе П. Макделла 1851 приведены следующие данные, характеризующие пределы изменения сопротивления выступающих частей и зависящие от некоторых характеристик судна и относительной скорости хода (в процентах от сопротивления головного корпуса):

Число Фруда Fr	0,208	0,298	0,476
Большая быстродвижущаяся часть судна	10–16	10–16	—

Большие среднескоростные дву- хквинтовые суда	8–14	8–14	—
Малые быстродвижущиеся дву- хквинтовые суда	30–30	17–25	30–35
Малые среднескоростные дву- хквинтовые суда	12–30	10–23	—
Однокилевые суда всех типов	2–5	2–3	—

Приведенные цифры являются результатом модельных экспериментов. В работе отсутствуют более подробные указания о типе судов и роде выступающих частей, к которым относятся эти цифры. По-видимому, в работе [85] во всех случаях (кроме однокилевых судов) приводятся данные по военным кораблям. В комплекс же выступающих частей входит как кронштейны, так и выхлопы. Вероятно, испытания проводились на кораблях с одним и двумя рулевыми.

Из приведенных данных видно, что с увеличением размеров судна относительное сопротивление выступающих частей снижается. С увеличением скорости хода это сопротивление увеличивается, так как сопротивление корпуса возрастает быстрее сопротивления выступающих частей, однако при полной скорости относительное сопротивление выступающих частей на быстродвижущих судах больше, чем на среднескоростных.

В пересчетах сопротивления с модели на натуру влияние выступающих частей обычно не учитывается, если испытания модели проводились с выступающими частями.

Для сравнительно полных судов в условиях испытаний коэффициент  $k_2$ , учитывающий кроме сопротивления воздуха при штилевой погоде также добавочное сопротивление от действия ветра и волнения, в первом приближении можно принять равным  $k_2 = 1,02 + 1,03$  при ветре не больше трех баллов. Для острых судов эти цифры можно снизить.

Величину коэффициента  $k_2$  рационально устанавливать в каждом частном случае на основе анализа вероятной погрешности расчетов сопротивления воды движению судна и пропульсивного коэффициента. При благоприятных условиях, когда есть исчерпывающие материалы по близкому прототипу, вероятная погрешность этих расчетов, выполняемых в процессе определения элементов проектируемого судна, может составлять около 10%. При неблагоприятных условиях погрешность может достигать 15–20%. В большинстве случаев имеется основания выбирать этот коэффициент в пределах  $k_2 = 1,10 + 1,15$ .

Приведенные цифры относятся к стадии предварительных проектных расчетов. Они не учитывают возможной перегрузки судна и относятся, таким образом, к спецификационному водонизмещению.

Таблица 2.3

Значения коэффициента  $C_0$  при  $t = 15^\circ\text{C}$ 

Fr	0,10	0,15	0,20	0,25	0,30	0,35	0,40	0,45	0,50	0,55	0,60
$Re \cdot 10^{-6}$	3,42	5,43	7,24	8,29	10,85	12,65	14,48	16,30	18,10	19,90	21,70
$\zeta_0$	1,79	1,69	1,64	1,61	1,56	1,53	1,50	1,48	1,46	1,44	1,43

Таблица 2.4

Значения коэффициента  $C_0$  при  $t = 4^\circ\text{C}$ 

Fr	0,10	0,15	0,20	0,25	0,30	0,35	0,40	0,45	0,50	0,55	0,60
$Re \cdot 10^{-6}$	3,43	3,95	5,26	6,38	7,90	9,21	10,32	11,82	13,15	14,45	15,80
$\zeta_0$	1,79	1,77	1,76	1,65	1,62	1,59	1,56	1,55	1,52	1,50	1,49

В обеих таблицах коэффициенты указаны для пресной воды. При плотности воды  $\gamma = 1,028 \text{ t/m}^3$  кинематический коэффициент вязкости возрастает на 3–4%, что почти не сказывается на численном значении коэффициента  $C_0$ .

Для судов с длиной  $L = 40 \rightarrow 240 \text{ м}$  средние значения коэффициента  $C_0$  следующие:

$L$	40	60	80	100	120	140
$C_0$	1,27	1,36	1,39	1,44	1,60	1,92
$L$	160	180	200	220	240	—
$C_0$	0,939	0,932	0,883	0,875	0,861	—

Для получения общего решения необходимо задаться подходящими соотношениями между сопротивлением трения и полным сопротивлением в функции числа Фруда.

График Дорина,<sup>1</sup> представленный на рис. 2.1, позволяет непосредственно определить отношение

$$\pi = \left( \frac{R}{D} \right)_L \cdot \left( \frac{R}{D} \right)_{240}$$

или другое аналогичное выражение в функции числа Фруда и коэффициента общей подпитки. Для построения графика В. С. Дорина используются данными испытаний моделей серии «бб» Тодда.

Результаты, к которым приводят рассматриваемый график, строго говоря, действительны лишь для судов с обводами, геометрически подобными обводам моделей серии «бб», если сопротивление трения определяется по формуле Прандтля–Шлехтигера. Практически, однако, можно применять этот график (если есть его приближенное решение) также для судов, несколько отличающихся характером обводов от моделей серии «бб», причем и в тех

<sup>1</sup> График заимствован из работы Л. М. Негода, В. С. Дорина и В. В. Новакова [24].

### 5.2.4. Пересчет боксеревочного сопротивления при переходе к судну, отличавшемуся длиной от стандартного судна

Как отмечалось, практические данные о полном сопротивлении судов, которым пользуются при определении элементов проектируемого судна, часто представляются в виде тех или иных коэффициентов, относящихся к судну стандартной длины. Ниже изложены способы, позволяющие быстро пересчитать такие данные при переходе к геометрически подобному судну любой другой длины. Соответствия, на которых базируется этот способ, можно использовать также для определения сопротивления воды по обычной схеме путем суммирования сопротивлений трения и остаточного сопротивления.

В этой связи будем считать, что задача сводится к расчету полного безразмеренного сопротивления

$$10^3 \frac{R_f}{D} = 500 C_0 A^{1/5} Fr^2,$$

в соответствии с чем необходимо определить ряд значений отношения

$$10^3 \frac{R_f}{D} = 500 C_0 A^{1/5} Fr^2, \quad (2.1)$$

В формуле (2.1) коэффициент трения является функцией числа Рейнольдса, которое можно выразить через число Фруда зависимостью

$$Re = \frac{F^3}{v} L^{1/5} Fr.$$

Длину стандартного судна примем равной 120 м и обозначим увеличенный в тысячу раз коэффициент трения, соответствующий этой длине, символом  $C_0$ . Влияние изменения длины судна по сравнению с геометрически подобным прототипом, имеющим стандартную длину, будем учитывать коэффициентом  $C_0$ . Тогда формула (2.1) перепишется в виде

$$10^3 \frac{R_f}{D} = 0,5 C_0 A^{1/5} Fr^2,$$

и таким образом задача сводится к определению приращения

$$\Delta \left( 10^3 \frac{R_f}{D} \right) = 0,5 C_0 A^{1/5} Fr^2 \Delta C_0.$$

В табл. 2.3 и 2.4 приведены значения коэффициента  $C_0$ , соответствующие формуле Прандтля–Шлехтигера. Они охватывают интервал чисел Фруда в пределах  $Fr = 0,1 \rightarrow 0,6$ . Табл. 2.3 подсчитана для температуры воды  $t = 15^\circ\text{C}$ , которой соответствует кинематический коэффициент вязкости  $v = 1,141 \cdot 10^{-6}$ . Значения коэффициентов  $C_0$ , приведенные в табл. 2.4, вычислены для температуры воды  $t = 4^\circ\text{C}$  при  $v = 1,567 \cdot 10^{-6}$ .

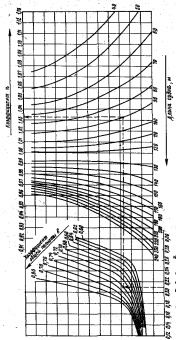


Рис. 2.1. Номограмм для определения коэффициента сопротивления воды движению судна

случаях, когда сопротивление определяется по формулам Шенхера или ITTC.

При одинаковых соотношениях между коэффициентами общей полноты и числом Фруда коэффициент  $\delta$ , рассчитанный для эксплуатационной скорости хода, выражается в среднем следующими членами:

$L$	60	100	140	180	220	260
$\delta$	1,08	1,03	0,98	0,96	0,94	0,93

### § 2.5. Пересчет буксируемого сопротивления в случае изменения экстраполатора трения

В начальных стадиях разработки проекта передко возникает необходимость пересчитать полное сопротивление воды движению судна в связи с переходом на другой экстраполатор трения. Номограмма, приведенная на рис. 2.2, позволяет не прибегая к расчетам, определить приращение адмиралтейского коэффициента Фруда

$$\Delta [C] = [C]_{Fr} - [C]_{ITTC}$$

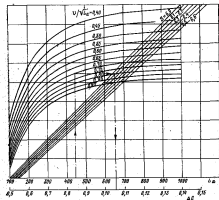


Рис. 2.2. Номограмма для определения  $\Delta [C] = [C]_{Fr} - [C]_{ITTC}$

в случае замены экстраполатора трения Фруда экстраполатором ПТС. Номограмма заимствована из работы [88].

В общем случае подобная задача решается следующим образом. Пусть  $R_f^{(0)}$  и  $R_f^{(1)}$  — сопротивление трения в полное сопротивление стандартного судна-прототипа, подсчитанное исходя из полного сопротивления движению модели  $r$ , которое в используемых материалах не указано. При тех же коэффициентах трения остаточное сопротивление движению судна и модели можно определить по формуле

$$R_{\text{ост}}^{(0)} = R_f^{(0)} - R_f^{(1)}; \\ R_{\text{ост}}^{(1)} = \frac{R_f^{(1)} - R_f^{(0)}}{\lambda^2}, \quad (2.12)$$

где  $\lambda$  — масштаб, принятый при масштабировании модели.

Если сопротивление  $R_f^{(0)}$  неизвестно, его определяют расчетом.

Формула (2.12) позволяет восстановить числовые значения полного сопротивления движению модели

$$r = R_{\text{ост}}^{(0)} + R_f^{(1)} \quad (2.13)$$

и найти искомое полное сопротивление движению судна

$$R = (r - r_f) \lambda^2 + R_f. \quad (2.14)$$

В формулах (2.13) и (2.14) символы  $r_f^{(0)}$  и  $r_f$  обозначают соответственно исходное и пересчитанное сопротивление трения модели.

### § 2.6. Формулы для предварительной оценки сопротивления воды движению судна и мощности энергетической установки

В проектных расчетах для предварительной ориентировки в вопросе часто применяют простейшие практические зависимости, связывающие сопротивление воды движению судна или мощность энергетической установки с элементами судна и скоростью хода. При применении подобных формул погрешность может быть снижена до допустимого предела, если фигурирующие в них практические коэффициенты определяются по подходящему прототипу при числах Фруда, соответствующих скорости проектируемого судна.

Чаще других применяют формулы адмиралтейских коэффициентов

$$N_{\text{мн}} = \frac{D_a^{0.8} V^3}{C_M}; \quad W = \frac{D_a^{0.8} V^2}{C},$$

отнесенных к мощности на валу  $N_{\text{мн}}$  или к мощности бакстеров судна  $W$ . В этих формулах практические коэффициенты связаны соотношением

$$\frac{C_W}{C} = \frac{W}{N_{\text{мн}}} = \eta_{\text{тр}} \eta_{\text{бак}},$$

где  $\eta_{\text{тр}}$  — пропульсивный коэффициент;  $\eta_{\text{бак}}$  — коэффициент полного действия винтового провода. В настоящем случае последний учитывает лишь потерю в диффузной трубе, в связи с чем можно принять  $\eta_{\text{бак}} = 0.99$ .

Коэффициент  $C$ , как показатель ходовых качеств судна, изменяется в широких пределах в зависимости от относительной скорости хода и элементов судна. Однако для судна определенного типа при общепринятых соотношениях между коэффициентом общей полноты и относительной скоростью хода коэффициент  $C$ , отнесенный к судну стандартной длины, оказывается более или менее стабильным.

В частности, для однотипных грузовых судов длиной 120 м можно принять в качестве средних цифр, соответствующих условиям плавания на тихой воде и не учитывающих надышки на шероховатость,  $C = 660 + 700$ .

Для тех же условий плавания, но с надышкой на шероховатость адмиралтейский коэффициент, отнесенный к мощности на валу, изменяется приблизительно в пределах  $C_N = 405 + 440$  при изменении коэффициента общей полноты  $\delta$  от 0.650 до 0.780. При избыточной форме судна коэффициент  $C_N$  может уменьшаться на 5–10% по сравнению с отмеченными значениями этого коэффициента. По мере увеличения длины судна коэффициент  $C_N$  возрастает.

Суда пассажирские, промысловые и малые грузовые отличаются меньшими адмиралтейскими коэффициентами. В частности, в качестве средней величины для пассажирских судов можно называть  $C = 350$ .

Более подробные сведения об адмиралтейских коэффициентах, подсчитанных для ряда судов на основе данных, полученных при сплошных испытаниях и в эксплуатационных условиях, можно найти в работе [6].

Для исключения влияния изменения коэффициента сопротивления трения с изменением длины судна А. Эйр [48] предложил модифицированную формулу адмиралтейских коэффициентов

$$W = \frac{D_a^{0.8} V^3}{C_0}$$

Коэффициенты  $C$  и  $C_0$  связаны соотношением

$$C = C_0 D_a^{0.27} = C_0 A,$$

з в котором множитель  $A$  изменяется в пределах  $A = 1.21 \sim 1.31$  при изменении водонизмещения в пределах  $D = 2000 \sim 20000$  т.

Для определения в первом приближении мощности энергетической установки транспортных судов можно воспользоваться формулой Давыдова

$$N = \frac{D_a^{0.8} V^3}{C_1},$$

где  $C_1 = 103 + 119$ .

А. И. Раков [34] предложил пользоваться при проектировании рыболовных траулеров формулой

$$W = \frac{D_{\text{av}}^{10.45}}{C_t},$$

принимая в качестве средней величины  $C_t = 1270$ . В аналогичной формуле для сейнеров

$$W = \frac{D_{\text{av}}^{10.45}}{C_s},$$

среднее значение практического коэффициента оказалось равным  $C_s = 3330$ .

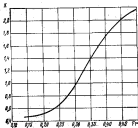


Рис. 2.3. Кривая  $K = f(Fr)$

На рис. 2.3 приведена кривая

$$K = \frac{N_{\text{мк}}}{D_{\text{av}}} \cdot \frac{1}{Fr^2} = f(Fr),$$

характеризующая изменение отношения мощности энергетической установки к транспортной мощности судна.<sup>2</sup> Кривая представляет собой модификацию диаграммы, приведенной в книге Х. Саундерса [103]. Она дает общее представление об изменениях коэффициента  $K$  в широком диапазоне изменения чисел Фруда, охватывающем ракообразные суда от трехходовых грузовых судов до быстроходных военных кораблей.

<sup>2</sup> В технической литературе производят  $D$  называют транспортным коэффициентом, что противоречит размерности этого выражения. Поэтому термин транспортная мощность представляется более уместным.

Коэффициент  $K$  связан с адмиралтейским коэффициентом соотношением

$$C_H = \frac{36,91}{K}.$$

При помощи этой формулы и диаграммы на рис. 2.3 можно в трубном приближении определять коэффициент  $C_H$  в зависимости от числа Фруда и относительной длины судна.

### § 2.7. Способ Сильвертира—Даусона для определения мощности энергетической установки

В работе А. Сильвертира и Дж. Даусона [102] приведены формулы и графики для определения мощности на винте однодвигательных и двухдвигательных транспортных судов. Авторы оговаривают следующие пределы применимости предложенного ими способа:

— для однодвигательных судов

$$\delta = 0,50 \dots 0,86; L/B = 6,4 \dots 7,7; L/T = 15 \dots 19; [K] = 1,2 \dots 2,6;$$

— для двухдвигательных судов

$$\delta = 0,54 \dots 0,80; L/B = 6,5 \dots 8,5; L/T = 17 \dots 23; [K] = 1,4 \dots 2,8.$$

Основные формулы и графики действительны для судна стандартной длины  $L = 122$  и ( $L_s = 400$  футов) при нормальных сочетаниях между относительной скоростью хода и коэффициентом общей полноты. Отступления от исходных предположек учитываются поправочными коэффициентами.

Нормальные сочетания относительной скорости хода и коэффициента  $\delta$  (подробнее см. § 4.6) определяются формулой

$$\delta = 1,215 - 2,36 Fr. \quad (2.15)$$

Для определения мощности на винте при сгоревших стандартных условиях предварительно формула

$$N_p = \frac{1}{427} \cdot \frac{(1+\varepsilon) D_{\text{av}}^{10} \sigma^3}{\eta_p H}, \quad (2.16)$$

где  $(1+\varepsilon)$  — корреляционный коэффициент (см. § 2.2);  $\eta_p$  — коэффициент полезного действия гребного винта;  $H$  — показатель гидродинамической эффективности, под которым понимается комплекс

$$H = \frac{\eta_p}{k_1 [C]}; \quad (2.17)$$

здесь  $\eta_p$  — коэффициент вязкости корпуса;  $k_1$  — коэффициент, учитывающий влияние выступающих частей; адмиралтейский коэффициент  $[C]$  относен к мощности бункеровки голого корпуса.

Для судна стандартной длины показатель  $H$  определяется по формуле:

$$H = 2,60 - 0,5 [K] = 2,60 - 1,77 l^{1/2} Fr; \quad (2.18)$$

$$H = 2,38 - 0,5 [K] = 2,38 - 1,77 l^{1/2} Fr, \quad (2.19)$$

из которых первая действительна для однокилометровых, а вторая — для двухкилометровых судов.

Для судов, длина которых  $L \neq 120$  м, показатель гидродинамического качества  $H_L$  определяют путем помощи коэффициента

$$k_L = \frac{H_L}{H}.$$

Численные значения этого коэффициента, снятые с диаграммы, которая приведена в рассматриваемой работе, приведены ниже:

$L, \text{ м}$	122	152	188	223	246	274	306
$k_L$	1,00	1,020	1,022	1,045	1,066	1,066	1,075

Формулы (2.18) и (2.19) даны в предположении, что при нормальных соотношениях между скоростью хода и элементами судна имеет место равенство

$$[C] = 0,71.$$

В соответствии с этим можно представить формулу (2.17) в виде

$$\eta_k = 0,71 k_L H. \quad (2.20)$$

Близкое изменение коэффициента  $[C]$  на показатель  $H$  можно учесть при помощи множителя

$$k_p = \frac{H}{H_0} = \frac{0,71}{[C]}.$$

Коэффициент полезного действия гребного вала при частоте вращения гребного вала  $n = 120$  об/мин определяют по формулам:

— для однокилометровых судов

$$\eta_p^{(0)} = 0,98 - 0,55 \delta;$$

— для двухкилометровых судов

$$\eta_p^{(0)} = 0,90 - 0,33 \delta.$$

При другом числе оборотов

$$\eta_p = \eta_p^{(0)} + \Delta \eta_p^{(0)}.$$

Численные значения приращения  $\Delta \eta_p^{(0)}$ , снятые с графика, приведенного в рассматриваемой работе, следующие:

Частота вращения $n, \text{ об/мин}$	100	120	150	175
Судовладельческие суда $\Delta \eta_p^{(0)}$	+0,05	0	-0,07	-0,08
Двухкилометровые суда $\Delta \eta_p^{(0)}$	+0,04	0	-0,04	-0,06

Отступления от нормальных соотношений между числом Фруда и коэффициентом  $\delta$ , вытекающих из формулы (2.15), учитываются следующими поправочными множителями (индекс  $(\pm)$  относится к стандартным величинам):

Однокилометровые суда					
$\eta_p/\eta_p^{(0)}$	0,89	0,90	1,0	1,10	1,20
$H/H_0$	1,08	1,05	1,0	0,99	0,74
$\eta_p/\eta_p^{(0)}$	1,01	1,01	1,0	0,98	0,94
$N_p/N_p^{(0)}$	0,47	0,68	1,0	1,51	2,48

Двухкилометровые суда					
$\eta_p/\eta_p^{(0)}$	0,86	0,90	1,0	1,10	1,20
$H/H_0$	1,08	1,05	1,0	0,99	0,74
$\eta_p/\eta_p^{(0)}$	1,01	1,01	1,0	0,99	0,97
$N_p/N_p^{(0)}$	0,47	0,68	1,0	1,49	2,41

Исходное значение адмиралтейского коэффициента  $[C] = 0,71$  дано в предположении, что сопротивление трения рассчитывается по Фруду. При переходе к коэффициентам трения Прандтля—Шлихтинга следовало бы уменьшить исходную шару (для судов длиной 120 м) приблизительно на 14%. Практически, однако, можно считать, что при  $x = 0$  способ Сильвергрифа—Даусона действителен также для расчетов, базирующихся на коэффициентах трения Прандтля—Шлихтинга, не учитывает дополнительную падинку на широковатость.

Из формулы (2.16) вытекает следующая формула для адмиралтейского коэффициента, относенного к мощности на винте  $N_p$ :

$$[C]_N = \frac{497 N_p}{D_s^{2/3} v^2} = \frac{1+x}{\eta_p H}, \quad (2.21)$$

Ниже в качестве примера приведены сводные данные расчета адмиралтейских коэффициентов однокилометровых судов с элементами  $L = 120$  м;  $B/T = 7,25$ ;  $B/l = 2,5$ ;  $n = 120$  об/мин при подходящих соотношениях между скоростью хода и коэффициентом общей полноты:

Fr	0,180	0,185	0,210	0,225	0,240	0,255
$\delta$	0,774	0,745	0,717	0,685	0,660	0,633
$I$	5,33	5,30	5,37	5,45	5,52	5,59
$H$	1,87	1,88	1,74	1,68	1,60	1,53
$\eta_p$	0,960	0,975	0,980	0,985	0,990	0,995
$[C]_N$	0,954	0,960	0,975	0,984	1,000	1,020
$C = 476 [C]_N$	439	435	430	422	416	405
$\eta_{kp} = 0,71/[C]_N$	0,744	0,740	0,735	0,721	0,704	0,688

Аналогично для двухкилометрового судна с элементами  $L = 120$  м;  $\delta = 0,56$ ;  $I = 5,8$  при  $Fr = 0,28$  и  $n = 120$  об/мин можно получить следующие показатели:  $\eta_p = 0,715$ ;  $H = 119$ ;  $[C] = 1,18$ ;  $C = 533$ ;  $\eta_{kp} = 0,6$ .

### § 2.8. Пересчет сопротивления воды движению судна по прототипу с использованием экстраполяционных графиков

*Предварительные замечания.* При пересчете сопротивления воды движению судна во прототипу удельное остаточное сопротивление или коэффициент остаточного сопротивления судна-прототипа и проектируемого судна принимаются одинаковыми при одинаковых числах Фруда. Точность этого приема зависит от того, в какой мере форма проектируемого судна близка форме судна-прототипа.

Применение при пересчетах сопротивления экстраполяционные графики, построенные по данным серийных испытаний моделей и учитывающие в известной мере влияние отступлений в форме проектируемого судна от формы судна-прототипа, можно повысить точность подобных пересчетов.

Для поиска сущности метода допустим, что, определив мощность механизмов проектируемого судна по краевым сопротивлению подобного прототипа, мы установили величину коэффициента удельного остаточного сопротивления

$$r_b = \left( \frac{R}{DF^2} \right)_0,$$

соответствующего рассмотриваемой относительной скорости. Пусть, кроме того, коэффициенты удельного остаточного сопротивления, подсчитанные с помощью каких-либо графиков при той же относительной скорости для судна-прототипа и проектируемого судна, равны соответственно  $r_1$  и  $r_2$ . Рассматривая отношение  $r_b/r_1$  как пропорциональный множитель, учитывающий влияние на сопротивление изменения соотношений элементов судна-прототипа при переходе к проектируемому судну, можно определять удельное остаточное сопротивление проектируемого судна по формуле

$$r = r_b \frac{r_2}{r_1}. \quad (2.22)$$

Так же пересчитывается относительное остаточное сопротивление, выраженное в виде безразмерного коэффициента  $C_{rest}$  или адмиралтейского коэффициента  $C_{rest}$ . Для подобных пересчетов можно использовать любые графики, которые достаточно точно отражают влияние изменения соотношений главных размерений.

Для той же цели можно воспользоваться экстраполяционными кривыми (кривыми влияния), построенными по данным серийных испытаний моделей. Каждая серия подобных кривых учитывает влияние изменения одного из параметров формы судна в предположении, что остальные параметры сохраняют неизменные стандартные значения.

При таком подходе к определению сопротивления разве что (2.22) применим для каждого исследуемого параметра в отдель-

ности. Совокупное же влияние изменения всех исследуемых параметров учитывается по формуле

$$r = r_b \prod \left[ \frac{r_i^{(1)}}{r_i^{(0)}} \right],$$

в которой символ  $\prod$  обозначает произведение всех рассматриваемых соотношений.

Способ наложения, принятый при построении подобных графиков, основан на допущении, согласно которому влияние, оказываемое каждым из рассматриваемых параметров формы, не зависит от влияния остальных параметров. Это предположение не приводит к существенной погрешности, если элементы и общая проектируемого судна мало отличаются от образца судна-прототипа.

Для повышения точности подобных пересчетов можно строить диаграммы, учитывающие влияние изменения каждого-либо параметра, не при одном, а при нескольких значениях каждого из остальных параметров. Такие представлены экспериментальные материалы в работе Х. Линкена и М. Н. Паркера [78].

В настоящем параграфе приведены экстраполяционные графики Гирса [111] и Штумпфа [42].

График Гирса. Для построения экстраполяционных графиков И. В. Гирс воспользовался данными испытаний моделей серии Тейлора. Эти материалы позволили построить кривые, характеризующие в отдельности влияние на остаточное сопротивление коэффициента продольной полноты, относительной длины и отношения ширины к осадке. В качестве стандартных значений этих параметров И. В. Гирс принял  $\varphi = 0,66$ ;  $t_c = 8,0$ ;  $n = (BT)^n = 3,0$ . В дальнейшем третий из упомянутых графиков был заменен графиком, построенным на базе краевых сопротивлений серий моделей, испытанных С. П. Мурзагиным в 1947 г.

На диаграммах Гирса, воспроизведенных на рис. 2.4—2.6, по оси абсцисс отложены значения параметров  $\varphi$ ,  $I$  и  $BT$ , а по оси ordinat — отношения безразмерных коэффициентов остаточного сопротивления

$$k_1 = \frac{r_b}{(r_b)_0} = f_1(\varphi) \text{ при } I = 8,0; n = \frac{B}{T} = 3,0;$$

$$k_2 = \frac{I}{(I)_0} = f_2(I) \text{ при } \varphi = 0,66; n = \frac{B}{T} = 3,0;$$

$$k_3 = \frac{B}{(BT)_0} = f_3(B) \text{ при } \varphi = 0,66; I = 8,0.$$

На каждой из рассматриваемых диаграмм приведен ряд кривых, характеризующих влияние изменения одного из отмеченных параметров. Каждая кривая соответствует определенному числу Фруда.

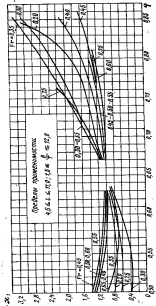


Рис. 2.4. Зависимость коэффициента  $q$  за сечением сопротивления по Грезу

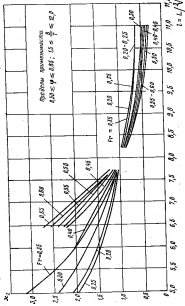


Рис. 2.5. Влияние параметров сопротивления здания  $\zeta$  на остаточное сопротивление по Грезу

Пусть для судна-прототипа, у которого  $\varphi = \varphi_0$ ,  $l = l_0$ ,  $\delta = \delta_0$ , коэффициент остаточного сопротивления при рассматриваемом числе Фруда

$$\frac{C_D}{C_D^0} = \frac{\frac{R_{\text{ст}}}{R_{\text{ст}}^0}}{\frac{\rho}{\rho_0} \cdot \frac{l^2}{l_0^2}},$$

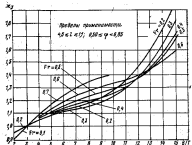


Рис. 2.6. Зависимость изменения относения  $B/T$  на остаточное сопротивление по Гирсу

Тогда поправочные коэффициенты при  $\varphi = \varphi_0$ ,  $l = l_0$ ,  $\delta = \delta_0$ , соответствующие проектируемому судну, найдутся по формуле

$$x_1 = \frac{(C_D)_1}{(C_D)_0} = \frac{(B/T)_1}{(B/T)_0} = \frac{(B/T)_0}{(B/T)_1};$$

$$x_2 = \frac{(B/T)_1}{(B/T)_0} = \frac{(B/T)_1}{(B/T)_0} \cdot \frac{(B/T)_0}{(B/T)_1};$$

$$x_3 = \frac{(B/T)_1}{(B/T)_0} = \frac{(B/T)_0}{(B/T)_1}.$$

Пусть, например, требуется найти поправочный коэффициент  $x_1$  при  $Fr = 0.20$  в предположении, что для прототипа  $\varphi_0 = 0.740$ , а для проектируемого судна  $\varphi_1 = 0.777$ .

По графику из рис. 2.4 находим

$$\frac{(C_D)_1}{(C_D)_0} = 1.60; \quad \frac{(B/T)_0}{(B/T)_1} = 1.40,$$

в соответствии с чем

$$x_1 = \frac{1.60}{1.40} = 1.14.$$

После определения поправочных коэффициентов  $x_1$ ,  $x_2$  и  $x_3$  коэффициент остаточного сопротивления проектируемого судна подсчитывается по формуле

$$\delta = x_1 x_2 x_3 \delta_0.$$

*Графики Штумпфа.*

В отличие от более универсальных графиков, рассмотренных выше, графики Штумпфа предназначены для определения сопротивления воды движению транспортных судов. Приведенный способ, предложенный В. М. Штумпфом, необходимо прежде всего определить коэффициент остаточного сопротивления по графику, относящемуся к основной группе моделей

к U-образным шлюпоголовкам в носовой оконечности. Для всех моделей этой группы  $L/B = 7.30$ ;  $B/T = 2.50$ ;  $\beta = 0.98$ . Значение относительной длины  $l$ , относительной абсолютной центральной величины  $x$  и коэффициента  $x_n = \delta_0/\delta_n$  этих моделей в зависимости от коэффициента общей полноты можно установить по кривым, приведенным на рис. 2.7.

Крайние коэффициенты остаточного сопротивления моделей основной группы в зависимости от числа Фруда и коэффициента общей полноты приведены на рис. 2.8. В дальнейшем они обозначаются символом  $\delta^{(0)}$ .

На рис. 2.9 приведены кривые значений поправочного множителя  $a_l = f(l, Fr)$ , позволяющие определить коэффициент

$$A_l = \frac{a_l}{a_l^{(0)}},$$

где  $a_l$  — отношение коэффициентов остаточного сопротивления при заданном  $l$  и при  $l = 6.0$ ;  $a_l^{(0)}$  — отношение коэффициентов остаточного сопротивления при стандартном значении  $l$  по рис. 2.7 и при  $l = 6.0$ .

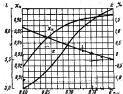


Рис. 2.7. Характеристики моделей основной группы Штумпфа

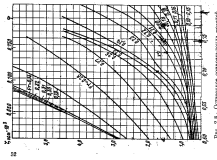


Рис. 2.8. Основные характеристики метода  
основной группы Штурма

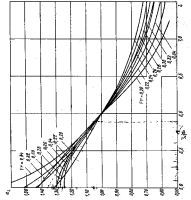


Рис. 2.9. Кривые коэффициента  $\delta_1 = f(\delta_2)$  по Штурму

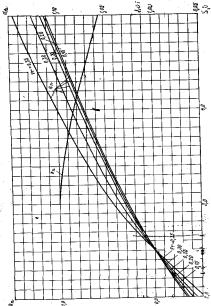


Рис. 2.10. Кривые коэффициента  $\delta_1 = f(\delta_2)$ ,  $F_1 = \delta_0 = 1$  (БУТ) по Штурму

### Крайние множители

$$a_0 = f\left(\frac{B}{T}, \text{Fr}\right),$$

учитывающего влияние изменения отношения  $B/T$ , если оно отличается от  $B/T \approx 2.5$ , приведены на рис. 2.10. Поскольку значение коэффициентов остаточного сопротивления при построении графика отнесено не к смаченной поверхности  $S$ , а к водонизмещению

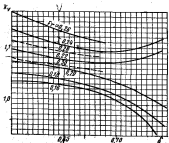


Рис. 2.11. Краевые коэффициенты  $a_V = f(B/T, \text{Fr})$   
по Штумму

типа V в стакане 2/3, на том же рисунке приведена кривая поправочного множителя

$$k_v = \left( \frac{S}{V^{0.5}} \right)_{B/T=2.5} : \left( \frac{S}{V^{0.5}} \right)_{B/T}.$$

Влияние формы посовых шпангоутов можно учесть при помощи рис. 2.11, на котором приведены краевые коэффициенты

$$k_v = \frac{\text{Бесш.}}{\text{Штумм.}},$$

где  $\text{Бесш.}$  и  $\text{Штумм.}$  — коэффициенты остаточного сопротивления при V- и U-образной форме шпангоутов.

Исходное значение коэффициента остаточного сопротивления определяется по формуле

$$\zeta_{\text{ост}} = \frac{1}{6\pi^2} k_a k_g k_v.$$

По поводу рис. 2.11 уместно отметить, что при выборе формы посовой оконечности следует учитывать ее влияние на ходкость и крен судна в водоизмещении море.

Графики Дубровина. Графики Дубровина для определения бульварской мощности судов с малыми удлинениями и малыми коэффициентами общей полноты опубликованы в работе [15]. Аналогичные графики, относящиеся к речным судам, опубликованы в работе [15].

### 2.2. Графики для непосредственного определения сопротивления всем движущим судам

В расчетах ходкости проектируемого судна еще сравнительно недавно широко применяли графики, обобщавшие данные экспериментальных единичных моделей судна в опытных бассейнах. В настоящее время потребность в подобных графиках значительно уменьшилась в связи с опубликованием ряда работ, содержащих данные серийных испытаний моделей судов различного типа. В настоящем параграфе приведены лишь графики Лапа [175], предназначенные для определения сопротивления одновинтовых транспортных судов, и график Мура [114], перестроенный в другой системе координат Тальфером [106]. Последний предназначен для определения сопротивления двухвинтовых пассажирских судов.

Из других аналогичных материалов отметим универсальные графики Эйра [48] и Патнела [29], графики Кабачинского [17], относящиеся к транспортным судам, графики Дауста и Брайна [57], предназначенные для определения сопротивления рыболовных траулеров, графики Краснопольского [181] для определения сопротивления мелких промысловых судов.

Графики Эйра и Патнела можно также найти в книге автора [26]. В справочнике по теории корабля Я. И. Войтуковского, Р. Я. Першина и И. А. Титова [10], наряду с графиком Патнела, приведены некоторые не упомянутые выше графики.

Способ Лапа. Графики Лапа обобщают данные экспериментальных моделей в голландском опытном бассейне. Каждый из пяти графиков относится к определенной группе судов, отличающихся соотношением между абсолютной центральной величиной и коэффициентом продольной полноты. Пределы изменения относительной обсыпки ЦВ  $x = f(q)$  судов каждой группы (они отмечены буквами A—E и соответствующими условными знаками) показаны на диаграмме Лапа, воспроизведенной на рис. 2.12.

Диаграммы для определения коэффициентов остаточного сопротивления, представленные на рис. 2.13—2.17, содержат краевые

$$\zeta_{\text{ост}} = \frac{R_{\text{ст}}}{\frac{1}{2} \rho U^2} = f(P_s);$$

$$P_s = \frac{U}{V_{\text{пл}}},$$

Диаграммы Лапа относятся к судам с отношением  $B/T = 2.4$ . Влияние относительной длины судна при построении диаграмм не учитывалось. Это же может привести к значительной погрешности, так как при относительных скоростях, характерных для однотиповых транспортных судов, изменение относительной длины мало сказывается на полном сопротивлении воды движению судна.

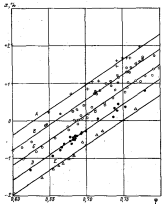


Рис. 2.12. Разница судов из групп по Лапа в зависимости от коэффициента продольной вязкости и относительной абсолютной высотой центра величины

При построении диаграммы сопротивления трения моделей определяется по Шанхерру.

Применяя диаграмму Лапа, можно определить остаточное сопротивление, относительное к смоченной поверхности, по формуле

$$\frac{\Delta_{\text{ост}}}{\Delta_0} = \sum_{i=1}^{n_i} \frac{B_i}{S_i}$$

В работе А. Лапа [76] приведены аналогичные графики для определения сопротивления двухшпангоутовых судов с отношением

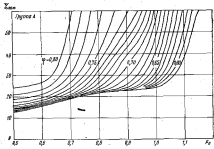


Рис. 2.13. Кривые  $\frac{\Delta_0}{\Delta_{00}} = f(F_r)$  для судов группы А

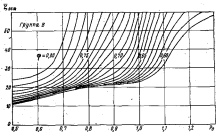


Рис. 2.14. Кривые  $\frac{\Delta_0}{\Delta_{00}} = f(F_r)$  для судов группы В

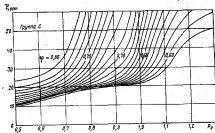


Рис. 2.16. Кривые  $T_{\text{крит}} = f(F_r)$  для судов группам С

$B/T = 2,6$  и коэффициентами  $\delta = 0,55 \sim 0,80$ . В диапазоне  $\varphi = -0,60 \sim 0,80$  эти графики приводят приблизительно к тем же результатам, что и графики для однокилеватых судов.

Способ Мура. Диаграммы Мура—Тальфера, приведенные на рис. 2.18, построены по данным испытаний около 200 моделей двухкилеватых пассажирских судов с коэффициентами  $\delta = 0,54 \sim 0,63$ . Она отнесена к судну со стандартными главными размерениями ( $L = 122$  м;  $B = 16,8$  м;  $T = 5,5$  м). По данным автора диаграммы,

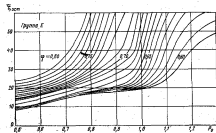


Рис. 2.17. Кривые  $T_{\text{крит}} = f(F_r)$  для судов группам Е

отклонения единичных точек от осредняющих кривых не превосходит 5%.

Удельное сопротивление в фунтах на тонну водоизмещения дается в виде отношения

$$r_s = \frac{R_s L_s}{D_F r^2}$$

Если относительная скорость и удельное сопротивление выражены в безразмерных единицах, то

$$10^3 r_s = \frac{H_P R}{D_F r^2} = 5,9 r_s$$

Оценивая рассматриваемый график, уместно отметить, что сопротивление судов с малыми коэффициентами общей полноты лишь в небольшой степени зависит от положения центра величины подъема судна, если это не выходит из пределов, характерных для подобных судов. Поэтому можно считать, что рассматриваемые

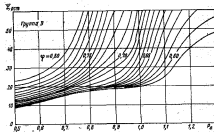


Рис. 2.18. Кривые  $T_{\text{крит}} = f(F_r)$  для судов группам D

графики практически соответствуют общепринятым значениям относительной абсолюты центра величины  $x = f$  (Fr).

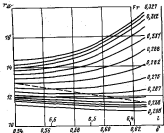


Рис. 2.18. График Мура — Тэйфера для определения удельного сопротивления дуговых гребных винтов пассажирских судов

Так как график построен для судна со стандартными глинами размерами, то каждому коэффициенту общей полноты соответствует определенное значение относительной длины, отмеченное на графике.

### Глава третья

## ПРЕДВАРИТЕЛЬНЫЙ РАЧЕТ ГРЕБНОГО ВИНТА И ВЫБОР ГЛАВНОГО ДИЗИГТАЛЯ

### 5.3.1 Взаимодействие гребного винта с корпусом судна. Понятие о пропульсивном изоффиценте

Для преодоления сопротивления воды движению судна гребной винт должен создавать полную тягу

$$P_s = R,$$

где  $R$  — сопротивление, приходящееся на один винт.

Работа гребного винта сопровождается снижением давления воды в корневой оконечности судна. Как следствие возникает дополнительный сила засасывания  $\Delta P$ , направляемая в сторону, обратную движению судна. Поэтому упор гребного винта должен быть равным

$$\bar{P} = P_s + \Delta P$$

и, следовательно,

$$P_s = P - \Delta P = P \left( 1 - \frac{\Delta P}{P} \right).$$

Иначе говоря, для преодоления сопротивления воды упор гребного винта должен равняться

$$P_s = \frac{P}{1 - i}, \quad (3.1)$$

где  $i = \Delta P/P$  — коэффициент засасывания.

При буксировке судна со связанными гребными винтами за его корпом возникает поток, в средней направляемый в сторону движения корпуса. Он называется попутным потоком. Попутный поток изменяет скорость воды, подтекающей к линии, которой уменьшается на величину  $\alpha u$ , где  $\alpha$  — коэффициент попутного потока, и становится равной

$$u_w = (1 - \alpha) u. \quad (3.2)$$

Мощность буксировки ( $\text{кг}\cdot\text{м}\cdot\text{с}^{-1}$ ) выражается через упор и скорость воли в диске винта соотношением

$$W = Ru = \frac{P(1 - i) u_w}{(1 - \alpha)} = Pu_w \frac{i}{1 - \alpha}. \quad (3.3)$$

Отношение

$$\eta_w = \frac{1 - i}{1 - \alpha} \quad (3.4)$$

называется коэффициентом влияния корпуса в невозмущенной воде. В реальной среде коэффициент влияния корпуса предполагается равным

$$\eta_k = \frac{1 - i}{1 - \psi} t_s, \quad (3.5)$$

где  $i$  — коэффициент влияния неоднородности потока в диске винта на пропульсивный коэффицент.

С учетом последнего соотношения формула (3.3) перепишется в виде

$$W = N_w \eta_k,$$

где  $N_w = Pu_w$  — мощность упора, или мощность, отдываемая винтом.

Продульсивный коэффициент выражается через мощность буксировки  $W$  в мощность, подводимую к винту (иначе мощность на винте),  $N_p$  следующим

$$\eta_{\text{пр}} = \frac{W}{N_p} = \frac{N_p \tau_0}{N_p} = \eta_0 N_p, \quad (3.6)$$

где  $\eta_0 = N_p / N_g$  — коэффициент полного действия гребного винта.

Коэффициент  $i$  в формуле (3.5) связан с коэффициентами влияния неравномерности потока на угол  $I_3$  и на момент  $I_3$  зависимостью

$$i = \frac{I_3}{I_2}, \quad (3.7)$$

Формулы в диаграммы, предназначенные для определения коэффициентов попутного потока и засасывания, учитывают в скрытом виде влияние неравномерности потока в диске винта. Поэтому в практических расчетах гребных винтов принимают  $i = I_3 = I_2 = 1$ .

Мощность на винте

$$N_p = \frac{W}{\eta_{\text{пр}}}$$

выражается через момент в диске винта  $M$  и число оборотов гребного винта в секунду  $n_c$  соотношением

$$N_p = M 2 \pi n_c,$$

или же, если мощность выражена в л. с.,

$$N_p = \frac{M 2 \pi l}{75 \cdot 60} = \frac{M n}{736,2},$$

где  $n$  — число оборотов гребного винта в минуту.

### § 3.2. Практические данные о коэффициентах взаимодействия гребного винта и корпуса.

Коэффициенты полного действия винтогребца и редукторов

Коэффициенты попутного потока и засасывания при бескормном обтекании корпуса. В отечественной практике для определения коэффициента попутного потока широко применяют формулу Павлова [29]

$$\omega = 0,165 d^m \left( \frac{V_{\infty}^2}{d} \right)^{1/2} = \Delta \alpha,$$

полученную путем анализа самоходных испытаний моделей. В этой формуле  $d$  — диаметр гребного винта. Показатель степени при коэффициенте общей полноты приводится разным:  $m = 1$  — для среднего винта,  $m = 2$  — для бортовых винто.

Поправочный коэффициент  $\Delta \alpha$ , который вводится лишь при числах Фруда  $Fr > 0,2$ , подсчитывается по формуле

$$\Delta \alpha = 0,1 (Fr - 0,2).$$

В коллективном труде «Основы корабельной архитектуры»<sup>1</sup> приведены формулы Шенкера, предложенные для определения рассматриваемых коэффициентов. Формулы обобщают данные испытаний самоходных моделей в Вашингтонском сплошном бассейне.

Для определения коэффициента попутного потока односекционных судов предназначена формула

$$\omega = 0,1 + A_1 \frac{\frac{x \varphi}{l}}{(T - 60)(0,8 - 1,8 \varphi)} + 0,5 \left( \frac{x}{T} - \frac{d}{B} - A_2 \tau_0 \right),$$

где  $x = 6l/c$  — коэффициент вертикальной полноты;  $\varphi$  — коэффициент продольной полноты;  $c$  — возвышение оси винта над основной линией;  $\tau_0$  — угол наклона образующей лопатки, радиан;  $A_1$  — числовой коэффициент, равный по Шенкеру 4,5 (по более поздним исследованиям других авторов этот коэффициент равен 5,5);  $A_2$  — числовой коэффициент, равный 0,3 при обычной форме и 0,5—0,6 при подрезанных лебедках.

Для определения попутного потока двухвинтовых судов предназначена формула

$$\omega = 20^6 (1 - \delta) + B_1 \cos^2 B_2 + B_3,$$

где приводятся значения коэффициентов  $B_i$  в зависимости от угла наклона  $\psi_0$  вынужденных гребных валов к горизонту в градусах:

	$B_1$	$B_2$	$\delta$
Для судов с вынужденными валами, врачающимися наружу	0,2	$\frac{3}{2} \psi_0$	-0,02
Для судов с вынужденными валами, врачающимися внутрь	0,2	$\frac{3}{2} (90^\circ - \psi_0)$	+0,02
Для судов с крестообразными гребными винтами	0	0	+0,04

Коэффициент засасывания односекционных судов можно подсчитать по формуле Шенкера

$$\beta' = \alpha \alpha,$$

где  $\alpha = 0,5 + 0,7$  — при обтекаемом руле и профилированном русле или контрроллере;  $\alpha = 0,7 + 0,9$  — при обтекаемом руле и русле с прямоугольным сечением;  $\alpha = 0,9 + 1,05$  — при пластинчатом руле.

<sup>1</sup> Основы корабельной архитектуры. Том II. Переход с энгл. Л., Судостроение, 1949.

Для определения коэффициента засасывания двухвинтовых судов с вынужками и кронштейнами требовых линий могут быть использованы соответственно следующие формулы Шенкера:

$$f = 0,25 \varphi + 0,14; \quad f = 0,70 \varphi + 0,06.$$

С. Харвальд [66] рассматривает коэффициент попутного потока как сумму

$$\alpha = \alpha_0 + \Delta \alpha_1 + \Delta \alpha_2,$$

где  $\alpha_0$  — коэффициент, который является функцией от коэффициента  $\delta$  и отношения  $B/L$ . Слагаемые  $\Delta \alpha_1$  и  $\Delta \alpha_2$  выражают поправки к основной составляющей рассматриваемого коэффициента. Первая из них зависит от коэффициента  $\delta$  и формы палубогрузов в кормовой оконечности, а вторая от относительного диаметра винта  $d/L$ . Аналогичную диаграмму С. Харвальда предложил для определения коэффициента засасывания.

Диаграммы Харвальда приведены на рис. 3.1.

Для определения коэффициентов взаимодействия в первом приближении можно воспользоваться также следующими простыми формулами, предложенными Хенкером:

- для одновинтовых судов  $\alpha = 0,70 \varphi - 0,18$ ;
- для двухвинтовых судов  $\alpha = 0,70 \varphi - 0,30$ ;
- для траулеров  $\alpha = 0,77 \varphi - 0,28$ ;
- для одновинтовых судов  $t = 0,50 \varphi - 0,12$ ;
- для двухвинтовых судов  $t = 0,50 \varphi - 0,18$ ;
- для траулеров  $t = 0,77 \varphi - 0,30$ .

Пригодны также аналогичные формулы Келдиклия, предназначенные для определения коэффициента попутного потока буксиров:

- для одновинтовых судов  $\alpha = \frac{1}{3} \delta + 0,01$ ;
- для двухвинтовых судов  $\alpha = \frac{1}{3} \delta - 0,01$ .

Рассмотренные материалы показывают, что коэффициент попутного потока возрастает по мере увеличения коэффициентов общей и продольной полноты. Такое же влияние оказывает уменьшение диаметра гребного винта и уменьшение отношения  $L/B$ . В качественном отношении изменения коэффициентов полноты, отношения  $L/B$  и диаметра винта аналогично сказываются на коэффициенте засасывания.

Коэффициенты засасывания корабля. Обычно при заострении кормовой оконечности судна уменьшение коэффициента попутного потока не компенсируется достаточным увеличением коэффициента засасывания, вследствие чего коэффициент  $\alpha$  уменьшается. В этом случае ухудшение пропульсивного коэффициента может привести к увеличению мощности механизмов, несмотря на уменьшение сопротивления воду движению судна. К еще худшим результатам может привести заострение кормовой оконечности, если оно

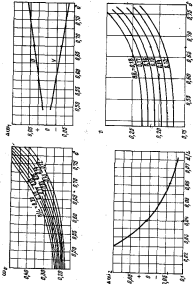


Рис. 3.1. Диаграммы Харвальда для определения коэффициентов попутного потока к засасыванию

осуществляется за счет переносения центра волны в нос и сопровождается увеличением сопротивления воды движению судна.

В отношении характера сбоя в районе расположения антенн проходится ограничение указанием, что на одновинтовых транспортных судах выгоднее придавать кораблюм плангоутам  $\text{U}$ -образную, а на двухвинтовых судах  $V$ -образную форму.

Существенное влияние на коэффициент  $\eta_{\text{в}}$ , помимо диаметра и расположения гребных антенн, оказывает форма сказанных с них выступающих частей (кронштейн, вымпел, рулем).

Коэффициенты влияния корпуса гражданских судов обычно лежат в следующих пределах:

- для одновинтовых судов  $\eta_{\text{в}} = 1,10 \rightarrow 1,20$ ;
- для двухвинтовых судов  $\eta_{\text{в}} = 1,04 \rightarrow 1,06$ .

Возрастая с увеличением коэффициента общей полноты. На очень полных одновинтовых судах они доходят до  $\eta_{\text{в}} = 1,3$  и выше (при безоговорочном обтекании корпуса), а при малых коэффициентах полноты могут быть меньше единицы.

В курсе 1221 указаны следующие пределы изменения коэффициента влияния корпуса:

- для быстродвижущихся кораблей  $\eta_{\text{в}} = 0,93 \rightarrow 0,98$ ;
- для среднескоростных кораблей  $\eta_{\text{в}} = 0,95 \rightarrow 1,05$ .

Коэффициенты первоначальной полноты. Значение этих коэффициентов не выходит большей частью из пределов:

- для одновинтовых судов  $i = 0,98 \rightarrow 1,07$ ;
- для двухвинтовых судов  $i = 0,97 \rightarrow 1,00$ .

В работе Х. Лиценби и М. Паркера [78] приведены формула и кривые, обобщающие значение коэффициента  $i$ , полученные в результате анализа данных самодходных испытаний серии моделей одновинтовых транспортных судов с коэффициентами общей полноты  $b = 0,66 \rightarrow 0,80$  (серия BSRA). Не касаясь деталей этой работы, отметим, что формула и кривые позволяют определить коэффициент  $i$  в зависимости от коэффициента общей полноты судна, относительной скорости хода и относительного диаметра штага  $d/V^{1/2}$ .

Крайние значения коэффициента  $i$  по кривым Паркера лежат в пределах

$$i = 1,01 \rightarrow 1,09,$$

однако для более ограниченного, чем в первоисточнике, интервала изменения относительного диаметра антена

$$\frac{d}{V^{1/2}} = 0,21 \rightarrow 0,23$$

и при заданных соотношениях между относительной скоростью хода и коэффициентом общей полноты можно получить следующие значения коэффициента  $i$ :

$b$	0,65	0,70	0,75	0,80
$F$	0,24	0,21	0,18	0,15
$i$	1,03—1,05	1,00—1,05	1,04—1,05	1,05—1,07

Меньшие значения коэффициента  $i$  соответствуют меньшему относительному диаметру гребного винта.

Как отмечалось в предыдущем параграфе, влияние первоначального потока не учитывается в практических расчетах гребного винта, если коэффициенты попутного потока и засасывания определяются по предложенным для этой цели формулам и диаграммам.

**Суммарный пропульсивный коэффициент.** Суммарным (или по терминологии А. И. Крылова — валовым) пропульсивным коэффициентом называют отношение мощности букировки к мощности главных двигателей. При исчислении валового пропульсивного коэффициента следует иметь в виду, что, исходя из практических соображений, мощность двигателей различного типа измеряется одинаково.

Мощность двигателей внутреннего горения выражается обычно в эффективных (торсовых) лошадиных силах и определяется с помощью тормоза на муфте коленчатого вала.

На судах с турбинными установками мощность определяется торсометрами, которые обычно устанавливаются возможно ближе к гребному винту. Она характеризует так называемую мощность на валу, которая может быть получена путем вычета из тормозной мощности потерь в редукторе, упорном подшипнике и гравитационных подшипниках. Мощность на валу мало отличается от мощности, подводимой к гребному винту, которая может быть получена после вычета из мощности на валу мощности, затрачиваемой на преодоление сопротивления в дифференциальных подшипниках и опорных подшипниках, расположенных в носу от места установки торсометра.

Поскольку место установки торсометра не фиксируется, поэтому «мощность на валу» не вполне определено.

Введем обозначения:  $\eta_{\text{в}}$  — к. п. д. валопровода;  $\eta_{\text{вр}}$  — к. п. д. передачи, выполненной в виде механического редуктора, гидравлического редуктора или электрического привода. Тогда в наиболее общем случае (при наличии дополнительной передачи между двигателем внутреннего горения или турбокомпрессором агрегатом и гребным винтом) мощность главного двигателя, соответствующая мощности букировки  $W$ , при наибольшей достижимой скорости хода выражается формулой

$$N = \frac{W}{\eta_{\text{в}} \eta_{\text{вр}} \eta_{\text{вп}}} = \frac{W}{\eta_{\text{вп}}^{(2)}},$$

где  $\eta_{\text{вп}}^{(2)}$  — суммарный пропульсивный коэффициент.

Практически можно принять на турбинных судах

$$\eta_{\text{вп}} = 0,99,$$

а на судах с двигателями внутреннего горения

$$\eta_{\text{вп}} = 0,98,$$

если машинное отделение расположено в кормовой оконечности, или

$$\eta_{\text{сп}} = 0,97,$$

если машинное отделение расположено в средней части судна.

К. п. д. гидравлических муфт и зубчатых передач также приблизительно

$$\eta_{\text{сп}} = 0,98,$$

а при электромагнитных муфтах

$$\eta_{\text{сп}} = 0,97 \div 0,98,$$

К. п. д. гидравлических трансформаторов колеблется в пределах

$$\eta_{\text{сп}} = 0,86 \div 0,88.$$

К. п. д. электрической передачи при постоянном токе изменяется в пределах

$$\eta_{\text{сп}} = 0,86 \div 0,89,$$

а при переменном токе в пределах

$$\eta_{\text{сп}} = 0,89 \div 0,93.$$

С увеличением коэффициента дизель-электрических и турбоэлектрических установок к. п. д. электрической передачи увеличивается.

### 5.3.3. Коэффициенты взаимодействия гребного винта и корпуса судна в условиях отрыва пограничного слоя

Практические данные, приведенные в предыдущем параграфе, относятся к судам с хорошо обтекаемым корпусом. При отрыве пограничного слоя коэффициенты взаимодействия существенно меняются, так как в кормовой оконечности судна создается застойная зона и скорость воды в диске винта значительно снижается. Как показано в работе [3], при краевых условиях, наряду с зоной отрыва может существовать зона переноса отрыва. В этой зоне наблюдается значительный разброс экспериментальных точек.

Вопрос о влиянии отрыва обтекания на работу гребного винта исследован в упомянутой работе экспериментально на моделях с коэффициентом общей полноты  $b = 0,800 \div 0,870$  при  $L/B = 5,8 \div 8,3$ . На рис. 3.2, замытозанном из этой работы, представлены кривые

$$\eta; \quad f = f(\lambda_p),$$

где  $\lambda_p$  — относительная поступь винта.

Кривые относятся к модели с коэффициентом  $b = 0,825$ , отличающейся бульбообразной формой шпангоутов и кормовой оконечностью. Они показывают, что на прохождении зоны переноса отрыва коэффициент полупотока резко возрастает, в то время

как коэффициент засасывания сохраняет приблизительно постоянное значение.

Комплексно оценивая эти результаты, следует учесть увеличенное сопротивление формы, вызванное отрывом пограничного слоя. Кроме того, снижение скорости воды в диске винта  $\eta_c = (1 - \alpha)$  и неблагоприятно сказывается на К. п. д. гребного винта, что несколько снижает эффект увеличения коэффициента  $\eta_c$ .

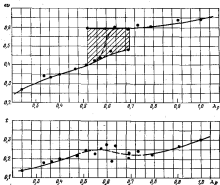


Рис. 3.2. Коэффициенты  $\eta$ ;  $f = f(\lambda_p)$  в условиях отрыва пограничного слоя во детали изображения модели с коэффициентом  $b = 0,825$

В общем плане следует признать, что имеется принципиальная возможность обеспечить желательный режим отрыва обтекания, однако, как отмечено в работе [3], значения относительной поступи  $\lambda_p$ , соответствующие критической зоне, могут изменяться в зависимости от формы обводов и характеристик гребного винта. Кроме того, остается вопрос о масштабном эффекте при экспериментальном изучении явления отрыва.

В работе [3] не освещен вопрос о коэффициентах влияния неизометричности потока при отрывном обтекании.

### § 3.4. Расположение гребных винтов

и проектирование связанных с ними выступающих частей

В тех случаях когда число оборотов гребного винта можно выбрать по усмотрению проектировщика, винт максимального по условиям размещения диаметра является наиболее эффективным.

Ниже перечисляются условия, ограничивающие диаметр винта:

Для нормальной работы гребных винтов они должны быть достаточно погружены в воду. Кроме того, необходимо поддерживать достаточные зазоры между лопастями винта и корпусом судна. В некоторых случаях (при проектировании ледоколов) стремятся расположить винты таким образом, чтобы они не выходили из пределов площади грузовой палубы, что также ограничивает диаметр винта. На однодвигательных судах с закрытой кормой необходимо также обеспечить достаточный зазор между лопастями винта и пакетной ахтерштевней, а на однодвигательных судах с открытой кормой и двухвинтовых судах большинства типов винты располагают таким образом, чтобы кромки лопастей в их нижнем положении несколько возвышались над основной линией.

Недостаточная величина зазоров между лопастями гребного винта и корабельными конструкциями может вызвать вибрацию корпуса или лопастей. С другой стороны, на однодвигательных судах для улучшения пропульсивного коэффициента выгодно уменьшить зазор между винтом и рулем, если последний расположжен непосредственно за винтом. Для той же цели возможно увеличивать до известного предела зазор между лопастью винта и стапи-постом, так как это позволяет уменьшить коэффициент засасывания, сохраняя приблизительно одинаковый коэффициент попутного потока.

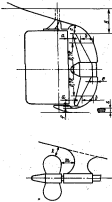


Рис. 3.3. Расположение гребных винтов на однодвигательном и двухдвигательном судах

гребного винта и корабельными конструкциями может вызвать вибрацию корпуса или лопастей. С другой стороны, на однодвигательных судах для улучшения пропульсивного коэффициента выгодно уменьшить зазор между винтом и рулем, если последний расположжен непосредственно за винтом. Для той же цели возможно увеличивать до известного предела зазор между лопастью винта и стапи-постом, так как это позволяет уменьшить коэффициент засасывания, сохраняя приблизительно одинаковый коэффициент попутного потока.

Правила классификации и постройки морских судов Регистра СССР [32] регламентируют на однодвигательных судах с кормой закрытого типа (рис. 3.3) следующие минимальные зазоры, выраженные в долях диаметра винта:

$$\frac{a}{d} = 0,10; \quad \frac{c}{d} = 0,10; \quad \frac{f}{d} = 0,04.$$

Кроме того, относительный зазор между лопастью винта и стапи-постом на расстоянии от оси вала, равном 70% от радиуса винта, должен быть не менее

$$\frac{b}{d} = 0,15,$$

а расстояние  $c$  от ступицы винта до ахтерштевня не менее 20—25 см.

Предмет изменения рассматриваемых величин, вытекающие из требований иностранных классификационных обществ и рекомендаций некоторых авторов, выражаются следующим образом:

$$\frac{a}{d} = 0,07+0,08; \quad \frac{b}{d} = 0,15+0,17;$$

$$\frac{c}{d} = 0,08+0,10; \quad \frac{f}{d} = 0,02+0,03;$$

$$\frac{e}{d} = 0,08.$$

Поперечному сечению ахтерштевня целесообразно придавать форму, показанную на рис. 3.3. Размеры этого сечения определяются правилами классификационных обществ. В предварительных расчетах можно находить из соотношения

$$\frac{x}{d} = 0,045.$$

Обычно на однодвигательных транспортных судах относительный диаметр винта не выходит за пределы

$$\frac{d}{T} = 0,65+0,70, \quad (3.8)$$

где  $T$  — осадка судна в полном грузу. При этом относительное погружение верхней кромки лопастей в воду оказывается равным

$$\frac{d}{T} = \frac{T}{d} - \left( 1 + \frac{f+s}{d} \right) = 0,36+0,47.$$

По поводу последнего соотношения уместно отметить, что степень погружения гребного винта в воду оказывает существенное влияние на его работу в балластных переходах. Чем больше отношение  $d/T$  при осадке судна в полном грузу, тем меньше требуется балласта для достаточного погружения винта, когда судно идет без груза.

На однодвигательных судах применение кормы открытого типа (рис. 3.4) позволяет увеличить зазоры между лопастями гребного винта и корпусом судна. Кроме того, при такой конструкции уменьшается в известной мере поток в диске винта, что способствует снижению аэродинамики корпуса, гребного винта и валопровода.

В Правилах Регистра ССР, относящихся к двухвинтовым судам, минимальный зазор между лопастями гребного винта и корпусом судна (см. рис. 3.3) принят равным  $k = 0,12 d$ .

Кроме того, согласно рекомендации Приказа, зазор между лопастью и кронштейном гребного винта на радиусе, равном 70% от радиуса винта, должен быть не менее  $\mu = 0,2 d$ .



Рис. 3.4. Открытая крейсерская корма

Для определения минимального зазора между лопастями гребного винта и корпусом на двухвинтовых судах К. Шеффер [8] предложил формулу

$$k = 0,68 \sqrt{L_4} - 0,11,$$

где  $L_4$  — расстояние от носового перпендикуляра до винта, м. Формула получена в предположении, что величина рассматриваемого зазора должна быть соразмерна с толщиной попутного потока в месте расположения гребных винтов.

В справочниках [10] рекомендуются следующие значения зазора  $k$ :

- для транспортных судов  $k = (0,15+0,17) d$ ;
- для быстротходных судов  $k = (0,20+0,25) d$ .

Для того чтобы избежать поломки винта, если двухвинтовое судно коснется кормой грунта, расстояние от конца лопастей в их нижнем положении до основной плоскости должно быть не менее 150–200 мм. Однако на некоторых типах быстротходных судов лопасти винтов значительно выходит за основную плоскость.

Обычно винты располагают в нас от рулерности или носовой кромки руля на расстоянии, равном 75–100% диаметра винта. Если винты чрезмерно разделены в поперечной плоскости, теряется дополнительный эффект от попадания струй воды, отбрасываемых винтом, на переднюю часть руля. Независимо от этого увеличение расстояния между гребными винтами приводит к увеличению размера вынужденной и кронштейнов, что сопряжено с увеличением сопротивления воды.

Не следует чрезмерно увеличивать угол между осью валопроводов, так как это приводит к ухудшению поворотливости судна при больших углах перекладки руля, увеличению сопротивления воды и утилизации корпуса.

Переписанные требования, регламентирующие расположение винтов к зазорам между лопастями винта и корпусом, ограничивают предельный диаметр винта. На практике относительный диаметр винта двухвинтовых судов не превосходит обычно

$$\frac{d}{T} = 0,60 \rightarrow 0,65. \quad (3.9)$$

Формулами (3.8) и (3.9) можно пользоваться в ориентировочных расчетах. Для обоснованного же определения предельного диаметра винта необходимо известны их схематичные на корабль, а в более сложных случаях также и на другие проекции теоретического чертежа. Естественно, что фактический диаметр гребных винтов, спроектированных с учетом характеристики реальной энергетической установки, может отличаться от диаметра, вычисленного по формулам (3.8) и (3.9).

Указания о сопротивлении вынужденной и кронштейновой гребной винта были приведены в § 2.3. Поэтому в настоящем параграфе достаточно отметить в качестве дополнения вынужденной, препятствующей попаданию пассажирских и водонепроницаемых винтов, и в некоторой степени увеличивающей сопротивление качке. Применение же кронштейнов позволяет улучшить маневренные качества судна.

Для поддержания гребных валов двухвинтовых транспортных судов обычно применяют однолопастные кронштейны с вынуждениями. Кронштейны большей частью располагают нормально к шпангоуту, на котором он установлен. Радиусы обвода вынужденных должны плавно увеличиваться по направлению от кормы к носу судна. Втулка кронштейна должна быть расположена симметрично относительно оси кронштейна.

Несимметричные вынужденные (относительно кронштейна) придают квартропропеллерные свойства, что способствует увеличению пропульсивного коэффициента. Одновременно увеличивается сопротивление корпуса, и в конечном счете такая конструкция оказывается ненужной.

Вопрос о влиянии направления вращения винта на маневренные качества судна не вполне ясен. Обычно на двухвинтовых судах

установливают винты, врачающиеся через верх наружу. Согласно распространенному мнению, при установке винтов, врачающихся внутрь, можно незначительно увеличить пропульсивный коэффициент, однако при этом одновременно ухудшаются маневренные качества судна.

Лапы кронштейнов и рудеральную форму с рулем следует придавать удобообтекаемую форму. На одновинтовых судах это позволит не только значительно уменьшить сопротивление корпуса, но и существенно повысить пропульсивный коэффициент.

По словам П. Манделя [85], при проектировании быстроходных судов следует учитывать возможность кантации лап кронштейнов. Выкружки же могут способствовать кантации трехвальных винтов.

### § 3.5. Предварительный расчет гребного винта

При определении элементов проектируемого судна возникает ряд вопросов, связанных с исследованием гребной установки. Так, уже в начальных стадиях разработки проекта необходимо приближенно оценить пропульсивный коэффициент и число оборотов гребного вала, соответствующие заданной скорости хода и найденному сопротивлению воды движению судна при максимальном диаметре винта. После выбора конкретного двигателя, удовлетворяющего условиям задачи по мощности и числу оборотов, необходимо уточнить достигнутую скорость хода и диаметр винта, соответствующие параметрам энергетической установки.

Для получения необходимых данных с точностью, достаточной для начальных стадий разработки проекта, можно воспользоваться графиками из рис. 3.5 и 3.6. Они построены по данным испытаний в Ваттенвигенском опытном бассейне моделей трех- и четырехлопастных винтов ( $z = 3$  и  $z = 4$ ) при трех линейных отношениях  $\theta$ . По оси ординат, ограничивающим диаграммы слева и справа, отложены соответственно величины, относящиеся к четырех- и трехлопастным винтам. График из рис. 3.5 позволяет определить коэффициент полевого действия  $\eta_p$  и относительную поступь винта

$$\lambda_p = \frac{v_p}{n_p d} \quad (3.10)$$

по найденному коэффициенту

$$C_1 = \frac{P}{\rho d^2 n_p^2}, \quad (3.11)$$

где  $P$  — упор винта, кг;  $\rho$  — плотность воды, кг·с<sup>-3</sup>м<sup>6</sup>. После этого число оборотов гребного вала в секунду определяется по формуле

$$n_p = \frac{v_p}{\lambda_p d}$$

Решать эту задачу удобно для нескольких предварительно выбранных диаметров гребного винта.

График на рис. 3.6 позволяет определить коэффициент полевого действия и относительную поступь винта, соответствующие коэффициенту

$$C_1^{1/2} = \left( \frac{N_p v_p^2}{\rho d^3 n_p^2} \right)^{1/2}. \quad (3.12)$$

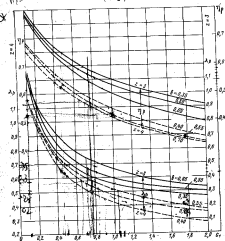


Рис. 3.5. Кривые  $\lambda_p, \eta_p = f(C_1)$  для расчета гребного винта

где  $N_p = 75 \cdot \eta_{\text{сп}} \cdot N$  — мощность, подводимая к винту, кг·м·с<sup>-1</sup>;  $N$  — мощность двигателя, л. с. После этого диаметр винта находится по формуле

$$d = \frac{n_p}{\lambda_p n_c}$$

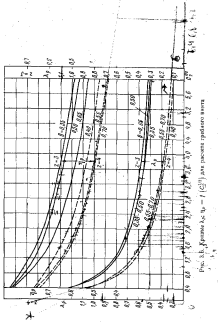


Рис. 3.6. Диаграмма  $\lambda_p \cdot \eta_p = \lambda_p \cdot \eta_p^{(1)}$  для расчета гребного винта

Если задача решается исходя из нескольких скоростей хода, то достаточная скорость хода определяется пересечением кривых  $R = f_1(\eta)$  и  $P_s = f_2(\eta)$ . В этом случае тяга винта  $P_s$ , уравновешивающая сопротивление  $R$ , определяют по формуле

$$P_s = \frac{75}{1000} \cdot \frac{\pi}{\kappa} \eta_p \theta_{kp} \lambda_p^2 \sin \theta_{kp},$$

если  $R$  и  $P_s$  выражены в тоннах.

Коэффициенты  $C_1$  и  $C_2$  связаны с коэффициентами упора и момента

$$C_1 = \frac{P}{\rho A_c d^4};$$

$$C_2 = \frac{M}{\rho A_c d^5}$$

зависимостями

$$C_1 = \frac{K_1}{\lambda_p^2}; \quad C_2 = 2\pi \frac{K_2}{\lambda_p^3}.$$

Кроме  $\eta_p \cdot \lambda_p = f_1(C_1) = f_2(C_2)$  на рис. 3.5 и 3.6 настроим для оптимальных шаговых соотношений, соответствующих максимуму коэффициента  $\eta_p$ , что позволяет ограничиться лишь двумя графиками. При построении диаграммы не использованы участки ограниченных кривых, на протяжении которых к. п. д. винта  $\eta_p < 0,4$ , а также участки кривых, для которых к. п. д. падает по мере увеличения коэффициентов  $C_1$  или  $C_2$ .

Отдельные кривые на рис. 3.5 и 3.6 относятся к гребным винтам, которые в зависимости от числа лопастей  $k$  можно характеризовать следующими значениями дискового отношения  $\theta$  относительного диаметра ступицы  $d_{st}/d$  и относительной толщиной лопастей  $c$ :

$\theta$	3	3	3	4	4	4
$d_{st}/d$	0,35	0,50	0,65	0,40	0,55	0,70
$c$	0,180	0,180	0,180	0,167	0,167	0,167

Шаговое отношение гребных винтов изменяется в пределах  $H/d = 0,5 \div 1,4$ .

Как это следует из рис. 3.5 и 3.6, к. п. д. гребного винта возрастает по мере увеличения дискового отношения. Поэтому целесообразно принимать минимальное дисковое отношение, допускаемое условиями кавитации.

Критическое дисковое отношение  $\theta_{kp}$ , соответствующее началу развития кавитации, можно приближенно определить по диаграмме на рис. 3.7, заимствованном из справочника [10]. Диаграмма по-

зывает определить критическое дисковое отношение в зависимости от погружения оси винта  $I$  и удельной нагрузки винта, кг/м<sup>2</sup>:

$$\bar{P} = \frac{4P}{\pi d^2}$$

Фактическое значение дискового отношения выбирают с запасом в 50–70% и, таким образом,

$$\frac{\bar{P}}{P_0} = 1,5 + 1,7.$$

Учитывая влияние масштабного эффекта, обычно уменьшают на 5% диаметр винта по сравнению с оптимальным диаметром, к которому приводят расчетные графики при заданной мощности, подводимой к винту. Принимая  $d_0 = 0,95 d$ , необходимо соответственно увеличить шаговое отношение винта. Это приводит к незначительному снижению к. п. д. винта. Приблизительно

$$\eta_d = \eta_p - 0,01.$$

Вообще можно исходить в первом приближении из следующих соотношений между снижением относительного диаметра винта и уменьшением коэффициента полного действия винта:

$$\Delta \eta_p = -0,01 \text{ при } \Delta d/d = -0,05;$$

$$\Delta \eta_p = -0,02 \text{ при } \Delta d/d = -0,10;$$

$$\Delta \eta_p = -0,04 \text{ при } \Delta d/d = -0,15.$$

Рис. 3.7. Критические значения дискового отношения

При больших коэффициентах нагрузки  $\sigma_c > 3–6$ , т. е. при больших скольжениях винта, судя по указаниям в отечественном выше спрашивайте, не следует уменьшать расчетный диаметр гребного винта. Указанные значения  $\sigma_c$  соответствуют коэффициенты  $C_3$ , выходящие из рамок графика на рис. 3.5.

### § 3.6. Влияние некоторых факторов на эффективность работы гребных винтов

Диаграммы, приведенные в предыдущем параграфе, позволяют решить ясность в некоторых вопросах, связанных с выбором числа гребных винтов и их характеристики. В частности, рис. 3.5 и 3.6 показывают, что уменьшение коэффициентов  $C_1$  и  $C_2$  до предельных величин, однозначных диаграммами, сопровождается возрастанием к. п. д. винта. Для уменьшения же коэффициентов  $C_1$  и  $C_2$ , как следует из формул (3.11) и (3.12), выгодно увеличивать диаметр и сни-

жать число оборотов гребного винта. Те же формулы показывают, что к. п. д. винта возрастает с увеличением скорости хода, а равным образом, с уменьшением упора винта и мощности, передаваемой на гребной винт.

Уменьшение коэффициентов  $C_1$  и  $C_2$  сверх пределов, охватенных рассматриваемыми диаграммами, сопровождается сравнимым резким снижением к. п. д. винта. Поэтому следует избегать соотношений, при которых  $C_1 < 0,08 - 0,10$  и  $C_2^{(0)} < 0,03 - 0,04$ . В неблагоприятной зоне значений  $C_1$  и  $C_2$  погрешности расчета или комбинированного предположения могут привести к значительному снижению к. п. д. винта.

При выборе энергетической установки гражданских судов не всегда бывает ясно, следует ли создать преодоление одновинтовой или двухвинтовой установки. Если диаметр винта не лимитирован, к. п. д. двухвинтовой гребной установки с менее нагруженными винтами окажется выше по сравнению с одновинтовой установкой. С другой стороны, коэффициент влияния корпуса одновинтовых судов превосходит на 10–15% коэффициент влияния корпуса двухвинтовых судов. Последние отличаются также более высоким сопротивлением выступающих частей (приблизительно на 4–6%). Поэтому при всех прочих одинаковых условиях одновинтовые суда сохраняют преимущество в отношении мощности энергетической установки до тех пор, пока к. п. д. винта одновинтовой установки не падает ниже 80–85% от к. п. д. винта двухвинтовой установки.

Выигрыши в пропульсивных коэффициентах одновинтовой установки снижаются по мере увеличения мощности главных механизмов, особенно после того, как пределено допустимые осадки судна или технологические условия начинают лимитировать максимальный диаметр винта.

Предел, после которого двухвинтовая установка становится более эффективной, в каждом частном случае легко определить расчетом. Значительно труднее определить экономические показатели одновинтовой и двухвинтовой установок в целом с учетом весовых и объемных соотношений, стоимости корпуса и механизмов, численности обслуживавшего персонала в др. Решая рассматриваемую задачу в практическом аспекте, приходится считаться с реальными типами механизмов, которые можно устанавливать на судне. Необходимо учитывать также требования, предъявляемые к маневренным качествам судна.

При выборе числа лопастей гребного винта следует иметь в виду, что к. п. д. трехлопастных винтов несколько выше, чем четырехлопастных. С другой стороны, четырехлопастные винты получаются меньшего диаметра по сравнению с трехлопастными. Кроме того, за двухвинтовых судов меньший диаметр ступицы четырехлопастных винтов позволяет уменьшить размеры кронштейнов и выпуклостей гребных винтов, а следовательно, уменьшить массу и стоимость конструкций. Одновременно уменьшается в сопротивлении выступающих частей.

Преимуществом четырехлопастных винтов по сравнению с трехлопастными является также меньшая интенсивность импульсов, передаваемых на корпус. Однако при выборе числа лопастей следует учитывать наряду с интенсивностью также разгоняющую частоту импульсов. Для вынесения ясности в этот вопрос необходимо рассчитать частоту вибрационных колебаний корпуса.

Обычно на однотиповых судах устанавливают четырехлопастные винты, а на двухтиповых судах — большей частью трехлопастные. Двухлопастные винты применяют на парусно-моторных судах, что объясняется минимизацией сопротивления двухлопастных винтов при ходе под парусами с застопоренным двигателем. Пятилопастные винты устанавливают при больших коэффициентах нагрузки винта.

### § 3.7. Влияние степени погружения гребного винта в воду на эффективность его работы

При недостаточном погружении гребного винта в воду, а также в тех случаях, когда во время качки лопасти винта выходят из воды или близко подводят к поверхности воды, упор винта снижается вследствие засасывания воздуха. Если лопасти частично выходят из воды, наряду с засасыванием воздуха сканьются уменьшение рабочей площади лопастей.

При перемещении кормовой оконечности судна во время качки масса воды, которую приводят в движение гребной винт, увеличивается. Это также неблагоприятно оказывается на работе гребного винта. Кроме того, оказывает влияние орбитальное движение воды в проходящих волнах.

В целом отмеченные закономерности мало изучены. Некоторое представление о влиянии засасывания воздуха на работу гребного винта можно получить по диаграмме Кемпфа [72], представленной на рис. 3.8. Диаграмма, построенная по данным испытаний зернированного винта с шаговым отношением  $H/d = 1,1$  и дисковым отношением  $\theta = 0,414$ , содержит кривые значений коэффициентов  $K_1$ ,  $K_2$ ,  $\eta_p$  в зависимости от относительного погружения оси винта  $I/d$  и относительной поступи  $\lambda_p$ . Испытания проводились при числе  $n\sqrt{d} = 4,08$ .

Диаграмма показывает, что при относительном погружении винта  $I/d < 0,7$  или, иначе говоря, если относительная высота слоя воды над винтом  $g/d = I/d - 0,5 < 0,2$ , коэффициенты  $K_1$ ,  $K_2$ ,  $\eta_p$  уменьшаются с уменьшением погружения винта. При этом коэффициенты упора и момента снижаются быстрее, чем к. п. д. винта.

А. М. Басин и Г. А. Годлев [4] провели испытания мало погруженных и частично погруженных гребных винтов по более разнообразной программе. В качестве переменных величин они приняли шаговое и дисковое отношения, число лопастей, погружение винта и число  $n\sqrt{d}$ . Испытания показали, что при уменьшении относительной поступи винта коэффициенты  $K_1$ ,  $K_2$  и  $\eta_p$ значительно возрас-

тают, но после достижения критических величин начинают уменьшаться. Интенсивность процесса возрастала по мере увеличения числа  $n\sqrt{d}$ .

Более детально исследовали это явление В. Б. Литис и В. Ф. Малова [20] путем испытания серии трехлопастных винтов в опытном бассейне Ленинградского кораблестроительного завода. Во время испытаний тележка с приводами к гребному винту, совершающему гармонические колебания в вертикальной плоскости, перемещалась вдоль бассейна.

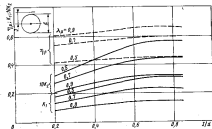


Рис. 3.8. Зависимость коэффициентов  $K_1$ ,  $K_2$ ,  $\eta_p$  от степени погружения гребного винта в воду в относительной поступи  $\lambda_p$  по Кемпфу

Объектами испытаний являлись четырехлопастные гребные винты типа Троста. Шаговое отношение винтов изменилось в пределах  $H/d = 0,6 + 1,2$  при дисковом отношении  $\theta = 0,55$ . Пределы изменения дискового отношения  $\theta = 0,4 + 0,7$  при шаговом отношении  $H/d = 1,0$ . Испытания проводились при переменной скорости тележки и переменном числе оборотов гребного винта.

В качестве показателя, характеризующего погружение винта во время испытаний, авторы привели величину

$$\bar{I} = \frac{I - h_a}{d},$$

где  $I$  — начальное расстояние от уровня воды до оси винта;  $h_a$  — амплитуда вертикальных горизонтальных колебаний винта. Из этой формулы следует, что максимальная высота слоя воды над винтом определяется равенством  $\bar{I} = \bar{h} = 0,5$ . Если  $\bar{I} = 0$  м, следовательно,

$\bar{a} = -0,5$ , винт обнажается во время вертикальных перемещений до оси.

При малых нагрузках винта (большие скорости течения, большие относительные поступки  $\lambda_p$ , малые отношения  $H/d$ ) обнажение лопастей винта неизменно сказывалось на среднее за период вертикальных колебаний значения коэффициентов упора и момента.

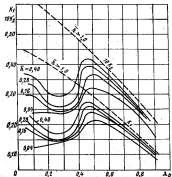


Рис. 3.9. Коэффициенты упора и момента при вертикальных гармонических перемещениях гребного винта за Линусом и Маловой.

При постепенном увеличении нагрузки на винт наступал момент, когда эти коэффициенты начинали резко снижаться. Наглядное представление об этом явлении дают кривые  $K_1$ ;  $K_2 = f(\lambda_p)$  на рис. 3.9, заимствованные из рассмотреваемой работы [20]. Краевые построения для винта с шаговым отношением  $H/d = 1,0$  при дисковом отношении  $\delta = 0,55$  и характеризующие среднее за протяжении одного колебания значения коэффициентов  $K_1$  и  $K_2$ . Каждая кривая соответствует определенному значению параметра  $\bar{a}$ . Для построения диаграммы использованы данные, при которых этот параметр изменялся в пределах  $\bar{a} = -0,04 \dots 0,40$ .

На диаграммах, приведенных в работе, следует, что критические условия создавались в интервале  $\lambda_p = 0,45 \dots 0,60$ . По мере уменьшения шагового отношения краевые наступали при меньших отношениях  $\lambda_p$ , а во время испытаний гребного винта с шаговыми отношениями  $H/d = 0,6$  краевые явления практически не наблюдались. При уменьшении параметра  $\bar{a}$  краевые пик смешался в сторону более высоких значений относительной поступки винта. Такое же влияние оказывало увеличение пронаведения  $\pi t$ , где  $t$  — период вертикальных колебаний.

Практические данные, приведенные в работе В. Б. Линуса и В. Ф. Маловой, позволяют определить жесткую осадку судна кормой во время балластных переходов. Для этого необходимо предварительно рассчитать продольную качку судна при характеристиках для его эксплуатации гидрометеорологических условиях.

### § 3.8. Челленский пример

Требуется рассчитать гребной винт и подобрать главный двигатель исходя из следующих данных.

Главные размерения судна:  $L = 152$  м;  $B = 22,3$  м;  $T = 9,2$  м. Конфигурации полноты:  $\delta = 0,55$ ;  $\varphi = 0,60$ . Скорость хода — эксплуатационная  $v = 20,0$  уз. Скорость хода на испытаниях  $v_a = 21,2$  уз;  $n = 10,9$  м/c. Сопротивление воды движению судна

$R, \text{ т}$	20	21,2	21,5	23,0
$R, \text{ т}$	80,5	93,0	96,5	129,5

Коэффициенты попутного потока и засосывания определяем по графикам Харвальда исходя из отношения  $B/L = 0,147$ . Принимая в первом приближении  $dL = 0,04$ ;  $\Delta n_s = 0$ , находим  $\alpha = 0,22$ ;  $t = 0,18$  м, следовательно;

$$\eta_a = \frac{1-t}{1-\alpha} = \frac{1,00 - 0,18}{1,00 - 0,22} = 1,05.$$

Упор винта

$$P = \frac{R}{1-t} = \frac{93,0}{1,00 - 0,18} = 113,2 \text{ т.}$$

Скорость потока в диске винта

$$u_a = (1-\alpha)v - (1,00 - 0,22) 10,9 = 8,5 \text{ м/с.}$$

Коэффициенты  $C_1$  и  $\lambda_p$  выражаются равенствами

$$C_1 = \frac{P}{\rho d u_a^2} = \frac{113,2}{104,8 \cdot 8,5^2} = \frac{15,1}{d^2};$$

$$\lambda_p = \frac{u_a}{n_c d} = \frac{8,5}{n_c d}$$

и, следовательно,

$$n_c = \frac{8,5}{\lambda_p d}.$$

Необходимая мощность двигателя, если принять коэффициент полезного действия валопровода  $\eta_{\text{вп}} = 0,98$ , найдется из равенства

$$N = \frac{\pi d}{75} \cdot \frac{1}{\eta_{\text{вп}} \eta_{\text{вн}} \eta_{\text{вн}}} = \frac{3000 \cdot 10,9}{75 \cdot 1,05 \cdot 0,98} = \frac{1250}{\eta_{\text{вп}}}.$$

Для выбора дискового отношения необходимо предварительно определить удельную критическую нагрузку, воспринимаемую винтом. Приняв в первом приближении диаметр винта  $d = 6,2$  м — 0,677, найдем

$$\bar{P}_{\text{кр}} = \frac{4P}{\pi d^2} = \frac{4 \cdot 0,113 \cdot 2 \cdot 1000}{\pi \cdot 6,2^2} = 3770 \text{ кг/м}^2.$$

Если ось винта погружена в воду на глубину  $l = 5,9$  м, то, как это следует из рис. 3.7, наденной нагрузке на винт соответствует критическое дисковое отношение  $\theta_{\text{кр}} = 0,37$ . Принимая это отношение с запасом в 50%, приходим к четырехполластичному винту с дисковым отношением  $\theta = 0,55$ .

Для трех предварительно выбранных диаметров винта график из рис. 3.5 приводит к следующим значениям  $\lambda_p$ ,  $\eta_p$ ;  $N = f(C_1)$ :

$d$	6,0	6,2	6,4
$C_1 = \frac{15,1}{d^2}$	0,419	0,393	0,368
$\lambda_p$	0,750	0,770	0,790
$\eta_p$	0,650	0,663	0,675
$\lambda_p = \frac{8,30}{\lambda_p d}$	1,09	1,78	1,48
$n = 60 \eta_p$	113	107	101
$N = \frac{12750}{\eta_p}$	19 500	19 200	18 900

Выбираем двигатель с нормальной (эксплуатационной) мощностью 22 000 л. с. при  $n = 120$  об/мин или, иначе говоря, при  $\eta_p = 2,16$  об/с. Мощность, подводимая к гребному винту, равна

$$N_p = \eta_{\text{вп}} N_d = 0,98 \cdot 22000 = 21600 \text{ л. с.}$$

Коэффициент  $C_2$  определяется по формуле

$$C_2 = \frac{N_p^2}{\eta_{\text{вп}}^2} = \frac{21600^2 \cdot 2,16^2}{0,98^2} = \frac{93900}{a_p^2}$$

и, таким образом,

$$C_2^{1/2} = \frac{301}{a_p}.$$

Тяга винта выражается равенствами

$$P_s = \frac{75 N_p \lambda_p \eta_{\text{вп}} \eta_{\text{вн}}}{1000 \pi} = 75 \cdot 21,6 \cdot 1,05 \cdot 0,98 \cdot \frac{301}{a_p},$$

в соответствии с чем

$$P_s = 1700 \frac{\eta_{\text{вп}}}{a_p}.$$

Кроме того,

$$d = \frac{a_p}{\pi \lambda_p} = \frac{a_p}{2,16 \eta_p}.$$

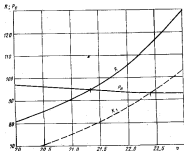


Рис. 3.10. Диаграмма к количественному расчету гребного винта

Обращаясь к графику из рис. 3.6, находим для трех скоростей хода диаметр, к. п. д. и тягу гребных винтов, соответствующих условиям задачи:

$a$	30,0	21,5	29,0
$n$	10,30	11,05	11,80
$\eta_p = 0,38$	8,04	8,62	9,20
$\lambda_p^{1/2}$	183	219	237
$C_2^{1/2} = 301/a_p$	1,70	1,42	1,12
$\lambda_p$	0,570	0,610	0,660
$d = a_p / 2,16 \lambda_p$	6,53	6,54	6,26
$d_1 = 0,95 d$	6,21	6,22	5,95
$\eta_p$	0,600	0,623	0,655
$\eta_p = \eta_p - 0,010$	0,590	0,613	0,655
$P_s = 1700 \eta_p / a$	97,3	94,2	92,7

Скорость хода, которую может обеспечить выбранный двигатель, определяется при принятой постановке задачи пересечением кривых  $R = f(n)$  и  $P_s = f(n)$ . В настоящем случае (рис. 3.10) до-

стационарная скорость хода на испытаниях оказалась практически равной заданной скорости. Таким образом, увеличение мощности двигателя по сравнению с найденной в первом приближении мощностью не привело к увеличению скорости хода, так как одновременно увеличилось число оборотов двигателя, вследствие чего снизился коэффициент полезного действия винта.

Остановимся на этом варианте расчета, в котором исходными величинами являются эксплуатационная скорость хода  $v = 20$  уз и вспросение этой скорости на 20% сопротивление:

$$R = 1,20 \cdot 80,5 = 96,7 \text{ т.}$$

Это сопротивление приблизительно совпадает с тягой, которую, как это следует из приведенных выкладок, развивает гребной винт диаметром  $d = 6,2$  м при эксплуатационной скорости хода.

Вернемся теперь к лекции 3 из рис. 3.10 и рассмотрим краевую сопротивление:

$$R_1 = \frac{R}{1,20} \approx 0,83 R.$$

написанную пунктиром. При таком сопротивлении скорость хода возрастает приблизительно на 6% в становятся равной 22,4 уз. Оптимальный же диаметр винта изменяется незначительно (приблизительно от 6,2 м до 6,1 м).

Приведенные данные показывают, что при заданной мощности главного двигателя и заданном числе оборотов гребного винта оптимальный диаметр винта мало зависит от режима использования судна.

Вопрос о выборе расчетного режима при проектировании гребного винта рассмотрен в § 4.5.

#### Глава четвертая

### ВЛИЯНИЕ ОБРАСТАНИЯ КОРПУСА И ГИДРОМЕТРОЛОГИЧЕСКИХ УСЛОВИЙ НА МОЩНОСТЬ ЭНЕРГЕТИЧЕСКОЙ УСТАНОВКИ СУДНА

#### § 4.1. Прикаратительные замечания

Колебания скорости судна и мощности машинной установки в эксплуатационных условиях (см. § 1.7) объясняются:

- обратением и коррозией корпуса и гребных винтов;
- влиянием ветра, качки и ударов волн, набегающих на судно;

— горизонтальным перемещением воды, участвующей в волновом движении;

— возникновением поверхностных ветровых течений;

— дополнительным сопротивлением отклоненного руля, передаваемого для удержания судна на курсе;

— удлинением пути, проходимого судном, вследствие дрейфа и расхищения в скользкую погоду;

— изменением условий, при которых работают гребной винт и главный двигатель на волнении;

— случаями вынужденного снижения числа оборотов гребных винтов в изменении курса для предотвращения повреждений судна и перевозимого груза во время шторма.

Поверхностные течения и горизонтальное перемещение воды, участвующей в волновом движении, в отличие от других факторов оказывают непосредственное, хотя и незначительное, влияние на скорость хода, не связанные с краевым сопротивлением. При попутном ветре и волнении некоторые из перечисленных факторов действуют в благоприятном направлении.

Обозначим символом  $R_{\text{в}}$  скорость судна на чистой воде при чистой наружной обшивке в эксплуатационной (поморальной) мощности энергетической установки  $N$ . Пусть при той же затрачиваемой мощности скорость хода в более тяжелых условиях (на волнении при ветровой широтености наружной обшивки) будет  $v_{\text{ш}}$ . Назовем, кроме того, приведенной мощностью энергетической установки  $N_{\text{пр}}$  мощность, при которой судно на чистой воде развивает ту же скорость  $v_{\text{ш}}$ , что и на волнах. Отношения

$$k_v = \frac{v_{\text{ш}} - v_{\text{в}}}{v_{\text{в}}} ; \quad (4.1)$$

$$k_N = \frac{N - N_{\text{пр}}}{N_{\text{пр}}}$$

будем рассматривать как коэффициенты, характеризующие в относительных единицах потерю скорости в приращение мощности в более тяжелых условиях плавания.

Экспериментальные исследования ходности судна на каботажном море показывают, что при фиксированных гидрометрологических условиях коэффициенты  $k_v$  и  $k_N$  зависят от размеров судна, его энергооборудования, формы корпуса, продольного расположения нагрузки и относительной скорости хода. Гидрометрологические условия характеризуются скоростью ветра  $v_w$ , относительной длиной волны  $\lambda/L$ , круговой волны  $\delta_w/\lambda$ , курсовым углом судна по отношению к ветру и волнению.

Форму корпуса в рассматриваемом случае удобно характеризовать коэффициентами  $\delta$ ,  $\delta_w$ , соотношениями главных размерений  $L/B$ ,  $L/T$  и относительной высотой центра величинами  $x - x_c/L$ . Продольное расположение нагрузки характеризуют относительным радиусом киерины  $r_g/L$ . Обычно при рассмотрении практических задач считают, что направление ветра совпадает с направле-

ним, по которому распространяются волны. Нередко гидрометрологические условия характеризуют одной лишь дальностью ветра (Б).

Таким образом, если не учитывать обрастания и коррозии наружной обшивки, можно написать:

$$B_i \cdot k_B = f_1 \left( u_{\infty}, \frac{\lambda}{L}, \frac{k_B}{\lambda}, \delta, \frac{\delta}{a}, x, \frac{L}{a}, \frac{L}{T}, \frac{N}{D}, Fr, \frac{r_B}{L} \right)$$

или при другой постановке задачи

$$B_i \cdot k_B = f_2 \left( B, L, \delta, \frac{\delta}{a}, x, \frac{L}{a}, \frac{L}{T}, \frac{N}{D}, Fr, \frac{r_B}{L} \right).$$

Для получения необходимых практических данных о ходкости судна на изысканном море прибегают как к натурным испытаниям судов, так и к испытаниям моделей на регулярном колесении. Пользуются также практическими данными, которые содержатся в захваченных журналах.

Результаты, полученные путем испытания моделей на регулярном колесении, можно использовать для суждения о походности судна в условиях перегуллярного волнения.

Сопоставляя результаты испытаний судов и систематических испытаний серии моделей, необходимо учитывать, что обычно изменение одного из элементов судна сопровождается изменением и некоторых других элементов. Например, одновременно с изменением коэффициента  $\delta$  изменяют коэффициент  $a$  и абсолютную центральную величину  $x$ .

В настоящей главе, наряду с элементарными сведениями о механизме рассматриваемого явления, приводятся практические данные, которые можно пользоваться для определения в первом приближении эксплуатационных потерь скорости хода и мощности, развиваемой энергетической установкой.

#### § 4.2. Влияние обрастания и коррозии корпуса

Во многих морях наблюдается обрастание корпуса судов морскими организмами (водорослями, ракушками и др.), которое приводит к увеличению сопротивления воды движению судна. Наряду с этим сопротивление воды увеличивается вследствие постепенной коррозии наружной обшивки и выступающих частей.

После каждой окраски корпуса во время постановки судна в док сопротивление воды уменьшается из-за устранения обрастания. Дополнительное же сопротивление, вызванное коррозией корпуса, непрерывно возрастает с момента спуска судна на воду и до передачи его на слом. Наглядное представление об этой закономерности можно составить по рис. 4.1, на котором для типичного танкера приведена кривая изменения его скорости во времени, в зависимости от числа лет, прошедших после первого докования. В данном случае междудоковый период равен одному году. Рисунок заимствован из работы [90].

В докладе на симпозиуме в 1960 г. А. Логек [83] отметил, что скорость ряда наливных судов снизилась вследствие коррозии в течение первых восьми лет эксплуатации в среднем на 0,75 уз. Наиболее интенсивно скорость снижалась на протяжении первых четырех лет. Данные А. Логека соответствуют приблизительно диаграмме на рис. 4.1.

Обрастание происходит в основном во время стоянки судна в портах или на ходу при очень малых скоростях, не превосходящих 2–3 уз. Поэтому суда с большими стоячими временем оказываются в худших условиях, чем суда, не простоявшие долго в портах. К числу первых можно отнести грузовые суда океанского плавания со стоянками в 50–60% и малые каботажные грузовые суда со стоянками в 70–80% от продолжительности рейса, т. е.

Значительно меньше обрастают нефтеплавильные, контейнерные и пассажирские суда, у которых стоячее время сравнительно невелико. Обрастане происходит особенно интенсивно в портах с высокой температурой воды.

Обрастание корпуса склоняется в основном на увеличение сопротивления трения. Поэтому уместно учитывать его дополнительным коэффициентом обрастания  $\frac{C_{\text{об}}}{C_0}$  сверх обычной надбавки за конструктивную широтоустойчивость и неровности судовой поверхности, которые учитываются коэффициентом  $\frac{C_{\text{ш}}}{C_0}$ .

С увеличением скорости судна обрастане в меньшей степени сказывается на его ходовых качествах. Это объясняется тем, что сопротивление трения быстродвижущих судов по сравнению с тихоходными составляет меньшую долю от полного сопротивления.

Наряду с корпусом обрастают и гребные винты. С увеличением широтоустойчивости гребных винтов уменьшается коэффициент упора и возрастает коэффициент момента. В конечном счете это приводит к уменьшению к. п. д. винта. С другой стороны, обрастане корпуса повышает скорость попутного потока, что также ухудшает к. п. д. гребных винтов. Увеличение коэффициента попутного потока склоняется на коэффициенте винтом корпуса, который несколько увеличивается.

Теоретически для определения влияния обрастания корпуса и гребных винтов на протяжении рейса или изнанки следовало бы установить продолжительность стоянок в каждом из портов, посещаемых судном, и подсчитать соответствующие им прращения сопротивления. Практически, однако, поскольку рассматриваемое явление недостаточно еще изучено не только количественно, но и качественно, обычно оперируют средними цифрами.

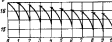


Рис. 4.1. Изменение скорости судна вследствие обрастания и коррозии корпуса

В статье Е. Лонса [81], базирующейся на опубликованных практических данных, приведены графики, позволяющие оценить дополнительную надбавку за шароходность в функции времени в зависимости от условий эксплуатации судна групп А, Б, В. Кривые Лонса мало отличаются от приведенных. Они приводят к следующим значениям коэффициента  $C_{\text{кор}}$  при дистанционном плавании:

Группа А. Суда с низкоштевневыми стойками в портах и суда, имеющие корпуса, в которых обрастили вспомогательные	$0.9 \cdot 10^{-3}$
Группа Б. Суда при средних условиях плавания	$1.8 \cdot 10^{-3}$
Группа В. Суда, посещающие порты, в которых обрастили интенсивно	$2.8 \cdot 10^{-3}$

Коэффициент полного сопротивления грузовых судов в условиях сдаточных испытаний может быть принят в среднем равным  $3.5 \cdot 10^4$ . В соответствии с этим для таких судов данные Лонса разносыны допущению о следующем увеличении сопротивления (в %) после суточного, местного и трехмесячного плавания:

Суда группы	1 сут.	1 мес.	6 мес.
A	0,086	2,6	15
B	0,171	5,2	31
V	0,268	8,1	48

Британское адмиралтейство оценивает увеличение сопротивления за каждые сутки после выхода корабля из дока надбавкой в 0,25% при умеренной температуре воды и 0,50% при плавании судна в бассейнах с теплой водой. Эти цифры, относящиеся к обрастианию военных кораблей во время стоянок в гаванях, значительно превосходят цифры, вытекающие из графика Лонса.

X. Саулдерс [103, т. 2, с. 575] отмечает, что в среднем практика сопротивления, вызванного обрастиением корпуса, колеблется в пределах 6—20% от сопротивления судна с чистым корпусом. Эти цифры отражают, по-видимому, практику эксплуатации судов в СПА.

Желательную продолжительность междудокового периода можно определить расчетом путем сопоставления повышения эксплуатационных расходов, вызванных обрастиением корпуса, со стоимостью поставки судна в док для очистки и покраски корпуса.

В отечественных условиях продолжительность междудокового периода определяется Правилами технической эксплуатации судов морского флота. В зависимости от типа судна междудоковый период назначается в пределах 6—12 мес для южных широт и 12—24 мес для северных широт. Некоторые предложения по этому поводу содержатся в статье Г. Финкеля [40].

О практике борьбы с обрастиением корпуса судов за рубежом можно составить представление по книге М. Рагга [33]. Отметим,

что срок действия противобрастающих красок зависит от ряда факторов, и прежде всего от района плавания судна, времени года, длительности стоянки в гавани, места стоянки на якоре, качества окраски, атмосферных условий во время окраски судна и т. д. М. Рагг характеризует отдельные бассейны следующими словами: «В Северной Атлантике, в Северном и Балтийском морях срок действия ядовитых красок составляет от девяти до двадцати месяцев. При плавании в Средиземном море, у берегов Китая, Японии и Восточного Индии срок действия их сокращается до 6—9 месяцев; при плавании в Австралии в летний период, а также к Западному побережью Африки докование необходимо проводить после каждого рейса, а при плавании к Восточному Африке — через два рейса. В то же время при плавании в Аргентину окраску требуется возобновлять только через год».

Как отмечалось, обрастиение корпуса сопровождается увеличением коэффициента попутного потока. Из диаграммы в работе М. А. Гремина [13] можно определить прращение коэффициента попутного потока в функции прращения сопротивления, вызванного обрастиением корпуса, по формуле

$$\frac{C_{\text{кор}}}{C_0} = 0,81 \frac{R_{\text{кор}}}{R},$$

в которой величины, отмеченные индексом «об», относятся к коэффициенту попутного потока и сопротивлению движения судна в условиях обрастиения корпуса. Одновременно несколько увеличивается коэффициент вязкости корпуса, поскольку обрастиение корпуса не оказывает влияния на коэффициент засасывания.

#### § 4.3. Воздушное сопротивление.

##### Влияние ветра и парусами руля

Воздушное сопротивление можно подсчитать по формуле

$$R_2 = \zeta_a \frac{\rho_a}{\rho} \Omega_a (\mu \pm u_a)^2,$$

где  $\Omega_a$  — проекция надводной части судна на плоскость мидши;  $\rho_a = 0,125 \text{ кг} \cdot \text{с}^2/\text{м}^4$  — плотность воздуха;  $\mu$  — скорость судна,  $\text{м}/\text{с}$ ;  $u_a$  — скорость встречного или попутного ветра,  $\text{м}/\text{с}$ .

Коэффициент  $\zeta_a$  в зависимости от конфигурации надстроек, форму надводной части корпуса и соответствия между поперечными проекциями надстроек и проекциями надводной части корпуса заменяется в пределах:  $\zeta_a = 0,7 \rightarrow 0,8$  — для пассажирских судов;  $\zeta_a = 0,8 \rightarrow 1,0$  — для грузовых судов.

При штормовой погоде отношение

$$\frac{R_2}{R} = \frac{\zeta_a}{\zeta_b} \frac{\Omega_a}{\Omega_b} \frac{\rho_a}{\rho_b}$$

не зависит от скорости хода, и в этих условиях воздушное сопротивление обычно не превосходит 2—4% от сопротивления ветра.

При встречном ветре отношение

$$\frac{R_x}{R} = \frac{k_0}{\zeta} \cdot \frac{a_x}{S} \cdot \frac{p_x}{p} \left( 1 + \frac{u_x}{u} \right)^2$$

возрастает с уменьшением скорости хода. Иначе говоря, при всех прочих одинаковых условиях встречный ветер оказывает более существенное влияние на сопротивление тихоходных судов, чем на сопротивление судов быстрокочущих. Воздушное сопротивление зависит также от угла между направлением ветра и диаметральной плоскостью судна. Наиболее неблагоприятные условия создаются, когда этот угол равен приблизительно  $30^\circ$ . В этом случае воздушное сопротивление возрастает примерно на 30% по сравнению с сопротивлением при встречном ветре. Придавая надстройкам обтекаемую форму, можно несколько снизить воздушное сопротивление, если ветер дует прямо с носа, однако эффект от применения обтекаемых надстроек теряется, когда ветер отходит от этого направления.

С воздушным сопротивлением тесно связано дополнительное сопротивление, называемое систематическим перекладкой руля. При тихой погоде оно не превосходит 1—1,5% от полного сопротивления. В сжекую погоду при встречном ветре сопротивление, связанное с перекладками руля, может возрасти до 5—6% от полного сопротивления, так как в этих условиях для удержания судна на курсе приходится чаще поворачивать руль, причем углы перекладки возрастают. Эти цифры являются с учетом удлинения пути, вызванного раскачиванием судна.

При сильном боковом ветре для противодействия моменту, стремящемуся повернуть судно вокруг вертикальной оси, приходится поворачивать руль на большой угол. Этот угол, а также гидродинамические силы, действующие на руль, можно определить расчетом, как это указано в работах по управляемости судов.

Не останавливаясь на деталях такого расчета, отметим, что изободный угол перекладки руля и его лобовое сопротивление достигают максимума, когда вынужденная сила ветра действует под углом к диаметральной плоскости  $\alpha = 110^\circ - 130^\circ$  (при встречном ветре  $\alpha = 0$ ). Судя по экспериментальным данным, приведенным в работах Г. Хьюза и собранным в книге Дж. Кента [73], для противодействия давлению бокового ветра при скорости его, равной 15 м/с, что соответствует сенабалльному ветру, необходимо повернуть руль (в среднем для судов различного типа) на  $15^\circ$ . Примененные выше выкладки позволяют ориентировочно определить дополнительное сопротивление движению судна, называемое такой перекладкой руля.

Лобовое сопротивление изогнутого руля определяют по формуле

$$P_x = c_x \cdot \frac{\rho}{2} \cdot E u_x^2,$$

где  $c_x = f(\alpha)$  — коэффициент лобового сопротивления, зависящий от угла перекладки руля  $\alpha$ ;  $F$  — площадь руля;  $a_x$  — скорость воды, набегающей на руль,

$$a_x = u(1-u) \cdot u_n,$$

здесь  $u$  — скорость судна;  $n$  — коэффициент попутного потока;  $u_n$  — скорость воды, отбрасываемой гребным винтом (предполагается, что руль расположен за винтом).

Практически влияние корпуса судна в струе, отбрасываемой винтом, практически компенсируют друг друга. Это позволяет считать, что  $a_x \approx u$ , и определять лобовое сопротивление руля по приближенной формуле

$$P_x = c_x \cdot \frac{\rho}{2} \cdot F u^2,$$

Сопоставив силу  $P_x$  с сопротивлением судна на тихой воде

$$R = \zeta \frac{\rho}{2} S u^2,$$

найдем

$$\frac{P_x}{R} = \frac{c_x}{\zeta} \cdot \frac{F}{S},$$

Для конкретизации решения примем по Дену-Мумфорду (см. § 2.1)

$$S = \left( 1,7 + 8 \frac{B}{T} \right) LT,$$

в соответствии с чём

$$\frac{P_x}{R} = \frac{c_x}{\zeta} \cdot \frac{k}{\left( 1,7 + 8 \frac{B}{T} \right)},$$

где  $k = F/LT$ .

Пусть для транспортного судна  $k = 0,018$ ;  $B/T = 2,5$ ;  $8 = 0,7$ . Примем, кроме того, в качестве средней величины, что при угле  $\alpha = 15^\circ$  и удлинении руля  $k = 1,25$  коэффициент лобового сопротивления  $c_x = 0,18$ . Коэффициент же полного сопротивления движению судна из тихой воды примем  $\zeta = 3,5 \cdot 10^{-3}$ . Тогда  $P_x/R \approx 0,268$  и, если  $R_a$  — сопротивление судна с отклоненным рулем, то

$$\frac{R_a}{R} = \frac{P_x + R}{R} = 1,27.$$

Полученный результат показывает, что при сильном боковом ветре перекладка руля, необходимая для удержания судна на курсе, является источником значительного дополнительного сопротивления.

#### 5.4.4. Начинаящие качки, волны и горизонтального перемещения воды, сопровождающие суда

Влияние качки и волнения на сопротивление движению судна обусловливается следующими факторами: пополнением дополнительной системы давлений в воде при качке судна; затратой энергии на отражение волн, набегающих на судно; интерференцией корабельных волн, возникающих при качке; набегающих волн; поверхностью течения, вызванным ветром; горизонтальным перемещением воды, участковой в волновом движении.

Качество влияния перечисленных факторов следует к инженерному.

Качка и вертикальная качка судна не совпадают по фазе с движением волн, и, следовательно, на волновом море возникают дополнительные перемещения судна по отношению к воде. Вследствие этого в воде, окружающей корпус, создается дополнительная система давлений, которые возрастают с увеличением как амплитуды качки, так и фазового угла. Дополнительные давления, сопровождающие качку, создают новую систему корабельных волн. Одновременно из пропинок каждого колебания изменяется характер обтекания корпуса и вследствие появления ускорений периодически изменяется форма пограничного слоя. Дело осложняется влиянием орбитального движения частиц воды на обтекание корпуса.

Качка и волнение приводят к возрастанию как волнового сопротивления, так и сопротивления трения и формы. Первая из перечисленных составляющих имеет наибольшие значения. Максимум приращения полного сопротивления, связанного с изменением системы давлений в окружающей судно воде, не соответствует отвлечению, при которых амплитуды качки достигают максимальных значений. Как отмечалось, это объясняется влиянием фазового угла на сопротивление.

С увеличением скорости хода вследствие быстрого возрастания доли сопротивления, соответствующей движению судна на тихой воде, снижается роль рассмотренных составляющих приращения сопротивления. Их влияние становится мало ощущаемым при высоких относительных скоростях, характерных для быстроходных судов.

Дополнительное сопротивление, связанное с отражением волн, набегающих на судно, быстро увеличивается с ростом высоты волны (по некоторым теоретическим данным — пропорционально квадрату высоты). При встречном волнении оно зависит от положения носовых обводов и пирсов судна. На погруженных волнах, настигающих судно, оказывается в известной мере благоприятствующее влияние на сопротивление.

Как отмечалось, волновое сопротивление судна на тихой воде может быть больше

или меньше суммы сопротивлений, обусловленных волнообразованием в носовой и кормовой оконечностях. На волновании моря в интерференцию вступают также корабельные волны, возникающие при качке, и набегающие океанские волны. При этом эффект от интерференции (в отнесении сопротивления) может изменяться к лучшему или худшему.

Дополнительную мощность  $\Delta N_x$ , подводимую на волновании моря к гребному винту, для поддержания постоянной скорости хода, можно разбить на составляющие  $\Delta N_1$  и  $\Delta N_2$ , соответствующие дополнительным сопротивлениям, вызванным действиями ветра и волнения.

Диаграмма на рис. 4.2, заимствованная из работы Г. Аартсена [44], показывает, как изменилось во времени испытаний судна «Джордан» отношение

$$\frac{\Delta N_x}{\Delta N_2} = \frac{\Delta N_x}{\Delta N_1 + \Delta N_2}$$

в зависимости от балльности ветра.

Из диаграммы следует, что при силе ветра меньше 4 баллов основное значение имела аэродинамическая составляющая приращения мощности. При силе ветра, равной или превышающей 6 баллов, около 75–80% полного приращения мощности  $\Delta N_x$  было обусловлено действием волнения.

О скорости встречных поверхностных течений  $v_t$  и скорости горизонтального перемещения воды  $v_w$ , участковой в волновом движении, можно судить по следующим данным, заимствованным из работы А. И. Вознесенского и Г. А. Фурсова [9]:

Сила ветра, баллы	6	7	8	10	12
Волнистое, баллы	5	6	—	8	—
Скорость ветра, м/с	12	—	18	25	25 в винте
Скорость $v_t$ , уз	0,25	—	0,40	0,55	0,65 в винте
Скорость $v_w$ , уз	0,60	0,80	—	0,80	—

Приведенные данные показывают, что при встречном ветре 6–8 баллов горизонтальное перемещение воды, вызванное ветром и волнением, может снизить скорость судна на 0,5–1,0 уз.

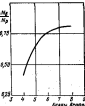


Рис. 4.2. Зависимость отношения  $\Delta N_x/\Delta N_2$  от силы ветра в баллах из данных испытаний судна «Джордан»

**§ 4.5. Работа главного двигателя  
и гребного винта при вспомогательном  
движении судна.**

**Выбор расчетного режима работы винта**

Мощность  $N$ , развиваемая двигателем, выражается через врачающий момент  $M$  и число оборотов вала  $n$ , формулой<sup>3</sup>

$$N = 2\pi n M.$$

У двигателей с постоянным моментом, к числу которых относятся двигатели внутреннего сгорания, момент  $M$  величиной меняется в зависимости от числа оборотов, поэтому линия характеристики двигателя  $N = f(n)$  мало отличается от прямой, проходящей через начало координат. Такую же характеристику имеет дизель-электрическая установка на постоянном токе.

У паровых и газовых турбин врачающий момент изменяется пропорционально обратно произведению, налью числу оборотов, а мощность сохраняет приблизительно постоянное значение.

Мощность, перерабатываемую винтом, можно выразить формулами:

$$N_p = c \rho d^2 n^3;$$

$$c = f\left(\frac{n_0}{n}\right) = f(\beta_p),$$

Рис. 4.3. Кривые  $N_p$ ;  $N_p = f(n)$   
двигателя и гребного винта

Так как скорость  $v_0$  изменяется пропорционально квадратично числу оборотов гребного винта, кривая  $N_p = f(n)$ , подобно кривой  $N_p = f(n_0)$ , мало отличается от кубической параболы.

На рис. 4.3 нанесены пунктиром две кривые  $N_p = f(n)$ , на которых верхняя кривая отражает условия плавания на изолированном море. Там же проведены принципиальные линии характеристики  $N = f(n)$  двигателей с постоянным моментом и постоянной мощностью:  $M = \text{const}$  и  $N = \text{const}$ , где  $N$  — мощность, развиваемая двигателем за начальную потерю в заложении. Обе кривые пересекаются в точке  $A$  с кривой  $N_p = f(n)$ , построенной для условий плавания на тихой воде, а в точках  $A_1$  и  $A_1'$  с аналогичной кривой, построенной для более суровых условий плавания.

Предложенная диаграмма показывает, что машинные установки, работающие по принципу двигателей с постоянным моментом, мо-

<sup>3</sup> Если мощность выражена в л. с., а число оборотов отнесено к минуте, формула имеет вид

$$N = \frac{\pi M}{318}.$$

рут оказаться неспособными развить полную мощность, когда судно движется при вспомогательном сопротивлении. В подобных случаях эффективность работы главного двигателя можно частично компенсировать перегрузкой его (в допустимых пределах) путем увеличения количества топлива, подаваемого в цилиндры двигателей внутреннего сгорания. При этом форсировочная кривая  $N = f(n)$  пройдет выше нормальной кривой.

Из изложенного следует, что при проектировании гребных винтов нужно внимательно относиться к выбору расчетных условий, учитывая, что гребные винты не должны быть их наименее сильными, ни временно стоящими. Для выяснения ясности в этот вопрос поставлен в процессе разработки проекта строят каскадные диаграммы гребных винтов исходя из возможных гидравлическо-геометрических условий при различных состояниях наружной обшивки.

Переходя к вопросу об упоре, разрабатываем гребными винтами при снижении скорости хода, обратимся к рис. 4.4, заимствованному из книги Г. Воссерса [117]. Диаграмма на этом рисунке содержит кривые приращения упора

$$\Delta P = 100 \frac{P - P_0}{P_0} = f(\alpha),$$

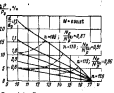


Рис. 4.4. Зависимость упора, развиваемого гребными винтами, от скорости хода при некоторых расчетных предположениях

где  $P_0$  — упор, соответствующий расчетной скорости хода  $v = 17,2$  м/с;  $P$  — упор при снижении скорости хода.

Диаграмма, рассчитанная в предположении, что крутящий момент, развиваемый двигателем, не является, построена для косвенных значений  $\alpha$  и  $v$ . На диаграмме, наряду с кривыми  $\Delta P = f(\alpha)$ , нанесены кривые постоянных чисел оборотов, развиваемые двигателем при отведенных на диаграмме отношениях мощности на винте  $N_p/N_p^0$ , где  $N_p^0$  — мощность при скорости  $v = 17,2$  м/с.

Диаграмма показывает, что увеличение диаметра винта позволяет двигателю развить более значительный упор при снижении скорости хода, а при заданном приращении упора — более высокую скорость хода. В соответствии с этим Г. Воссерс рекомендует ориентироваться в первом приближении при разработке проекта на винт максимального допустимого диаметра даже в тех случаях, когда этот максимальный диаметр отличается более высокими коэффициентами полезного действия. Остановимся на этом вопросе более подробно.

Рассмотренная диаграмма параллель с другими материалами, приведенными в книге Г. Воссерса, позволяет сопоставить следую-

щие показатели судна при установке гребных винтов, отличающихся диаметром и шаговым отношением:

Параметры винта:		1,0	1,1	1,2
$d/d_e = 0,54$	0,84	0,70	0,60	
НШ				
Показатели судна:				
по пр. $v = 17,2$ уз	0,61	0,58	0,54	
$\Delta W_{\text{нж}}$ , %, по пр. $v = 17,2$ уз		8,0	13,0	
5,5 %, при $v$ , уз:				
16,0	2,0	3,5	5,0	
16,0	4,0	5,6	8,5	
14,0	5,3	7,5	11,5	
13,0	7,0	9,5	14,5	

Приведенные данные показывают, что для достижения заданной скорости хода  $v = 17,2$  уз при диаметре гребного винта, увеличенном на 10% и 20%, необходимо увеличить мощность на винте соответственно на 5% и 13%. При скорости хода  $v = 16,0$  уз, которую можно рассматривать как среднюю эксплуатационную, упор гребного винта с диаметром  $d = d_e$  возрастает на 2%, а для установок с гребными винтами увеличенного диаметра — на 3,5 и 5%.

Лишь в тех случаях, когда скорость хода значительно снижается вследствие возросшего сопротивления (до  $v = 15$  уз, если  $d/d_e = 1,1$  и до  $v = 13$  уз, если  $d/d_e = 1,2$ ), относительное приращение упора превышает первоначальное относительное увеличение мощности на винте. Поэтому с отечественной рекомендацией Г. Воссерса нельзя полностью согласиться.

В заключение остановимся на вопросе о выборе расчетного режима при проектировании гребного винта.

Известно, что гребные винты, рассчитанные исходя из скорости судна на испытаниях и соответствующем ей сопротивлению, или же из скорости хода, сниженной вследствие возросшего сопротивления, способны в одинаковых условиях развивать одинаковую скорость хода. Отличаются же такие винты числом оборотов, а следовательно, и запасом мощности, в пределах которых двигатель может работать без перегрузки (имеются в виду двигатели с постоянными крутящими моментами).

На практике наблюдаются различные подходы к выбору исходных данных для проектирования гребных винтов.

Нередко гребные винты проектируют исходя из условий плавания на испытаниях при коммивояжной или эксплуатационной мощности двигателя. Такие винты позволяют использовать полную мощность двигателя в условиях плавания на тихой воде при полном или снижении водоизмещения. Малый переход мощности, в пределах которого двигатель способен работать без перегрузки, является недостатком подобных винтов.

М. А. Гречин в работе [14] отмечает, что фирма Бурмейстер и Вайн рекомендует проектировать гребной винт на условия сплошных испытаний (чистая наружная обшивка, тихая погода) при полном водоизмещении судна, эксплуатационной мощности двигателя

в числе оборотов гребного вала, превышающем на 2,5% эксплуатационное число оборотов. При всех прочих одинаковых условиях фирма Зульцер рекомендует, по словам М. А. Гречина, проектировать гребной винт на номинальное число оборотов, которое превосходит эксплуатационное примерно на 3,5%.

В обоих случаях расчетная характеристика винта (см. рис. 4.4) смещается вправо и гребной винт оказывается более «легким», что уменьшает возможность перегрузки двигателя.

Аналогичный эффект можно получить, проектируя винт исходя из эксплуатационных характеристик двигателя в условной эксплуатационной скорости хода, соответствующей вносимой на величину  $\Delta W$  буксируемой мощности. В отечественной практике приняты следующие надбавки: для сухогрузных судов двигателей до 7000 л. с. и парусных судов двигателей до 10 000 л. с.  $\Delta W = 20\%$ ; для тех же судов при больших двигателях  $\Delta W = 15\%$ ; для пассажирских судов  $\Delta W = 10\%$ . Таким дифференцированным подходом к определению поправки  $\Delta W$  можно обосновать тем, что возрастание буксируемой мощности в стесненную погоду зависит от размеров судна и скорости хода.

В некоторых странах независимо от типа судна принята стандартная надбавка  $\Delta W = 20\%$ .

#### § 4.6. Вынужденное снижение числа оборотов гребного винта

К предварительному снижению скорости хода на встречном волнении прибегают для предотвращения повреждения судна или перевозимого груза вследствие склонения, залывания открытых палуб забортной водой, периодического обнажения гребного винта вследствие качки. Даже на сравнительно круглых судах такие условия создаются при сильном встречном ветре, равной или превышающей 6—7 баллов.

Наглядное представление об этом явлении можно получить по диаграммам на рис. 4.5 и 4.6, заимствованным из работы Б. Аартсена [14]. Диаграммы характеризуют поведение на встречном волнении судна «Диорданс» длиной 12 000 л. с. со следующими азимутами:  $L = 165,1$  м;  $B = 20,1$  м;  $d = 0,692$ . Водонаполнение судна при осадке  $T = 9,14$  м составляет  $D = 10 000$  т. Эксплуатационная скорость хода 16,5 уз, а номинальная мощность двигателя  $N_{\text{нж}} = 5000$  л. с. Диаграммы построены по данным испытаний этого судна на протяжении шести рейсов в Северной Атлантике при осадке  $T = 8,5$  м.

Диаграмма на рис. 4.5 содержит кривые мощности на винте  $N_1$ , построенные в зависимости от скорости хода при балластности ветра в качестве параметра. Кроме того, на диаграмме приведены прямые  $N_2$ ;  $N_3 = f(v)$ , выражющие верхний и нижний пределы максимальной мощности на винте, которую удается развить на заполненном водоизмещении судна, эксплуатационной мощности двигателя

\* В испытательной работе оба рисунка соединены на одной диаграмме.

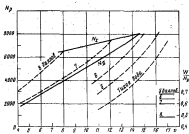


Рис. 4.5. Судно «Джордан». Кривые мощности на винте в функции скорости хода при балластном ветре в качестве параметра

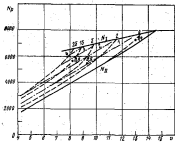


Рис. 4.6. Судно «Джордан». Кривые постоянных значений коэффициента сопротивления (---) и обшивки винта (—) в зависимости от скорости хода и мощности на винте

балластном вете. В правой части диаграммы отмечены значения пропульсивного коэффициента  $W/N_p$  в зависимости от балльности ветра.

На рис. 4.6 приведены кривые повторяемости-слепнинга в обвязке анта в зависимости от мощности на винте и скорости хода. Числа над и под кривой  $N_1$  обозначают соответственно количество ударов корпуса о воду ( $\theta=4^\circ$ ) и число случаев обрывания гребного винта ( $\theta=25^\circ$ ), приходящихся на 100 продольных колебаний судна. Числа около точек отмечены давлением при слепнинге,  $\text{kg}/\text{cm}^2$ .

При силе ветра, не превосходящей 6 баллов, мощность, развиваемая гребным двигателем судна «Джордан», колебалась в пределах 8000–8500 л. с., что составляет 85–89% от номинальной мощности. При более сильном вете приходилось довольствоваться меньшей мощностью в пределах, ограниченных кривыми  $N_1$ ;  $N_{11}=f(v)$ .

Из рис. 4.5 следует, что при восемьбалльном встречном ветре скорость судна не превышала 8 уз при мощности на винте 6500 л. с. Эти величины соответствуют верхнему лимиту мощности по кривой  $N_1=f(v)$ . При силе ветра в 7 баллов скорость судна не превосходила 12 уз, а мощность на винте 7400 л. с.

Кроме того, Г. Аартсен отмечает, что при встречном вете потеря скорости судна «Джордан» достигала следующих величин:

Сила ветра, баллы	4	5	6	7	8
Снижение скорости, %	4	8	15	29	50

Переходя к рассмотренным диаграммам на рис. 4.6, отметим, что во время исследований на судне «Джордан» кривые постоянных значений частоты слепнинга в обвязке гребного винта располагались выше кривой  $N_{11}=f(v)$ . Иначе говоря, эти явления возникали при силе ветра, равной и превышающей 7 баллов. При тех же условиях наблюдалось забрасывание и заливание верхней палубы.

Давление, сопровождающее слепнинг, не превосходило 1 кг/см<sup>2</sup> при осадке судна  $T = 8.5$  м. В балластном пробеге и при временночной осадке давление, вызываемое слепнингом, выражалось более высокими цифрами.

#### § 4.7. Дополнительные сведения о ходости судна из встречном волниении

В настоящем параграфе приведены дополнительные сведения о ходости судна из встречном волнении, базирующиеся на модельных и натурных испытаниях.

В. Мюнель [87], использовав данные, полученные в натурных условиях Ди. Кентом и Г. Кенфиром, построил диаграммы, приведенные на рис. 4.7. Они позволяют определить потерю скорости хода  $\Delta v/v$ , %, из встречном волнении при курсовых углах  $\alpha = 0 + 30^\circ$  в зависимости от энергоооруженности судна, коэффициента продольной полноты и относительной длины волны.

В левой половине рисунка кривые  $\Delta v$  построены в функции коэффициента продольной полноты при относительной длине волны в качестве параметра. На диаграмме отмечены три зоны, каждая из которых соответствует определенным пределам изменения энергоаэродинамики судна  $N/D$ . Аналогичные диаграммы в правой части рисунка содержат кривые  $\Delta v/c$ , построенные в функции от-

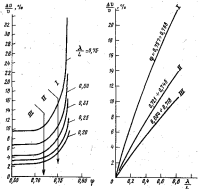


Рис. 4.7. Кривые потери скорости  $\Delta v/t = f(\lambda/L)$  и  $\Delta v/c = f(\lambda/L)$  для Северной Атлантики за Мёкленбургом.  
 Зоны: I -  $N/D = 0,166 \pm 0,145$ ; II -  $N/D = 0,305 \pm 0,335$ ;  
 $III - N/D = 0,443 \pm 0,230$

показания  $\lambda/L$  для трех пределов изменения коэффициента  $\varphi$  и энергоаэродинамики судна.

Диаграммы показывают, что скорость судна на волнении быстро падает при увеличении коэффициента продольной полноты сверх  $\varphi = 0,72$ . Так же сказывается увеличение отношения  $\lambda/L$ .

Максимальное значение отношения  $\lambda/L$ , получившее отражение на рис. 4.7, равно 0,75. При таком относительной длине волны судна не испытывают значительной продольной качки, и снижение скорости хода обусловливается в основном затратой энергии на отражение набегающих волн.

Современные грузовые суда в общем более быстроходны, чем суда, для которых построены диаграммы Мёкленбурга. Поэтому в настоящее время рассматриваемые диаграммы интересны в основном для оценки ходости на встречном волнении сравнительно тихоходных судов. К их числу принадлежат суда, предназначенные для перевозки навалочных и зернистых грузов.

На рис. 4.8 приведены диаграммы Аэртсбека 1961, предназначенные для определения снижения скорости судна при встречном волнении в зависимости от коэффициента общей полноты и длины судна. Диаграммы построены для силы ветра в 4-6 баллов на основе данных натурных испытаний трех судов, характеристики которых приведены в § 4.8.

В оригинальных диаграммах Аэртсбека кривые  $\Delta v/c$  даются в функции коэффициента общей полноты при трех длинах судна, совпадающих с длиной судов, использованных для натурных испытаний.

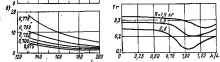


Рис. 4.8. Снижение скорости судна по Аэртсбеку при встречном ветре силой 4 балла (a), 5 баллов (b), 6 баллов (c).

Представляют интерес боксеровочные испытания моделей на волнении в бассейнах гравитационного типа, при которых модели приводятся в движение падающим грузом. В качестве примера на рис. 4.9 представлена диаграмма, заимствованная из книги Г. Воссерса [117], для постройки которой были использованы данные испытаний модели с коэффициентом полноты  $\delta = 0,60$  из серии

«Би-Тодда». Исследования сводились к буксированию моделей на встречном регулярном волнении при относительной высоте волн  $b_0/\lambda = 0,021$ .

Диаграммы содержат кривые, характеризующие изменение относительной скорости модели в зависимости от относительной длины волн  $\lambda/L$ . Каждой кривой соответствует определенная величина падающего груза.

Минимумы кривых на рис. 4.9 располагаются в интервале относительных длин волн  $\lambda/L = 1,0 \rightarrow 1,3$ . При буксировании моделей грузом  $R = 1,4$  кг число Фруда изменилось в пределах  $Fr = 0,38 \rightarrow 0,25$ . Нижней кривой ( $R = 0,6$  кг) соответствуют пределы изменения числа Фруда  $Fr = 0,25 \rightarrow 0,13$ . В первом случае скорость модели в экстремальной точке снизилась на 22%, а во втором — на 50%. Таким образом, по мере возрастания энерговысокий судна снижалась потеря скорости на всплытии.

В работе В. Михеля [86], посвященной исследованию мореходных качеств траулеров, приведены данные о потере скорости этих судов на волнении в море. Относящиеся к этому вопросу выводы могут быть охарактеризованы следующими числами, выражющими снижение скорости (%) в зависимости от силы ветра, измеренной в баллах, и коэффициента общей полноты судна:

Сила ветра, баллы	4	5	6
Снижение скорости судна:			
при $b = 0,52$	3,5	7,0	12,5
при $b = 0,54$	5,5	9,0	15,0
при $b = 0,56$	7,0	12,5	20,0

О падении скорости полных тяжоходных судов можно составить представление по работе Н. И. Струйского [38], испытывавшего захвачение журнальных судов, курсировавших на линии Баку—Астрахань. Водонесущество судов различалось 2000—8000 т, скорость 9—10 уз. При встречном ветре падение скорости выражалось так:

Сила ветра, баллы	3	4	5	6	7	8
сост., %	5	10	22	40	50	50

При выпутом вете падение скорости было приблизительно в два раза меньшим. Преобладающие ветры были в 3—4 балла. Понятно, скорость рассматриваемых судов в среднем за протяжении года снижалась на 3—6%.

#### § 4.8. Влияние курсового угла.

Под которым судно встречает волнение

На рис. 4.10 приведены диаграммы, при построении которых приращение мощности на витне рассматривались как функции относительной длины волн, относительной скорости судна и его курсового угла по отношению к волнению. Диаграммы, заимствованные из работы Г. Воссерса и В. Сазана [116], построены по данным испытаний смокходной модели судна «Никтор» на регулярном волнении. Элементы судна:  $b = 0,688$ ;  $\alpha = 0,740$ ;  $L = 133$  м;  $B =$

$= 18,9$  м;  $T = 8,60$  м;  $V = 15\,000$  м<sup>3</sup>;  $h = 1,13$  м;  $t_0 = 13$  с, где  $h$  — метацентрическая высота,  $t_0$  — период собственных поперечных колебаний судна. На диаграммах по оси абсцисс отложены курс-

углы

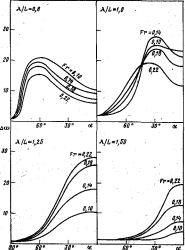


Рис. 4.10. Кривые коэффициентов приращения мощности на витне в зависимости от относительной длины волны, числа Фруда и курсового угла по данным испытаний модели судна «Никтор»

сумме углов в пределах  $\alpha = 0 \rightarrow 90^\circ$ , а по оси ординат безразмерный коэффициент приращения мощности

$$\Delta R = \frac{\Delta N_p L}{\gamma b^2 t_0^2},$$

где  $\Delta N$  — абсолютное приращение мощности;  $r_0$  — амплитуда волны. Диаграммы построены для четырех значений относительной длины волны  $\lambda/L$  при отношении  $2r_0/\lambda = 0,02$ .

При относительной длине волны, равной и меньшей длины судна, приращение до достигало максимума не на встречном волнении, а при курсовых углах  $\alpha = 30 \rightarrow 60^\circ$ . По мере увеличения числа Фруда приращение до возрастило, если  $\lambda/L > 1$ , и убывало, если  $\lambda/L < 1$ .

Из других материалов, приведенных в рассматриваемой работе, следует, что при встречном волнении до достигало наибольших значений при следующих соматических относительных длинах волны и числа Фруда:

$\lambda/L$	1,1	1,2	1,3	1,5
$F_F$	0,30	0,34	0,38	0,22

Нетрудно убедиться, что при этих соотношениях кажущийся период волны

$$T_K = \frac{\lambda}{a + c},$$

где  $c$  — скорость волны, близкая собственным периодам продольно удульных и вертикальных колебаний  $\tau_p$  и  $\tau_v$ .

О влиянии курсового угла, под которым судно встречает волнение, можно также судить по рис. 4.11, на котором приведены диаграммы, заимствованные из работ Г. Артусона [45], [46]. На диаграммах, построенных по данным затуриных испытаний сухогрузных судов «Лубумбази», «Кадотилья», «Элизабет» (в дальнейшем они обозначаются первой буквой названия), приведены кривые приращение мощности на валу  $\Delta N/N$  (при постоянной скорости) и изменение скорости  $\Delta v/v$  (при постоянной мощности) в зависимости от балльности ветра и курсового угла судна по отношению к волнению. Квадраты курсовых углов обозначены римскими цифрами (I—IV).

Особенности судов можно характеризовать следующими показателями:

Суд	I	II	III	IV	V	N	$\alpha$
«ЛБ»	135	18,6	7,81	0,69	0,73	6000	15,0
«КД»	156	21,1	8,30	0,672	0,690	9500	16,5
«Э»	192	25,3	10,20	0,770	0,776	13 000	16,0

Рисунок показывает, что по мере увеличения курсового угла  $\alpha$  от пуль ( встречное волнение) до  $180^\circ$  неблагоприятное влияние ветра и волнения становится менее ощущенным. При сильном ветре 4—6 баллов и попутном волнении ( $\alpha = 150 \rightarrow 210^\circ$ ) скорость рассматриваемых судов несколько увеличивалась, а мощность, необходимая для поддержания определенной скорости, снижалась. При более сильном ветре ходовые показатели судов на попутном волнении ухудшились.

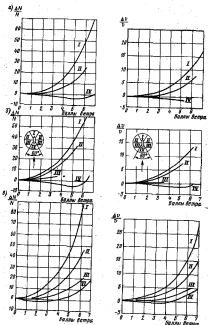


Рис. 4.11. Кривые приращения мощности и потеря скорости хода в зависимости от балльности ветра и курсового угла для судов «Кадотилья» (4), «Элизабет» (5) и «Лубумбази» (6)

Размеры обычных и листоровых волн в отдельных бассейнах более или менее стабильны. Поэтому после увеличения длины судна сверх некоторого предела вероятность встречи волн, имеющей длину, равную или большую, чем длина судна, снижается. Этим объясняются то, что на встречном волнении более крутое судно «Ф» вело себя лучше, чем судно «А», несмотря на больший коэффициент общей мощности первого судна.

#### § 4.3. Определение скорости судна в средних эксплуатационных условиях и запаса мощности, необходимого для поддержания заданной эксплуатационной скорости хода

Практические данные, приведенные в приведенных параграфах, позволяют определить вероятное снижение скорости проектируемого судна в средних эксплуатационных условиях или же, при другой постановке задачи, рассчитать запас мощности, необходимый для обеспечения заданной эксплуатационной скорости. В дальнейшем эти задачи рассматриваются без учета сопротивления, вызванного обрастворением и коррозией корпуса. Предполагается, что влияние этих факторов учитывается введением неправильных слагаемых в соответствия с предполагаемыми условиями эксплуатации судна.

В каждом частном случае для строгого решения сформулированной задачи необходимо предварительно определить долготроечное распределение показателей ходности судна на нерегулярном волнении с учетом вероятных курсовых углов судна по отношению к ветру и волнению. Для этого можно воспользоваться данными натурных или модельных испытаний судов во волнении. Во втором случае необходимо дополнительно учсть влияние ветра и перекладок руля, а если речь идет о бункеровочных испытаниях моделей — также эффективность работы гребных винтов и главных механизмов на волнении. В тех случаях, когда исходные данные получены путем испытаний моделей на регулярном волнении, дополнительному учету подлежит также влияние нерегулярности волнения.

В принципиальном аспекте сформулированная задача рассматривается в работе автора<sup>1</sup> (§ 4 и 5 главы четвертой). В дальнейших изложениях она рассматривается в упрощенной постановке, позволяющей получить приближенное решение. Для этого подставим в формулы (4.1) вместо производной скорости на волнении  $v_{\text{вн}}$  эксплуатационную скорость  $v$ , а вместо приведенной мощности  $N_p$  мощность энергетической установки  $N_e$ , при которой судно за такой

виде развивает эксплуатационную скорость  $v$ . Тогда коэффициенты сокращения скорости и приведения мощности выражаются формулами

$$k_v = \frac{\Delta v}{v_{\text{вн}}} = \frac{v_{\text{вн}} - v}{v_{\text{вн}}}; \quad (4.2)$$

$$k_N = \frac{\Delta N}{N_e} = \frac{N - N_e}{N_e}. \quad (4.3)$$

Кроме того, введем понятие об эквивалентной силе ветра и эквивалентном волнении, которые в приближенных расчетах водокочих приводят к тем же результатам, что и подробные расчеты, учитывающие распределение этих характеристик во времени. Эквивалентными размерами волн естественно считать значение этих величин, отличающихся наибольшей повторяемостью, или же их средненесущие значения. Практически оба эти показателя мало отличаются друг от друга.

На рис. 4.12 приведена диаграмма Ролла, заимствованная из [117]. Диаграмма, характеризующая распределение силы ветра в Северной Атлантике на протяжении года, показывает, что наибольшая повторяемость в этом бассейне отличается пятибалльным ветром. Рассматривая эту величину как характеристику эквивалентного ветра в Северной Атлантике, найдем, руководствуясь шкалами ветра и волнения, действующими в Советском Союзе, что такой балльности соответствует скорость ветра

$$v_e = 7,5 + 9,8 \text{ м/с}$$

и высота волн трехпроцентной обеспеченности

$$A_{3\%} = 1,25 + 2,00 \text{ м.}$$

Отметим также, что при пятибалльном ветре (см. табл. 12 в работе, указанной в списке на стр. 108) длина волны лежит в пределах

$$\lambda = 39 + 76 \text{ м.}$$

Таким образом, в среднем можно принять

$$\lambda = 1,6 \text{ м; } \lambda = 60 \text{ м.}$$

Для экваториальной части Атлантического и Тихого океанов, а также для северной части Индийского океана представляется

<sup>1</sup> Ноград Л. М. Серьезность судна к его поведению на волнении в море. Л., «Судостроение», 1965.

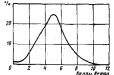


Рис. 4.12. Распределение силы ветра в Северной Атлантике по Роллу

позволяет исходить из эквивалентной силы ветра в 4 балла и эквивалентной высоты волн  $k_{\text{экв}} = 1$  м. Среднегодовые условия плавания и других бассейнов можно устанавливать по данным о распределении высоты волн, приведенным в табл. 10 и 11 (см. сноски на с. 108).

При принятых допущениях коэффициенты потери скорости и пропадения мощности на встречном волнении выражаются формулами

$$k_v = \left( k_v^1 \right)_{\text{экв}}; \quad (4.4)$$

$$k_N = \left( k_N^1 \right)_{\text{экв}},$$

в которых индекс «1» показывает, что судно встречает волнение на встречных курсовых углах, а индексами каких отмечены эквивалентные значения рассмотриваемых коэффициентов.

В практических расчетах все курсовые углы судна по отношению к волнению обычно предполагаются равноравнотными. При таком допущении можно параллельно определять средневзвешенные значения коэффициентов  $k_v$  и  $k_N$  приближенными зависимостями

$$k_v = \frac{1}{2} \left( k_v^1 \right)_{\text{экв}}; \quad (4.5)$$

$$k_N = \frac{1}{2} \left( k_N^1 \right)_{\text{экв}}.$$

Для проверки формулы (4.5) обратимся к курсу Г. Воссерса [117], в котором приведены средние эксплуатационные значения коэффициента  $k_N$ , полученные детальным расчетом для судов «Л», «Ф» и «Ф». Расчет выполнен исходя из условий плавания в Северной Атлантике в предположении, что все курсовые углы судна по отношению к ветру и волнению равноравнотны. Расчет базируется на данных, вытекающих из диаграмм Артессена и Ролла (см. рис. 4.11 и 4.12).

Ниже приведены значения  $k_N^1$  для силы ветра в 5 баллов, снятые с диаграмм Артессена, значения  $k_N$ , рассчитанные по формуле (4.5), и значения  $k_N$ , полученные Г. Воссерсом:

Суд	$k_N^1$	$k_N = \frac{1}{2} (k_N^1)_{\text{экв}}$	По Воссерсу $k_N$
«Л»	45	22	23
«Ф»	36	18	22
«Ф»	35	17	18

Значения коэффициента  $k_N$ , полученные приближенным и детальным расчетом, удовлетворительно согласуются друг с другом, что подтверждает возможность пользоваться формулой (4.5).

Помимо иметь в виду, что при обычных соотношениях между скоростью на тихой воде и эксплуатационной скоростью можно пользоваться приближенной формулой

$$(1 + k_v) = (1 + k_N)^{\frac{1}{2}}, \quad (4.6)$$

вытекающей из соотношения

$$\frac{N}{K_s} = \left( \frac{v_{\text{экв}}}{v} \right)^2.$$

Формулу (4.6) можно представить в виде

$$k_v^1 = (1 + k_N^1)^{\frac{1}{2}} - 1, \quad (4.7)$$

где  $i = I + IV$  — номер квадранта, характеризующий курсовые углы судна по отношению к волнению.

Ниже диаграмма Артессена (см. рис. 4.11) используется для проверки формулы (4.7) исходя из двух предположений о силе ветра.

При силе ветра 5 баллов

Суд	$(1 + k_N^1)$	по $k_N^1$	по $k_N^1$
	по диаграммам	по формуле (4.7)	по диаграммам
«Л»	1,45	10,0	8,8
«Ф»	1,33	7,0	6,8
«Ф»	1,38	6,6	6,4

При силе ветра 6 баллов

Суд	$(1 + k_N^1)$	по $k_N^1$	по $k_N^1$
	по диаграммам	по формуле (4.7)	по диаграммам
«Л»	1,88	16,0	15,0
«Ф»	1,60	11,1	11,0
«Ф»	1,65	11,2	12,5

Представленные данные показывают, что формула (4.7) можно использовать для приближенных расчетов.

Возвращаясь к расчету Воссерса, отметим, что полученные им данные мало отличаются от результатов, к которым приводится диаграмма на рис. 4.11, если силу ветра принять равной четырем баллам. Поэтому можно считать, что диаграмма Артессена для четырехбалльного встречного ветра, приведенная на рис. 4.8, характеризует осредненные условия плавания в Северной Атлантике в тех случаях, когда все курсовые углы судна предполагаются равноравнотными. Можно применять также диаграмму Артессена для изгибательного ветра, если результаты, к которым она приводит, умножить в два раза.

Для упрощения расчетов, связанных с определением коэффициентов  $k_v$  и  $k_N$ , в тех случаях, когда в основу принимаются модельные испытания на регулярном колесике, А. И. Вознесенский и Г. А. Фарсов [9] предложили исходить на распределения высоты

и длины видимых волн. В этом случае можно определить осредненное прращение боксировочной мощности по формуле

$$\Delta W = \frac{\Sigma \Delta W_i t_i}{\Sigma t_i},$$

где  $\Delta W_i$  — прращение мощности, вызванное регулярами волнами, действовавшими на протяжении промежутка времени  $t_i$ .

Аналогичную формулу можно, очевидно, написать также и для потери скорости хода.

#### § 4.10. Осредненные коэффициенты потери скорости и прращения мощности

В практических расчетах широко применяют осредненные коэффициенты потери скорости и прращения мощности, численные значения которых устанавливаются путем анализа записей в захваченных журналах и попутных наблюдений за судах в эксплуатационных условиях. В связи с этим уместно отметить, что еще сравнительно недавно необходимый запас мощности энергетической установки учищали следующими процентными надбавками к мощности на тягой воде, предложенными Г. Кемпфом в 1937 г.:

Северная Атлантика. Рейс в восточном направлении, летом и зимой соответственно	15; 20
Северная Атлантика. Рейс в западном направлении, летом и зимой соответственно	20; 30
Тихий океан	15—30
Южная Атлантика	13—18

Суда, обследованные Г. Кемпфом для получения осредненных цифр, были сравнительно тихоходы, и поэтому в настоящие времена и цифры, которые он предложил, нужно подходить критически.

В Правилах Морской комиссии США проектная эксплуатационная скорость судна рассматривается как скорость за испытания при проектной осадке и мощности механизмов, разной 80% от эксплуатационной мощности. Этим устанавливается следующее соотношение между мощностью  $N_0$  и эксплуатационной мощностью энергетической установки:

$$N = 1,25 N_0.$$

Для дизельных судов правила предусматривают дополнительную десятипроцентную надбавку к эксплуатационной мощности, которая не распространяется на турбинные суда, поскольку паровые турбины меньше подвержены старению и более приспособлены к поддержанию постоянной скорости судна на протяжении плавания. Таким образом, для дизельных судов

$$N_{\text{раб}} = 1,10 N - 1,37 N_0.$$

#### Глава пятая

##### КОЭФФИЦИЕНТЫ ПОЛНОТЫ

##### И СООТНОШЕНИЯ ГЛАВНЫХ РАЗМЕРЕНИЙ СУДНА

#### 5.5.1. Предварительные замечания

Коэффициенты теоретического чертежа и соотношения главных размерений, которыми оперируют в проектных разработках, оказывают влияние, с одной стороны, на ходовые качества судна, а с другой стороны — на его остойчивость, мореходность, массу корпуса, водоизмещение.

В первоначальных исследованиях, связанных с определением масс, находящихся в нагрузку судна, влиянием многих показателей, характеризующих форму судна, можно пренебречь. К числу таких показателей, относительно мало влияющих на массы или вообще не связанных с ними, относятся коэффициенты полноты киль-шпангоута и грузовой автерлинии, абсолютного центра величины, относительная длина килевидной вставки, углы прикрытия грузовой автерлинии к диаметральной плоскости и т. д. Численные значения подобных величин задают в основном исходя из требований, связанных с ходовыми качествами судна, на основе эмпирических зависимостей, позволяющих приближенно выбрать подходящее решение.

Ничто не стоит дело с выбором таких показателей, как коэффициент общей полноты, относительная длина судна, относительные его длины к ширине и т. д., оказывающих существенное влияние как на сопротивление воды движению судна, так и на массу корпуса. В этом случае возникает вопрос о возможных вариантах решения задачи, а следовательно, о возможностях, мощности механизмов и других технических и экономических показателей судна в каждом варианте.

Несмотря на успехи, достигнутые на прошлении последних десятилетий в разработке теории волнового сопротивления, наши представления о закономерностях, определяющих остаточное сопротивление, основываются и в настоящее время главным образом на результатах испытаний систематических серий моделей. Естественно, что модельными экспериментами нельзя охватить все возможные изменения формы судна в широком диапазоне относительных скоростей. Таким образом, возникает необходимость конкретизировать задачу, ограничив ее рассмотрением лишь типичных комбинаций применительно к судам определенного типа в интервале скоростей, имеющих практическое значение. Однако и такое су-

жение задачи не устраняет полностью значительных трудностей, связанных с обобщением экспериментальных данных, поскольку при изучении влияния отдельных факторов на сопротивление воды движению судна принцип наложения оказывается чаще всего недействительным. В соответствии с этим выводы, вытекающие из отдельных серийных испытаний моделей с закономерно изменяющимися элементами корпуса, могут быть, строго говоря, применены лишь при определенных предпосыпках о форме судна в целом.

Несмотря на эти обстоятельства, влияние главнейших параметров формы, определяющих сопротивление воды движению судна, изучено сравнительно полно. К числу таких параметров, которые оказывают наиболее существенное влияние на сопротивление, относятся коэффициенты общей и продольной полноты, соотношения главных размерений судна, положение центра величин по длине судна.

Экспериментальные данные позволяют выявлять применительно к проектируемому судну не только качественное, но и, с известной степенью приближения, количественное влияние этих параметров. Достаточно полно с практической точки зрения исследован также вопрос о взаимодействии гребного винта и корпуса судна. Все это в каждом частном случае открывает возможность комплексного изучения вопроса о выборе главных элементов судна с учетом гидромеханических условий, соотношений компонентов нагрузки, экономических показателей и требований, предъявляемых к различным свойствам судна.

Изменения судовых обводов, уменьшающие буксировочное сопротивление, могут привести к снижению скорости хода в реальных условиях эксплуатации, вследствие ухудшения поведения судна на волноподъемном море или уменьшения пропульсивного коэффициента. Поэтому качество формы корпуса следует оценивать, учитывая все три аспекта вопроса о ходости судна.

Независимо от этого во многих случаях оказывается целесообразным отступить в известной мере от решений, которые представляются оптимальными для ходовых качеств судна для того, чтобы улучшить другие его качества.

Такие отступления могут быть вызваны стремлением улучшить остойчивость или сделать канву проектируемого судна более плавной, упростить технологический процесс постройки корпуса, улучшить удельный расход топлива или размещение оборудования, обеспечить более выгодное использование кубатуры грузовых трюмов и т. д. В подобных случаях для того, чтобы принять правильное решение, необходимо хотя бы приблизенно оценить, как скажутся отступления от оптимальной формы корпуса на сопротивлении воды движению судна и его пропульсивных качествах.

В настоящий главе зарядка с практическими рекомендациями, вытекающими из исследований ходостности судна, приведены статистические зависимости, характеризующие соотношение критериев построенных судов. В отношении таких закономерностей следует

отметить, что при обработке первичных статистических данных, характеризующих форму судна, наблюдаются значительные отклонения частных значений исходных величин от их средних значений. Поэтому уместно пользоваться статистическими зависимостями лишь в первоначальных расчетах. Независимо от этого статистические исследования представляют интерес также и для выявления общего характера изучаемых закономерностей, которые с течением времени постепенно изменяются.

Для уточнения аэродинамики судна, намечаемых в начальных стадиях разработки проекта, целесообразно приступить к технико-эксплуатационным расчетам, охватывающим ряд вариантов решения задачи. Степень достоверности подобных расчетов зависит от точности, с которой определены массы, стоимости постройки, ходости и другие показатели сопоставляемых вариантов судна.

В результате анализа обработанных данных о серийных испытаниях моделей в архивах материалов опытных бассейнов обычно после определения элементов проектируемого судна удается подобрать подходящую модель, которую можно принять в основу нового проекта. Проектировщик остается путем незначительного изменения исходной формы привести ее в соответствие с разрабатываемым проектом.

При выборе в качестве прототипа какой-либо модели систематической серии не следует забывать, что при разработке таких серий, предназначенных для изучения влияния тих или иных параметров на сопротивление и пропульсивный коэффициент, не является задачей укомплектовать серию моделями, обладающими наилучшими ходовыми качествами. Поэтому, если одна из моделей, входящих в серию, используется в качестве прототипа, для дальнейшего улучшения обводов и уточнения расчетных цифр целесообразно прибегать к помощи опытных бассейнов.

### § 5.2. Критические точки кривых буксировочного сопротивления

Общие указания. При проектировании грузовых и грузопассажирских судов различного назначения целесообразно признавать наибольшие допустимые значения коэффициента общей полноты. Это позволяет создать судно, которое при фиксированных главных размерениях будет обладать максимально возможной грузоподъемностью. Чрезмерно большой коэффициент общей полноты приводит к неоправданному возрастанию мощности механизмов, и, как следствие, к ухудшению экономической эффективности судна.

О предельно допустимых значениях коэффициента общей полноты можно в известной мере судить по кривым сопротивления

$$\zeta = C_0 / C; \quad C_0 = f(Fr), \quad (5.1)$$

построенным для ряда конкретных значений этого коэффициента. Рассматривая такие кривые, мы замечаем, что начиная с некоторо-

рой точки, сопротивление быстро возрастает по мере увеличения скорости хода. Чем дольше судно, тем при меньшей относительной скорости наступает это явление.

Скорости и числа Фруда, соответствующие таким точкам, в дальнейшем называются критическими. Ниже критических точек сопротивление изменяется пропорционально скорости в степени 2–3. Если же скорость превышает критическую, сопротивление возрастает пропорционально скорости в степени 4–8. Поэтому при выборе коэффициента общей полноты в начальных стадиях разработки проекта естественно исходить из предположения, что эксплуа-

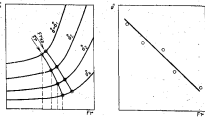


Рис. 5.1. Схема к вопросу о критических и экономических значениях коэффициентов  $\delta$

тации судна при скоростях, превышающих критическую или слишком близких к ней, экономически невыгодна, так как требует трехмерного увеличения мощности механизмов.

Определение для данного коэффициента общей полноты критическую скорость  $v_{cr}$ , нетрудно исходя из практических соотношений установить соответствующую ей эксплуатационную скорость  $\varphi$  и скорость на изпитаниях  $v_0$ . Поэтому рациональные значения коэффициента общей полноты можно определить в зависимости от чисел Фруда, описанных к любой из этих скоростей.

В дальнейшем число Фруда, соответствующее скоростям  $v_{cr}$ ,  $v_0$ , обозначаются соответственно символами  $Fr_{cr}$ ,  $Fr$ ,  $Fr_0$ . Коэффициенты  $\delta$ , установленные исходя из критических точек, называются экономическими коэффициентами общей полноты.

Для пояснения сказанного в левой части рис. 5.1, проведены гипотетические кривые сопротивления  $\xi = f(Fr)$  серии моделей, отличающихся коэффициентами  $\delta$ . На каждой кривой нанесены точки, соответствующие критическим и эксплуатационным врача-

ниям числа Фруда. Условная кривая  $\delta = f(Fr)$ , соответствующая этому изображению, представлена в правой части рассматриваемого рисунка.

Кроме коэффициента общей полноты, на положение критических и экстремальных точек оказывают влияние и другие параметры, определяющие форму судна. Из них наиболее существенное значение имеет абсцисса центра величины. В сравнительно небольшой степени оказывается отношение длины судна к его ширине. Влияние других параметров незначительно и не поддается точному учету, однако весь комплекс показателей, определяющих форму судна, сказывается на положении критических и экстремальных точек.

Способы определения критической скорости. Положение критических точек на кривых сопротивления можно определять на глаз, однако существует потребность в стандартном способе решения этой задачи, обеспечивающем получение единобразных результатов. На практике применяют несколько таких способов. В курсе Ван-Ламмерена, Троста и Конинга [8] наложен способ определения положения критических точек, принятый Вагенштедским опытым бассейном. Как показано на рис. 5.2, критическая точка по этому способу определяется пересечением двух касательных к кривой буксировочного сопротивления, построенной в форм

$$r_a = \frac{R}{\mu \Omega v^2} = f \left( \frac{Fr}{\psi^2} \right).$$

При таком представлении данных о сопротивлении воды движению судна кривые сопротивления отличаются режимами изменения формы, что облегчает нахождение критической скорости. Задача становится менее определенной при более плавных кривых сопротивления.

Ван-Ламмерен считает, что скорость на испытаниях целесообразно принимать равной критической скорости хода. Что же касается эксплуатационной скорости, то, в соответствии с рекомендацией Дж. Кента, Ван-Ламмерен принимает для тихоходных судов

$$\varphi = \varphi_{cr} - 1.0$$

при измерении скорости в узлах, а для сравнительно быстродходных транспортных судов

$$\varphi = \varphi_{cr} - 0.5.$$

Исходя из этих данных и учитывая типы судов, которые рассматривал Дж. Кент, можно считать, что предложенному им способу определения эксплуатационной скорости хода соответствуют приблизительные отношения  $Fr/Fr_{cr} = 0.93$  при  $Fr = 0.18$  и  $Fr/Fr_{cr} = 0.97$  при  $Fr = 0.25$ .

По А. Сильверлипу и Дж. Даусону [102] критической скорости (авторы называют ее граничной скоростью) соответствует на кривой  $C_l = f(Fr)$  точка, после которой кривая начинает отделяться от

касательной танг, как это показано на рис. 5.3.<sup>3</sup> Авторы рекомендуют принимать эксплуатационную скорость равной граничной скорости.

Построение Сальверрафа—Даусона также не отличается жесткой степенью определенности.

Для выяснения экономической скорости по кривой сопротивления можно воспользоваться критериям Трооста [113], согласно которому граничная скорость, или, иначе говоря, устойчивая скорость хода  $v$  в средних эксплуатационных условиях, предполагается равной скорости на тихой воде при мощности механизма

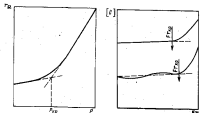


Рис. 5.2. Определение критической скорости по Ван-Ламмерену

Рис. 5.3. Определение критической точки по Сальверрафу — Даусону

$N_{\text{кр}}$ , сниженной на 20% по сравнению с нормальной мощностью  $N$ . Последний соответствует скорости на тихой воде  $v_{\text{тих}}$ , которая связана по Л. Троосту со скоростью  $v$  соотношением

$$\frac{N_{\text{кр}}}{N} = \left( \frac{v}{v_{\text{тих}}} \right)^4.$$

Из этой формулы следует, что, пренебрегая изменением пропульсивного коэффициента, можно принять

$$\frac{R_{\text{кр}}}{R} = \left( \frac{v}{v_{\text{тих}}} \right)^3; \quad \frac{|C|_{\text{кр}}}{|C|} = \frac{v}{v_{\text{тих}}}. \quad (5.2)$$

Кроме того,

$$\frac{v_{\text{тих}}}{v} = \left( \frac{1}{0,8} \right)^{1/4} = 1,057. \quad (5.3)$$

<sup>3</sup> Практически к тем же результатам приводят кривые  $\xi = f(Fr)$ .

Далее Л. Троост приказывает, что в интервале скоростей от 0,9  $v$  до  $v$ , сопротивление возрастает пропорционально скорости в степени 2,5. В соответствии с этим при  $v_1 = 0,9 v$

$$\frac{N_1}{N} = \left( \frac{v_1}{v} \right)^{3.5} = 0.69.$$

Критерий Трооста согласуется с Правилами Морской комиссии (Maritime Administration) США для судов, постройка которых субсидируется правительством. Согласно этим правилам проектная эксплуатационная скорость судна принимается равной скорости на испытаниях при мощности энергетической установки, сниженной на 20% по сравнению с нормальной (эксплуатационной) мощностью — для теплоходов и по сравнению с максимальной длительной мощностью — для судов с паротурбинными энергетическими установками.

Максимальная мощность главных дизелей должна превосходить нормальную на 10%.

Изложенные требования соответствуют распространенным взглядам на необходимый запас мощности энергетической установки. При более строгом подходе к определению этой величины следует учитывать (см. главу четвертую), что запас мощности энергетической установки, необходимый для поддержания (в среднем) эксплуатационной скорости хода, может изменяться в широких пределах в зависимости от коэффициента общей полноты корпуса, качества обводов, размеров судна и гидрометеорологических условий в районах его эксплуатации.

В дальнейшем наложены критическая скорость, как в курсе автора [26], отождествляется с эксплуатационной скоростью хода, причем предполагается, что в критической точке сопротивление начинает возрастать быстрее куба скорости. При таком допущении удобно определять эксплуатационную скорость по минимуму одной из кривых

$$\frac{W}{F^4}; \quad \frac{R}{F^4}; \quad \frac{\xi}{F^4}; \quad \frac{|C|}{F^4} = f(Fr),$$

где  $W$  — буисаровочная мощность.

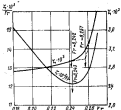


Рис. 5.4. Сравнение способов определения эксплуатационной скорости и скорости на испытаниях

В рассматриваемом случае кривые  $\zeta/Fr = f(Fr)$  и  $IC/Fr = f(Fr)$  разошлись, поскольку для данного судна при  $Fr =$  — идент коэффициент  $\zeta$  пропорционален адмиралтейскому коэффициенту  $[C]$ .

На рис. 5.4 в качестве примера приведены кривые  $\zeta \cdot 10^3 = f(Fr)$  и  $\zeta \cdot 10^3/Fr = f(Fr)$ , характеризующие сопротивление моделей серии «б» с коэффициентом полноты  $b = 0,65$ . Кривые построены по данным, приведенным в работе Ф. Тодда [111]. На первой из них отмечены стрелками числа Фруда  $Fr_1 = 0,242$  и  $Fr_2 = 0,257$ , полученные соответственно построениями Сильверлифа—Дарсона и Вагенгенингского бассейна. В настоящем случае  $Fr_1/Fr_2 = 1,06$ , что приблизительно соответствует соотношению, приведенному Тростом.

Кривая  $\zeta \cdot 10^3/Fr = f(Fr)$  на рассматриваемом рисунке достигает минимума при числе Фруда  $Fr_3 = 0,243$ , что значительно отличается от результата, полученного по способу Сильверлифа—Дарсона.

### § 5.3. Анализ кривых бульбовых сопротивлений

Определены критические точки. На рис. 5.5 представлено семейство кривых  $IC/Fr_b = f(Fr)$ , построенных по данным испытаний серии моделей BSRA (Братавская судостроительная исследовательская ассоциация) с коэффициентом  $b = 0,625 \dots 0,825$ . Использованные интервалы для построения кривых заимствованы из работы Х. Лакеби и М. Паркера [78]. Экстремальные точки кривых, форма которых изменяется закономерно, оказалось возможным обобщить общей кривой, выражющей зависимость критических значений коэффициента общей полноты от числа Фруда.

Те же исходные данные воспроизведены на рис. 5.6 в виде кривых удельного сопротивления  $R/D = f(b)$  при числе Фруда и качестве параметра. Наряду с ними нанесены кривые, обобщающие критические ( $b_{\text{кр}}$ ) и оптимальные по сопротивлению ( $b_{\text{опт}}$ ) значения коэффициента общей полноты. Аналогичная диаграмма, построенная по данным испытаний основных моделей серии «б» Тода [111], приведена на рис. 5.7.

При малых числах Фруда коэффициенты  $b_{\text{кр}}$  на рис. 5.6 и 5.7 имеют одинаковое значение, равное коэффициенту  $b_{\text{опт}}$ . По мере увеличения числа Фруда кривые  $b_{\text{кр}} = f(Fr)$  и  $b_{\text{опт}} = f(Fr)$  сближаются и на рис. 5.7 сливаются при числе Фруда  $Fr \approx 0,26$ .

Кривые  $IC/Fr_b = f(Fr)$ , приведенные на рис. 5.8, построены по данным испытаний японского опытного бассейна, опубликованные в работе Японской судостроительной ассоциации [56]. Кривые охватывают интервал более высоких чисел Фруда и меньших коэффициентов общей полноты  $b = 0,55 \dots 0,65$ , чем кривые на трех предыдущих рисунках.

Нижняя диаграмма на рис. 5.8 относится к судам с традиционными обводами. В верхней части рисунка эта диаграмма представ-

лена в переработанном виде применительно к судам с бульбовыми обводами. Влияние бульба учтывалось с помощью графика Сильверлифа—Дарсона [102]. При построении диаграммы первичные данные использованы в переработанном виде, так как они представлены в работе Л. М. Ногида и А. В. Бромниковым [23]. В последней они пересчитаны на базе коэффициентов трения Шийкенга и внесены в галлюм корпуса судна длиной 180 м и относительными  $L/B = 6,96$ ;  $B/T = 2,5$ .

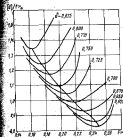


Рис. 5.5. Определение критических точек из кривых сопротивления моделей серии BSRA

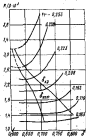


Рис. 5.6. Кривые  $R/D \cdot 10^3 = f(b)$  по данным испытаний моделей серии BSRA. Критические ( $b_{\text{кр}}$ ) и оптимальные по сопротивлению ( $b_{\text{опт}}$ ) значения коэффициента общей полноты

Диаграммы на рис. 5.8 показывают, что при  $b < 0,60$  кривые  $IC/Fr_b = f(Fr)$  пересекаются и лежат менее закономерно, чем кривые, полученные для более высоких значений коэффициента общей полноты. При переходе от традиционных обводов к бульбовым критические точки смещаются в направлении более высоких чисел Фруда.

Диаграмма на рис. 5.9 иллюстрирует влияние изменения положения центра водности по длине судна на положение критических точек. Диаграмма построена по данным испытаний моделей серии «б», приведенным в работе Ф. Тодда и П. Пина [110]. Критические точки определены для коэффициентов  $b = 0,60, 0,75, 0,80$  при трех значениях абсциссы центра велличин, измеренной в процентах от длины судна. Сплошными линиями приведены кривые  $\zeta/Fr_b$ ,

с абсолютной величиной

$$x - x_0 = 20 (\delta = 0,675).$$

как это принято для основных моделей серии BSRA, а пунктиром — линии для моделей с абсолютной  $x - x_0 \pm 1\%$ .

Рисунок показывает, что для полных моделей изменение абсолютной величины  $\Delta x = \pm 1\%$  сопряжено с изменением критиче-

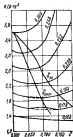


Рис. 5.7. Кривые  $R/D \times 10^3 = f(Fr)$  по данным испытаний моделей серии «б». Симметрические ( $R_{sym}$ ) и несимметрические (несимметрические) кривые коэффициента общей полноты

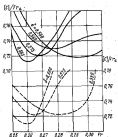


Рис. 5.8. Определение положения критических точек на базе оригинальных (—) и перетянутых (—) кривых сопротивления моделей квадратной серии

ского числа Фруда в среднем на  $\Delta Fr = \mp 0,0125$ . Сохраняя же эксплуатационную скорость судна и соответствующее ей число Фруда постоянным, можно изменять коэффициент общей полноты на величину  $\Delta \delta = \mp 0,025$ . При коэффициенте общей полноты  $\delta = 0,6$  продольное перемещение центра величины мало сказывается на положении критических точек.

В отличие от рис. 5.5—5.7, которые относятся к судам с традиционными обводами, кривые  $W/V^4 = f(Fr)$  на рис. 5.10 рассчитаны по данным испытаний моделей с цилиндрическим носом. Для построения диаграммы использованы кривые мордочки букирошки  $W$  моделей с коэффициентами  $\delta = 0,625$  и  $\delta = 0,650$  при по-

известном Тейлора  $f > 0,11$ , приведенные в работе Дж. Мунтзера [93]. Данные испытаний относятся к головному корпусу судна длиной  $L = 244$  м и относительными  $L/B = 6,50$ ;  $B/T = 2,65$ ;  $x = +2,0\%$ . Подобное соотношение главных размерений и положение центра величины характерны для крупных современных танкеров и рудовозов.

При одинаковых коэффициентах общей полноты переход от традиционных обводов к цилиндрическим сопровождается возрастанием критического числа Фруда. Так, например, если  $\delta = 0,625$ ,

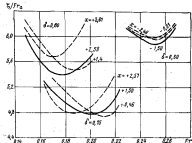


Рис. 5.9. Определение положения критических точек в зависимости от абсолютного шага величиной на базе кривых сопротивления моделей серии «б»

критическое число Фруда для моделей с традиционными обводами (см. рис. 5.5) равно  $Fr = 0,163$ , а для моделей с цилиндрическим носом при том же коэффициенте общей полноты  $Fr = 0,175$ . Подобный эффект позволяет эксплуатировать полные суда с цилиндрическими обводами при более высоких числах Фруда. Если же число Фруда сохраняется постоянным, допустимо увеличить коэффициент  $\delta$  судна с цилиндрическим носом.

При коэффициентах  $\delta \geq 0,62$  цилиндрические обводы приводят к более благоприятным результатам также и по сравнению с бульбовыми обводами. Однако работа В. М. Штумфа, А. Ф. Пустоти-

<sup>3</sup> Показатель Тейлора выражает фактическую полноту плавкота у концевого переднекапсула, подсчитанную в длинах планцов модель-избыточности, в предположении, что затирания не имеют скруглений.

нного к Ю. С. Базилевскому [104] показало, что при коэффициентах  $\delta = 0,78 \rightarrow 0,80$  в подводных соотношениях главных размерений суда с таранным бульбом отличаются минимальным сопротивлением, чем суда с традиционными и цилиндрическими обводами.

Экстремальные точки. Как отмечалось (см. рис. 5.6 и 5.7), кривые, объединяющие критические и экстремальные значения коэффициента  $\delta$ , сближаются по мере увеличения числа Фруда.

При проектировании грузовых и грузопассажирских судов естественно ориентироваться на более высокие значения коэффициента  $\delta$ . При проектировании же пассажирских судов представляется целесообразным принимать меньшие из двух значений этого коэффициента, если другие соображения (например, связанные с расположением пассажирской) не приводят к еще меньшим различиям.

Для определения экстремальных точек на кривых сопротивления быстротходящих грузовых судов ниже приведены данные, полученные ранее работой японского бассейна использования экспериментальных данных, приведенных в работах Х. Нордстрема [1961] и Е. Фрейманса — Х. Лингрена [1921, 1941]. В переработанном виде эти данные содержатся в уже отечественной работе Л. М. Ногида и А. В. Бронников, где влияние посового бульба учтено с помощью графика Омье-Лерфа — Даусона [102].

Ниже для определения положения экстремальных точек на кривых сопротивления двухвантовых пассажирских судов использована также статья Е. Тыльфера [106] с кривыми, перестроенными по графикам Мура в работе Р. Терпера, М. Харпера и Д. Мура [1141]. График Мура основывается на данных испытаний около 200 моделей судов с коэффициентами  $\delta = 0,52 \rightarrow 0,62$ .

Отмеченные работы позволяют установить, что в интервале чисел Фруда  $Fr = 0,24 \rightarrow 0,27$  кривые  $R/D \cdot Fr^2 = f(6)$  достигают минимума при следующих значениях коэффициента общей полноты  $\delta$ :

При традиционных обводах			
Fr	0,24	0,25	0,26
$\delta^{(1)}$	0,600	0,600	0,600
$\delta^{(2)}$	0,632	0,632	0,637

<sup>1</sup> Сравнение  $\delta^{(1)}$  и  $\delta^{(2)}$  отмечено коэффициентом общей полноты надежной японской и шведской серий.

При бульбовых обводах				
Fr	0,24	0,25	0,26	0,27
$\delta^{(1)}$	0,605	0,633	0,607	0,593
$\delta^{(2)}$	0,640	0,630	0,595	0,580
На двухвантовых судах				
Fr	0,250	0,260	0,270	0,275
$\delta$	0,623	0,603	0,570	0,560

Полученные данные показывают, что японские испытания приводят к несколько более высоким значениям оптимального по сопротивлению коэффициента  $\delta$ , чем испытания шведского бассейна. При замене традиционных обводов бульбовыми коэффициент  $\delta_{\text{опт}}$  возрастает приблизительно на  $\Delta\delta = 0,006$ , если  $Fr = 0,25$ , и на  $\Delta\delta = 0,012$ , если  $Fr = 0,27$ . При одинаковых числах Фруда коэффициенты  $\delta_{\text{опт}}$  одновантовых и двухвантовых судов мало отличаются друг от друга.

#### 6.5.4. Коэффициент общей полноты

Судоходные суда дальнего плавания. Рекомендации в технической литературе значения коэффициентов общей полноты грузовых судов выражены большей частью линейными зависимостями виде

$$\delta = a - bFr; \quad (5.4)$$

$$\delta = a_1 - b_1Fr_s,$$

где  $a$  и  $b$  — численные коэффициенты;  $Fr$  и  $Fr_s$  — числа Фруда, отнесенные соответственно к эксплуатационной скорости хода и скорости на испытаниях.

В ряде формул коэффициенты  $\delta$  и  $b_1$  приняты равными. В подобных случаях равенство

$$\frac{\Delta Fr}{Fr_s} = \frac{Fr_s - Fr}{Fr_s} = \frac{1 - a_1/a}{Fr_s - b} \quad (5.5)$$

позволяет выявить предпосылки о снижении скорости судна в средних эксплуатационных условиях, принятые при выводе формулы (5.4).

А. Эбр [48] предложила определять коэффициент общей полноты одновантовых транспортных судов по формулам

$$\delta = 1,05 - 1,68Fr; \quad (5.6)$$

$$\delta = 1,08 - 1,68Fr_s, \quad (5.7)$$

где  $Fr$  и  $Fr_s$  — числа Фруда, отнесенные к длине судна между вертикальными и подсчитанные соответственно по эксплуатационной скорости и скорости на испытаниях. Пределы применения формулы (5.7)

$$Fr_s = 0,15 \rightarrow 0,30.$$

Из формул (5.5) — (5.7) следует, что в рассматриваемом случае отношение  $\Delta Fr/Fr$ , принимает в зависимости от числа Фруда  $Fr_n$  следующие значения:

$Fr_n$	0,175	0,235	0,295
$\Delta Fr/Fr_n, \%$	10,2	8,0	6,5

Для двухвинтовых судов А. Эйр рекомендует увеличивающий коэффициент общей полноты на величину  $\Delta\delta = 0,01$ . Впоследствии Эйр предложил рассматривать первый коэффициент формулы (5.6) как переменную величину, которая в зависимости от числа Фруда принимает следующие значения:

$Fr$	0,150	0,180	0,210	0,240	0,270	0,300
$\delta$	1,040	1,045	1,060	1,060	1,070	1,080

Формулы Эйра широко применялись на протяжении длительного времени, однако в настоящее время они в наивной мере устарели. При числах Фруда  $Fr < 0,28$  лучше согласуются с практическими данными, характеризующими современные транспортные суда, формулы Шумпфа [42].

$$\delta = 0,967 - 0,470 Fr_n^{0.1} - 3,530 [Fr_n^{0.1}]^2, \quad (5.8)$$

$$\delta = 0,967 - 0,495 Fr_n^{0.1} - 3,915 [Fr_n^{0.1}]^2, \quad (5.9)$$

Если принять в качестве средних соотношений

$$\delta = 1,0258, \quad Fr = 1,012 Fr_n^{0.1},$$

формула (5.9) представится в виде

$$\delta = 0,992 - 0,501 Fr - 3,915 Fr^2. \quad (5.10)$$

В интервале чисел Фруда  $Fr = 0,20 - 0,28$  приблизительно к тем же результатам приводят модифицированная формула Сильверлифа—Даусона [102], которую можно представить в виде<sup>1</sup>

$$\delta = 1,214 - 2,36 Fr. \quad (5.11)$$

Авторы отекаризуют следующие пределы применимости формулы (5.11) для одновинтовых ( $n = 1$ ) и двухвинтовых ( $n = 2$ ) судов:

	$n = 1$	$n = 2$
$\delta / \delta$	6,4—6,7	6,5—8,5
$Fr$	19,0—15,0	23,0—17,0
$b$	0,50—0,86	0,54—0,80

Стремительным изменениям коэффициента общей полноты соответствуют пределы изменения числа Фруда  $Fr = 0,15 - 0,30$  для одновинтовых и  $Fr = 0,18 - 0,29$  для двухвинтовых судов.

От формулы (5.11) мало отличается статистическая формула Бронникова [51]

$$\delta = 1,21 - 2,30 Fr, \quad (5.12)$$

<sup>1</sup> В оригинальной формуле Сильверлифа—Даусона число Фруда относено к длине судна по конструктивной материнской, а коэффициент при числе Фруда разен 2,46.

предназначенная для определения коэффициента  $b$  одновинтовых транспортных судов в более узком интервале чисел Фруда ( $Fr = 0,25 - 0,29$ ). При скоростях хода, соответствующих числом Фруда  $Fr = 0,19 - 0,25$ , А. В. Бронников предлагает пользоваться зависимостью

$$b = 1,07 - 1,68 Fr, \quad (5.13)$$

которая отличается от формулы Эйра численным значением первого коэффициента. В переходном районе ( $Fr = 0,245 - 0,255$ ), где раз-

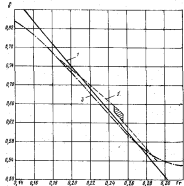


Рис. 5.11. Кривые  $\delta = f(Fr)$  по Сильверлифа—Даусону (1), Бронникову (2) и Брофорду (3).

брос практиках точек особенно значителен, можно пользоваться предложением А. В. Бронникова как формулой (5.12), так и формулой (5.13).

На рис. 5.11 кривые  $\delta = f(Fr)$ , рассчитанные по формулам Бронникова и Сильверлифа—Даусона, сопоставлены с аналогичной кривой, предложенной Х. Бенфордом [32]. Последняя построена в соответствии с зависимостью  $\varphi = f(Fr)$  Саудера (см. § 5.6), характеризующим пределы значений коэффициента продольной полноты, принятых на практике. Выбирая численные

значения коэффициента  $\beta$ , Х. Бенфорд руководствовался характеристиками модельной серии «68».

На рис. 5.12 прямая Сильверлифа—Даусона совоставлена с осредненной кривой  $\delta = f(\text{Fr})$ , построенной по Саундерсу, исходя изм. § 5.5 и 5.6 из его предельных кривых  $\delta = f(\text{Fr})$  и рекомендованных им значений коэффициента  $\beta = f(\text{Fr})$ . Там же приведены кривые, предложенные Бенфордом и Эйроном. В интервале чисел

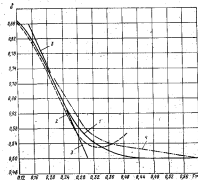


Рис. 5.12. Осредненная кривая  $\delta = f(\text{Fr})$  по Саундерсу (I). Кривые  $\delta = f(\text{Fr})$  по Бенфорду (II) и Сильверлифа—Даусону (III). Участок кривой Эйрона (IV).

Фруда  $\text{Fr} = 0,18 \rightarrow 0,26$  прямая Сильверлифа—Даусона и кривая Саундерса приносят к близким результатам. При числах Фруда, превышающих  $\text{Fr} = 0,34 \rightarrow 0,36$ , кривая Бенфорда явно нестремлема.

Критические и экстремальные значения коэффициента общей полноты, полученные в предыдущем параграфе, можно отобразить формулой

$$\delta = 1,23 - 2,44\text{Fr}, \quad (5.14)$$

которая действительна для судов с традиционными обводами в интервале чисел Фруда  $\text{Fr} = 0,16 \rightarrow 0,26$ . Во избежание значитель-

ного падения скорости хода на извилинованном море при числах Фруда  $\text{Fr} < 0,18$  ее можно применять лишь к крупным судам.

Для сравнительно небольших тихоходных судов ( $L \approx 120$  м) с традиционными обводами и для быстроходных грузовых судов с бульбозмыми обводами можно принять

$$\delta = 1,23 - 2,44\text{Fr} + 0,14 (10,0\text{Fr} - 2,5)^2. \quad (5.15)$$

Формулу (5.15), которая имеет более общее значение, чем формула (5.14), можно использовать в интервале чисел Фруда  $\text{Fr} = 0,16 \rightarrow 0,30$ .

Необходимо учитывать длину судна при определении коэффициента общей полноты тихоходных судов обусловлено тем, что, как это было указано в главе четвертой, по мере увеличения их размеров потеря скорости хода в средних эксплуатационных условиях снижается. Так, например, при четырехразмальных волнистых колебаниях скорости судна с характеристиками  $\delta = 0,74$  и  $L = 120$  м снижается приблизительно на 10%. В той же пропорции снижается скорость хода судна с коэффициентом  $\delta = 0,78$  при длине  $L = 170$  м.

Как это следует из рис. 5.10, при проектировании крупных тихоходных судов с цилиндрическим носком целесообразно исходить из соотношения

$$\delta = 1,19 - 2,08\text{Fr}, \quad (5.16)$$

действительного в интервале чисел Фруда  $\text{Fr} = 0,16 \rightarrow 0,18$ , которому соответствуют коэффициенты  $\delta = 0,86 \rightarrow 0,82$ . Практически можно применить эту формулу также к судам с таранными бульбами, если  $\text{Fr} = 0,185 \rightarrow 0,195$  и  $\delta = 0,81 \rightarrow 0,78$ . В этом случае бульбовые обводы выгоднее цилиндрических.

Формула (5.16) мало отличается от формулы Керлена [74]

$$\delta = 1,18 - 2,05\text{Fr},$$

которая, судя по словам автора отмеченной работы,<sup>7</sup> получена путем анализа кривых сопротивления полных тихоходных судов с коэффициентами  $\delta = 0,78 \rightarrow 0,84$ . В другой формуле Керлена коэффициент при числе Фруда принят равным 2,03 в соответствии с положением критических (граничных) точек, найденных способом Сильверлифа—Даусона (см. § 5.5).

Формулы (5.14) — (5.15) получены в предположение, что в интервале чисел Фруда  $\text{Fr} = 0,16 \rightarrow 0,20$  абсолютна центра величины судна определяется стандартной зависимостью

$$x = 20 (\delta - 0,675),$$

принятой для моделей серии BSIA. Если положение центра величины не соответствует этому стандарту, целесообразно подать поправку  $\Delta x$  к коэффициенту общей полноты или же изменять эксплуатационную скорость хода в соотнесении с указанными в предыдущем параграфе. Влиянием отношения  $L/B$  на положение критических точек представляется возможным в первом приближении пренебречь.

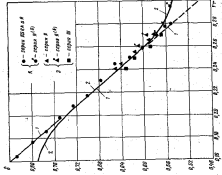


Рис. 5.14. Кривые  $\delta = L/VF$ , рассчитанные по формулам (5.14) и (5.15), в соотношении к формулам (5.16) и (5.17). Кривые, полученные моделью «Ш» (серия III), показывают меньшие величины  $\delta$  в зоне  $\eta < 1$

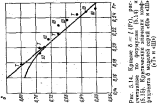


Рис. 5.15. Кривые  $\delta = L/VF$ , рассчитанные по формулам (5.14) и (5.15), в соотношении к экспериментальным данным модели «Ш» (серия III)

Кривые, построенные по формулам (5.14) и (5.15), приведены на рис. 5.13 парой с критическими и экстремальными точками, полученными по результатам испытаний моделей BSRA, шведского и японского опытных бассейнов. Индекс (6) относится к моделям с носовыми бульбами.

На аналогичной диаграмме, представленной на рис. 5.14, отмечены критические точки, рассчитанные по кривым сопоставляемых моделей серии «60» и серии шведского опытного бассейна (а принятых обозначениях серии «Ш»). Исходные данные для построения диаграммы заимствованы из работ Ф. Тодда — П. Пинса [110] и Е. Фрейманса — Х. Линдгрена [64]. В первой из отмеченных работ использованы данные, относящиеся к моделям с тем же положением центра величины по длине судна, что и у моделей BSRA.

Составляя диаграммы на рис. 5.13 и 5.14, следует учесть различия в соотношениях главных размерений и положении центра величины рассматриваемых моделей.

Ниже приведены значения отношений  $B/T$  и  $L/B$  моделей:

Серия	$B/T$	$L/B$
BSRA	2,11	7,27
«60»	2,50	Пересечение
«Ш»	2,40	7,06

Отношения  $L/B$  моделей серии «60» в зависимости от коэффициента общей полноты следующие:

$\delta$	0,60	0,65	0,70	0,75	0,80
$L/B$	7,50	7,25	7,00	6,75	6,50

Ниже приведены значения абсциссы центра величин сопоставляемых моделей в процентах от их длины:

$\delta$	0,60	0,65	0,70	0,75	0,80
Серия BSRA и «60»	-1,80	-0,50	+0,50	+1,50	+2,50
Серия «Ш»	-1,70	-1,25	-0,10	+0,85	-

Из приведенных данных следует, что модели серии «60» отличались от других моделей схожим образом отношением длины к ширине, а модели серии «Ш» — положением центра величины по длине судна. Этими различиями моделей, а также другими особенностями их формы можно объяснить то, что на рис. 5.14 экспериментальные точки легче лежат кривую, чем на рис. 5.13. В общем же обе кривые подтверждают возможность применения формул (5.14) и (5.15) для определения коэффициента общей полноты сухогрузных и грузопассажирских судов в начальной стадии разработки проекта.

Уместно подчеркнуть, что с неоднозначностью решения необходимо считаться и в тех случаях, когда коэффициент общей полноты проектируемого судна определяется технико-экономическими расчетами на основе данных каких-либо испытаний моделей.

Численные значения коэффициента общей полноты, рассчитанные по формулам (5.10), (5.11), (5.14), (5.15) и снятые с диаграммы Бенфорда, приведены ниже:

Число Фруда Fr	0,16	0,18	0,20	0,22	0,24	0,26	0,28	0,30
По формуле (5.10)	0,802	0,775	0,736	0,698	0,646	0,597	0,545	0,490
По формуле (5.11)	—	0,838	0,791	0,743	0,696	0,649	0,601	0,555
По Бенфорду	—	0,805	0,770	0,729	0,682	0,637	0,583	0,541
По формуле (5.14)	—	0,840	0,791	0,742	—	—	—	—
По формуле (5.15)	—	0,792	0,774	0,738	0,694	0,645	0,589	0,547

Рассматриваемые данные показывают, что в интервале чисел Фруда Fr = 0,20–0,26 все использованные формулы, а также кривая Бенфорда приводят к близким результатам. Предлагаемая формула (5.15) удовлетворительно согласуется с кривой Бенфорда на промежуточном всему рассматриваемому интервалу числе Фруда. При малых числах Фруда приблизительно совпадают результаты, полученные по формуле (5.14) и формуле (5.11) Сильвермана–Даусона. Формула (5.10) Штумпфа при числе Фруда Fr = 0,16–0,26 приводит приблизительно к тем же результатам, что и диаграмма Бенфорда.

В более ограниченном диапазоне чисел Фруда Fr = 0,20–0,30 можно также пользоваться степенной формулой

$$\delta = \frac{0,218}{Fr^0.7}, \quad (5.17)$$

а при числе Фруда Fr = 0,24–0,28 формулу

$$\delta = \frac{0,154}{Fr}, \quad (5.18)$$

Пассажирские суда. Случайные скорости пассажирских судов не превосходят большей частью 28 уз и соответствуют числам Фруда Fr = 0,22–0,28. Эти числа Фруда характерны также и для некоторых типов грузовых судов. В отличие от последних элементы пассажирских судов в аналогичной мере определяются требованиями, связанными с размещением помещений, для удовлетворения которых необходимы определенные габариты палуб. Нередко это приводит к коэффициентам общей полноты менее требуемых, чтобы обеспечить судну хорошие ходовые качества. Учитывая это обстоятельство, нужно считать, что формулы, пригодные для определения коэффициента общей полноты сухогрузных судов, ограничивают лишь верхний приемлемый предел значений коэффициента полноты пассажирских судов.

Специально для пассажирских судов предназначена статическая формула Бронникова [7]

$$\delta = 0,77 - 0,78 Fr, \quad (5.19)$$

действительная в диапазоне чисел Фруда Fr = 0,25–0,35.

Ниже значения коэффициента  $\delta$ , подсчитанные по формулам (5.15), (5.17) и (5.19), сопоставлены с экстремальными значениями

этого коэффициента  $\delta_0$ , отмеченными в § 5.3. Во всех случаях формула (5.15) приводит к наиболее широким значениям коэффициента  $\delta$ . Однако во мра возрастания числе Фруда результаты, полученные различными способами, сближаются:

Число Фруда Fr	0,240	0,280	0,320	0,375	0,380	0,300
По формуле (5.15)	0,845	0,820	0,599	0,580	0,572	0,565
По формуле (5.17)	—	0,835	0,818	0,581	0,572	0,559
По формуле (5.19)	—	0,583	0,575	0,567	0,559	0,552
По формуле (5.18)	—	0,642	0,616	0,570	0,560	0,550

Малые каботажные суда. В качестве характерных элементов этих судов можно назвать длину в пределах L = 25–80 м и водоизмещение портока  $P_{\text{бр}} = 150$ –2500 т. Малые каботажные суда делятся на три группы.

К первой группе относятся наиболее крупные суда, совершающие рейсы сравнительно большой протяженности между незашвартованными берегами и глубоководными районами. При выборе коэффициента общей полноты судов этого типа можно пользоваться формулами, указанными для судов дальнего плавания.

Вторую группу составляют менее крупные суда, плавающие в защищенных глубоководных бассейнах при частых заходах в порты. Ходовые приемы этих судов мало по сравнению со стояночными, и, следовательно, расходы на топливо имеют для них меньшее значение, чем для судов дальнего плавания. Поэтому с экономической точки зрения выгодно увеличивать коэффициент общей полноты судов второй группы. Это возможно, поскольку они плавают в более благоприятных условиях, чем суда первой группы. В качестве средних цифр можно назвать приращение коэффициента полноты  $\Delta\delta = 0,05$ .

К третьей группе уместно отнести мелкие суда, которые в отличие от судов второй группы плавают частично в мелководных районах (часто с заходами в речные порты). Это дает склонение к дальнейшему увеличению коэффициента общей полноты рассматриваемых судов. В среднем для судов этой группы  $\Delta\delta = 0,07$ .

По Ван-Ламмерену [8] в среднем для судов прибрежного плавания

$$\delta = 1,106 - 1,68Fr. \quad (5.20)$$

Формула (5.20) отличается от формулы (5.6) Эйра численным значением первого коэффициента ( $\Delta\delta = 0,056$ ).

Интересную разновидность судов прибрежного плавания представляют суда смешанного (морского и речного) плавания. Они отличаются симметричной осадкой, что приводит к необходимости уменьшить их длину, ширину и коэффициент общей полноты. Для обеспечения надлежащей общей прочности и вместимости приходится также увеличивать высоту борта. В соответствии сказанным рассматриваемые суда по соотношению главных размерений склоняются к речевым судам. Коэффициенты же общей полноты выра-

жаются цифрами, характерными для каботажных судов второй или третьей группы.

Таким образом, при проектировании наливных судов обычно принимают более высокие значения коэффициента общей полноты, чем для сухогрузных судов с тем же главными размерами и с той же скоростью хода. Объясняется это тем, что в обратном ряде танкеры обычно идут без груза с большими или меньшими (в зависимости от гидрометеорологических условий) количествами балласта. Поэтому осредненный коэффициент общей полноты в реалиях меньше максимального из 0,92–0,95, в зависимости от коэффициента вертикальной полноты при максимальной осадке.

Все же при проектировании танкеров можно применять общие формулы, предложенные для определения коэффициента общей полноты грузовых судов, но в подобных случаях необходимо относить эти формулы к осредненным осадкам  $T_{cp}$  и осредненному коэффициенту общей полноты  $\delta_{cp}$ . После этого коэффициент полноты танкера, соответствующий осадке по конструктивной палубации, можно определить по найденному коэффициенту  $\delta_{cp}$  исходя из известного соотношения, предложенного В. Л. Позддениным [31],

$$k = \frac{\delta}{\delta_{cp}} = \frac{L_{cp}}{L} \cdot \frac{B_{cp}}{B} \left( \frac{T}{T_{cp}} \right)^n, \quad (5.21)$$

где  $L_{cp}$  и  $B_{cp}$  — осредненные значения длины и ширины судна. Показатель степени  $n$  определяется по формуле

$$n = \frac{a_{cp}}{\delta_{cp}} - 1,$$

где  $a_{cp}$  — коэффициент полноты палубации при осадке  $T_{cp}$ .

Из формул, предложенных для определения коэффициента общей полноты танкеров непосредственно по осадке  $T$ , отметим формулу Логачева [21]

$$\delta = 1,105 - 1,68F_r, \quad (5.22)$$

которая отличается от формулы Эйра свободным членом (в настоящем случае  $\Delta\delta = 0,065$ ).

Для иллюстративного расчета, приведенного ниже, принято

$$\frac{L_{cp}}{L} \cdot \frac{B_{cp}}{B} = 1,0; \quad \frac{T}{T_{cp}} = 1,4.$$

Соотношение между коэффициентами  $\delta$  и  $\alpha$  определено по диаграмме Лисблода [19], которую можно выразить формулой

$$\alpha = 0,655 + 0,355,$$

значения  $\delta_{cp} = f(F_r)$  рассчитаны по формуле (5.15). Найденные значения коэффициента  $\delta = f(F_r)$  сопоставлены с результатами, которым приводят статистическая формула Логачева:

$F_r$	0,16	0,18	0,20	0,22	0,24
$\delta_{cp}$ по формуле (5.15)	0,792	0,774	0,738	0,694	0,645
$\delta_{cp}$	0,879	0,861	0,835	0,806	0,774
$\alpha_{cp}$	1,030	1,165	1,130	1,162	1,200
$\delta = \delta_{cp} / \alpha_{cp} - 1$	0,050	0,035	0,130	0,162	0,200
$\delta = \delta_{cp}$	1,030	1,135	1,046	1,055	1,070
$\delta = \delta_{cp}$	0,816	0,802	0,778	0,731	0,690
$\delta_1$ по формуле (5.22)	0,837	0,803	0,793	0,788	0,792
$\delta = \delta - \delta_1$	-0,021	-0,004	+0,003	-0,005	-0,012

Расчет показывает, что в интервале чисел Фруда  $F_r = 0,16$ –0,24 отклонение  $\delta - \delta_{cp}$  изменяется приблизительно линейно в пределах 1,03–1,07. Приращение же  $\delta - \delta_{cp}$  изменяется в пределах 0,024–0,045.

Расхождение  $\Delta\delta$  между значениями коэффициента  $\delta$ , найденными способом критических точек и полученным по формуле Логачева, оказалось незначительным.

Кривые, построенные по найденным значениям коэффициента  $\delta$  и по формуле Логачева, представлены на рис. 5.15. Там же приведены граничные кривые Логачева и кривые, рассчитанные по формуле (5.15) (для судов с цилиндрическими и бульбящими носами) исходя из осадки судна по конструктивной палубации. Можно считать, что эта кривая близка к верхнему пределу приемлемых коэффициентов общей полноты для танкеров.

Быстроходные суда. Согласно классификации, примененной в § 1.5, быстроходными считаются суда со скоростями хода, соответствующими числом Фруда  $F_r > 0,35$ . Частично в эту категорию попадают пассажирские паромы, используемые для поддержания сообщения через проливы. Для этих судов, длина которых обычно не превосходит 120 м, характерны служебные скорости  $v = 19$ –25 уз и числа Фруда  $F_r = 0,30$ –0,42.

В книге А. Лисблода [19] приведена диаграмма для определения коэффициента полноты рассматриваемых судов, которую можно

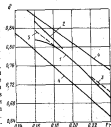


Рис. 5.15. Зависимость  $\delta = f(F_r)$  для танкеров

1 — по способу критических точек; 2 — по формуле (5.15); 3 — кривые Логачева; 4 — граничные кривые Логачева

выразить формулой

$$\delta = 0,632 - 0,252 Fr. \quad (5.23)$$

В диапазоне чисел Фруда  $Fr = 0,30 \dots 0,42$  лучше согласуются со статистическими данными кривая на рис. 5.12, построенная по Саундерсу, и формула

$$\delta = \frac{0,405}{Fr^{1/4}}. \quad (5.24)$$

Значения коэффициента  $\delta$ , снятые с кривой на рис. 5.12 и подсчитанные по формулам (5.19), (5.23) и (5.24), сопоставлены ниже:

Число Фруда $Fr$	0,31	0,32	0,34	0,36	0,38	0,40	0,42
По Саундерсу	0,580	0,542	0,530	0,520	0,512	0,507	0,504
По формуле (5.23)	0,584	0,541	0,546	0,541	0,536	0,531	0,526
По формуле (5.24)	0,542	0,539	0,530	0,522	0,516	0,510	0,508
По формуле (5.19)	0,538	0,520	0,505	—	—	—	—

Приведенные данные показывают, что в интервале чисел Фруда  $Fr = 0,31 \dots 0,42$  предлагаемая формула к кривым, построенным по данным Саундерса, приводят к близким результатам.

При более высоких числах Фруда ( $Fr > 0,44 \dots 0,60$ ) коэффициент общей полноты по Саундерсу в среднем получается равным  $\delta = 0,50$ .

### 5.5. Коэффициент полноты модель-шлюзоту

Транспортные суда. При числах Фруда, характерных для грузовых и пассажирских судов ( $Fr \leq 0,98$ ), для снижения сопротивления выгодно заострять оконечности, концентрируя водоизмещение в средней части судна. С другой стороны, при сравнительно низких коэффициентах общей полноты и чрезмерно полном модель-шлюзоту трудно осуществить плавное сопряжение ватерлиний в районе их приложения к цилиндрической вставке. Это ограничивает верхний предел приемлемых значений коэффициента полноты модель-шлюзоту.

Приятные на практике соотношения между коэффициентами  $\delta$ ,  $\beta$  и  $\varphi$  можно в среднем выразить следующими формулами, предложенными автором [26].

Если  $\delta \leq 0,615$  или  $\varphi \leq 0,632$ , то

$$\begin{aligned} \beta &= 0,813 + 0,367\varphi; \\ \beta &= 0,786 + 0,303\varphi; \\ \varphi &= 0,089 + 0,882\delta. \end{aligned} \quad (5.25)$$

Если  $\delta \geq 0,615$  или  $\varphi \geq 0,632$ , то

$$\begin{aligned} \beta &= 0,928 + 0,080\delta; \\ \beta &= 0,924 + 0,084\delta; \\ \varphi &= 0,044 + 0,953\delta. \end{aligned} \quad (5.26)$$

Если  $\delta \geq 0,8$ , то  $\beta = 0,992 = \text{const}$ .

Для определения коэффициента  $\beta$  в зависимости от числа Фруда можно воспользоваться формулой

$$\beta = \frac{0,86}{Fr^{1/4}}, \quad (5.27)$$

Приравнивая числа Фруда в формуле (5.27) и степенной формуле (5.17), предложенной для определения коэффициента общей полноты, нетрудно получить равенство

$$\beta = 1,015\delta, \quad (5.28)$$

которое согласуется с формулой, предложенной В. В. Аликом,<sup>2</sup>

$$\beta = (1,00 \dots 1,02)\delta^{0.4},$$

Численные значения коэффициента  $\beta$ , подсчитанные по формулам (5.25), (5.26) и (5.28), сопоставлены в табл. 5.1 со значениями этого коэффициента, примененными для моделей некоторых серий. Кроме того, в таблице отмечены значения коэффициента  $\beta$ , рекомендуемые Высокинским опытным бассейном. Они скрыты с диаграммы в книге [8]. Расхождение между значениями коэффициента  $\beta$ , полученными различным путем, оказалось незначительным.

Таблица 5.1

Коэффициенты полноты модель-шлюзоту транспортных судов

Источник	При коэффициентах $\delta$						
	0,325	0,350	0,375	0,400	0,550	0,700	0,750
Серия 460 Тодди	—	—	—	0,907	0,982	0,986	0,990
Шведская серия	0,950	—	0,960	0,975	0,984	0,984	—
Балтийский бассейн	—	0,990	—	0,973	0,980	0,984	0,987
Японская серия	—	0,949	0,956	0,966	0,980	—	—
По формуле (5.25) и (5.26)	0,953	0,969	0,983	0,973	0,986	0,984	0,988
По формуле (5.28)	0,947	0,963	0,988	0,962	0,971	0,980	0,987

В курсе Х. Саундерса [103] приведена кривая рекомендуемых значений коэффициента  $\beta = f(Fr)$ . Значения этого коэффициента, снятые с кривой Саундерса и подсчитанные по формуле (5.27), сопоставлены ниже:

Число Фруда $Fr$	0,190	0,180	0,210	0,240	0,270	0,300
По Саундерсу	0,991	0,988	0,984	0,978	0,959	0,928
По формуле (5.27)	—	0,993	0,980	0,967	0,958	0,930

<sup>2</sup> См. примечание к книге А. Линдблада [19].

Быстроходные суда. В диапазоне более высоких чисел Фруда кривая Саундерса приводят следующим соотношением:

$Fr$	0,34	0,38	0,42	0,46	0,50–0,59
$\beta$	0,625	0,675	0,725	0,800	0,790

Если в интервале чисел Фруда  $Fr = 0,5$ – $0,6$  принять в качестве средней величины  $\beta = 0,63$ , что согласуется с практическими данными, то коэффициент  $\beta$  окажется равным

$$\beta = \frac{\delta}{\varphi} \approx 1,588.$$

Приняв по Саундерсу для этих чисел Фруда  $\beta = 0,790$ , получим  $\delta = 0,50$ .

Построим модель-шпангоута. Обычно обвод модель-шпангоута очерчивают двумя армиями и дугой окружности. Радиус закручивания скобы транспортных судов не выходит большей частию из пределов

$$R = (0,14 + 0,35) \frac{\delta}{2}.$$

На современных грузовых и грузопассажирских судах линии в средней части лежат либо без подъема, либо с небольшой килеватостью, тогда

$$\alpha = (0,01 + 0,02) \frac{\delta}{2},$$

где  $\alpha$  — килеватость судна.

Для судов с вертикальным бортом в районе модель-шпангоута не трудно получить следующее соотношение, связывающее радиус закручивания скобы  $R$  с шириной судна  $B$ , его осадкой  $T$ , коэффициентом полноты модель-шпангоута  $\beta$  и килеватостью  $\alpha$ :

$$\frac{R^2}{BT} = \frac{1}{2} \cdot \frac{1 - \beta - \frac{1}{2} \cdot \frac{\alpha}{T}}{1 + \frac{\alpha^2}{BT}} = \frac{x}{1 + \frac{\alpha}{B}},$$

Если килеватость мала по сравнению с шириной судна, то

$$\frac{\alpha^2}{B^2} \approx 0; \quad \frac{1}{1 + \frac{\alpha}{B}} \approx 1 - \frac{\alpha}{B}$$

и, следовательно,

$$\frac{R^2}{BT} = \frac{1}{2} \cdot \frac{1 - \beta - \frac{1}{2} \cdot \frac{\alpha}{T}}{0,25 + \frac{\alpha}{B}}.$$

Для судов с горизонтальным днищем при  $\alpha = 0$

$$\frac{R^2}{BT} = 2,32(1 - \beta).$$

По мере снижения коэффициента  $\beta$  килеватость возрастает.

### 5.5. Коэффициент продольной полноты

После определения коэффициентов общей полноты и полноты модель-шпангоута отпадает необходимость в общих формулах вида  $\varphi = f(Fr)$ . Все же требуется аналитические зависимости, вытекающие из равенств (5.15), (5.25), (5.26) и позволяющие непосредственно определить коэффициент продольной полноты транспортных судов.

Если  $\delta > 0,613$ ;  $\varphi > 0,632$ ;  $Fr < 0,256$ , то для определения коэффициента  $\varphi$  можно воспользоваться зависимостью

$$\varphi = 1,214 - 2,32Fr + 0,133(10,0Fr - 2,3)^2. \quad (5.29)$$

В тех случаях, когда  $\delta < 0,613$ ;  $\varphi < 0,632$ ;  $Fr \geq 0,256$ , формула для определения коэффициента  $\varphi$  представляется в виде

$$\varphi = 1,174 - 2,15Fr + 0,123(10,0Fr - 2,3)^2. \quad (5.30)$$

Для крупных судов с коэффициентом  $\delta > 0,74$

$$\varphi = 1,214 - 2,32Fr. \quad (5.31)$$

Кроме того, для судов с цилиндрическими и таранными носами, если  $\delta > 0,78$ , можно принять

$$\varphi = 1,20 - 2,1Fr. \quad (5.32)$$

Степенные формулы (5.17) и (5.27), предложенные для определения коэффициентов общей полноты и полноты модель-шпангоута, приводят к равенству

$$\varphi = \frac{0,253}{Fr^2}. \quad (5.33)$$

Из других формул, позволяющих непосредственно определить коэффициент продольной полноты транспортных судов (одномачтовых и двухмачтовых), отметим формулы Трооста [113].

$$\varphi = 1,155 - 2,10Fr_1; \quad (5.34)$$

$$\varphi = 1,155 - 1,98Fr_2. \quad (5.35)$$

В этих формулах числа Фруда определяются в зависимости от длины по грузовой затяжке. В формуле (5.34) число Фруда относится к эксплуатационной скорости хода, в формуле (5.35) к скорости на испытаниях. Формулы даны в предположении, что числа Фруда  $Fr_1$  и  $Fr_2$  связаны соотношением

$$Fr_2^S = 1,06Fr_1.$$

Воспользовавшись приближенным равенством  $Fr = 1,012 \cdot Fr_s$ , можно представить формулу (5.34) Трооста в виде

$$\varphi = 1,155 - 2,07 Fr. \quad (5.36)$$

Отметим также формулу Г. Бизера [49]

$$\varphi = 1,02 - 0,61 Fr_s. \quad (5.37)$$

которая позволяет определить коэффициент продольной полноты в зависимости от числа Фруда, относенного к водонизмещению,

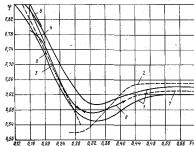


Рис. 5.16. Кривые  $\varphi = f(Fr)$

1 — по Саундерсу; 2 — по Тайлору; 3 — по формуле (5.36) и (5.37); 4 — по формуле (5.31) для зеркальных судов; 5 — по формуле (5.38) для судов с плавающими обшивками; 6 — для плавающих перегородок; 7 — горизонтальная кривая; — по Троосту

При числах Фруда, превышающих  $Fr = 0,45$ , значение коэффициента продольной полноты, соответствующее минимуму сопротивления, почти не зависит от относительной скорости хода и в ходе большей степени зависит от соотношений главных размерений. Для серии моделей Тайлора<sup>2</sup> оптимальные значения коэффициента  $\varphi$  находятся приблизительно 0,65 с небольшими отклонениями от этого среднего значения. Суда по указанию Г. Бизера [49], при более современных обводах  $\varphi_{min} = 0,63 \pm 0,65$  в зависимости от относительной длины судна.

<sup>2</sup> В новой редакции данных испытаний серии Тайлора приведены в работе М. Гертлера [65].

При меньших числах Фруда оптимальное значение коэффициента  $\varphi$  быстро падает по мере уменьшения коэффициента  $\delta$ . Для серии Тайлора  $\varphi_{min} = 0,52$  при числе Фруда  $Fr = 0,30$ , что, однако, противоречит экспериментальным данным в области транспортного судостроения. По-видимому, отмеченное обстоятельство объясняется особенностями моделей Тайлора, не характерных для транспортных судов (малый коэффициент полноты модели-шпангоута, зеркальные обшивки, расположенные на моделью, и т. д.).

В интервале числа Фруда  $Fr = 0,30 \rightarrow 0,42$  предлагаемая формула (5.24) и кривая  $\varphi = f(Fr)$  Саундерса приводят к следующим значениям коэффициента продольной полноты, которые согласуются с обычной практикой:

Fr . . . . .	0,30	0,32	0,34	0,36	0,38	0,40	0,42
φ . . . . .	0,577	0,574	0,572	0,578	0,588	0,599	0,610

На рис. 5.16 в широком диапазоне числа Фруда ( $Fr = 0,15 \rightarrow 0,60$ ) приведены кривые  $\varphi = f(Fr)$  Саундерса, характеризующие, как отмечалось, пределы общепринятых значений коэффициента  $\varphi$ . Наряду с ними приведена кривая  $\varphi_{Tay}$  Тайлора, построенная в предположении, что для каждого числа Фруда отношения  $L/B$  и  $B/T$  принимают подходящие по относительной скорости значения.

В интервале числа Фруда  $Fr = 0,30 \rightarrow 0,42$  на диаграмме приведена кривая, построенная по отмеченным выше значениям коэффициента  $\varphi$ . Нанесены также кривые, построенные по формуле Трооста (5.36) и предлагаемым формулам (5.29) — (5.32).

Все кривые на рис. 5.16, за исключением кривой Тайлора, расположились более или менее согласованно.

### § 5.7. Коэффициент полноты конструктивной затирки

Коэффициент полноты конструктивной затирки геометрически связан с другими коэффициентами теоретического чертежа и, кроме того, зависит от угла заострения затирки и формы шпангоутов.

Каждый из этих показателей оказывает влияние на сопротивление воды движению судна, зависящее, в свою очередь, от относительной скорости и формы судна. Все это осложняет вопрос о значениях коэффициента  $\alpha$ , наиболее выгодных для ходности судна. Вместе с тем при выборе коэффициента полноты грузовой затирки приходится учитывать требования, связанные с остойчивостью судна и его поведением на волноводном море. Форма грузовой затирки оказывает влияние и на другие показатели судна: жесткость, кубатуру отсеков и т. д.

В настоящее время нельзя указать никакие-либо практические приемы, позволяющие заранее назвать вполне обоснованное значение коэффициента полноты грузовой затирки проектируемого судна с учетом всех рассматриваемых обстоятельств. Поэтому в каждом частном случае целесообразно базироваться на анализе данных

о подводящих прототипах и серийных испытаниях моделей. Иногда, однако, окончательное значение коэффициента  $\alpha$  определяется в самом процессе разработки теоретического чертежа после выбора линии посевного и кормового застernия, угла застernия ватерлинии и некоторых других параметров теоретического чертежа.

В практических формулах, предложенных для определения коэффициента  $\alpha$ , этот коэффициент большую частью является функцией коэффициента  $\delta$ . К их числу, в частности, относится формула Бронниковса:

$$\alpha = \delta + 0,12, \quad (5.38)$$

предназначенная для определения коэффициента  $\alpha$  транспортных судов, и формула Мура [89]

$$\alpha = 0,826 + 0,247; \quad (5.39)$$

$$\alpha = 0,826 + 0,240,$$

первая из которых относится к судам с традиционными обводами, а вторая — к судам с бульбовым носом. Формулы получены путем статистической обработки элементов около 100 моделей быстрходовых грузовых судов с коэффициентами  $\delta = 0,54-0,63$ .

По сравнению с формулами указанного типа лучше согласуются с геометрией судовых обводов зависимости типа  $\alpha = f(\varphi)$ . Для обоснования этого положения рассмотрим два варианта с прямоугольными ватерлиниями при прямоугольных и треугольных шпангоутах. В обоих случаях формула  $\alpha = \varphi = 1,0$  приводит к правильным результатам. С другой стороны, для судов с прямоугольными шпангоутами  $\alpha = \delta$ , а для судов с треугольными шпангоутами  $\alpha = 2,0\delta$ . К аналогичным выводам приводят рассмотрение вариантов обычного судна с водонепроницаемыми, изменяющимися вследствие изменения коэффициента пополам модель-шпангоута при одной и той же форме грузовой ватерлинии. Все это показывает, что формулы типа  $\alpha = f(\varphi)$  лучше отражают сущность задачи, чем формулы  $\alpha = f(\delta)$ .

По А. Лядделу [82]

$$\alpha = a_0 \varphi^{2/3}, \quad (5.40)$$

где  $a_0 = 1,0$ . Данные испытаний морской транспортных судов в отечественном бассейне, приведенные в работе В. М. Штумифа [43], позволяют определить применение ниже значений коэффициента  $a_0$  для одновинтовых транспортных судов с U-образной, промежуточной и V-образной формой шпангоутов:

Форма	$\delta$	$\varphi$	$\alpha$	$a_0$
U-образная	0,611	0,622	0,732	0,961
UV-образная	0,611	0,622	0,716	0,981
V-образная	0,611	0,622	0,734	1,005
U-образная	0,712	0,725	0,778	0,966
UV-образная	0,712	0,725	0,796	0,986
V-образная	0,712	0,725	0,814	1,010

Ниже приведены значения коэффициентов  $a_0$ , подсчитанные для моделей серии «60» и японской серии:

	Серия «60»				
$\delta$	0,600	0,620	0,700	0,750	0,800
$\varphi$	0,614	0,661	0,710	0,758	0,806
$\alpha$	0,706	0,744	0,787	0,827	0,871
$a_0$	0,978	0,980	0,990	0,995	1,010

	Японская серия				
$\delta$	0,548	0,575	0,601	0,635	0,668
$\varphi$	0,583	0,602	0,622	0,644	0,668
$\alpha$	0,709	0,718	0,723	0,728	0,734
$a_0$	1,02	1,01	0,990	0,987	0,980

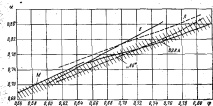


Рис. 5.17. Кривые  $\alpha = f(\varphi)$ .  
Защищированная область  $\alpha = (0,97 + 1,01) \varphi^{2/3}$ .  
Б — по Бронникову; Л — по Линдбладу; М — по Мицубиси

На рис. 5.17 наряду с защищированной областью, границы которой определяются зависимостями  $\alpha = -0,97 \varphi^{2/3}$  и  $\alpha = 1,01 \varphi^{2/3}$ , приведены кривые Линдблада, перестроенные из диаграммы в его работе [191], кривые, построенные по формуле Бронниковса и второй формуле Мура, а также кривые, выражющие соотношения между коэффициентами  $\alpha$  и  $\varphi$ , принятые при проектировании моделей серии «60» и BSRA.

Кривые Линдблада, Бронниковса и Мура рассчитаны в предположении, что коэффициенты  $\delta$  и  $\varphi$  связаны соотношениями, запечатленными в формулах (5.25) и (5.26).

Рис. 5.17 показывает, что коэффициенты  $\alpha$  моделей четырех отечественных серий не выходят из пределов защищированной зоны. Формулы же, полученные статистическим путем, приведены к более высоким значениям рассматриваемого коэффициента. В связи с этим уместно напомнить, что полные и острые ватерлинии сочетаются

соответствию с V- и U-образными шпангоутами. В отношении соотношения на тихой воде оба типа шпангоутов приблизительно равнозначны. Однако из встречной волны при относительной длине волн  $\lambda/L = 0,7 \div 1,3$  переход от U-образных к V-образным шпангоутам приводит к резкому увеличению сопротивления. Одновременно при  $\lambda/L > 1,0$  снижаются амплитуды килевой и вертикальной качки.

Вследствие отмеченных обстоятельств представляется целесообразным ориентироваться при проектировании однодонных транспортных судов на коэффициенты Лиддела около  $a_0 = 1,01$  в интервале  $\varphi = 0,50 \div 0,66$  и  $a_0 = 0,98$ , если  $\varphi = 0,80 \div 0,81$ .

Для конкретизации наших представлений о типовых обводах интересно выявить соотношения между коэффициентами  $\alpha$  и  $\varphi$  отдельно для носовой и кормовой половины судна. Параметр  $\alpha$ , подсчитанный для кормовой половины судна применительно к моделям серии «66», оказался весьма стабильным. В среднем  $a_0 = -1,045 \pm 0,005$ . Для носовой же половины судна этот параметр изменяется в пределах  $a_0 = 0,900 \div 0,975$ .

При всех прочих одинаковых условиях для двухшвартовых транспортных судов, которые, как правило, имеют V-образные кормовые шпангоуты, целесообразно принимать более высокие значения коэффициента  $\alpha$ , чем для однодонных судов.

Ниже приведены данные по рассматриваемому вопросу, замеченные из работы В. А. Петрова [30]. В работе, посвященной исследованию ходности пассажирских судов, изложены результаты испытаний серии моделей с коэффициентами  $\varphi = 0,566 \div 0,667$  и абсолютной централи, изменяющейся в широких пределах. Отмеченные ниже элементы относятся к моделям с абсолютной  $x = x_c/L = 2,88 \div 2,96\%$  в корму от носа:

$\delta$	0,550	0,600	0,660
$\varphi$	0,566	0,615	0,667
$\alpha$	0,722	0,749	0,773
$a_0$	1,06	1,04	1,05
$a_0$	1,12	1,10	1,08

Модель двухшвартового пассажирского судна Линеблада [19] можно характеризовать следующими показателями:  $\delta = 0,550$ ;  $\varphi = 0,594$ ;  $\alpha = 0,717$ ;  $a_0 = 1,01$ . Для других более полных моделей Линеблада коэффициент Лиддела оказался приблизительно равным  $a_0 = 1,0$ .

Как видно из работы Дж. Хью и Х. Иб [70], при проектировании моделей быстроходных судов серии «64» с коэффициентами  $\delta = 0,35 \div 0,55$  во всех случаях принят  $\varphi = 0,63$ ;  $\alpha = 0,761$ ;  $a_0 = 1,035$ .

Коэффициенты  $a_0$  рыболовных судов варьируют в широких пределах.

### § 5.8. Влияние соотношений главных размерений на сопротивление воды движению судна

Односторонняя длина судна и относительные длины к ширине. При постоянных значениях подвижности, коэффициента общей полноты и отношения ширины к осадке относительная длина судна пропорциональна отношению длины к ширине в степени 2/3. Поэтому с качественной точки зрения обе рассмотриваемые величины оказывают одинаковое влияние на различные показатели судна.

Возросе в алгебре относительной длины на сопротивление воды движения судна уже был отчасти освещен в первой главе. Возвращаясь к этому вопросу, примем аналогичное, что при рассматриваемых изменениях формы судна его длина к скорость хода сохраняют постоянные значения. Величина же меняется вследствие изменения в одинаковой пропорции ширины и осадки.

Для этих условий в табл. 5.2, заимствованной из книги А. Лаза [75], указано, как в процентах изменяется остаточное сопротивление  $\Delta R_{\text{ост}} = R_{\text{ост}} - R_{\text{ост}}^{(0)}$  при изменении относительной длины на величину  $\Delta l = 0,5$  по сравнению с  $l = 6$  (увеличение I сопровождается уменьшением  $R_{\text{ост}}$ ). Таблица рассчитана по графикам Тейлора при подсчетах соотношений между числом Фруда и коэффициентом продольной полноты.

Таблица 5.2

Изменение остаточного сопротивления при изменении I  
на величину  $\Delta l = \pm 0,5$

Pr <sub>2</sub>	Fr	$\varphi$	$\Delta R_{\text{ост}}$ при значении ВЛГ	
			0,15	0,15
0,95	0,285	0,600	5,5	4,9
0,90	0,267	0,625	4,0	4,0
0,85	0,235	0,650	2,0	3,0
0,80	0,208	0,675	1,0	3,0
0,75	0,183	0,700	—	1,5
0,70	0,158	0,725	—	1,5
0,65	0,133	0,750	—	2,0
0,60	0,107	0,775	—	2,0

Из таблицы следует, что в интервале коэффициентов продольной полноты, характерных для судов торгового флота, превышение остаточного сопротивления не превосходит 5%, что соответствует превышению полного сопротивления приблизительно на 2%. Поэтому при принятых предположениях влияния изменения относительной длины и отношения длины к ширине в первом приближении можно пренебречь.

Иногда обстоит дело в тех случаях, когда называемые величинами являются водоизмещение и абсолютная скорость хода. При этих условиях, большие соответствующих задаче определение величи-

Таблица 5.4

Показатели боксировочного сопротивления четырех проектных вариантов быстрого транспортного судна

$L/B$	$I$	$S, m^2$	$F_T$	$R_F +$	$\Delta_{\text{кор}} \cdot \tau$	$A, t$	$[C]$
6,54	5,77	2522	0,389	55,53	32,18	45,71	0,887
7,00	6,07	2598	0,381	54,12	38,88	42,02	0,836
7,50	6,38	2662	0,375	54,70	35,65	40,25	0,784
8,14	6,68	2725	0,368	25,97	32,05	37,32	0,715

снижением массы и стоимости стального корпуса. Поэтому наиболее экономически выгодные значения  $I$  и  $L/B$  зависят от соотношения между стоимостью энергетической установки и топлива, с одной стороны, и стоимостью корпусной стали, с другой стороны. Чем меньше это отношение, тем меньше оптимальные значения относительной длины и удлинение судна. Оптимальные значения этих величин уменьшаются также по мере возрастания (на протяжении навигации) стоячего времени по сравнению с ходовым. Объясняется это уменьшением доли расходов, связанных с эксплуатацией энергетической установки, в общих эксплуатационных расходах.

При выборе рассматриваемых соотношений приходится учитывать также соображения общепроектного характера. Напомним в связи с этим, что некоторый минимум длины необходим для обеспечения грузовым судам грузоподъемности, а пассажирским судам — заданной пассажировместимости. Длина судна может определяться условиями удифферентации или ограничениями осадки, а для малых судов выбор относительной длины связан в известной мере с вопросами остойчивости. При определении относительной длины и отношения  $L/B$  приходится также учитывать их влияние на поворотливость судна, поведение его на встречном волнении и т. п.

Оптимальные параметры судна к основе. Обычно это соотношение выбирают исходя из требований, предъявляемых к остойчивости судна и его поведению на волнении в море. Для вариантов судна, сопоставляемых процессе разработки проекта, это отношение может изменяться в зависимости от конструктивного типа судна, высоты надводного борта, расположения откосов для хранения топлива и воды, выбранных коэффициентом теоретического чертежа и т. д.

Наиболее интересный случай, когда отношение  $B/T$  изменяется незначительно из-за одновременного изменения  $B$  и  $T$  при соблюдении условия  $B/T = \text{Idem}$ , следовательно,  $D = \text{Idem}$ . При этом несмотря на изменение отношения  $L/B$ , относительная длина сохраняет постоянное значение (так как  $L = \text{Idem}$ ).

Остановимся подробнее на этом случае.

известов проектируемого судна, увеличение относительной длины сопровождается увеличением сопротивления трения, что обусловлено увеличением смоченной поверхности. Остаточное же сопротивление из-за уменьшения числа Фруда убывает, притом тем интенсивнее, чем быстрееходное судно. Вследствие этого кривые полного и удельного сопротивления трехходовых судов ( $Fr < 0,20$ ), построенные в функции относительной длины, обычно имеют минимумы. Сопротивление же более быстрогоходных судов монотонно убывает по мере увеличения относительной длины.

В качестве примера в табл. 5.3 приведены данные о сопротивлении четырех вариантов проекта танкера, заимствованные из работы Х. Эндрюса [69]. Во всех случаях  $D = 21900$  т;  $\delta_s = 0,750$ ;  $\delta = 0,768$ ;  $\beta = 0,993$ ;  $B/T = 2,3$ ;  $x = +1,0\%$ , а длина судна изменяется в пределах  $L = 152+164$  м. В таблице для двух скоростей хода парида с адмиралтейскими коэффициентами приведены значения удельного сопротивления (в оригинальной работе они же указаны), подсчитанные по формуле

$$\frac{R}{D} = \frac{19,7}{V^0} [C] Fr_D^2,$$

где  $Fr_D$  — число Фруда по водонизмещению, которое при  $v = 0$  не сохраняет постоянное значение.

Таблица 5.3

Адмиралтейские коэффициенты и удельное сопротивление четырех проектных вариантов танкера

$\frac{L}{B}$	$I$	$S, m^2$	$v = 14,5 \text{ уз}$			$v = 19,0 \text{ уз}$		
			$R/D$	$[C]$	$R/D, \text{ кг/т}$	$R/D$	$[C]$	$R/D, \text{ кг/т}$
7,2	5,42	4880	0,189	0,710	1,88	0,207	0,769	2,26
7,5	5,57	4930	0,181	0,712	1,82	0,204	0,754	2,20
7,8	5,72	4980	0,188	0,695	1,77	0,201	0,726	2,11
8,1	5,86	5040	0,186	0,666	1,78	0,199	0,706	2,09

Независимо от скорости хода наиболее выгодным по сопротивлению оказался танкер с отношением  $L/B = 7,8$  и относительной длиной  $I = 5,72$ .

В качестве второго примера в табл. 5.4 приведены данные, характеризующие сопротивление быстрогоходного транспортного судна. Они заимствованы из работы Х. Нордстрема [66] и относятся к варианту судна со следующими элементами:  $V = 8308 \text{ м}^3$ ;  $\delta = -0,675$ ;  $B/T = 2,4$ ;  $x = -1,5\%$ . Варианты сопоставлены при скорости хода  $v = 19 \text{ уз}$ . В настоящем случае сопротивление и адмиралтейский коэффициент монотонно и сравнительно быстро убывают по мере увеличения  $L/B$  и  $I$ .

При принятой предпосылке о постоянстве водонизмещения уменьшение относительной длины и отношения  $L/B$  сопровождается

Смоченная поверхность, а следовательно, и сопротивление трения судна изменяются в зависимости от отношения ширины к осадке, в соответствии с изменениями численного коэффициента (см. § 2.1) в рабочем

$$S = M^{\alpha} V^{\beta}.$$

Из диаграммы, приведенной в книге Кари [71], можно увидеть, что минимуму смоченной поверхности соответствуют следующие значения отношения  $B/T$ :

$\delta$	0.5	0.6	0.7	0.8
$B/T$	3.1	2.9	2.6	2.2

В интервале  $\delta = 0.5 \pm 0.7$  изменение отношения  $B/T$  на  $\pm 0.3$ , а при  $\delta = 0.8$  на  $\pm 0.2$ , по сравнению с отметками выше величина сопротивления возрастает из-за изменения смоченной поверхности и сопротивления трения всего лишь на 2%. На остаточное сопротивление изменение отношения  $B/T$  в пределах, имеющих практическое значение при проектировании определенного судна, также оказывает небольшое влияние. Поэтому полное сопротивление воды движению судна относительно мало зависит от этого отношения.

Наиболее благоприятно для полного сопротивления транспортных судов отношение  $B/T = 2.3 \pm 2.5$ .

В качестве примера в табл. 5.5 приведены данные о боксиромочном сопротивлении четырех моделей однодонных транспортных судов, заимствованные из работы Х. Нордстрема [95]. Модели отличались отношениями ширины к осадке, которое изменялось в пределах от 2.1 до 3.0. Общими для всех моделей являются следующие показатели:  $\delta = 0.56$ ;  $\delta = 0.575$ ;  $\beta = 0.950$ ;  $I = 6.38$ ;  $X = -2.5\%$ . В таблице для двух чисел Фруда указано полное сопротивление модели и его составляющие, пересчитанные на судно с объемным водоизмещением  $V = 8308 \text{ м}^3$ .

Таблица 5.5  
Сопротивление (в %) моделей, зависящих от отношения  $B/T$

$\frac{B}{T}$	Fr = 0.289			Fr = 0.280		
	$R_f$	$R_{\text{ост}}$	$R$	$R_f$	$R_{\text{ост}}$	$R$
2.1	2.34	0.92	3.16	2.71	0.94	4.05
2.4	2.24	0.99	3.16	2.71	0.98	4.89
2.7	2.21	1.05	3.26	2.68	0.92	5.00
3.0	2.21	1.12	3.30	2.68	0.90	4.98

Из табл. 5.5 следует, что независимо от числа Фруда минимум сопротивления соответствует отношению  $B/T = 2.4$ . При числе Фруда  $Fr = 0.289$  наряду с минимумом есть максимум, соответствующий отношению  $B/T = 2.7$ . Максимальные значения полного сопротивления отличаются от минимальных на 2% при числе Фруда  $Fr = 0.289$  и на 5% при числе Фруда 0.260.

Перейдем к другим случаям.

Увеличение отношения  $B/T$  приводит к увеличению остаточного сопротивления тогда, когда соблюдаются условия

$$\frac{L}{B} = \text{idem}, \quad \delta = \text{idem}; \quad D = \text{idem},$$

так как  $I$  и  $L$  изменяются здесь пропорционально кубическому из отношения  $B/T$ . Практически одновременно увеличивается и полное сопротивление, хотя при очень малых скоростях, когда волнистая составляющая перестает оказывать заметное влияние на полное сопротивление, увеличение отношения  $B/T$  может привести к противоположному эффекту.

Если отношение  $B/T$  изменяется за счет либо ширины, либо осадки, а следовательно, и водоизмещения, то сопротивление возрастает медленнее, чем водоизмещение. Поэтому с увеличением ширины или осадки суммарное удельное сопротивление уменьшается. Сказанное можно показать линиями об удельном сопротивлении трех моделей из серии Эмерсона [61], приведенными в табл. 5.6. Модели этой серии имели одинаковые коэффициенты  $\delta = 0.721$ ;  $\beta = 0.981$ ;  $\varphi = 0.735$ . Центр величины во всех случаях был расположен на расстоянии, равном 1,5% от длины судна в норму от модели. Первая и третья модели были получены путем умножения и уменьшения единой штандартной второй модели. Осадка же модели оставалась неизменной и в пересчете на судно длиной 122 м была равна 7,92 м. Остальные характеристики рассматриваемых моделей указаны в таблице. Данные о сопротивлении моделей (в кг на тонну водоизмещения) приведены для двух чисел Фруда.

Таблица 5.6  
Удельное сопротивление трех моделей, кг/т

$\frac{B}{T}$	$\frac{L}{B}$	$\delta$	$D$	При числе Фруда	
				0.289	0.260
1.92	8.00	5.55	15.25	L70	2.18
2.12	7.27	5.37	16.80	L68	2.06
2.31	6.87	5.22	18.30	L60	2.00

Для приближенной оценки влияния эпирного изменения ширины и осадки судна на сопротивление воды и мощность боксиронки  $W$  можно воспользоваться формулой Мумфорда

$$\frac{W}{W_0} = \left( \frac{B}{B_0} \right)^x \left( \frac{T}{T_0} \right)^y,$$

которая при соблюдении условий  $L = \text{idem}$ ,  $B/B_0 = T_0/T = a$  приводится к виду

$$\frac{W}{W_0} = a^{x-y}.$$

Численные значения показателей степени  $x$  и  $y$ , предложенные Мурфордом, в настоящее время устарели. В табл. 5.7 они заменены величинами, заимствованными из работы Д. Мура и В. Смоля [91] для однодвигательных судов и работы Р. Тернера, М. Харпера и Д. Мура [114] для двухдвигательных пассажирских судов с коэффициентами полноты  $b < 0,63$ . Следует говорить, что показатели степени  $x$  и  $y$  зависят не только от числа Фруда, как это правило в качестве упрощающего допущения в отмеченных работах, но и от коэффициента  $b$ .

Таблица 5.7  
Значения показателей степеней  $x$  и  $y$

Fr	Однодвигательные суда		Двухдвигательные суда	
	$x$	$y$	$x$	$y$
0,219	0,96	0,60	0,83	0,56
0,225	0,95	0,62	0,83	0,56
0,240	0,93	0,64	0,83	0,56
0,255	0,90	0,67	0,83	0,56
0,270	0,89	0,70	0,83	0,57
0,285	0,89	0,73	0,83	0,59
0,300	0,90	0,76	0,85	0,55
0,315	0,93	0,80	0,85	0,75

Представляет интерес также вопрос о влиянии изменения отношения  $B/T$ , вызванного изменением нагрузки судна. В этом аспекте вопрос, в частности, возникает во время судовых испытаний, если они проводятся при осадке, отличающейся от спецификационной. В связи с этим уместно отметить, что при относительной скорости, характерной для судна с данными коэффициентом общей полноты, коэффициент  $[C]$  сравнительно медленно возрастает по мере уменьшения осадки, если судно удифферентовано на резиновый киль.

Интересное возрастает удельное сопротивление

$$\frac{R}{D} = [C]^2 Fr^2,$$

поскольку меньшие осадки соответствуют более высокие значения относительной длины.

В связи с вопросом о влиянии изменения осадки в эксплуатационных условиях кратко остановимся на влиянии изменения дифферента.

На полных тяжелодесантных транспортных судах дифферент на корму приводит обычно к увеличению сопротивления. Объясняется это тем, что увеличение сопротивления формы вследствие погружения в воду более полных кормовых затерянний не полностью компенсируется благоприятным влиянием засечки носовых обводов на волновое сопротивление. На более острых транспортных судах с ко-

эффициентом  $\delta = 0,6 \div 0,7$  дифферент на корму незначительно сказывается на сопротивлении.

Для быстродесантных кораблей, как это следует из данных экспериментальных моделей, опубликованных Г. Бакером [49] и других авторов, дифферент на корму около 0,4–0,6 и снижает сопротивление на 3–4 %. В значительно больших степенях сопротивление увеличивается при дифференте на корму (приблизительно на 6–8 % при дифференте в 0,4 м и 18–20 % — при дифференте в 0,8 м).

В качестве иллюстративного материала в табл. 5.8 приведены значения коэффициента  $[C]$  для однодвигательных транспортных судов при четырех значениях коэффициента общей полноты и подводящих числах Фруда. Таблица составлена на основе данных, приведенных в работе Х. Линкеля и М. Паркера [78]. Она относится к вариантам судна данной  $L = 122$  м при ширине 16,8 м. Значения коэффициента  $[C]$  указаны в таблице для судна в полном грузу и судна с осадкой, сниженной приблизительно на 10 и 38 %. В последнем случае, который соответствует балластным пробегам, значения коэффициента  $[C]$  даны для судна, удифферентованного на резиновый киль, и судна, плавающего с дифферентом на корму.

Таблица 5.8  
Значения коэффициента  $[C]$

Fr, m	$F_F - F_{F'} \cdot m$	При значениях $\delta = 0$			
		0,55	0,50	0,75	0,80
7,92	—	0,692	0,693	0,685	0,692
6,40	—	0,721	0,725	0,711	0,715
4,88	—	0,756	0,782	0,767	0,766
4,00	2,44	0,787	0,775	0,800	0,780

Из табл. 5.8 следует, что при коэффициентах  $\delta = 0,75 \div 0,80$  дифферент на корму приводит к уменьшению сопротивления на 5–7 %, а на более острых судах дифферент практически не сказывается на сопротивлении.

### § 5.9. Влияние изменений главных размерений судна и коэффициента общей полноты

Предлагаемые замечания. Многочленные формулы, предложенные для определения элементов проектируемого судна, даются большей частью в предположении, что длина, ширина и осадка судна связаны линейными зависимостями вида

$$L = AB - C; \quad (5.41)$$

$$B = A_1 T + C_1, \quad (5.42)$$

где  $A$ ,  $A_1$ ,  $C$ ,  $C_1$  — числовые коэффициенты.

В дальнейшем изложении наряду с такими формулами используются степенные формулы, в которых отношения  $L/B$  и  $B/T$  являются функциями длины судна. Отличаясь достаточной точностью для предварительных расчетов, эти формулы в совокупности со степенными формулами для определения коэффициента общей полноты (см. § 5.4) дают плавдажное представление о взаимосвязи соотношений главных размерений судна и коэффициента общей полноты, вытекающей из уравнения плавучести

$$I = \left[ \frac{1}{8} \left( \frac{L}{B} \right)^2 \frac{B}{T} \right]^{1/4}.$$

Возможность аналитически проверить согласованность комплекса степенных формул, предназначенных для определения соотношений главных размерений, коэффициента общей полноты и относительной длины судна, способствует более критическому подходу к оценке каждой формулы в отдельности.

Сухогрузные и пассажирские суда. Диаграмма типа  $L = f(B)$  в книге Х. Сандерса [103] приводит зависимость от типа судна к следующим значениям коэффициентов в формуле (5.41):

$$A = 9,3; C = 41,7 \pm 5,0,$$

при которых формула согласуется со статистическими данными, относящимися к грузовым линерам.

По Х. Бэнфорду [521] для сухогрузных судов европейского типа (в дальнейшем они называются судами традиционного типа)

$$A = 9,0; C = 35,7 \pm 16,0;$$

$$A_1 = 2,0; C_1 = 2,1 \left\{ \begin{array}{l} 4,0; \\ \pm 2,1; \end{array} \right.$$

а для судов, построенных в США (в дальнейшем они называются усовершенствованными судами),

$$A = 9,0; C = 50,6 \left\{ \begin{array}{l} 10,4; \\ \pm 15,7; \end{array} \right.$$

$$A_1 = 2,0; C_1 = 4,3.$$

Для определения соотношений главных размерений универсальных сухогрузовых судов традиционного типа можно воспользоваться зависимостями

$$\frac{L}{B} = 2,06L^{7/8}; \quad (5.43)$$

$$\frac{B}{T} = 4,70L^{-\frac{1}{8}} \quad (5.44)$$

Для усовершенствованных судов этого назначения предлагаются формулы

$$\left( \frac{L}{B} \right)_s = 0,92 \frac{L}{B} = 1,90L^{7/8}, \quad (5.45)$$

$$\left( \frac{B}{T} \right)_s = 1,12 \frac{B}{T} = 4,70L^{-\frac{1}{8}}. \quad (5.46)$$

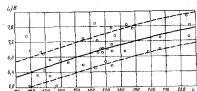


Рис. 5.18. Соотношение длины к ширине пассажирских судов. Следующий критерий  $L/B = 1,94 L^{7/8}$

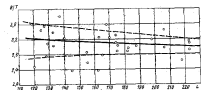


Рис. 5.19. Соотношение ширины к осадке пассажирских судов. Следующий критерий  $B/L = 5,90 L^{-1/8}$

Как следует из рис. 5.18 и 5.19, для крупных пассажирских судов в среднем можно принять

$$\frac{L}{B} = 1,94L^{7/8} \pm 0,4; \quad (5.47)$$

$$\frac{B}{L} = 5,90L^{-\frac{1}{8}} \pm (0,2 \pm 0,5). \quad (5.48)$$

В табл. 5.9 указаны значения отношения  $L/B$ , подсчитанные для сухогрузных судов длиной  $L = 80+200$  м по Бонфорду, Саундерсу и по предлагаемым формулам. В аналогичной табл. 5.10 сопоставлены значения  $B/T$ , подсчитанные для судов традиционного типа по Бонфорду и предлагаемой формулой.

Таблица 5.9  
Значения отношения  $L/B$  сухогрузных судов

Расчетные формулы	При длине судна $L$ , м			
	80	120	160	200
Обычные суда				
Бонфорд	6,22	6,94	7,38	7,63
Саундерс	6,10	6,96	7,37	7,67
$L/B = 2,082 \cdot \frac{v}{v_0}$	6,17	6,80	7,33	7,75
Универсальные суда				
Бонфорд	6,50	6,32	6,82	7,19
$L/B = 1,90L^{1/4}$	6,67	6,26	6,76	7,15

Таблица 5.10

Значения отношения  $B/T$  сухогрузных судов традиционного типа

Расчетные формулы	При длине судна $L$ , м			
	80	120	160	200
Бонфорд	2,49	2,39	2,22	2,16
$B/T = 4,20L^{-1/4}$	2,43	2,31	2,22	2,16

Таблицы показывают, что сопоставляемые способы определения соотношений габаритных размерений приводят к близким результатам.

Из степенных формул (5.17) и (5.43) — (5.48) вытекает равенство

$$I = kv^{1/4}, \quad (5.49)$$

которое можно использовать для определения в первом приближении относительной длины сухогрузных и пассажирских судов. Числовые коэффициенты в формуле (5.49) оказались равными:  $k = -2,78$  — для универсальных сухогрузных судов;  $k = 2,73$  — для упрощенных сухогрузных судов;  $k = 3,0$  — для крупных пассажирских судов.

Число Фруда, фигурирующее в формуле (5.17), не вошло в формулу (5.49), которая в этом отношении closely с формулой Поздоинова

$$I_s = C_0 \left( \frac{v_0}{v_0 + 2} \right)^2,$$

где  $C_0$  — численный коэффициент. Приближенно  $v_0 = 1,06$  и  $L = 0,97 L_p$ , что позволяет представить эту формулу в виде

$$I = C \left( \frac{v}{v + 2} \right)^2, \quad (5.50)$$

где  $C = 0,97 C_0$ . В настоящее время формулу Поздоинова обычно применяют с измененными коэффициентами. Базируясь на коэффициентах, предложенных в книге Ван-Ламмерена, Трооста и Коэнинга [18], и сопределив для близких коэффициента  $C_0$ , можно принять:  $C = 7,0$  — для грузовых и грузопассажирских судов со скоростями хода  $v = 11,0 \pm 18,5$  уз;  $C = 7,7$  — для крупных пассажирских судов со скоростями хода  $v > 20$  уз.

Отметим также формулы Ашника, Царева и Челпанова [2], предназначенные для определения относительной длины сухогрузных судов

$$I = 4,47 + 0,06v_0 \pm 0,3,$$

Приняв, как и ранее,  $v_0 = 1,06$  у, можно представить эти формулы в виде

$$I = 4,47 + 0,0635v \pm 0,3; \quad (5.51)$$

$$I = 4,62 + 0,0795v \pm 0,5. \quad (5.52)$$

В табл. 5.11 сопоставлены значения относительной длины, подсчитанные по формулам (5.49) — (5.52). Таблица показывает, что эти формулы приблизительно равнозначны.

Таблица 5.11

Относительная длина сухогрузных и пассажирских судов

Расчетные формулы	Значения $I$ при скорости хода $v$ , уз					
	8	14	17	20	24	28
Сухогрузные суда						
Поздоинова	5,07	5,42	5,67	5,81	—	—
$I = 2,78 v^{1/4}$	5,06	5,37	5,65	5,90	6,10	—
$I = 4,47 + 0,0635v$	5,17	5,39	5,63	5,74	5,94	—
Пассажирские суда						
Поздоинова	—	—	—	6,38	6,85	6,70
$I = 3,00 v^{1/4}$	—	—	6,09	6,35	6,57	6,77
$I = 4,62 + 0,0795v$	—	—	5,97	6,21	6,45	6,92

Танкеры. В отличие от сухогрузных судов отношение длины к ширине наливных судов длиной  $L > 150$  м ( $P_{av} > 15 000$  т) убывает по мере возрастания длины судна. В качестве осредненной зависимости можно принять

$$\frac{L}{B} = \frac{26,5}{L^{1/4}}, \quad (5.53)$$

При длине судна  $L \approx 215$  м отношение  $B/T$  возрастает с увеличением  $L$ , причем в среднем

$$\frac{B}{T} = 0,533 \cdot \frac{L}{100} + 1,50. \quad (5.54)$$

Увеличение длины судна сверх указанного предела не оказывается за отношения  $B/T$ , которое в среднем сохраняет постоянное значение  $B/T = 2,65$ .

Зависимости относительной длины танкеров, подсчитанные по формулам (5.22), (5.53) и (5.54), указаны в табл. 5.12. Таблицные данные показывают, что относительная длина танкеров является функцией не только скорости хода, но и длины судна. В рассматриваемом случае отклонения относительной длины танкеров от их среднего значения незначительны. Объясняется это тем, что в рассматриваемом интервале длии ( $L > 150$  м) скорость хода судов этого типа изменяется в узких пределах.

Таблица 5.12  
Относительная длина танкеров

Скорость хода, $T = \frac{L}{v}$	Зависимость $f$ от длины судна, м				
	100	180	210	240	280
14	5,61	5,46	5,33	5,23	5,07
16	5,60	5,50	5,42	5,30	5,15
18	5,73	5,56	5,50	5,38	5,21

Пассажирские паромы. Суда по диаграмме в книге А. Линдблада [119], отличиеем  $L/B$  и  $B/T$  пассажирских паромов практически не зависит от длины судна, причем в среднем  $L/B = 7,6$  и  $B/T = 3,8$ . При этих соотношениях из формулы (5.24) вытекает равенство

$$f = 8,16Fr^{0.5}. \quad (5.55)$$

Диаграмму для определения относительного водоизмещения пассажирских паромов, приведенную в отечественной книге А. Линдблада, можно выразить аналитической формулой

$$d = 80,0 - 40,5Fr,$$

которая приподнята к виду

$$f = \frac{30,5}{d^{0.5}} = \frac{30,5}{(80,0 - 40,5Fr)^{0.5}}. \quad (5.56)$$

Из формул (5.55) и (5.56) вытекают следующие значения относительной длины:

Число Фруда $Fr$	0,30	0,35	0,36	0,39	0,45
По формуле (5.55)	7,37	7,45	7,50	7,55	7,59
По формуле (5.56)	7,45	7,61	7,66	7,61	7,65

Приведенные данные показывают, что в практическом аспекте обе формулы равнозначны.

Балкеры-эсфи. Как отмечалось, при проектировании балкерах судов коэффициент  $\varphi$  рассматривается как функция числа Фруда, а коэффициент  $b$  определяется исходя из общепроектных условий. Вследствие этого относительная длина этих судов не является функцией относительной или абсолютной скорости хода.

Практически для этих судов в зависимости от их назначения характерные скорости  $v = 32 \pm 38$  уз, отношения  $L/B = 9 \pm 10$  и относительные длины  $f = 7,5 \pm 9,0$ .

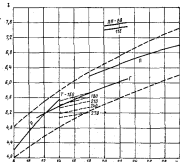


Рис. 5.20. Зависимость  $f = f(v)$   
I — рабочие суда; II — танкеры; III — суда с грузами; IV — пассажирские паромы; V — паромы из группы, имеющей структуру длины судна

Сводная диаграмма. На рис. 5.20 показаны кривые  $f = f(v)$ , построенные по формулам для сухогрузных и пассажирских судов, танкеров, пассажирских паромов. Кроме того, приведена кривая, характеризующая относительную длину рабочих судов. Она подсчитана по формуле

$$f = 1,46v^{0.5} = 1,46v^{0.5}.$$

Графические кривые, показанные на диаграмме пунктиром, соответствуют формуле

$$f = kv^{0.5}$$

с коэффициентами  $k = 2,0$  и  $k = 2,4$ . Формула

$$l = 2,26^{1/4} \pm 10\% \quad (5.57)$$

дает обобщенное представление о характере зависимости относительной длины рыболовных, сухогрузных, пассажирских и нефтеналивных судов от их эксплуатационной скорости хода.

В курсе [26] формула (5.57) с другим численным коэффициентом приведена в качестве аналитического выражения зависимости, обобщающей при  $c = 10 + 26$  уз практические данные по сухогрузным и пассажирским судам того времени. В новом варианте она приводит приблизительно к тем же результатам, что и формула

$$l = 3,86 \pm 0,1n, \quad n = 3,86 + 0,106c,$$

предложенная в отмеченной выше работе В. В. Аники, Б. А. Царева и И. В. Челапова для определения относительной длины рефрижераторных судов.

Формулы, определяющие взаимосвязь рассматриваемых характеристик судна. Пусть

$$\frac{l}{n} = A_m L^m; \quad \frac{l}{T} = A_s L^s; \quad b = \frac{A_b}{F^k},$$

При этих соотношениях, как следует из уравнения плакучести,

$$l = K L^{-\frac{1}{m}} \sigma^{\frac{1}{m}} L^{-\frac{1}{s}};$$

$$K = \left( 0,163 \frac{F^k A_m A_s}{A_b} \right)^{1/m}.$$

Чтобы исключить из последних формул длину  $L$ , нужно подставить показатели степеней  $m$ ,  $n$ ,  $k$  дополнительному условию

$$k = 2(m + n).$$

В этом случае

$$l = K \sigma^{\frac{1}{m+n}};$$

$$K = 0,163 \sigma^{\frac{1}{m+n}} \left( \frac{A_m A_s}{A_b} \right)^{1/m}.$$

Таким образом, в общем случае относительная длина транспортных и рыболовных судов является функцией абсолютной скорости хода и длины судна. Однако при определенных условиях можно рассматривать относительную длину судна как функцию одной лишь скорости хода.

## Глава шестая

### ПОЛОЖЕНИЕ ЦЕНТРА ВЕЛИЧИНЫ, ЦИЛINDRICHESKAЯ ВСТАВКА И ОСОБЕННОСТИ ОБВОДОВ

#### § 5.1. Положение центра величины по длине судна

Абсцисса центра величины  $x$ , измеренная в долях длины судна (параллельно положению наиболее полного швартуга и цилиндрической вставки), характеризует в значительной мере распределение волнозадания по длине судна. Поэтому при фиксированном значении коэффициента продольной полноты рассматриваемый параметр оказывает заметное влияние на сопротивление воды движению судна, особенно тихоходного и среднескоростного.

Сдвигение центра величины в нос судна приводит к увеличению волнового сопротивления, но уменьшает сопротивление формы. Сдвигение центра величины в корму приводит к обратным результатам. В каждом частном случае минимуму сопротивления соответствует определенное положение центра величин по длине судна.

Экспериментальные исследования, имеющие целью установить зависимость, определяющую оптимальное положение центра величины, показывают, что это положение обуславливается взаимодействием якорных факторов и в первую очередь зависит от относительной скорости судна и коэффициента продольной полноты. Имеют также значение соотношения главных размерений и другие характеристики формы судна.

Попытки установить однозначные количественные зависимости, связывающие относительное положение центра величины с характеристиками судна, не привели до настоящего времени к достаточно убедительным результатам, так как экспериментальные кривые, полученные разными авторами, не согласуются друг с другом. Это объясняется тем, что изменение положения центра величин по длине судна неизбежно приводит к изменениям в некоторых других показателях формы, следствие чего полученные результаты в немалой степени зависят от ряда побочных обстоятельств. Так, например, если форма «носовой оконечности» исходной модели серии была изувечена с точки зрения волнового сопротивления, то минимум полного сопротивления для этой серии будет получаться при центре величин, расположенным ближе к коренной оконечности, чем для серии моделей с хорошо проработанной носовой оконечностью.

Существенное значение имеют также погрешности измерений, поскольку в районе экстремальной точки сопоставляемые модели мало отличаются по сопротивлению. Дело осложняется тем, что

буксировочные и самоходные испытания моделей приводят к не вполне качественным результатам. Кроме того, оптимальные по соотношению значение абсциссы центра величины ( $v_m$  при  $Fr = \text{const}$  или  $\delta = \text{const}$ ) изменяются по мере перехода от осадки судна по конструктивной водолинии к осадке, соответствующей балластным переходам.

В качестве обстоятельства, облегчающего выбор абсциссы центра величин проектируемого судна, следует отметить, что при подобных соотношениях между коэффициентом полноты и относительной скоростью судна можно сместить центр величины от его оптимального положения на расстояние 0,5–0,8% от длины судна.

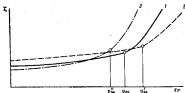


Рис. 6.1. Схема к вопросу об отвлечении оптимальной абсциссы центра величин

не опасаясь значительного возрастания сопротивления. Это позволяет отказаться от попыток учесть в отдельности влияние каждого из перечисленных ранее факторов, обусловливающих в своей совокупности оптимальное положение центра величины, и ограничиться факторами, имеющими наибольшее значение: относительной скоростью хода и коэффициентом продольной (или общей) полноты.

При такой постановке вопроса сущность дела можно показать схемой, представленной на рис. 6.1. Сплошной линией на схеме изображена кривая 1, соответствующая нормальному положению центра величины. В районе эксплуатационной скорости  $v_m$  она лежит ниже других кривых. Перенос центра величины в нос от его нормального положения (кривая 2), мы увеличиваем сопротивление при малых скоростях. Одновременно уменьшается сопротивление в интервале больших скоростей, что позволяет эксплуатировать судно при скорости  $v_m > v_{m+}$ . Смещение центра величины в нос (кривая 3) уменьшает сопротивление в районе малых скоростей. Этой кривой соответствует экономическая скорость  $v'_{m+} < v_{m+}$ .

Таким образом, при выбранном значении коэффициента общей продольной полноты может оказаться выгодным сместить центр

величины в корму или в нос от его нормального положения в зависимости от намеченной эксплуатационной скорости судна. Все же теоретически при эксплуатационной скорости хода сопротивление, найденное по нормальной кривой, должно быть меньше, чем по двум другим кривым.

На рис. 6.2 буквой а, б, в, г обозначены кривые, предложенные в книге Ван-Ламмерена, Тростса и Коэнинга [81] для определения абсциссы центра величины в зависимости от коэффициента общей полноты. Кривые отражают опыт Вагенхагенского бассейна. Средняя кривая соответствует соотношениям между коэффициентом общей полноты и эксплуатационной скоростью хода, которые определялись по способу Ван-Ламмерена (см. § 5.2). Кривые а и в выражают рекомендуемые значения абсциссы центра величины для судов, эксплуатируемых при скорости хода, соответствующему промышленных или лежащих ниже нормальной эксплуатационной скорости хода.

Примарная кривая б на рис. 6.2 соответствует значениям х основной серии моделей BSRA. Кружками на рассматриваемом рисунке отмечены оптимальные значения абсциссы центра величины при подобных соотношениях между коэффициентом общей полноты и числом Фруда, установленные по данным некоторых серийных испытаний моделей.

Аналогичная диаграмма Линдблада [119], связывающая абсциссу центра величины с коэффициентом общей полноты и числом Фруда, приведена на рис. 6.3. В ка-

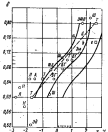


Рис. 6.2. Абсцисса центра величин в пределах от длины судна

з. а – по Ван-Ламмерену; б – кривые БСРА; пунктирная обобщенная кривая модели; в – Штукенса; г – Тростса; д – Линдблада; Франкенса и Альберса; эл. – Эверса; ег – Бланкенса и Грунса; фд – Франкенса и Дюренса; ж – Альса и Ханса; з – Линдблада; и – Нордстедта; жд – Застрица

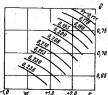


Рис. 6.3. Рекомендуемые кривые центра величин

Чтобы примера использования диаграммы отметим, что при коэффициенте  $\delta = 0,71$  в числе Фруда  $Fr = 0,208$  минимум сопротивления соответствует абсциссе  $x = 1,6\%$  от длины судна. В случае увеличения числа Фруда до  $Fr = 0,216$  выше благоприятной становится абсцисса  $x = 0,8\%$ , а при  $Fr = 0,200$  абсцисса  $x = -2,2\%$ .

К тем же, приблизительно, результатам приводят кривые  $a$ ,  $b$ ,  $c$  на рис. 6.2, однако диаграмма на рис. 6.3 содержит более полную информацию.

По Дж. Даусону [55] оптимальные по сопротивлению и затрачиваемой мощности значения абсциссы центра величин наборатных судов с отношением  $L/B = 0,6$  выражаются следующими величинами:

Коэффициент общей полноты, $\delta$	0,66	0,70	0,75
Число Фруда $Fr$	0,26	0,28	0,30
Положение ЦВ, оптимальное по сопротивлению, %	-1,3	+1,3	+1,7
Положение ЦВ, оптимальное по мощности, %	-4,3	+1,1	+0,9

Для моделей серии «60» оптимальной мощности в диске винта соответствуют значения  $x$ , смещенные в корму на 0,2–0,3% от  $L$  по сравнению с точками, характеризующими минимум сопротивления. По другим данным  $a$ , в частности, по приведенным выше данным Даусона, при переходе от сопротивления к мощности в диске винта экстремальные точки остаются неизменными или несколько перемещаются в кокс. Практически при выборе значения относительной абсциссы  $x$  можно большей частью руководстваться панельными исходящими испытаниями моделей, поскольку незначительные отклонения от оптимума мало сказываются на сопротивлении и мощности механизмов.

О влиянии формы шлангутов на оптимальное положение центра величины можно судить по экспериментальной работе В. М. Штумфа [43]. В этой работе приведены коэффициенты остаточного  $R_{st} = f(Fr)$  и полного удельного сопротивления  $R/D = f(Fr)$  моделей однодвигательных транспортных судов с коэффициентами общей полноты  $\delta_0 = 0,60; 0,70; 0,80$  ( $\delta = 0,611; 0,712; 0,814$ ) при  $L/B = 7,8$ ;  $B/T = 2,5$  и  $\beta = 0,98$ . Для каждой основной модели было исследовано влияние изменения коэффициента вертикальной полноты посовой позиции судна  $\chi_0 = \delta_0/\alpha_0$  и влияние изменения положения центра величины по длине судна. Принятые значения коэффициента  $\chi_0$  определяли форму шлангутов в носовой половине судна. Большим значением коэффициента  $\chi_0$  соответствовали U-образные, а меньшим — V-образные шлангуты. Модели со средними значениями коэффициента  $\chi_0$  имели шлангуты промежуточного типа.

При подходящих числах Фруда оптимальные по волному сопротивлению соотношения  $\chi_0 = f(\delta)$  в зависимости от коэффици-

ента  $\chi_0$  выражались так ( $i = 1; 2; 3$  при минимальном, среднем и максимальном  $\chi_0$ ):

$\chi_0$	$i = 1$	$i = 2$	$i = 3$	$\chi_0$	$i = 1$	$i = 2$	$i = 3$
0,60	0,611	0,37	-1,7	-1,7	-1,7	-1,7	-1,7
0,70	0,712	0,21	+0,2	+0,2	+0,2	+0,2	+0,4
0,80	0,814	0,16	+2,2	+2,4	+2,4	+2,4	+2,4

Наиболее существенно сказалось влияние изменения характера обводов при коэффициенте  $\delta = 0,60$ . В этом случае, как можно было ожидать, при увеличении коэффициента вертикальной полноты (от  $\chi_0 = 0,830$  до  $\chi_0 = 0,919$ ) или, иначе говоря, при переходе к более U-образным обводам, оптимальное положение центра величин сместилось в кокс. При коэффициентах общей полноты  $\delta = 0,70; 0,80$  изменение характера обводов почти не сказалось на значении абсциссы центра величины, соответствующей минимуму сопротивления.

Рассмотренные материалы относятся к осадке судна по конструктивной водерлинии. Во времена испытаний серии моделей, отличающихся положением центра величин по длине судна, в японском испытательном бассейне модель с коэффициентом  $\delta = 0,625$  буксировалась при двух осадках. При переходе от осадки по конструктивной водерлинии к балластной осадке с дифферентом на корму оптимальное значение абсциссы центра величин снизилось от  $x = -1,7\%$  до  $x = -1,3\%$  от длины модели между перпендикулярами. Для модели Бланквилья—Гудрича [53] с коэффициентом  $\delta = 0,70$  оптимальное положение центра величин соответствовало абсциссе:  $x = 1,0\%$  при полном водоизмещении,  $x = 0$  при балластной осадке и  $x = -0,8\%$  в промежуточных условиях.

Отмечаемое обстоятельство нужно учитывать в процессе проектирования грузовых судов, нередко плавающих при использовании полностью грузоподъемности со знительными дифферентами на корму. Особенно это относится к судам перегружального плавания, которые могут возвращаться из рейса без груза, в плавающем.

Иногда при проектировании относительно быстродвижущих грузовых судов предусматривают резерв мощности главных механизмов, позволяющий в случае необходимости форсировать скорость судна. В подобных случаях такое вынуждено смещать центр величин в корму, что позволяет получить более высокую форсированную скорость.

Для таходенных судов с большими коэффициентами общей полноты смещение центра величин в корму по сравнению с его оптимальным положением (в условиях балластировочных испытаний) позволяет несколько улучшить ходовые качества судна на изолированном море путем застreichивания носовых обводов. Обратите внимание на современных таходенных грузовых судах с коэффициентами  $\delta > 0,70$  располагаются большей частью между кривыми  $a$  и  $b$ , а при  $\delta = 0,60$ — $0,70$  — за долью кривой  $c$  на рис. 6.2. Для бы-

сторонних грузовых судов с коэффициентами  $\delta < 0,6$  характерны значения  $x = -(1+2) \cdot 1\%$  в корму от модели.

Об оптимальном положении центра величины по длине двухштатных пассажирских судов можно судить по серийным испытаниям моделей Первова [30] и Линдблада [19]. Для моделей Первова с коэффициентами  $\delta = 0,55; 0,60; 0,65$  наиболее выгодными по сопротивлению при подводных числах Фруда оказались модели с центром величин, расположенным приблизительно на расстояние 3% от длины между перпендикулярами в корму от модели. Оптимальные значения абсолютных центров величины шести моделей Линдблада с коэффициентами  $\delta = 0,655 \pm 0,605$  незакономерно изменились в пределах  $x = 2,0 \pm 3,5\%$  от  $L$ , в корму от модели.

Геометрические абсциссы центра величин зависят от коэффициента продольной полноты судна в нем и коэффициентом продольной полноты носовой и кормовой половин судна. При заданном значении абсолютной величины  $x = x_p/L$  для определения коэффициентов продольной полноты носовой и кормовой половин судна можно воспользоваться одной из известных приближенных формул. Достаточной точностью отличаются формулы Нормана.

$$q_n = \varphi + 2,25 \frac{\delta L}{L}; \quad (6.1)$$

$$q_k = \varphi - 2,25 \frac{\delta L}{L}.$$

В этих формулах абсолютная величина  $x$ , считается положительной, если центр величин расположен в нос от модели.

### 5.6.2. Повышение избыточной полноты цилиндрической вставки

Практическость и повышение цилиндрической вставки

Цилиндрическая вставка применяется на транспортных судах, предназначенных к эксплуатации при числах Фруда, меньших 0,24–0,26. Этим числом Фруда соответствуют коэффициенты общей полноты  $\delta > (0,60 \pm 0,03)$  и коэффициенты продольной полноты  $\varphi \geq (0,61 \pm 0,03)$ . Общепринятые значения относительной длины цилиндрической вставки  $I_q = I_q/L$  возрастают с увеличением полноты судна и составят до  $I_q = 0,30 \pm 0,40$  при  $\delta = 0,80$  и  $I_q = 0,40 \pm 0,45$  при  $\delta = 0,85$ .

Приложение цилиндрической вставки на судне с заданными размерами и заданным коэффициентом продольной полноты позволяет заострить опасности, что благоприятно скаживается на сопротивлении воды движению судна в отмеченных выше интервалах изменения относительных скоростей и коэффициентов теоретического чертежа. Кроме того, наличие цилиндрической вставки, упрощая и удаляя постройку судна, позволяет в то же время придать грузовым трюмам более удобную конфигурацию.

Однако при чрезмерной длине цилиндрической вставки необходимо осуществить достаточно плавное притяжение кормовых и

носовых аварийных к цилиндрической вставке. Это может привести, с одной стороны, к увеличению сопротивления формы, а с другой стороны — к интенсификации волн, возникающих у начала цилиндрической вставки, и увеличению волнового сопротивления.

На плавких тихоходных судах цилиндрическая вставка смешает вносясь внос от модели с тем, чтобы увеличить длину кормового заострения и снизить сопротивление формы. При коэффициенте общей полноты  $\delta = 0,80$  отстояние середины цилиндрической вставки от носового перпендикуляра, измеренное в долях длины судна, обычно лежит в пределах  $x_p = 0,44 \pm 0,46$ . По мере сокращения коэффициента общей полноты середина цилиндрической вставки приближается к модели.

На транспортных судах без цилиндрической вставки наибольшее полные шлюпуют располагают на модели или несколько в корму от модели.

Величины, характеризующие длину и расположение цилиндрической вставки, геометрически связаны с коэффициентами продольной полноты судна и его заострений зависимостями

$$\begin{aligned} q_n &= \frac{\varphi - l_q - l_q \varphi}{l_p}; \\ q_k &= \frac{\varphi - l_q - l_q \varphi}{l_p}, \end{aligned} \quad (6.2)$$

или в другом виде

$$q_n = \frac{\varphi - l_q}{l_p + l_q \varphi}; \quad q_k = \frac{\varphi}{\varphi - l_q}. \quad (6.3)$$

где  $l_q$  и  $l_p$  — соответственно относительная длина носового и кормового заострений;  $q_n$  и  $q_k$  — коэффициенты продольной полноты этих заострений.

В то же время, как следует из формул

$$\begin{aligned} q_n &= 1 - 2l_q(1 - q_n); \\ q_k &= 1 - 2l_p(1 - q_k), \end{aligned} \quad (6.4)$$

коэффициенты  $q_n$  и  $q_k$  являются соответственно функциями относительных длин и коэффициентов продольной полноты носового и кормового заострений. В формуле (6.4) коэффициенты  $q_n$  и  $q_k$  можно выразить через абсолютную центр величины [см. формулу (6.1)]. Поэтому, если длина  $x$  положение цилиндрической вставки параллельно с абсолютной центр величинами известны, формула (6.4) позволяет определить коэффициенты  $q_n$  и  $q_k$ .

На рис. 6.4 приведены кривые  $I_q = f(\delta)$ , характеризующие длину цилиндрической вставки, принятую для моделей, входящих в серии «60», BSRA и Штумфа. Кроме того, на рисунке показаны модифицированные кривые Саундерса, ограничивающие область

принятых на практике для цилиндрической вставки. В оригинальном труде Х. Сауэрса [103] эти кривые представлены в виде  $L_s = f(\delta)$ .

На рис. 6.5 построены кривые абсолютной длины цилиндрической вставки и наибольшее полного шланготутое  $x_0 = f(\delta)$ , выраженные в долях длины судна. Отсчет ведется от носового перпендикуляра. Кривые построены по тем же исходным данным, что и кривые на предыдущем рисунке, а также на рис. 6.6. На последнем приведены кривые  $L_s = f(\delta)$ , характеризующие длину носового заострения, выраженную в долях длины судна.

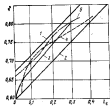


Рис. 6.4. Относительная длина цилиндрической вставки  
1 – 2 – предложенная кривая Сауэрса;  
3 – серия №6; 4 – серия №10; 5 – серия №14 Штукенбауера

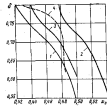


Рис. 6.5. Относительная абсолютная длина  $x_0 = f(\delta)$  наибольшего полного шланготуто и середины цилиндрической вставки (считая от носового перпендикуляра)  
1 – 2 – кривые Сауэрса;  
3 – серия №6; 4 – серия №10

На небольших промысловых судах, которые, как правило, не имеют цилиндрической вставки, наиболее подный шланготут расположены в пределах  $L_s = (0,45 + 0,55)L_s$ , считая от носового перпендикуляра.

Как видно из работы Дж. Хью и Х. Из [70], на военных кораблях наиболее подный шланготут расположены кормой от миделя.

Модели быстрореактивных кораблей серии «Ф» ( $\varphi = 0,63$ ;  $\delta = 0,35+0,55$ ;  $L/B = 8,5-17,0$ ) в работе [70] были спроектированы с наибольшим полным шланготутом, смешанным за расстояние 0,1  $L$  к корме от миделя.

Длина прямолинейного участка грузовой затворлины и отстояние  $x_{0s}$  середины этого участка (или наибольшего широкого конвергентного сечения грузовой затворлины) от носового перпендикуляра не совпадают с аналогичными характеристиками строевой по шланготутам. На рис. 6.7 осредненные кривые  $L_{0s} = x_0 = f(\delta)$  Сауэрса

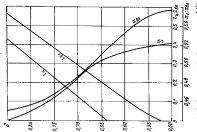


Рис. 6.7. Зависимость  $L_{0s} = x_0 = f(\delta)$  от  $\delta$

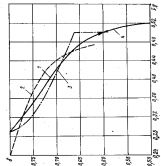


Рис. 6.8. Относительная длина  $L_{0s} = x_0 = f(\delta)$  от  $\delta$   
1 – серия №6; 2 – серия №10; 3 – серия №14; 4 – серия №18; 5 – серия №20

сопоставлены с кривыми  $I_d$ :  $x_d = f(\delta)$ . Рисунок показывает, что длина прямолинейной участка грузовой ватерлинии обычно значительно превосходит протяженность цилиндрической вставки. Абсциссы же  $x_d$  в зависимости от коэффициента общей полноты могут быть больше или меньше абсциссы  $x_p$ .

В § 1.3 приведена формула Бакера [49], выраженная минимальную относительную длину корнового застrekа  $I_d = L/L$ , при которой обтекание корпуса происходит без отрыва пограничного слоя, а сопротивление воды движению судна не превосходит приемлемого предела. Формулу Бакера можно представить в виде

$$k = I_d - \frac{L}{B} \sqrt{\frac{B}{T} - \frac{1}{\delta}}.$$

По Бакеру приемлемые значения коэффициента  $k$  транспортных судов не превосходят  $k=4.1$ . Фактические значения коэффициента  $k$ , подсчитанные по характеристикам моделей серии Штумфа, «60», и BSWA приведены в табл. 6.1. Табличные значения этого показателя относятся к моделям с максимальным коэффициентом  $\delta$  и минимальной относительной длиной  $I_d$ . Из таблицы следует, что во всех случаях полученные значения коэффициента  $k$  превосходят минимальную величину, рекомендованную Бакером.

Таблица 6.1  
Значения коэффициента Бакера для транспортных судов

Серия	$\delta$	$B$	$\frac{L}{B}$	$\frac{B}{T}$	$I_d$	$k$
Штумфа	0,84	0,982	7,30	2,90	0,386	4,37
«60»	0,800	0,994	6,50	2,90	0,410	4,18
BSWA	0,800	0,980	7,27	2,11	0,385	4,11

В табл. 6.2 приведены значения коэффициента Бакера, подсчитанные для основных моделей рыболовных судов нескольких серий. Из таблицы видно, что критерий Бакера ( $k \geq 4.1$ ) удовлетворяют лишь рыболовные суда с относительно большими отношениями длины к ширине. На малых рыболовных судах с отношениями  $L/B = 3,5 \dots 3,7$  коэффициент Бакера падает до  $k = 2,8 \dots 2,9$ .

Таблица 6.2  
Значения коэффициента Бакера для рыболовных судов

Серия	$\delta$	$B$	$\frac{L}{B}$	$\frac{B}{T}$	$I_d$	$k$
Петруха	0,602	0,885	5,70	2,00	0,587	4,75
Ласкода	0,582	0,887	5,70	2,00	0,600	4,28
Химки	0,600	0,833	4,20	2,40	0,600	3,57
Траут	0,582	0,727	3,51	2,00	0,440	2,88

Учитывая на то, что суда этого типа отличаются малыми коэффициентами полноты мидель-шпангоута.

Вопрос о критериях, которые можно руководствоваться при оценке качества обводов в случае отрыва обтекания корпуса, рассмотрен в § 1.3. Этот вопрос имеет существенное значение при проектировании крупных тихоходных нефтяков и рудовозов с большими коэффициентами полноты.

### § 6.3. Традиционные строи

Форма строевого по шпангоутам в носовой оконечности. Отражая форму судовой поверхности, форма строевого по шпангоутам оказывает существенное влияние на сопротивление воды движению судна.

На рис. 6.8 показаны три типичные строевые по шпангоутам в пределах носового застrekа. Эти кривые, имеющие одинаковый коэффициент продольной полноты  $\psi_p = 0,672$ , характеризуют форму так называемых прямых, 1, вогнутых 2 и слегка вогнутых 3 строев.

Прямые носовые ветви строевых по шпангоутам характерны для тихоходных судов со скоростями хода, не превышающими член Фруда  $Fr = 0,21 \dots 0,22$ . При членах Фруда  $Fr = 0,22 \dots 0,26$  строевые по шпангоутам получают неизменную вогнутость, в три членах Фруда  $Fr = 0,26 \dots 0,30$  соответствующих быстродействующим судам, применяют прямые строевые или строевые с очень легкой вогнутостью.

Аналогично строевым по шпангоутам различают ватерлинии: выпуклые, прямые, вогнутые и умеренно вогнутые. Применение вогнутых грузовых ватерлиний позволяет заострить обводы судна в зоне повышенных давлений, соответствующей району расположения носовой корабельной волны. Тем самым в этом районе уменьшаются составляющие давлений, направленные вдоль диаметра, а следовательно, и сопротивление воды движению судна.

Увеличение относительной скорости сопровождается возрастанием длины волевой волны, в соответствии с чем для получения благоприятного эффекта необходимо смешать на более быстроходных судах точку перегиба ватерлинии ближе к модели.

При больших относительных скоростях зона повышенных давлений охватывает значительную часть носовой половинки судна, и в этом случае для снижения сопротивления необходимо заострить

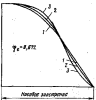


Рис. 6.8. Типичные строевые по шпангоутам в пределах носового застrekа

штруковую затерлинию по всей длине носового заострения. Это обуславливает переход от вогнутых затерлиний к прямым.

На очень полных судах практически невозможно в достаточной степени заострять грузовую затерлинию без резкого перехода к цилиндрической вставке, нарушающей плоскость обтекания. Кроме того, при относительных скоростях, свойственных этим судам, залывное сопротивление сравнимо с небольшим. Поэтому в подобных случаях целесообразно применять выпуклые грузовые затерлиния, сближенные по возможности к прямым.

С точки зрения сопротивления воды движению судна предела применения носовых зевов грузовых затерлиний различной формы соответствуют приблизительно следующим числам Фруда:  $Fr < 0,16$  — выпуклые;  $Fr = 0,16 \rightarrow 0,19$  — прямые или слегка выпуклые;  $Fr = 0,19 \rightarrow 0,22$  — вогнутые или прямые;  $Fr = 0,22 \rightarrow 0,32$  — умеренно вогнутые;  $Fr > 0,32$  — прямые.

Вогнутые затерлиния в комбинации с каплевидными шпангоутами применяются и при более высоких относительных скоростях —плотно до числа Фруда  $Fr = 0,36$ .

Форма грузовой затерлинины в значительной степени обусловливается углом, под которым она подходит к диаметральной плоскости. Значение этого угла, соответствующее минимуму сопротивления, зависит как от относительной скорости судна, так и от ряда других факторов, а именно от положения центра всплытия по длине судна, отклонения линий в ширине и т. д.

На полных тяжелодесантных судах угол заострения грузовой затерлинины в зоне опасности  $\phi_s$ , отсчитанный за один борт, достигает  $32^{\circ} \rightarrow 36^{\circ}$ . Уменьшаясь с увеличением относительной скорости судна, он падает до  $6^{\circ} \rightarrow 8^{\circ}$  при числах Фруда порядка  $Fr = 0,30 \rightarrow 0,32$ . Оптимальные значения угла  $\phi_s$  выражают обычно в функции числа Фруда или коэффициента общей полноты судна. Однако исходя из теоретических соображений целесообразнее рассматривать это как функцию коэффициента продольной полноты носовой половины судна.

На диаграмме, представленной на рис. 6.9, кривые  $\phi_s = f(v_n)$ , проведенные сплошными линиями, соответствуют рекомендациям Вагенникского бассейна (Ван-Ламмерен, Трост, Коэнинг [81].

Интервал  $q_n = 0,725 \rightarrow 0,750$  представлен двумя рядами значений углов заострения грузовой затерлинины. При прямых затерлининах бассейн рекомендует пользоваться отрезком верхней кривой, а при вогнутых затерлининах — отрезком нижней кривой. Пунктирные линии на рис. 6.9 построены по формуле Троста—Лапа [113]  $\phi_s = 69,5 - 260q_n(1 - q_n)$ .

Кроме того, на диаграмме отмечены точки, характеризующие соотношения  $\phi_s = f(v_n)$ , принятые для моделей некоторых серий. Эти точки, как и кривая Троста—Лапа, согласуются более или менее с кривыми Вагенникского бассейна.

На рис. 6.10 кривая  $\phi_s = f(\beta)$  Линдблада и предлагаемая кривая сопоставлены с практическими точками.

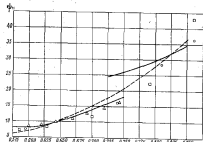


Рис. 6.9. Несовпадение углов заострения конструктивной затерлинины  $\phi_s = f(v_n)$   
 ○ — серия Шушкевич; □ — серия «ДБ»; △ — серия Дельфт-Даммерен; — — кривые по Тросту—Лапе

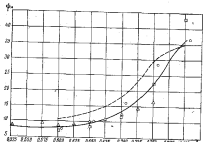


Рис. 6.10. Несовпадение углов заострения грузовой затерлинины  $\phi_s = f(\beta)$   
 ○ — серия Шушкевич; □ — серия «ДБ»; △ — серия Дельфт-Даммерен; — — кривые по Линдбладу

Приведенные диаграммы, как и другие материалы подобного рода, основываются большей частью на результатах испытаний моделей транспортных судов с отношением длины к ширине около  $L/B = 7$ . На практике же одни и те же безразмерные грузовые материалы применяются для теоретических, чертежей судов, значительно отличающихся друг от друга отношением длины к ширине. В подобных случаях с увеличением отношения  $L/B$  углы заострения увеличиваются, что допустимо лишь до известного предела.

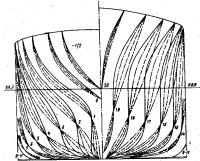


Рис. 6.11. Четыре варианта теоретического корпуса

При проектировании малых каботажных судов ( $L/B = 5 \rightarrow 6$ ) всегда неизбежно уменьшать угол  $\psi_0$  по сравнению с общепринятыми. Так, для моделей каботажных судов с коэффициентом общей полноты около 0,75, испытанных Ф. Тодом [108], уменьшение угла  $\psi_0$  вследствие применения более вертикальных шпангоутов при одинаковом уменьшении высотности грузовой ватерлинии позволяло снизить сопротивление примерно на 20% по сравнению с сопротивлением исходной модели. Тот же автор отмечает, что при числах Фруда и соотношениях, характерных для военных кораблей, оптимальные углы заострения грузовой ватерлинии близки  $\psi_0 = 10^\circ$ .

Однако, как это следует из работы Дж. Хью и Х. Иэ [170], для моделей быстроходных кораблей серии «64» при отношении

$L/B \approx 10,0$  угол заострения грузовой ватерлинии был принят равным  $\psi_0 = 6,5^\circ$ .

Формы косовых шпангоутов. На рис. 6.11 показаны четыре варианта теоретического корпуса, дающие представление о так называемых V-образных, умеренно V-образных, умеренно U-образных и U-образных шпангоутах. Рисунок заимствован из работы Е. Фрейзингера и Х. Ландгребса [62], восьмидесятый исследование вопроса о влиянии формы шпангоутов на сопротивление и пропульсивные качества судна с коэффициентом полноты  $\delta = 0,675$ .

Формы шпангоутов в значительной мере определяются формой строевой по шпангоутам и грузовой ватерлинии. В носовой оконечности разновидности V-образных шпангоутов хорошо согласуются с выпуклыми и прямыми ватерлиниями, а разновидности U-образных шпангоутов — с вогнутыми ватерлиниями.

Изменение формы косовых шпангоутов в пределах, представляющих практический интерес, мало сказывается на сопротивлении. С другой стороны, V-образные шпангоуты позволяют обычно несколько снизить амплитуду продольной качки на взлобованном море и улучшить в этих условиях ходкость судна. Поскольку, кроме того, U-образные шпангоуты сочетаются в носовой оконечности с плоскими днищами, имеются основания предпочесть V-образные шпангоуты, учитывая риск повреждения корпуса при склонении. Шпангоуты промежуточного типа (UV) рассматриваются как разумный компромисс для средних условий океанского плавания. В табл. 6.3, составленной из данных диаграмм в работе В. М. Штукифа [443], приведены значения удельного сопротивления моделей с коэффициентами  $\delta = 0,6; 0,7; 0,8$  при V-образных, V-образных и промежуточных обводах. Варианты сопоставлены при подходящих сочетаниях коэффициента общей полноты и числа Фруда и наиболее выгодном в каждом частном случае положение центра величины.

Таблица 6.3

Удельное сопротивление моделей в зависимости от форм косовых шпангоутов

Коэффициент $\delta$ и число Фруда $F_F$	Форма косовых шпангоутов	$x_T$	$\frac{S}{D}$
$\delta = 0,6$ $F_F = 0,35$	U-образная	-1,25	4,00
	UV-образная	-1,80	4,65
	V-образная	-1,25	4,00
$\delta = 0,7$ $F_F = 0,35$	U-образная	-0,48	2,54
	UV-образная	-0,29	2,56
	V-образная	-0,20	2,60
$\delta = 0,8$ $F_F = 0,35$	U-образная	+2,00	2,02
	UV-образная	+1,66	2,06
	V-образная	+1,70	1,98

На табл. 6.3 следует, что в рассматриваемом случае минимальное сопротивление отмечалась U-образная модель с коэффициентом  $\delta = 0,7$  и V-образная модель с коэффициентом  $\delta = 0,8$ , однако износостойкость в сопротивлении же превосходила 1–2%.

Удидальное сопротивление U- и V-образной моделей с коэффициентом  $\delta = 0,60$  оказалось одинаковым. В двух случаях сопротивление моделей промежуточного типа превосходило сопротивление U- и V-образных моделей.

В качестве второго примера ниже приведены заменявшиеся из книги А. Линдблада [19] значения адмиралтейского коэффициента для двух моделей грузовых судов с коэффициентом  $\delta = 0,75$ . Сравнительные модели имели умеренно V-образную и умеренно U-образную форму. При числе Фруда  $Fr = 0,193$ , соответствующем эксплуатационной скорости хода, в два более высоких числах Фруда адмиралтейские коэффициенты  $C_{Df}$  и  $C_{Dv}$  обеих моделей оказались практически одинаковыми. При меньших числах Фруда V-образная модель отличалась меньшим сопротивлением:

$Fr$	$C_{Df}$	$C_{Dv}$
0,118	0,645	0,672
0,154	0,683	0,689
0,178	0,689	0,688
0,193	0,680	0,686
0,200	0,712	0,710
0,223	0,703	0,708

Носовые шпангоуты современных транспортных судов океанского плавания придают большей части умеренно U-образную или умеренно V-образную форму. Малые каботажные суда, отличающиеся меньшими отношениями  $L/B$ , имеют обычно более размытые шпангоуты. Носовые шпангоуты небольших рыболовных судов придают большей части резко выраженную V-образную форму. Это является следствием малых значений отношения  $L/B$  и больших коэффициентов волнения грузовой затяжки.

В носовой оконечности шпангоуты должны иметь достаточный развал в надводной части для уменьшения валиковости. Развал должен начинаться не слишком близко от грузовой затяжки для того, чтобы на изолированном море при погружении носовой оконечности в воду действующая затяжка сохраняла достаточную остроту.

На судах современной постройки форштевень в надводной части делают наклонным, причем угол наклона достигает 15–30°. Наклонный форштевень позволяет заострить затяжку на носовой, что несколько уменьшает бурун в носовой оконечности. Кроме того, наклонный форштевень оказывает благоприятное влияние на кильевую линию, поскольку при такой конструкции плавающие кильприни быстро возрастают при погружении носа в воду, а встречная волна меньше деформируется. Наконец, применение наклонного форштевня повышает безопасность судоходства, так

как при столкновении судов пробоны от удара наклонным штевнем располагаются выше, чем при ударе вертикальным штевнем.

В надводной части (рис. 6.12) либо сохраняют кильевую форму штевня; главно сопротивляя последний с кильевой линией, либо же делают его почти вертикальным. С точки зрения сопротивления обе формы примерно равнозначны. Первая несколько выгоднее при продольной качке, вторая при достаточной жесткости днища и носовой оконечности несколько снижает гидродинамические удары.

При форштевне, имеющем склон в подводной части, носовая килевая гарнитура в известной мере смягчается при подходе к диаметральной плоскости и прилегает к ней под менее острыми углами. Вследствие этого гидродинамический процесс постройки судна несколько упрощается.

Крейсерские и пассажирские корабли. Еще недавно гидроавтоматы суда строили исключительно с крейсерской корой, а пассажирскую кору применяли на военных кораблях и морских катерах.

Целесообразность применения трапециевидной коры на быстroredых судах обусловлена тем, что при высоких скоростях хода струи, обтекающие крейсерскую кору, покидают судно под большим углом к горизонту. Это вызывает подъем воды за корой, но что затрагивается дополнительная энергия. Кроме того, при трапециевидной форме возрастает эффективная длина судна и отрытая пограничный слой концентрируется в непосредственной близости от транца.

При проектировании быстroredых судов Х. Саундерса [103] рекомендует определять глубину погружения транца  $\lambda_{tr}$  по формуле

$$Fr_{tr} = \frac{a}{V g \lambda_{tr}} = 4,0 \div 5,0,$$

где  $Fr_{tr}$  — число Фруда, относенное к величине  $\lambda_{tr}$ . Если принять  $Fr_{tr} \approx 4,5$ , погружение транца получается равным

$$\lambda_{tr} = \frac{a^2}{B_{tr}},$$

Судя по монографии Х. Саундерса, можно выразить размеры транца быстroredых судов следующими формулами:

$$A_{tr} > 0,25T; f_{tr} > 0,15 \Omega;$$

$$B_{tr} = (0,8 \div 0,9) B,$$

где  $A_{tr}$  — глубина;  $f_{tr}$  — площадь;  $B_{tr}$  — ширина погруженной части транца.

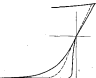


Рис. 6.12. Типичные формы форштевней

К числу достоинств трапециевидной коры, не зависящих от типа судна, следует отнести увеличение площади палуб и некоторое упрощение технологии постройки судна.

Независимо от скорости хода в некоторых типах современных судов трапециевидную кору применяют исходя из эксплуатационных условий. В частности, с трапециевидной корой строят транспортные суда, если грузовые операции осуществляются с корытом (трейлерные суда, автомобильные паромы). На рыболовных судах применяют трапециевидную кору для обеспечения возможности выбирать сети по коровому слону. В подобных случаях находят применение различные модификации трапециевидной коры — большей частью с обу-

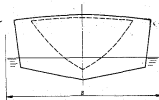


Рис. 6.13. Две модификации трапециевидной коры

женным, незначительно нависающим в воду трапецием. На рис. 6.13 такой трапеций сопоставлен с классическим трапецием. Нередко применяют также трапеции, асимметричные над уровнем воды.

В диапазоне чисел Фруда  $Fr = 0,27 \rightarrow 0,31$  незадименсиянная трапециевидная кора может оказаться выгодной для ходовых качеств судна. В качестве примера можно привести данные испытаний двух вариантов модели рыболовного траулера, заимствованные из работы Г. Томсона и Р. Паттулара [67]. Элементы траулера:  $D = 847 \text{ t}$ ;  $L = 48,1 \text{ м}$ ;  $b = 6,571$ ;  $\bar{b} = 0,885$ ;  $\varphi = 0,645$ ;  $L/B = 5,7$ ;  $B/T = 2,0$ . По словам авторов работы, такие траулеры эксплуатируются при скорости хода, которой соответствует число Фруда  $Fr = 0,30$ .

В табл. 6.4 приведены значения коэффициентов взаимодействия в пропульсивных коэффициентах сопоставляемых вариантов траулера при числе Фруда  $Fr = 0,303$ . Адмиралтейские коэффициенты и значения мощности в диске винта в зависимости от числа Фруда указаны в табл. 6.5. Величины, относящиеся к траулерам с крейсерской и трапециевидной корой, отмечены в таблицах индексами «к» и «т» соответственно.

Таблица 6.4

Коэффициенты, характеризующие пропульсивные качества траулера с крейсерской и трапециевидной корой

Коры	$i$	$\eta$	$\eta_k$	$\eta_t$	$i$	$\eta_{\text{тр}}$
Крейсерская	9,168	0,176	1,006	0,683	1,034	0,764
Трапециевидная	0,190	0,178	0,985	0,681	1,075	0,723
$\Delta, \%$	+12,4	+1,1	-2,1	—	+6,0	+2,4

Таблица 6.5

Адмиралтейские коэффициенты и мощность в диске винта  
вариантов траулера с крейсерской и трапециевидной корой

Параметры	При числах Фруда			
	0,28	0,30	0,305	0,31
$\frac{\eta}{\eta_k}$	0,811	0,969	1,220	1,498
$\frac{\eta}{\eta_t}$	0,683	0,945	1,259	1,459
$\Delta, \%$	+2,7	+9,5	+6,6	+2,0
$\eta_k$	306	458	844	1192
$\eta_t$	297	448	767	1208
$\Delta, \%$	-1,6	+9,5	+6,7	+0,1

Таблицы показывают, что в рассматриваемом случае траулера с трапециевидной корой оказался несколько выгоднее по боксировочному сопротивлению и пропульсивному коэффициенту. Суммарный шпангоут достигает 4,3–6,7% в интервале чисел Фруда  $Fr = 0,28 \rightarrow 0,31$ . При сравнительных высоких числах Фруда применение трапециевидной коры не сопровождалось снижением мощности на винте.

Закрытая и открытая коры. На судах длина коренного подзора на уровне первых палубы при крейсерской и трапециевидной коре не выходит большей части из пределов  $(0,035 \rightarrow 0,045) L$ . На судах с крейсерской корой длина коренного подзора на уровне грузовой кaterпиллерии обычно равна  $(0,015 \rightarrow 0,030) L$ .

Варианты коры закрытого и открытого типов показаны на рис. 3.3 и 3.4. Для ходовых качеств судна более выгодна кора открытого типа.

На однокингстоновых и двухキングстоновых судах V-образные шпангоуты в корневой оконечности наиболее выгодны по сопротивлению, а для уменьшения мощности на валу шпангоуты однокингстоновых судов выгоднее придавать умеренно U-образную или умеренно V-образную форму. Первые имеют преимущества при малых, а вторые при больших числах оборотов гребного винта. В обоих случаях обязан ахтерштевня следить применять резко выраженные U-образные шпангоуты, что улучшает условия подтекания воды к винту. Для сокращения длины машинного отделения на однокинг-

товых судах с корицным расположением механизмов никогда применяют резко выраженные U-образные шпангоуты на более длинном участке кормовой оконечности.

Сведения о форме киеваний в кормовой оконечности приведены в § 3 главы первой.

#### § 6.4. Упрощенные обводы

На первых морских судах с упрощенными обводами шпангоуты были образованы отрезками прямых линий. Такие обводы применялись на некоторых типах стандартных судов, которые были построены во время первой мировой войны крупными сериями для пополнения больших потерь в тоннаже транспортного флота. Упрощение обводов позволяло значительно ускорить постройку и увеличить выпуск транспортных судов.

Исследование ходности судов с подобными обводами посыпало ряд работ, выполненных во время войны и в послевоенные годы в Советском Союзе и заграницей.

На рис. 6.14 приведен теоретический корпус траулера первого серии постройки Северной верфи. Такой траулер был принят в качестве прототипа при проектировании серии моделей. Теоретический корпус модели с упрощенными обводами, концепция в эту серию, приведен на рис. 6.15.

Испытания моделей этой серии описаны в главе XIII книги автора<sup>2</sup>.

Элементы обводов траулера:  $L = 49,0$  м;  $B = 9,0$  м;  $T = 3,82$  м;  $T_s - T_n = 1,0$  м;  $V = 960$  м<sup>3</sup>;  $\delta = 0,570$ ;  $\beta = 0,845$ ;  $\varphi = 0,675$ ;  $\alpha = 0,811$ ;  $x_0 = 0,71$  м;  $L/B = 5,44$ ;  $B/T = 2,35$ .

Ниже приведены значения балластовой массости, относящиеся к голому корпусу материнского судна (№ 1 — судно-прототип; № 2 — судно с упрощенными обводами):

Скорость $a$	8	9	10	11
Судно № 1	80	129	225	331
Судно № 2	71	124	217	338
Приращение $\Delta, \%$	-11,3	-10,8	-3,6	+2,1

При скорости хода  $a = 10,0 \rightarrow 10,5$  уз (Ft = 0,234–0,246), характерной для траулеров рассматриваемого типа, оба судна оказались приблизительно равнозначны.

В работе Н. Диокона<sup>3</sup> изложены результаты испытаний двух серий моделей грузовых судов с коэффициентами общей полноты  $\delta = 0,71$  и  $\delta = 0,82$  (серии «D1» и «E2»). В первую из них вошли: основная модель A-71 с традиционными обводами и упрощен-

<sup>2</sup> Кек И. К. Обводы корпуса грузовиков к данным для определения сопротивления ходу, гл. XIII в кн.: Когдя Л. М. Рабочие модели траулеров. Л., Гостехиздат, 1938.

<sup>3</sup> Джонсон Н. В. Experiments with Straight Framed Ships. RINA, 1964, vol. 106, N 2, p. 297–311.

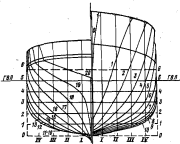


Рис. 6.14. Теоретический корпус траулера PT-82

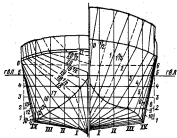


Рис. 6.15. Теоретический корпус траулера упрощенной формы

ные модели В-71; С-71; Д-71. Элементы моделей серии «71» в пересете на натуре:  $L = 121,9$  м;  $B = 17,07$  м; осадка нормальная  $T = 7,11$  м; осадка максимальная  $T = 7,69$  м. При минимальной осадке  $D = 10\,540$  т;  $\delta = 0,712$ ;  $\beta = 0,975$ ;  $\varphi = 0,750$ ;  $x = -0,18\%$ . При максимальной осадке:  $D = 11\,390$  т;  $\delta = 0,721$ ;  $\beta = 0,976$ ;  $\varphi = 0,739$ ;  $x = -0,37\%$ .

Теоретические корпуса моделей А-71 и В-71 приведены на рис. 6.16 и 6.17. Обе модели имеют практическое одинаковую структуру по шпангоутам. Число изломов на модели В-71 не превышает трех. Модели С-71 и Д-71 спроектированы со все возрастающей степенью упрощения, что выражается в уменьшении числа изломов.

При осадке  $T = 7,11$  м и числе Фруда  $Fr = 0,214$ , характерном для более острого судна, сопротивление модели В-71 оказалось на 2,9% меньшим, чем сопротивление модели с традиционными обводами. Сопротивление же моделей С-71 и Д-71 превосходили сопротивление модели А-71 соответственно на 5,3 и 50,3%.

При осадке  $T = 7,59$  м модели А-71 и В-71 оказались равновесными по сопротивлению. Сопротивление же двух других моделей возросло по сравнению с сопротивлением модели А-71 соответственно на 9 и 56,5%.

По мощности в диске винта модель В-71 при осадке  $T = 7,11$  м оказалась на 4,7% лучше модели А-71, а при осадке  $T = 7,59$  мощность модели В-71 возросла на 1% по сравнению с мощностью модели А-71.

К противоположным результатам привели испытания более полных моделей серии «82». При минимальной осадке сопротивление упрощенных моделей этой серии увеличилось на 19%, а при больших осадках на 17–20% по сравнению с прототипом. Так же значительно изменилась и мощность в диске гребного винта.

В качестве общего вывода из рассмотренных испытаний отметим, что при малых и умеренных коэффициентах общей полноты оказалось возможным спроектировать модели с упрощенными обводами, приблизительно равновесные или даже несколько превосходящие по ходовым качествам модели с традиционными обводами. Для получения благоприятных результатов необходимо, чтобы кромочные линии (линии изломов) совпадали с линиями тока воды.

Дальнейшее упрощение обводов сводится к сокращению ряда плоскостей. По этому пути пошли авторы системы «Пионер», охватывающей ряд вариантов судна с плоскостными обводами. При одинаковой ширине и высоте борта варианты судна отличаются длиной, изменение которой осуществляется путем изменения длины цилиндрической плавации.

На рис. 6.18 приведен теоретический чертеж одного из вариантов судна типа «Пионер», заимствованый из статьи Ф. Зандмана и Ц. Галльса [101]. Корпус судна состоит из пяти частей: носовой, средней, кормовой и двух промежуточных. Обе промежуточные части взаимозаменяемы (правая бортовая секция носовой промежуточ-

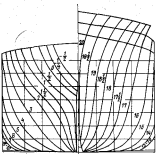


Рис. 6.16. Теоретический корпус модели А-71

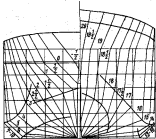


Рис. 6.17. Теоретический корпус модели В-71

кой секции и левая бортовая секция кормовой промежуточной части идентичны).

По словам авторов статьи, испытания моделей показали, что при правильном расположении плоскостей, угол между которыми не должен превосходить определенной величины, судно с плоскостворчатыми обводами не уступает или же несколько превосходит по ходовым качествам судно с традиционными обводами.

Далее авторы статьи указывают, что коэффициенты попутного потока  $\alpha = 0,25 \rightarrow 0,30$  судов типа «Пионер» не выходят за обыч-

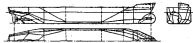


Рис. 6.18. Технический чертеж судна типа «Пионер»

ных пределов при принятом коэффициенте общей полноты. Коэффициент же засасывания  $I = 0,10$  оказался необычно малым. Это позволило реализовать высокие противульсационные коэффициенты.

#### 5.6. Бульбовые и цилиндрические обводы в косовой оконечности судна

**Общие указания.** Бульбовые утолщения носовых шпангоутов создают дополнительную систему корабельных волн. При правильно спроектированных бульбах благоприятная интерференция этих волн с основной системой носовых корабельных волн снижает общее волновое сопротивление судна и интенсифицирующего устройства бульбы. Влияние в сопротивлении становится существенным в интервале чисел Фруда  $Fr = 0,25 \rightarrow 0,35$ , достигая максимума приблизительно при  $Fr = 0,30$ .

В настоящее время бульбовые шпангоуты применяют также на пограничных тихоходных транспортных судах. В этом случае бульбовые шпангоуты позволяют заострить носовую оконечность судна выше бульба, что при сохранении измененных водонаполнения приводит к снижению волнового сопротивления. Это приобретает существенное значение на протяжении балластных переходов, когда возрастают доля волнового сопротивления в общем сопротивлении воды движению тихоходных судов. При грузовой и балластной осадке скапливается также снижение сопротивления формы вследствие уменьшения вынужденного колебания в косовой оконечности.

Форма бульбовых утолщений очень разнообразна. Будем различать в соответствии с рис. 6.19, заимствованном из работы Г. Хемеля и К. Лабеса 1981, следующие разновидности бульбов:

1. Таранный бульб с поперечными сечениями в виде окружности. В ход от перпендикуляра цилиндрическая часть бульба ограничивается либо сферической поверхностью, либо более выпуклой в продольном направлении эллипсоидальной поверхностью. В крайнем случае длина цилиндра может обращаться в нуль.

В корму от носового перпендикуляра при переходе в основной корпус диаметр поперечных сечений либо сохраняется постоянным,

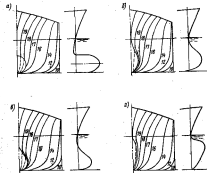


Рис. 6.19. Носовые бульбы: а — таранной; б — цилиндрический; в — гравитационный; г — типа SV

либо постепенно уменьшается (цилиндрическая поверхность заменяется конической). Поперечные сечения бульба согражаются со шпангоутами либо без переходных закруглений, либо с минимальными закруглениями.

2. Цилиндрический бульб характерен поперечными сечениями, склонен сопротивляющимся со шпангоутами.

3. Гравитационный бульб отличается от цилиндрического меньшей килеватостью и более низким расположением экстремальной точки в сечении по диаметральной плоскости.

4. Бульб типа SV Майера имеет клиновидное поперечное сечение и подрезанную носовую кромку.

Влияние бульбовых шпангоутов на сопротивление зависит от формы и размеров бульба. Размеры бульба характеризуют его относительной площадью на носовом перпендикуляре  $f_b/Q$ , измеренной в долях площади мидель-шпангоута, и относительной длиной бульба  $L_b = L_b/L$  (считая от носового перпендикуляра), измеренной в долях длины судна между перпендикулярами. Взаимные уравнения, определяющие влияние бульбовых утолщений, являются в основном скоростью судна и его осадка в грузу и балласте.

Бульбовые обводы слегка проектируются как одно полое. Наруживание бульба на готовый корпус может привести к возрастанию сопротивления.

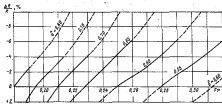


Рис. 6.20. Влияние носового бульба на сопротивление воде движения судна по Сильверлифу и Даусону

Оценка целесообразности применения бульбовых шпангоутов той или иной формы и размеров, необходимо учитывать влияние бульба на стоимость корпуса, а также называемое им ухудшение условий швартовки и усложнение киорного устройства. Существование влияния имеет также вопрос о влиянии формы бульба за условия, воспринимаемые корпусными конструкциями при следовании.

Об эффективности бульбовых шпангоутов можно в известной мере судить по диаграмме Сильверлифа и Даусона [102] с кривой достоинственного снижения сопротивления  $\Delta R/R = f(\text{Fr}, b)$ . Эта диаграмма, действительная при относительной площади бульба  $f_b/Q = 5\%$ , воспроизведена на рис. 6.20 с экстраполированными участками краевых, вычерченных пунктиром. В таком виде она была опубликована в работе Л. М. Ногида и А. В. Бронникова [23].

На основании диаграмм, приведенных в работе Д. Мура [89], можно выразить отрицательное или положительное пра-

мяе сопротивления  $\Delta R/R$ , % (см. упомянутую работу Л. М. Ногида и А. В. Бронникова), формулой

$$\frac{\Delta R}{R} = 0,2 \frac{f_b}{Q} \frac{\Delta R_s}{R}, \quad (6.6)$$

где  $\Delta R_s/R$  — приращение сопротивления (в %) при относительной площади бульба  $f_b/Q = 5\%$ .

Цилиндрические обводы применяют на крупных танкодесантных судах (нефтекоках и рулевозах) с отношением  $L/B \approx 6,3 \rightarrow 6,5$  и эксплуатационными скоростями, соответствующими числом Фруда  $\text{Fr} < 0,20$ . При коэффициентах общей полноты  $\delta > 0,82$  подобные

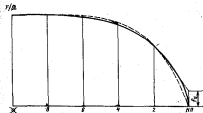


Рис. 6.21. Строение во шпангоутам

— обводы с цилиндрическими краями;  
- - - - обводы с традиционными обводами.

обводы позволяют получать более благоприятные по сопротивлению результаты, чем на судах с традиционными и бульбовыми обводами.

На первых судах с цилиндрическими обводами шпангоуты в продольную от скобы до грузовой ватерлинии представляли собой отрезок вертикальных прямых. Ватерлинии же обводы форштевня заканчивались дугами окружности. В настоящее время на судах с цилиндрическими обводами носовые шпангоуты придают большей частью традиционную форму. Взятие носового перпендикуляра применяют также узкаяющиеся книзу шпангоуты. Форма же ватерлиний сохраняется прежней.

Как показано на рис. 6.21, скрутжение ватерлиний в носовой оконечности позволяет уменьшить их наклон в корму от скрутления.

Характер строевой во шпангоутам судов с цилиндрическими обводами определяется в значительной мере коэффициентом про-

дольной полноты носового заострения и коэффициентом цилиндрическости  $f_c = F_{\pi}/\Omega^2$ , который выражает фактическую площадь поперечного сечения  $F_{\pi}$  в носовом перпендикуляре, подсчитанную в предположении, что кормовые не имеют скруглений (см. рис. 6.21).

Применение бульбовых амортизаторов на быстродвижущихся грузопассажирских и роликовских судах. В отмеченной работе Г. Хенкеля и К. Лабеса [68] изложены результаты испытаний в бассейне ГДР моделей однотипных быстродвижущихся транспортных судов без бульб и с носовыми бульбами различной формы и размеров. Основная модель относится к судну со следующими размерами:  $L = 165,0$  м;  $B = 23,6$  м;  $T = 9,34$  м;  $V = 20\,000$  м<sup>3</sup>;  $\delta = 0,550$ ;  $\varphi = 0,566$ ;  $\beta = 0,972$ ;  $x_0 = 1,5\%$  от  $L$ . Испытания моделей с бульбами утолщением схватывали диапазон скоростей, соответствующий скорости судна  $v = 18 + 26$  уз ( $Fr = 0,23 + 0,33$ ).

Остальные модели соответствовали судам, отличающимся главными размерениями и коэффициентами теоретического чертежа ( $L = 124,0 + 160$  м;  $V = 7685 + 19\,400$  м<sup>3</sup>;  $\delta = 0,550 + 0,580$ ).

Испытания основной модели проводились с бульбами утолщением 9 типов и 33 типоразмеров при нескольких осадках.

Приведен краткие основные выводы, сформулированные в работе [68].

1. При осадке судна по конструктивную затерпливину и скорости хода  $v > 20$  уз ( $Fr > 0,26$ ), применение бульбовых обводов вместо триангуляции, оказалось возможным снизить мощность энергетической установки на 5–10% или же увеличить скорость хода на 0,4–0,7 уз. Одновременно при балластной осадке скорость хода уменьшалась на 1–2 уз.

2. При осадке судна по конструктивную затерпливину выигрыши в сопротивлении возрастали по мере увеличения относительной площади бульба  $f_b = F_b/\Omega^2$ . С другой стороны, по мере утолщения этого отношения ухудшались показатели судна в балластных пробегах.

3. В тех случаях, когда относительная площадь бульба сохранилась неизменной, форма бульба сравнительно мало влияла на сопротивление судна в полном грузу. Скакунов распространяется также на бульб типа SV, однако последний в отличие от других бульб почти не увеличивал сопротивление на протяжении балластных пробегов.

4. Для таранных бульб выпнутая эллиптическая головка оказалась выгоднее сферической. Утонение таранного бульба в корму от носового перпендикуляра привносило неизлечимый выигрыш в балластных переходах при высоких скоростях хода. В остальных случаях утонение бульба сопровождалось увеличением сопротивления.

5. Длина бульба мало сказывалась на его эффективности. При осадке судна по грузовую затерпливину оптимальная длина бульба изменялась в зависимости от его формы, но выходя большей частью из пределов  $l_b = 2,5 + 5,0$ .

При балластной осадке утолщение бульба обычно проводило к уменьшению сопротивления.

В табл. 6.6 и 6.7 приведены данные, характеризующие достоверное снижение остаточного сопротивления при бульбовых носовых обводах в зависимости от водоизмещения судна, скорости хода, типа и размеров бульба. Большое водоизмещение соответствует осадке в полном грузу, а меньшее – осадке (с дифферентом на корму) в балластном пробеге. Буквами Т, Г, К в таблицах обозначены таранный, грушевидный и каплеобразный бульбы.

Таблица 6.6

Влияние формы бульба на остаточное сопротивление

Водоизмещение судна, т, м <sup>3</sup>	Тип бульба	Размеры бульба, %		Изменение остаточного сопротивления, %, при чистом форсе Fr		
		$f_b$	$l_b$	0,30	0,20	0,10
20 000	Т	9,0	4,0	-20,7	-21,3	-22,6
	Г	9,0	3,4	-23,9	-22,3	-22,6
	К	9,0	3,2	-20,7	-21,3	-22,7
10 800	Т	15,0	4,0	+111,0	+67,0	+39,0
	Г	15,0	3,4	+92,0	+57,0	+35,0
	К	15,0	3,2	+63,0	+36,0	+27,0

Таблица 6.7

Влияние формы в длине бульба на остаточное сопротивление

Водоизмещение судна, т, м <sup>3</sup>	Тип бульба	Размеры бульба, %		Изменение остаточного сопротивления, %, при чистом форсе Fr		
		$f_b$	$l_b$	0,10	0,20	0,30
20 000	Т	9,0	4,0	-20,7	-21,3	-22,6
	SV	6,0	2,5	-33,7	-14,0	-15,1
	К	3,0	1,4	-6,5	-6,4	-6,3
10 800	Т	15,0	4,0	+111,0	+67,0	+39,0
	SV	10,0	2,5	+11,3	-3,0	+0,8
	К	5,0	1,4	+6,5	-5,4	-3,9

Из табл. 6.6 следует, что при осадке судна по грузовую затерпливину применение таранного, грушевидного и каплеобразного бульб позволяло снизить остаточное сопротивление приблизительно на 21–23% в зависимости от типа бульба и относительной скорости хода. При посадке же судна, соответствующей балласт-

ных переходах, каплеобразный бульб приводит к меньшему возрастанию сопротивления, нежели два других бульба.

Поскольку зависимость длины бульба оказывает незначительное влияние на сопротивление, эффективность бульба при осадке судна по грузовому водоизмещению, как это следует из табл. 6.6, практически возрастает пропорционально относительной площади бульба. Таким образом, рассмотренные экспериментальные материалы подтверждают возможность применить формулу (6.5) при определении сопротивления быстроходных судов с бульбовыми обводами.

В работе Л. Дж. Даусти [158] освещены результаты исследований ходовых испытаний траулера с традиционными обводами и бульбовым носом. Элементы траулера:  $L = 32,0$  м;  $b = 0,543 \pm 0,046$ ;  $\varphi = 0,57 \rightarrow 0,60$ . Площадь бульба  $f_0/2 = 5\%$ .

При бульбовых обводах мощность, потребляемая гребным винтом на тихой воде, снижалась в зависимости от скорости хода на 10–15%.

Преимущества траулера с бульбовыми обводами качественно сохранились также на волнении. Имеются, однако, основания предполагать, что при некоторых значениях относительной длины зоны  $\lambda/L$  применение носового бульба может привести к возрастанию сопротивления.

Буксировочные испытания моделей траулера на тихой воде, проведенные Г. Томсоном и Р. Паттулло [107], относятся к пересету на натуре к судам длиной  $L = 45,7$  м и коэффициентам  $\delta = 0,541$  и  $\varphi = 0,645$  (серия BSRA). При числе Фруда  $Fr = 0,30$  сопротивление моделей с носовым бульбом площадью  $f_0/2 = 5 \pm 15\%$  снизилось по сравнению с моделью траулера-прототипа на 7–10%.

В выступлении по докладу этих авторов Дж. Траунг привел данные испытаний двух моделей траулера с бульбовым носом и традиционными обводами. Обе модели имели одинаковые главные размерения и водоизмещение, а также одинаковый коэффициент продольной полноты  $\varphi = 0,575$ . При всех прочих одинаковых условиях (на тихой воде и на волнении) мощность на винте модели с бульбовым носом ( $f_0/2 = 0,1$ ) оказалась значительно выше мощности модели с традиционными обводами.

Дж. Траунг объяснил это обстоятельство меньшим коэффициентом продольной полноты его модели по сравнению с моделями Даусти в BSRA. Имеются, однако, основания предполагать, что обводы модели с бульбовым носом были неудачны, так как уменьшение коэффициента продольной полноты должно было лишь снизить выигрыш от применения бульба, но (теоретически) не могло привести к увеличению сопротивления.

Тихоходные суда с бульбовыми и цилиндрическими обводами. Как известно, волновое сопротивление крупных тихоходных судов с традиционными обводами составляет приблизительно 14–20% от полного сопротивления. Судя по рис. 6.22, заимствованному из работы В. М. Штумпфа, А. Ф. Пустошного и Ю. С. Базилевского

[104], применимую для тихоходных судов с коэффициентами  $\delta = 0,80 \rightarrow 0,85$  бульбовые или цилиндрические обводы (смотри по тому, что выгоднее), можно снизить отношение  $\frac{C_w}{C_w}$  волнового сопротивления к полному до 5–8%.

На рис. 6.23, заимствованном из той же работы, приведены кривые коэффициентов полного сопротивления  $\delta = f(Fr)$  судов с традиционными, бульбовыми и цилиндрическими обводами при осадке во конструктивную палубу. Кривые, относящиеся к судну длиной  $54,8$  м (800'), показывают, что при коэффициенте  $\delta = 0,80$  выгодно применять бульбовые, а если  $\delta = 0,85$ , — цилиндрические обводы.

Авторы указывают также, что в интервале отношений  $L/B = 6,5 \rightarrow 6,8$  следует отдавать предпочтение цилиндрическим обводам в тех случаях, когда коэффициент общей полноты пре超ходит  $\delta = 0,83 \pm 0,84$ . По мере снижения отношения  $L/B$  уменьшается значение коэффициента  $\delta$ , начиная с которого выгодно применять цилиндрические обводы.

Как следует из рис. 6.24, для судов с коэффициентом  $\delta = 0,85$  наиболее выгоден на протяжении балластных переходов винт до числа Фруда  $Fr = 0,19$  таранный бульб.

В рассмотренной работе освещен также вопрос о влиянии засторения ватерлиний в носовой оконечности на сопротивление тихоходных судов. Результаты, полученные по этому вопросу, основанные на данных испытаний серии моделей с коэффициентом  $\delta = 0,75$ . При одинаковом водоизмещении модели несколько отличались друг от друга длиной. По мере удлинения моделей засторялась грузовая ватерлиния, которая на танкер-прототипе длиной  $DW = 30\,000$  т подходит к диаметральной плоскости под углом  $\psi = 35^\circ$ . Наиболее выгодной оказалась модель, удлиненная на 1,3% с углом  $\psi = 22^\circ$ . Скорость этой модели в пересете на натуре увеличилась на 0,5 уз. Это соответствует 75% выигрыша, реально полученного для танкера-прототипа путем применения таранного бульба с относительной длиной  $l_0/L = 0,027$ .

В работе Дж. Мунтьеверфа [93] приведены данные испытаний в голландском опытном бассейне серии моделей с цилиндрическими обводами. Модели, отличавшиеся коэффициентом общей полноты

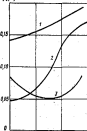


Рис. 6.22. Зависимость величины  $\frac{C_w}{C_w}$  от коэффициента  $\delta$  в форме обводов: традиционных (1), бульбовых (2), цилиндрических (3).

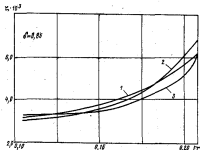
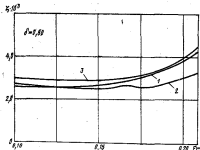


Рис. 6.25. Кривые  $C \cdot 10^3 = f_w / f_D$  танкеров с коэффициентами  $\delta = 0,80$  и  $\delta = 0,85$  при конструктивной осадке  
1 — с гидродинамическими обводами; 2 — с бульбозами носом; 3 — с цилиндрическими обводами

и показателем цилиндричности, имели одинаковые соотношения габаритных размерений  $L/B = 6,5$ ;  $B/T = 2,65$ .

В оставшем можно охарактеризовать модели следующими показателями:

$\delta$	$\beta$	$\psi$	$x, \text{м}$
0,800	0,994	0,905	1,65—1,70
0,825	0,994	0,890	2,10—2,14
0,850	0,994	0,875	2,80—2,83

Модели с каждым из отмеченных коэффициентов общей полноты были изготовлены в четырех вариантах, отличавшихся показателем цилиндричности  $f_a = 0, 0,07, 0,11, 0,15$ . Данные испытаний

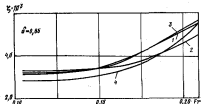


Рис. 6.26. Кривые  $C \cdot 10^3 = f_w / f_D$  танкеров с коэффициентом  $\delta = 0,85$  при балластной осадке

Базовая кривая 1 — с гидродинамическими обводами; 2 — с бульбозами носом;  
3 — с цилиндрическими обводами; 4 — с торпедообразными обводами

моделей с коэффициентами  $\delta = 0,800$  и  $\delta = 0,825$  относили к судам длиной  $L = 182,9$  м (600 фут), характерной для крупных рудовозов. Наряду с этим к длине судна  $L = 242,7$  м (800 фут), более характерной для крупных танкеров, относили результаты испытаний моделей с коэффициентами  $\delta = 0,825$  и  $\delta = 0,850$ .

На рис. 6.25 приведены кривые оптимальных значений показателя цилиндричности при двух вариантах изменения в зависимости от числа Фруда и коэффициента общей полноты. Для оптимальных соотношений из рис. 6.26 представлены кривые относительного снижения эффективной мощности  $\Delta W/W$  (в %) в зависимости от тех же параметров.

Прирассенные данные показывают, что для судна длиной  $L = 242,7$  м при коэффициенте  $\delta = 0,825$  применение цилиндрических обводов с показателем цилиндричности  $f_a = 0,105$  позволяет снизить на 7,5% мощность буксировки при скорости хода  $v = 16$  уз ( $Fr = 0,168$ ). Оптимальный показатель цилиндричности возраст-

тает с увеличением числа Фруда и коэффициента общей полноты моря.

В табл. 6.8 приведены данные об изменении мощности в диске винта  $N_d$  в зависимости от скорости хода при коэффициентах об-

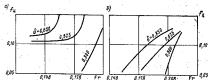


Рис. 6.25. Оптимальные значения коэффициента цилиндрическости  $j_d = f(Pr, Fr)$ : а — при полном водоизмещении судна; б — при водоизмещении, сниженном на 50%

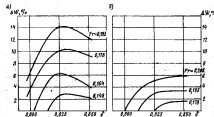


Рис. 6.26. Изменение боксировочной мощности  $\Delta W = f(\delta, Fr)$  в процентах при оптимальных значениях показателя цилиндрическости: а — при полном водоизмещении судна; б — при водоизмещении, сниженном на 50%

щей полноты  $\delta = 0,825$  ( $j_d = 0,11$ ) и  $\delta = 0,850$  ( $j_d = 0,15$ ). Таблицные данные для осадок судна в полном грузу  $T = T_{1p}$  и на протяжении балластных переходов  $T = T_4$  относятся к длине  $L = 242,7$  м. Из таблицы следует, что цилиндрические обводы несколько эффективнее снижают мощность, поглощаемую гребным винтом, чем бульбозонную мощность.

Таблица 6.8  
Изменение мощности в диске винта (в %) при цилиндрических обводах

T	$\delta$	При скоростях хода в, м/с					
		10	14	18	26	17	18
$T_{1p}$	0,825	-0,2	-3,5	-6,0	-9,2	-12,5	-16,5
$T_{1p}$	0,850	-2,5	-3,3	-5,9	-9,0	-13,5	-15,5
$T_4$	0,825	-	-	-	+7,9	+6,6	+4,7
$T_4$	0,850	-	-	-	+7,4	+6,3	+0,3
							+0,7

Примечание. Отрицательные скрещенные цифры означают снижение, а положительные — возрастание мощности бульбами.

### § 6.6. Бульбовые и антибульбовые обводы в нормальной окантовке судна

Модификации нормальных обводов, предложенные на протяжении последних десятилетий рядом специалистов, рассчитаны на более равномерное распределение скоростей потока в диске гребного винта, что обычно позволяет улучшить коэффициенты взаимодействия и увеличить пропульсивный коэффициент. Улучшение структуры попутного потока способствует также увеличению надежности работы дозвуковых гребного винта и валопровода в вибрационной зоне, что имеет большое практическое значение, особенно при тяжелом магнитожидкостном.

Увеличение пропульсивного коэффициента может не сопровождаться снижением мощности, поглощаемой гребным винтом, если одновременно возрастает сопротивление волн движению судна.

Корабль бульб. Попытки создавать эффективные бульбозонные цилинды в корневой окантовке судна предпринимались неоднократно на протяжении последних десятилетий. В Советском Союзе корабельные бульбозонные обводы были применены при постройке лесовоза ( $L = 116$  м;  $D = 9400$  т;  $\delta = 0,75$ ) и танкера ( $L = 168$  м;  $D = 26\ 000$  т).

На рис. 6.27 показаны два варианта теоретического корпуса корневой окантовки одного из проектов лесовоза с U-образными и бульбозонными обводами. В табл. 6.9 в соответст-

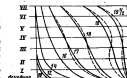


Рис. 6.27. Теоретический корпус нормальной окантовки судна с коэффициентом  $\delta = 0,75$  при традиционных обводах и корневом бульбе

Таблица 6.9

Обознач	$\Phi$	$t$	$I$	$\eta_p$	$\eta_{sp}$	$\frac{\eta_p - \eta_s}{\eta_p}$	$10^3 \frac{N_p}{D}$
Ц-образный	0,34	0,25	1,02	0,570	0,655	3,44	5,26
Выпуклый	0,36	0,26	1,02	0,583	0,700	3,47	4,65
$\Delta, \%$	+5,9	15,4	=	-0,9	+6,9	+1,0	-5,7

с результатами испытаний моделей этого судна приведены коэффициенты взаимодействия корпуса и гребного винта, а также энтропии

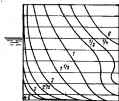


Рис. 6.28. Техречинский корпус зарядной залежи судна с концентрическими бульбами

же скорость лесовоза с бульбовой кормой увеличилась при осадке по грузовому национально на 0,25 тс.

Скорость упомянутого выше тахиера увеличилась при балластной осадке после перехода к бульбовой корабля на 0,35 уз и достигла 18,3 уз.

Концентрический бубль. Модифицированный бульб, сочетающийся с окраиной коры, называют концентрическими бульбами (англ. concentric bulb). Теоретический корпуре коры показаны сущим с концентрическими бульбами приведен на рис. 6.28, который представляет собой написанную на чертеже в работе Дж. Даусона и Г. Томсона [54].

При замесе корма закрытого типа с традиционными обводками кормой, скажем, концентрическими бульбами, сопротивление воды движению судна несколько снижается. Пропускаемый же конфигураций, судно по опубликованным исследованиям, может увеличиваться, так и уменьшаться.

В отмечавшей работе Дж. Даусона и Г. Томсона приведены данные испытаний четырех моделей судна, отличающихся формой обводов кормовой оконечности. В дальнейшем использованы лишь материалы, относящиеся к моделям с концентрическими бульбами (наиболее изогнутая модель) и моделям судна-прототипа с традиционными обводами к закрытой кормой (модели серии BSRA). Обе модели соответствовали судам со следующими элементами:  $D = 13\,040 \pm 13\,050$  т;  $L = 130$  м;  $L/B = 6,89$ ;  $B/T = 2,62$ ;  $b = 0,800$ ;  $\varphi = 0,815$ . Осадка судна в полном грузу  $T = 7,0$  м и на плавлости  $F_0 = 4,31$  м.

В табл. 6.10—6.12 сопоставлены показатели водности модели с концентрическим бульбом и исходной модели. Индексом  $\phi$  в таблицах отмечены адмиралтейские коэффициенты и значения межцепи на взвод, соответствующие исходной модели.

Таблица 4.10

Fr	B-phenyl			B-phenoxide		
	IC <sub>50</sub>	IC <sub>90</sub>	A, %	IC <sub>50</sub>	IC <sub>90</sub>	A, %
0,063	0,712	0,702	-1,4	0,880	0,817	-1,6
0,178	0,707	0,784	-1,7	0,877	0,890	-2,4
0,393	0,838	0,826	-3,7	0,943	0,910	-2,7

Из табл. 6.10 следует, что при числе Фруда  $Fr \approx 0,18$ , характерном для судов с коэффициентом  $\delta = 0,80$ , концентрический бульб позволял снизить сопротивление судна в полном грузу на 1,7%. Поскольку водоизмещение и смоченная поверхность обоян моделей судна были практически одинаковы, этот результат по-видимому получился за счет лучшего обтекания подрезиной носовой модели с концентрическим бульбом.

Как следует из табл. 6.11, коэффициенты попутного потока и засасывания  $\beta$  модели с концентрическими булыбами связанные пропорционально в одниноместной степени по сравнению с исходной моделью. Вследствие этого коэффициент влияния корпуса  $\gamma_p$  в обоих случаях оказывается одинаковым. Однако увеличение скорости воды  $v_{\infty} = a(1 - \alpha)$ , набегающей на зону, благоприятно сказалось на коэффициенте полезного действия гребного винта  $\eta_p$  модели с концентрическими булыбами. Одновременно увеличился коэффициент влияния неравномерности потока  $\ell$ , обтекающего эту модель. В конечном счете пропущенный коэффициент модели с концентрическими булыбами увеличился на 2,6%.

Вследствие снижения сопротивления и увеличения пропульсивного коэффициента (см. табл. 6.12) мощность в диске винта модели с концентрическим бульбом при характеристиках числе Фруда  $Fr = 0.175$  снижалась по сравнению с исходной моделью на 4.4 %

Таблица 6.11

Коэффициенты взаимодействия и пропульсивные коэффициенты  
вариантов судна с традиционными обводами и концентрическим бульбом

Обводы	$\alpha$	$\beta$	$\gamma_b$	$\gamma_p$	$\delta$	$\eta_{sp}$
Обычный бульбовый	0,400	0,002	1,330	0,517	1,000	0,888
	0,383	0,084	1,328	0,525	1,013	0,706
$\Delta, \%$	-1,8	-4,0	-	+1,6	+1,3	+2,6

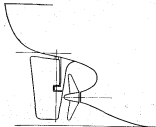


Рис. 6.26. Сигарообразный кормовой бульб

Таблица 6.12

Мощность в диске винта судов с традиционными обводами  
и концентрическим бульбом

$\alpha$	$F_D$	$N_p^{(0)}$	$N_p$	$\Delta, \%$
11,0	0,160	1013	1060	2,8
12,0	0,176	2026	2240	14,4
13,0	0,190	3007	3746	4,1

измененную в вертикальном направлении форму. В качестве прототипа была использована модель серии BSRA.

При характерной в рассматриваемом случае скорости хода, равной 16 уз ( $Fr = 0,24$ ), сопротивление варианта судна с концентрическим бульбом снизилось на 2,4%. Одновременно уменьшился на 1,6% пропульсивный коэффициент, в то время как мощность в диске винта в кинетичном смыслах снизилась лишь на 0,6%.

Более существенным оказался выигрыш от применения концентрического бульба при испытании серии моделей рыболовного траулера с коэффициентами  $\delta = 0,571$ ;  $\varphi = 0,645$ . Как следует из работы Г. Р. Томсона и Р. Н. Паттула [107], в этом случае изменение кормовых обводов исходной модели с традиционными обводами сопровождалось увеличением пропульсивного коэффициента на 3% и снижением буксировочного сопротивления на 2%. В кинетическом смыслах, последующем гребным винтом, уменьшилась на 4,7%.

Сигарообразный бульб. Продольный разрез кормовой оконечности судна с сигарообразным бульбом показан на рис. 6.29. Такие обводы оказывают благоприятное влияние на коэффициенты взаимодействия и пропульсивный коэффициент, что часто не компенсирует возросшего сопротивления воды при замене традиционных обводов бульбами. Так, при серийных испытаниях моделей танкера с коэффициентом  $\delta = 0,774$ , рассмотренных в работе Дж. Д. Ван Махен и Дж. Кемпса [115], сопротивление и мощность в диске модели с сигарообразным бульбом при числе Фруда  $Fr = 0,194$  возросли соответственно на 7,3 и 3,2% по сравнению с исходной моделью, имеющей традиционные обводы.

При подрезанной транецовой корме с сигарообразным бульбом становится надежным кренштейн для поддержки гребного вала. Судя по работе В. Л. Руссо и Е. К. Оуландсена [100], в подобных случаях, применяя сигарообразный бульб, можно несколько снизить мощность на шахте при числах Фруда  $Fr > 0,26$ .

Необходимо также отметить, что при сигарообразном бульбе поток, набегающий на гребной винт, становится более однородным, что способствует выравниванию колебаний упора и момента, развиваемых гребным винтом.

В работе Г. Р. Томсона и Г. П. Уайта [108] приведены данные испытаний серии моделей с коэффициентом  $\delta = 0,65$ , также ставившихся кормовыми обводами. В этом случае штангоуты модели с концентрическим бульбом имели обратную кривизну,

## УКАЗАТЕЛЬ ЛИТЕРАТУРЫ

1. Афанасьев В. И. Практические законы движения судов. 1985.
2. Ашник В. В., Царев В. А., Челпанов И. В. Зависимость длины современных судов от их скорости. — «Судостроение», 1971, № 3.
3. Базилевский Ю. С. и др. Влияние отрицательного фактора на корабль качества судов полных обводов. — «Труды ЦНИИ им. акад. А. Н. Крылова», 1970, вып. 261 (Гидравлическая транспортная техника).
4. Бескин А. М. и Гешев Г. А. Экспериментальное исследование характеристики частичной загруженности яхт. — «Труды ДВИИТ», 1963, вып. XV.
5. Бронников А. В. Коэффициенты полноты водонемощицких и грузовых затоплений одновальных сухогрузных судов. — «Судостроение», 1966, № 10.
6. Бронников А. В. Определение величины адиабатических коэффициентов на начальных этапах проектирования судов. — «Судостроение», 1964, № 7.
7. Бронников А. В. Особенности проектирования морских транспортных судов. Л., «Судостроение», 1971.
8. Ван-Ламмерен, Троест и Конинг. Сопротивление, пропускные качества и управляемость судов (перевод с английского). Л., Судостроение, 1967.
9. Вознесенский А. И. и Фурсов Г. А. Методика определения величины скорости хода корабля на морской волнении. — «Труды ЦНИИ им. акад. А. Н. Крылова», 1956, вып. 103.
10. Бойткуловский Я. И., Перука Р. Я., Титов И. А. Справочник по теории корабля. Л., Судостроение, 1966.
11. Гирс, И. В. Расчет остаточного сопротивления воды движению корабля при помощи коэффициентов вязкости. — «Судостроение», 1957, № 3.
12. Гирс И. В., Русецкий А. А., Невистин Ю. А. Исследование мореходных качеств судов. Л., «Судостроение», 1966.
13. Гречихин М. А. Влияние обтекания корпуса судна на режим работы гребного винта и двигателя. — «Труды ЦНИИМФ», 1970, вып. 137.
14. Гречихин М. А. Выбор расчетного района для проектирования гребных винтов транспортных судов. — «Труды ЦНИИМФ», 1969, вып. 129.
15. Дубровская О. В. Графики для определения буксировочных мощностей речных судов по пропеллеру. — «Труды ЛКИ», 1964, вып. XLII.
16. Дубровская О. В. К вопросу об определении буксировочных мощностей по пропеллеру для судов с малым удлинением и малым коэффициентом полноты водонемощицких. — «Труды ЛКИ», 1964, вып. XIV.
17. Кабачников Г. Н. Сопротивление воды движению морских гражданских судов. Изд-во Горьковского политехнического института, 1941.
18. Красногольский С. И. Влияние основных характеристик формы обводов промысловых судов на сопротивление. — «Труды Калининградского технического института рыбной промышленности и хозяйства», 1962, вып. XV.
19. Линдблад А. Проектирование обводов транспортных судов (перевод с английского). Л., «Судостроение», 1965.
20. Лягис В. Б. и Малева В. Ф. Гидродинамические характеристики гребных винтов в условиях ограждения лестниц при качке судна. — «Труды ЦНИИМФ», 1969, вып. 119.
21. Логачев С. И. Танкеры. Л., «Судостроение», 1970.
22. Лукашевич А. А., Перука А. Я., Фурсов Г. А. Теория корабля. Л., Судостроение, 1960.
23. Ногид Л. И. и Бронников А. В. Сопротивление движущимся грузовым судам. — «Судостроение», 1960, № 8.
24. Ногид Л. И., Доркас В. С., Ноздрин В. В. Серийные испытания модельей транспортных судов. ЛКИ, 1959.
25. Ногид Л. И. Некоторые особенности проектирования промысловых судов. — «Судостроение», 1966, № 4.
26. Ногид Л. И. Проектирование форм судна и застройка теоретического корабля. Л., Судостроение, 1962.
27. Определение пропульсивных качеств судна по данным модельных испытаний. — «Морское судостроение и флот», 1965, № 5, с. 28—36; № 6, с. 9—14.
28. Павлов Г. Ш. Сопротивление воды движению судов. М., Водоизгидлит, 1963.
29. Папиль В. В. Практический расчет гребного винта. Л., НИКБ, 1966.
30. Перука В. А. Исследование влияния формы обводов корпуса на заднюю двухполовинную скоростную транспортных судов. — Историко-технический альманах по истории оружия, вып. 48, Ходкость судов. Л., НТО СП, 1963.
31. Поздняков В. Л. Некоторые приближенные формулы, используемые при проектировании судов. — «Торговый флот», 1924, № 10—11.
32. Правила классификации и постройки морских судов, Регистр СССР. Л., Гражданский, 1970.
33. Рагг М. Защита судов от обрастания и коррозии. Л., Судостроение, 1960.
34. Раков А. И. Особенности проектирования промысловых судов. Л., «Судостроение», 1966.
35. Севастянков Н. Б. Остойчивость промысловых судов. Л., «Судостроение», 1970.

36. Сенкис В. А. Определение подводной поверхности судового корпуса.—«Теория и практика судостроения», том. III. Л., Судостроение, 1950.
37. Соловьев В. И. и Чумак Д. А. Корабельные движители. М., Воениздат, 1948.
38. Струйский Н. Н. Скорость хода судна в сильную погоду.—«Записки по гидрографии», 1932, № 4.
39. Федяевский К. К. в Соболев Г. В. Управляемость корабля. Л., Судостроение, 1968.
40. Финкель Г. О предварительных международных периода для морских судов.—«Морской флот», 1959, № 12.
41. Ханович И. Г. Сопротивление воды движению корабля. М., Воениздат, 1946.
42. Штунцф. В. М. Планшет соотношений главных размерений и форм обводов корпуса на сопротивление воды движению транспортных судов.—«Труды ЦНИИ им. акад. А. Н. Крылова», 1959, вып. 143.
43. Штунцф. В. М. Исследование влияния формы обводов корпуса на сопротивление воды движению морских транспортных судов.—«Труды ЦНИИ им. акад. А. Н. Крылова», 1961, вып. 177.
44. Aartssen G. Service Performance and Seakeeping Trials on v. Jacobson, RINA, 1956, vol. 108, p. 305—343.
45. Aartssen G. Sea Trials on a Passenger-cargo Liner with Block Coefficient 0,875 and on a Large Tanker with Block Coefficient 0,770. NEC, 1958/59, vol. 75, part 4, p. 165—190.
46. Aartssen G. The Effect of Weather on the Performance of Cargo Ships. Proceedings, Symposium on the Behaviour of Ships in a Seaway, September, 1957, Wageningen, p. 388—407.
47. Allen J. R. and Sankaran H. J. S. Ship Trial Performance and the Model Prediction. TINA, 1956, vol. 96, p. 287—313.
48. Alyea A. Revision of Data Given in Papers of 1937 and 1938, c/The Shipbuilder and Marine Engine-Builders, Annual International Number, vol. 10, N 472, April, 1948, p. 272—276.
49. Baker G. S. Ship Design, Resistance and Screw Propulsion, vol. 1, 1948.
50. Baker G. S. and Kent J. L. Effect of Form and Size on the Resistance of Ships. TINA, 1938, p. 37—60.
51. Benford H. and Koss M. An Analysis of U. S. Fishing Boat Dimensions, Weights and Costs. FBW-2, 1960, part II — Construction, p. 320—332.
52. Benford H. General Cargo Ship Economics and Design. The University of Michigan, 1958.
53. Blackwell R. E. and Geodrich G. I. The Effect on Resistance and Propulsion of Variations in LCB Position. TINA, 1957, vol. 99, p. 387—406.
54. Dawson J. and Thomson G. R. Model Experiments with Stern Variations of a 0,80 Block Coefficient Form. RINA, 1960, vol. 111, p. 507—524.
55. Dawson J. Resistance and Propulsion of Single-Screw Cesters: Part II, L/B = 6, 1954—1955, vol. 98, p. 49—84. Part III, L/B = 6/4, 1955—1956, vol. 99, p. 361—441. Part IV, L/B = 9/6, 1956—1959, vol. 102, p. 295—334.
56. Design Chart for the Propulsive Performances of High Speed Cargo Liners. The Shipbuilding Research Association of Japan, 1954.
57. Doust D. J. and O'Brien T. P. Resistance and Propulsion of Trawlers. NEC, 1959, vol. 75, part 7, p. 455—486.
58. Doust D. J. Trawler Forms with Bulbous Bows, FBW-3, 1960, p. 465—482.
59. Edstrand H. Experiments with Tanker Models. NEC, 1960, vol. 72, part 6, p. 279—326.
60. Edstrand H. and Lindgren H. Systematic Tests with Models with  $\delta = 0,825$ . MSS, N 38, 1956.
61. Emerson A. Resistance of Hulls of Varying Beams. TINA, 1943, p. 172—186.
62. Freimann E. and Lindgren H. Systematic Tests with Ship Models with  $\delta_{pp} = 0,675$ , part I (Influence of Shape of Sections). MSS, N 39, 1957.
63. Freimann E. and Lindgren H. Systematic Tests with Ship Models with  $\delta_{pp} = 0,675$ , part III, Influence of Main Dimensions and Centre of Buoyancy. MSS, N 42, 1958.
64. Freimann E. and Lindgren H. Systematic Tests with Ship Models with  $\delta_{pp} = 0,000—0,675$ . MSS, N 44, 1959.
65. Gerlitz M. A. Realistic of the Original Test Data for the Taylor Standard Series. Washington, 1954.
66. Harvald S. A. Gegevens ter bepaling van het volgtreinen—en roggelot bij het on-worp van een gedane enkelstuur-scheep. «Schip en Werf», 1949.
67. Henckel W. See-Behavior Special Investigations. FBW-2, 1960, part III, p. 534—555.
68. Hinkel G. und Labes K. H. Systematische Widerstanduntersuchungen für schnelle Frachtschiffe mit und ohne Bugwulst. «Schiffbau-Forschung», 1968, N 3/4, S. 85—116.
69. Hinkel G. Systematische Modellversuche Für kleine Hecktrawler —  $C_D = 0,30$ . «Schiffbau-Forschung», 1957, N 5/6, S. 203—229.
70. Haug Y. und Yek H. Series 64 Resistance Experiments on High-Speed Displacement Forms. «Marine Technology», July, 1968, p. 248—272.
71. Katz I. Design and Cost Estimating of Merchant and Passenger Ships. London, 1958.
72. Kemp I. G. Immersion of Propellers. NEC, 1954/54.
73. Kent J. L. Ships in Rough Water. Edinburgh, 1958.
74. Kerlen H. Über die Zuordnung von Geschwindigkeit, Länge und Blockkoeffizient bei seetüchtigen Schiffen. «Hannus», 1970, N 14, S. 187—190.
75. Lep A. J. W. Diagrams for Determining the Resistance of Single-Screw Ships. «International Shipbuilding Progress», 1954, p. 179—193.
76. Lep A. J. W. Diagrammes pour la détermination de la résistance des navires à deux hélices. «Nouvelles Techniques Maritimes», 1957.
77. Lep A. J. W. Fundamentals of Ship Resistance and Propulsion. Rotterdam, 1958.

78. Lackenby H., Parker M. N. The BSRA Methodical Series-An Overall Presentation: Variation of Resistance with Breadth-Draught Ratio and Length-Displacement Ratio, RINA, 1966, vol. 108, p. 333-350.
79. Lackenby H. On the Presentation of Ship-Resistance Data, TINA, 1954, vol. 95, p. 471-498.
80. Lackenby H. Resistance of Trawlers, FBW-2, 1960, Part II—Contractiles, p. 384-392.
81. Lewis E. V. How to Determine Effects of Ship Bottom Fouling, The Log, 1948, vol. 43, N 5, p. 30-32.
82. Liddell A. K. Form Coefficients of Vessels, International Marine Engineering, 1916, N 4.
83. Logan A. Service Performance of a Fleet of Tankers, Symposium Ship Trials and Service Performances NEC, 1960, vol. 76, part 2, p. 61-78.
84. Lunde J. K. On the Linearized Theory of Wave Resistance for Displacement Ships in Steady and Accelerated Motion, SNAME, 1951, vol. 59, p. 35-85.
85. Mandel P. Some Hydrodynamic Aspects of Appendage Design, SNAME, 1953, vol. 61, p. 454-515.
86. Möckel W. Betriebsuntersuchungen auf Fahrzeugen der Hochseeschiff-, Schiffsbautechnik, 1939, April, N 31, S. 57-68.
87. Möckel W. Fahrtuntersuchungen der Schiffe in Seegang Fahrzeugschiff, Schip an Werft, 1944, October.
88. Moar D. J., Parker M. N., Patullo R. N. M. The BSRA Methodical-Series-An Overall Presentation: Geometry of Forms and Variation of Resistance with Block Coefficient and Longitudinal Centre of Buoyancy, RINA, 1961, vol. 103, N 4, p. 329-419.
89. Moor D. J. Resistance, Propulsion and Motions of High Speed Single Screw Cargo Liners, NEC, 1966, vol. 88, part 8, p. 277-328.
90. Moore G. W. and Morgan J. H. Cathodic Protection, Its Application in Preventing Hull Roughness, RINA, 1968, vol. 110, N 1, p. 101-113.
91. Moor D. L. and Small F. F. The Effective Horsepower of Single-Screw Ships, RINA, 1960, vol. 102, N 3, p. 309-313.
92. Murray-Smith R. Merchant Ship Design, London, 1964.
93. Muntjewerf J. J. Methodical Series Experiments on Cylindrical Bow, RINA, 1970, vol. 112, N 2, p. 199-223.
94. Nevitt Cedric Ridgely. The Resistance of Trawler Hull Forms of 0,65 Prismatic Coefficient—SNAME, 1956, vol. 64, p. 483-468.
95. Nordström H. F. Systematic Tests with Models of Cargo Vessels with  $\delta_{\text{pp}} = 0,575$ , MSS, N 16, 1950.
96. Nganeke E. Die Wahl der Hauptlängen von Trockenkästen, Schifff und Hafen, 1936, N 6, S. 501-504.
97. Patullo R. N. M. and Thomson G. R. The BSRA Trawler Series (Part II). Beam—Draught and Length—Displacement Ratio Series Resistance and Propulsion Tests, RINA, vol. 107, 1955, p. 215-241.
98. Patullo R. N. M. The BSRA Trawler Series (Part III). Block Coefficients and Longitudinal Centre of Buoyancy Variation Series, RINA, 1968, vol. 110, p. 198-217.
99. Ridgley-Nevitt G. The Resistance of Trawler Hull Forms of 0,65 Prismatic Coefficient, SNAME, 1956, vol. 64, p. 433-468.
100. Russo V. L. and Sullivan E. K. Design of Mariner Cargo Ships, SNAME, 1953, vol. 61, p. 96-218.
101. Sandmann P. and Gallin C. Das «Björn-Von-phönix» multi-carriermotorschiff und Hafen, 1967, N 4, S. 241-252.
102. Söderström A. and Dawson J. Hydrodynamic Design of Merchant Ships for High Speed Operation, RINA, 1967, vol. 109, N 2, p. 167-196.
103. Saunders H. E. Hydrodynamics in Ship Design, New York, 1957.
104. Stämpfli V. M., Poosteschniy A. F. and Basilewsky Y. S. Study of Hull Form Effects on the Resistance of Large Tankers, International Marine and Shipping Conference, London, 1969, section 3, p. 6-10.
105. Taylor D. W. The Speed and Power of Ships, Washington, 1938.
106. Teller E. V. The Design Presentation of Ship Model Resistance Data, NEC, 1968, vol. 79, part 7, p. 387-390.
107. Thomson G. R. and Patullo R. N. M. The BSRA Trawler Series (Part III) Resistance and Propulsion Tests with Bow and Stern Variations, RINA, 1969, vol. 111, N 3, p. 317-342.
108. Thomson G. R. and White G. P. Model Experiments with Stern Variations of a 0,65 Block Coefficient Form, RINA, 1969, vol. 111, N 3, p. 299-316.
109. Todd F. H. and Edward J. Stern Drifters: Tank and Sea Tests, IESS, 1958, vol. 82, part 2, p. 51-107.
110. Todd F. H. and Pien P. C. Series 60—The Effect upon Resistance and Power of Variation in LCB Position, SNAME, 1956, vol. 64, p. 4-68.
111. Todd F. H. Some Further Experiments on Single-Screw Merchant Ship Forms-Series 60, SNAME, 1963, vol. 61, p. 516-549.
112. Traung J. O. The Prismatic Coefficient, FBW-2, 1960, p. 428-444.
113. Troost L. A Simplified Method for Preliminary Powering of Single-Screw Merchant Ships, SNAME, 1957, vol. 65, p. 737-774.
114. Turner R. V., Harper M. and Moor D. L. Some Aspects of Passenger Liner Design, RINA, 1963, vol. 105, p. 379-414.
115. Van Maanen J. D. and Kampen J. The Effect of Shape of Midbody on Propulsion, SNAME, 1960, vol. 67, p. 283-289.
116. Vessers G. and Swaan W. A. Some Seakeeping tests with a Victory-model, International Shipbuilding Progress, 1960, N 7, p. 63-76.
117. Vessers G. Behaviour of Ships in Waves, Haarlem, 1962.
118. Wigley W. C. S. Ship Wave Resistance, NEC, vol. 47, 1931.

## СОДЕРЖАНИЕ

### Глава первая

Виды сопротивления воды движению судна . . . . .	3
§ 1.1. Составляющие полного сопротивления движения судна . . . . .	4
§ 1.2. Сопротивление трения . . . . .	6
§ 1.3. Сопротивление формы . . . . .	8
§ 1.4. Воздушное сопротивление . . . . .	12
§ 1.5. Общие закономерности в области сопротивления движения грузовиков, среднемоторных и быстроходных судов . . . . .	14
§ 1.6. Предварительные данные о сопротивлении воды движению судна и мощности энергетической установки . . . . .	20
§ 1.7. Некоторые аспекты гидродинамики энергетической установки и скорость хода . . . . .	26

### Глава вторая

Предварительный расчет сопротивления воды движению судна в мощности энергетической установки . . . . .	29
§ 2.1. Смоченная поверхность . . . . .	—
§ 2.2. Конфигурация трения и надбавка на неровность . . . . .	30
§ 2.3. Сопротивление выступающих частей, воздушное сопротивление и коэффициент запаса . . . . .	33
§ 2.4. Пересят боксировочного сопротивления при заходе к судну, отдаляемому длиной от стандартного судна . . . . .	36
§ 2.5. Пересят боксировочного сопротивления в случае изменения макромодели трения . . . . .	39
§ 2.6. Формулы для предварительной оценки сопротивления воды движению судна и мощности энергетической установки . . . . .	40
§ 2.7. Способ Симлерфри-Дарсона для определения мощности энергетической установки . . . . .	43
§ 2.8. Пересят сопротивления воды движению судна во троекратном сокращении изстравливанием графиков . . . . .	46
§ 2.9. Графики для непосредственного определения сопротивления воды движению судна . . . . .	53

### Глава третья ПРЕДВАРИТЕЛЬНЫЙ РАСЧЕТ ГРЕБНОГО ВИНТА И ВЫБОР ГЛАВНОГО ДВИГАТЕЛЯ . . . . .

§ 3.1. Влияние сопротивления гребного винта с корпусом судна. Понятие о пропульсивном коэффициенте . . . . .	60
--	----

§ 3.2. Практические данные о коэффициентах взаимодействия гребного винта и корпуса. Коэффициенты взаимодействия винта и редукторов . . . . .	62
§ 3.3. Коэффициенты взаимодействия гребного винта и корпуса судна в условиях отрывов пограничного слоя . . . . .	66
§ 3.4. Расположение гребных винтов и проектирование связанных с ними выступающих частей . . . . .	70
§ 3.5. Предварительный расчет гребного винта . . . . .	74
§ 3.6. Влияние некоторых факторов на эффективность работы гребных винтов . . . . .	78
§ 3.7. Влияние степени погружения гребного винта в воду на эффективность его работы . . . . .	80
§ 3.8. Численный пример . . . . .	83

### Глава четвертая

ВЛИЯНИЕ СВОЙСТВЕННОСТИ КОРПУСА И ГИДРОДИНАМИЧЕСКИХ ЗАКОНОВ НА МОЩНОСТЬ ЭНЕРГЕТИЧЕСКОЙ УСТАНОВКИ СУДНА . . . . .	86
§ 4.1. Предварительные замечания . . . . .	—
§ 4.2. Влияние обтекаемости и коррозии корпуса . . . . .	88
§ 4.3. Воздушное сопротивление. Влияние истря и перекладки руля . . . . .	91
§ 4.4. Качественные влияния клина, волнины и горизонтальное перемещение воды, окружающей судно . . . . .	94
§ 4.5. Работа главного двигателя и гребного винта при воздушном сопротивлении движению судна. Выбор расчетного режима работы винта . . . . .	96
§ 4.6. Вынужденное склонение числа оборотов гребного винта . . . . .	99
§ 4.7. Дорогательские сведения о ходности судна на встречном волнении . . . . .	104
§ 4.8. Влияние курсового угла, под которым судно встречает волнение . . . . .	106
§ 4.9. Определение скорости судна в средних аксиалуптических условиях в заданной мощности, необходимой для поддержания заданной эксплуатационной скорости хода . . . . .	108
§ 4.10. Определение коэффициентов потери скорости и пропускной мощности . . . . .	112

### Глава пятая

КОЭФФИЦИЕНТЫ ПОЛНОТЫ И ОПТИМИЗАЦИЯ ГЛАВНЫХ РАЗМЕРОВ СУДНА . . . . .	113
§ 5.1. Предварительные замечания . . . . .	—
§ 5.2. Критические точки края буксирно-вспомогательного сопротивления . . . . .	115
§ 5.3. Анализ краев буксирно-вспомогательного сопротивления . . . . .	120
§ 5.4. Коэффициент общей полноты . . . . .	125
§ 5.5. Коэффициент полноты модель-шланготу . . . . .	128
§ 5.6. Коэффициент полноты модель-шланготу . . . . .	129
§ 5.7. Коэффициент полноты конструктивной затяжки . . . . .	141

§ 5.8. Влияние соотношений главных размерений на сопротивление воды движению судна	145
§ 5.9. Влияние соотношений главных размерений судна и его эффективности общей плавкости	151
<b>Глава шестая</b>	
положение центра всплытия, цилиндрическая ватерлиния и обводы	159
§ 6.1. Положение центра всплытия по длине судна	—
§ 6.2. Положение наиболее полного днищугольфа. Продолжительность и положение цилиндрической ватерлинии	164
§ 6.3. Традиционные обводы	169
§ 6.4. Упрощенные обводы	178
§ 6.5. Бульбовые и цилиндрические обводы в носовой оконечности судна	182
§ 6.6. Бульбовые и симметрические обводы в кормовой оконечности судна	190
УКАЗАТЕЛЬ ЛИТЕРАТУРЫ	196

**Леон Маркович Несма,**  
**ПРОЕКТИРОВАНИЕ МОРСКИХ СУДОВ**

Редактор Т. Д. Ракина  
Художественный редактор В. Т. Лавченко  
Технические редакторы В. М. Кашалов и Р. К. Чистякова  
Хордиктор И. П. Острогорова  
Переплет художника П. Г. Белиткина

Сдано в набор 20/VI 1978 г. Проверено к печати 6/XXII 1979 г. № 5572.  
Формат издания 69 × 90 1/16. Папка полиграфическая № 3.  
Усл. печ. л. 130. Усл. зап. 153. Тираж 5700 экз.

Заказ № 1839.  
цена 2800—74. Цена 1 руб. за книгу.

Издательство «Судостроение», 191065, Ленинград, ул. Гагарина, 8.

Лицензионная тиражировка № 4 Союзпечатиздата при Госиздатомном  
комитете Совета Министров СССР по зданию культуры, полиграфии и  
издательской торговли, 79026, Ленинград, Ф-126. Союзиздатомская ул., 16.

**ИЗДАТЕЛЬСТВО  
«СУДОСТРОЕНИЕ»**

В 1976 году издательство выпускает ряд  
изданий из замечательных и опубликованных в  
предыдущий пятилетие серийных изданий  
по актуальным проблемам судостроения:

**СЕРИЯ**

**ПРОЕКТИРОВАНИЕ СУДОВ  
И КОНСТРУКЦИЯ КОРПУСА**



**НАРУССАЕВ А. А. Введение в теорию обоснования проектных решений.**  
17 л. 1 р. 20 к.

Напоминаем о связи теории обоснования решений при проектировании судов с различным назначением (выбор критерия эффективности решений, разработка методов оценки подлинного эффекта и транзакционных затрат, поиск оптимальных вариантов решений, учет инженероматических факторов и т. д.).

Круг читателей: инженеры-конструкторы.

**ЖЕЛЯЗКОВ Ж. К. Комбинированные суда для перевозки нефти и газо-  
воздушных грузов.** 15 л. 1 р. 10 к.

Рассмотрены вопросы проектирования и технологической эксплуатации комбинированных судов для перевозки нефти в массовых грузах. Для анализа экономико-эксплуатационных предпосылок их создания. Особое внимание уделяно классификации, выбору конструктивного типа, прочности корпуса и комбинированных судов, а также сопротивлению главным, разрывным, коффинговым взрывам корпуса, вопросам весовой нагрузки, балластировки и т. д. Даны необходимые сведения об электротехнических установках, устройствах и системах.

Круг читателей: инженеры-конструкторы и инженеры-исследователи судостроительной промышленности и морского флота.

**МОНСЕЕВА М. З. Основы статистики требований к остойчивости, не-  
взрываемости и бортовой качке судов.** 5 л. 35 к.

Книга рассматривает совместимость требований, предъявляемых при проектировании, к мореходным качествам судна. Задача решается с применением теории вероятности и математической статистики и с использованием некоторого представления характеристик судна. Рекомендации приведены, позволяющие

которые выделяют как качественную, так и количественную (вероятностную) оценку совместности требований к рассматриваемыми качествам судна и процесса его проектирования.

Теоретический материал сопровождается практическими примерами его применения.

Круг читателей: инженеры-исследователи, инженеры-конструкторы проектных организаций судостроительной промышленности.

Заказы на эти книги приносят все магазины технической литературы, а также специализированные магазины:

190031, Ленинград, Садовая ул., д. 40, маг. № 2 «Судостроение»;

198033, Ленинград, Длинная ул., д. 8, маг. № 29 «Бюрократика»;

199165, Ленинград, Невский пр., д. 28, маг. № 1 Дом книги.

ИЗДАТЕЛЬСТВО «СУДОСТРОЕНИЕ»

«СОВИЗНИГТАН»